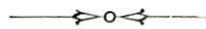


وزارة التعليم و البحث العلمي

Ministère de l'Enseignement et de la Recherche Scientifique



ECOLE NATIONALE POLYTECHNIQUE



2 DD

Département : GENIE CIVIL

PROJET DE FIN D'ETUDES

SUJET

BATIMENT (R+6)

Proposé par :

E.R.C.A

Etudié par :

Amokrane N.

DJELLAB. S.E

Dirigé par :

M. ABED.

PROMOTION : JANVIER 1985



DEDICACES

Je dedie ce modeste travail :

à ma mère

à mon père

à mes deux frères jumeaux.

- à toute la famille.

- à tous les amis.

Nabil.

— o o o —

Je dedie ce travail :

mon père , ma mère , mon oncle Brahim ainsi que toute la famille

Salah-eddine .

INTRODUCTION



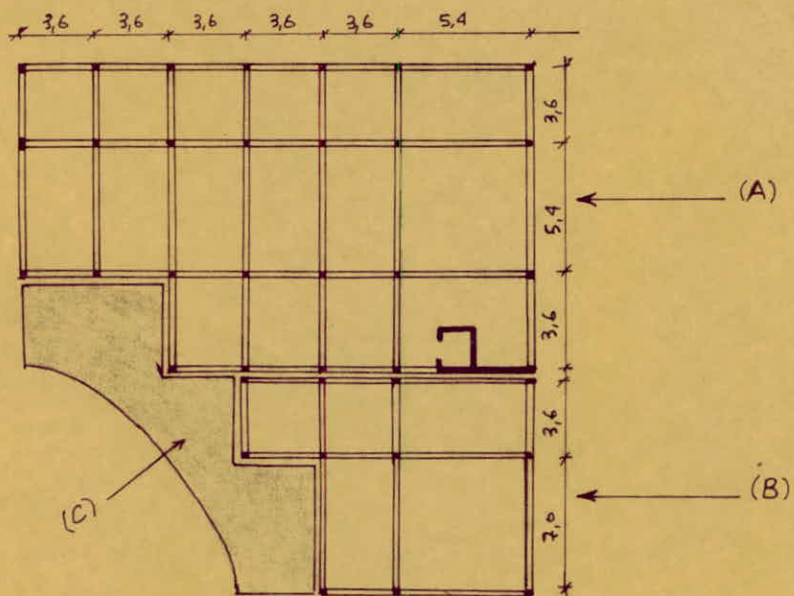
Présentation du projet :

Le sujet qui nous a été proposé par l'E.R.C.A (Entreprise de réalisation et de la construction d'Alger) consiste à l'étude et le calcul des éléments résistants d'un bâtiment (R+6) à usage de bureaux (A.P.C) qui sera implanté à KOUBA (Alger) classée par l'organisme du contrôle technique de la construction C.T.C comme étant région de moyenne sismicité.

l'ouvrage présenté comporte trois blocs A, B, C en forme de (L). Le bloc - A : (R+6) déséquilibré par le voile de la cage d'ascenseur à l'angle et comporte une grande ouverture (patio).

Le bloc - B : (R+6) également, présente une partie en saillie très importante

Le bloc .C : (R+1) ouvert et sert comme terrasse importante au premier niveau des blocs A et B .



$$(A) : L = 12,6 \text{ m} ; P = 10,6 \text{ m} ; H = 25,75 \text{ m}$$

$$(B) : L = 23,4 \text{ m} ; P = 12,6 \text{ m} ; H = 25,75 \text{ m}$$

$$(C) : H = 4,25 \text{ m.}$$

Caractéristiques mécaniques des matériaux :

Les matériaux (Acier - béton) entrant dans la construction de l'ouvrage seront conformes aux règles techniques de conception et de calcul des ouvrages en BA.

- Ⓐ Beton : le béton utilisé est dosé à 350 kg/m^3 de ciment CPA 325 à contrôle atténue le dosage pour 1 m^3 sera.

800 l de gravillon propre $C_g = 5/15 \text{ mm}$.

350 l de ciment

400 l de sable propre.

175 l d'eau.

$$* \bar{\sigma}_b' = \alpha \beta \gamma \delta \varepsilon \cdot \bar{\sigma}_{28}' \quad \bar{\sigma}_{28}' = 275 \text{ kg/cm}^2.$$

$\alpha = 1$ (ciment de classe 325)

$\beta = 5/6$ (contrôle atténue)

$\gamma = 1$ ($h_m > 4C_g$)

avec

$\delta = \begin{cases} 0,3 & \text{en compression simple} \\ 0,6 & \text{en flexion simple ou flexion composée avec } N \text{ traction} \\ \min \{0,6 ; 0,30(1 + \frac{E_0}{3\varepsilon})\} & \text{en flexion composée avec } N \text{ compression} \end{cases}$

ε : dépend de la forme de la section et la position de l'AN.

$\varepsilon = \begin{cases} 1 & \text{en CS ou FS avec section rectangulaire} \\ \text{calculé tel que } \bar{\sigma}_m \ll \bar{\sigma}_b' \text{ dans les autres cas} & (0.5 \leq \varepsilon \leq 1) \end{cases}$

$$\bar{\sigma}_b' = 68,5 \text{ kg/cm}^2.$$

d'où

$$\bar{\sigma}_b' = 137 \text{ kg/cm}^2 \text{ (Section rectangulaire)}$$

$$* \bar{\sigma}_b = \alpha \beta \theta \cdot \bar{\sigma}_{28}' \quad \text{avec } \theta = 0,018 + \frac{2,1}{\bar{\sigma}_{28}'} = 0,0256$$

$$\Rightarrow \bar{\sigma}_b = 5,9 \text{ kg/cm}^2.$$

- Ⓑ Acier : - Acier doux (Ronds lisses) de nuance Fe E24.

$$\sigma_{en} = 2400 \text{ kg/cm}^2 \rightarrow \bar{\sigma}_a = \begin{cases} \frac{2}{3} \sigma_{en} = 1600 \text{ kg/cm}^2 & \text{sous SP1} \\ \sigma_{en} = 2400 \text{ kg/cm}^2 & \text{sous SP2} \end{cases}$$

- Acier à haute adhérence de nuance Fe E40.

$$\sigma_{en} = 4200 \text{ kg/cm}^2 \text{ si } \phi \leq 20 \text{ mm} \rightarrow \bar{\sigma}_a = \begin{cases} \frac{2}{3} \sigma_{en} = 2800 \text{ kg/cm}^2 & (\text{SP1}) \\ \sigma_{en} = 4200 \text{ kg/cm}^2 & (\text{SP2}) \end{cases}$$

$$\sigma_{en} = 4000 \text{ kg/cm}^2 \text{ si } \phi > 20 \text{ mm} \rightarrow \bar{\sigma}_a = \begin{cases} \frac{2}{3} \sigma_{en} = 2667 \text{ kg/cm}^2 & (\text{SP1}) \\ \sigma_{en} = 4000 \text{ kg/cm}^2 & (\text{SP2}) \end{cases}$$

- On utilise aussi des treillis soudés pour les dalles, ils ont les caractéristiques mécaniques suivantes :

$$\sigma_{en} = 5300 \text{ kg/cm}^2 \text{ si } \phi \leq 6 \text{ mm} \rightarrow \bar{\sigma}_a = \frac{2}{3} \sigma_{en} = 3533 \text{ kg/cm}^2.$$

$$\sigma_{en} = 4500 \text{ kg/cm}^2 \text{ si } \phi > 6 \text{ mm} \rightarrow \bar{\sigma}_a = \frac{2}{3} \sigma_{en} = 3000 \text{ kg/cm}^2.$$

Les valeurs des contraintes admissibles des armatures tendues doivent être compatibles avec les conséquences de la fissuration systématique ou accidentelle.
Afin de limiter la fissuration du béton on peut être amené donc à utiliser pour une valeur inférieure à celle définie plus haut et ce pour reprendre la faiblesse du béton.

- — fissuration systématique : due à la supériorité de l'effort de traction à celui de la rupture.

$$\sigma_1 = K \frac{m}{\phi} \frac{\tilde{\omega}_f}{1+10\tilde{\omega}_f} \text{ (bars)} \quad \tilde{\omega}_f = \frac{A}{B_f} \rightarrow \text{portion d'acier}$$

- — fissuration accidentelle : due au retrait et la variation de température.

$$\sigma_2 = 2,4 \sqrt{\frac{Kn}{\phi}} \frac{1}{\bar{\sigma}_b} \text{ (bars)}$$

ϕ = diamètre nominal de la plus grosse barre tendue. (en mm)

$$m = \begin{cases} 1 & \text{pour les barres RL} \\ 1,6 & \text{pour les barres HA.} \end{cases}$$

$\bar{\sigma}_b$ = Contrainte de traction de référence (en bars).

K : coeff qui dépend des conséquences de la fissuration.

$$K = \begin{cases} 1,5 \times 10^6 & \text{fiss peu nuisible} \\ 1 \times 10^6 & \text{fiss préjudiciable.} \\ 0,5 \times 10^6 & \text{fiss très préjudiciable.} \end{cases}$$

en conclusion :

$$\bar{\sigma}_a = \min \left\{ \frac{2}{3} \sigma_{en} ; \text{Max} (\sigma_1, \sigma_2) \right\}$$

Charges et surcharges:

- * plancher terrasse : • charges permanentes :
- gravillon (5cm) $1800 \times 0,05 = 90 \text{ kg/m}^2$
 - étanchéité (2cm) $= 10 \text{ kg/m}^2$
 - forme de pente $= 220 \text{ kg/m}^2$
 - isolation thermique $= 10 \text{ kg/m}^2$
 - hourdis + table 20+5 $= 325 \text{ kg/m}^2$
 - enduit plâtre $= 14 \text{ kg/m}^2$
- Surcharge d'exploitation:
la terrasse étant inaccessible $G = 669 \text{ kg/m}^2$
 $P = 100 \text{ kg/m}^2$.

- * Plancher courant : • charges permanentes :
- Carrelage (2cm)
 - Mortier de pose (2cm) $2200 \times 0,02 = 44 \text{ kg/m}^2$
 - Sable (2cm) $1800 \times 0,02 = 36 \text{ kg/m}^2$
 - isolation phonique $= 12 \text{ kg/m}^2$
 - hourdis + table (20+5) $= 325 \text{ kg/m}^2$
 - enduit plâtre (1cm) $= 14 \text{ kg/m}^2$
 - cloisons $= 75 \text{ kg/m}^2$
- Surcharges d'exploitation:
bureaux (Public admis isolément) $G = 550 \text{ kg/m}^2$
 $P = 200 \text{ kg/m}^2$

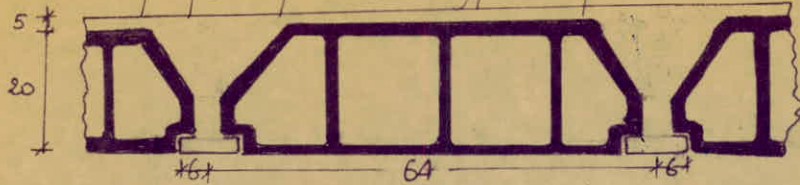
- Murs extérieurs en brique creuse :
charges par m^2 de surface verticale $1400 \times 0,24 = 336 \text{ kg/m}^2$

CALCUL DES ELEMENTS

- poutrelles
- escaliers
- acrotere

POUTRELLES

le plancher étant à faible surcharge nous avons opté pour le plancher à corps creux et poutrelles préfabriquées, ce type de plancher étant économique et léger.



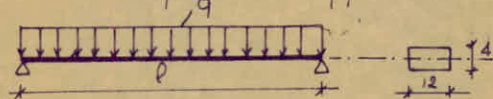
les poutrelles préfabriquées possèdent des armatures en attente permettant une bonne liaison avec le béton et la dalle de compression. elles seront calculées sous la sollicitation du 1^{er} genre ($G + 1,2P$) .

le calcul se fera en deux étapes .

1^{er} étape : avant le coulage de la dalle de compression , la poutrelle est simplement appuyée (isostatique) puisqu'il n'y a aucune continuité , elle supporte son poids propre le corps creux et la surcharge due à l'ouvrier qui pose les hourdis .

2^e étape : après coulage de la dalle de compression , la poutrelle travaille comme une poutre en T continu et reposant sur plusieurs appuis .

1^{er} étape : schéma statique .



charges supportées par la poutrelle .

- poids propre de la poutrelle .. $0,12 \cdot 0,04 \cdot 2500 = 12 \text{ kg/m}$
- poids propre du corps creux $0,64 \times 255 = 164 \text{ kg/m}$
- Surecharge d'exploitation .. $1,2 \cdot 100 \dots = 120 \text{ kg/m}$

$$q = G + 1,2P = 296 \text{ kg/m}$$

Calcul des efforts M et T :

type	ℓ (m)	M_0 (kgm)	T (kg)
(I)	3,60	479,5	532,8
(II)	5,40	1078,9	799,2

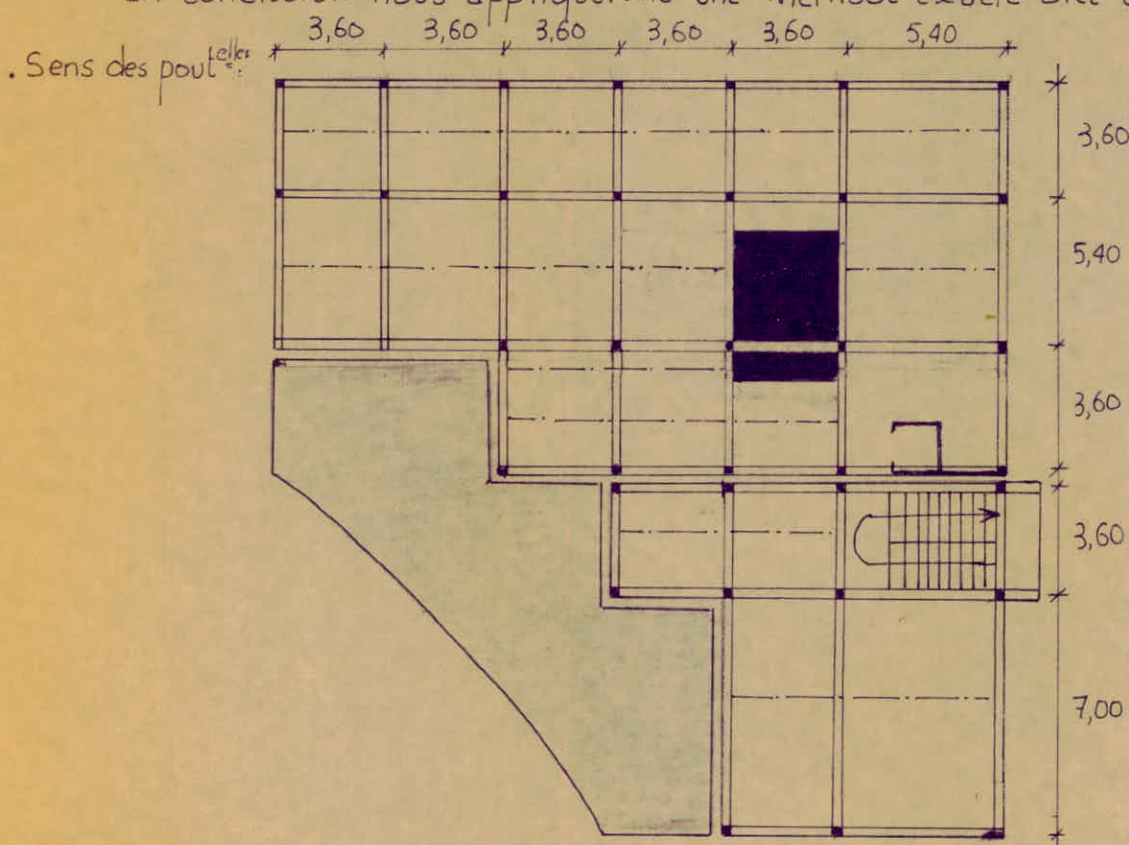
Calcul des armatures :

- type (I) $\rightarrow M_{rb} = 269 \text{ kgm} < M_{ext} = 479,5 \text{ kgm} \Rightarrow A' \neq 0 \quad (A' = 54,82 \text{ cm}^2)$
- type (II) $\rightarrow M_{rb} = 269 \text{ kgm} < M_{ext} = 1078,9 \text{ kgm} \Rightarrow A' \neq 0 \quad (A' = 120 \times 46 \text{ cm}^2)$ Non

Comme on peut le constater les armatures comprimées sont nécessaires or il est impossible de les placer vu que la section de béton est très réduite .
on a donc prévu des échafaudages pour aider la poutrelle à supporter les charges lui revenant avant le coulage de la dalle de compression .

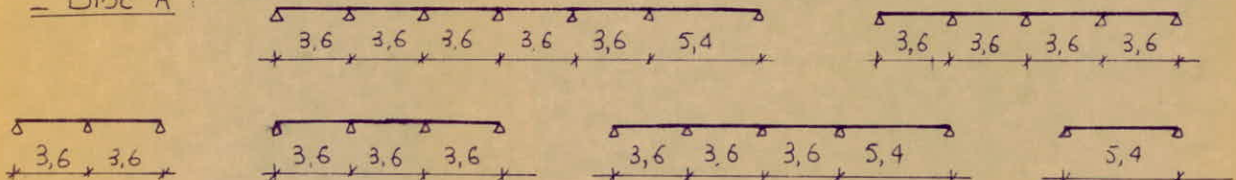
2^e étape : la table de compression étant coulée, le béton ayant atteint sa résistance nominale la poutrelle (section en T) est alors continue et repose sur plusieurs appuis

- Calcul des efforts : la méthode parfaitement du CEB A68 Art 55 ne peut être appliquée dans notre cas puisque l'hypothèse de base concernant le rapport de la portée libre de la travée considérée aux portées libres des travées contigües doit être compris entre 0,8 et 1,25, n'est pas satisfait. En effet : $5,4/3,6 = 1,5$. De plus la méthode de CAQUOT qui convient bien aux planchers à forte surcharge ne peut elle aussi être appliquée car dans notre cas ($P < 2G$) → Surcharge modérée. En conclusion nous appliquerons une méthode exacte dite "des trois moments".



d'où les poutrelles à étudier :

- Bloc A :



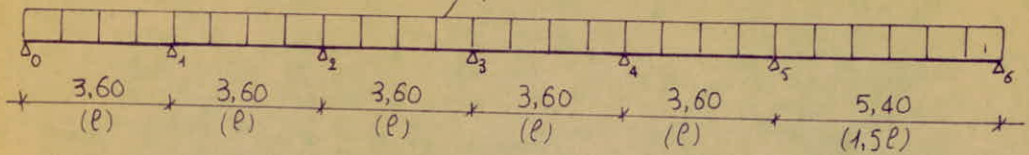
- Bloc B :



Poutrelles du plancher terrasse :

charge par m² de poutrelle. $q = (669 + 1,2 \times 100) \times 0,64 = 505 \text{ kg/m}.$

$$q = 0,505 \text{ t/m}$$



- Moments aux appuis : M_i

$$\begin{aligned} M_0^o + 4M_1 + M_2 &= -3,2724 \text{ tm} \\ M_1 + 4M_2 + M_3 &= -3,2724 \text{ tm} \\ M_2 + 4M_3 + M_4 &= -3,2724 \text{ tm} \\ M_3 + 4M_4 + M_5 &= -3,2724 \text{ tm} \\ M_4 + 5M_5 + M_6^o &= -7,1548 \text{ tm} \end{aligned}$$

\Rightarrow

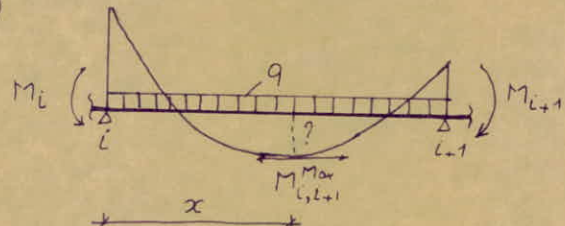
$$\begin{aligned} M_0 &= 0 \\ M_1 &= -0,6955 \text{ tm} \\ M_2 &= -0,4905 \text{ tm} \\ M_3 &= -0,6148 \text{ tm} \\ M_4 &= -0,3226 \text{ tm} \\ M_5 &= -1,3672 \text{ tm} \\ M_6 &= 0 \end{aligned}$$

- Moment à mi-travée : $M_{i,i+1} = M_0 + \frac{M_i + M_{i+1}}{2}$

travée 0-1	$M_0 = 0,8181 \text{ tm}$	$M_{0,1} = 0,4704 \text{ tm}$
travée 1-2	$M_0 = "$	$M_{0,2} = 0,2251 \text{ tm}$
travée 2-3	$M_0 = "$	$M_{0,3} = 0,2655 \text{ tm}$
travée 3-4	$M_0 = "$	$M_{0,4} = 0,3494 \text{ tm}$
travée 4-5	$M_0 = "$	$M_{0,5} = -0,0268 \text{ tm}$
travée 5-6	$M_0 = 1,8407 \text{ tm}$	$M_{0,6} = 1,1571 \text{ tm}$

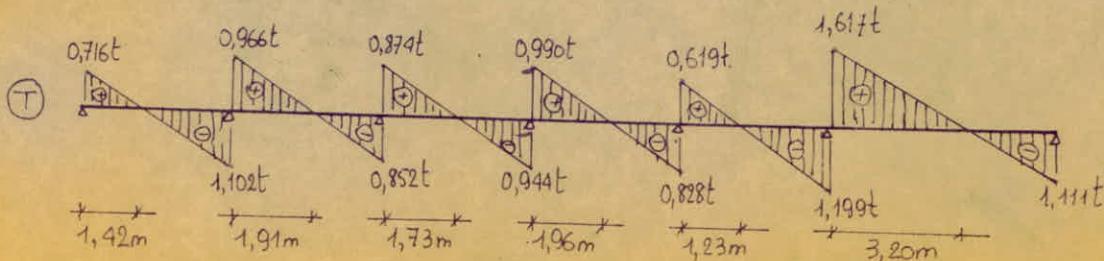
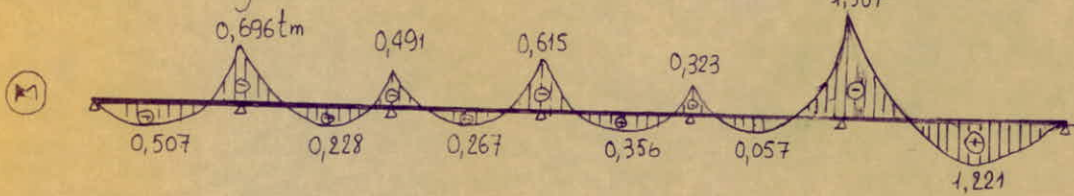
- Moments max en travée : $M_{i,i+1}^{Max}$?

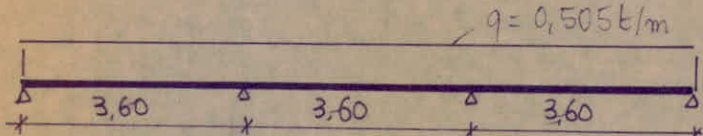
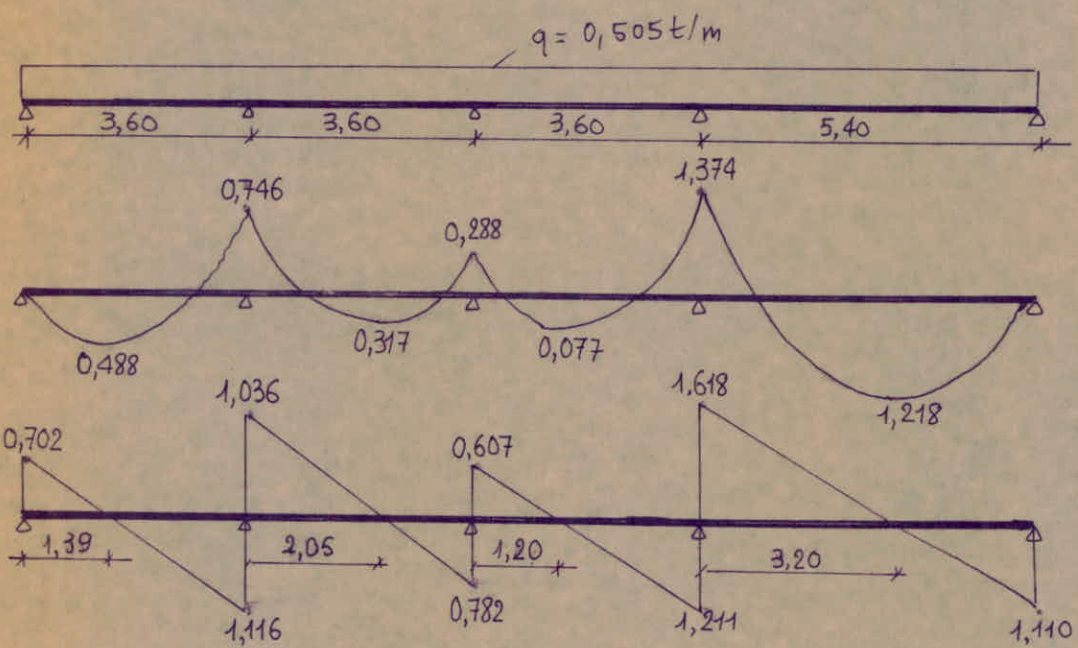
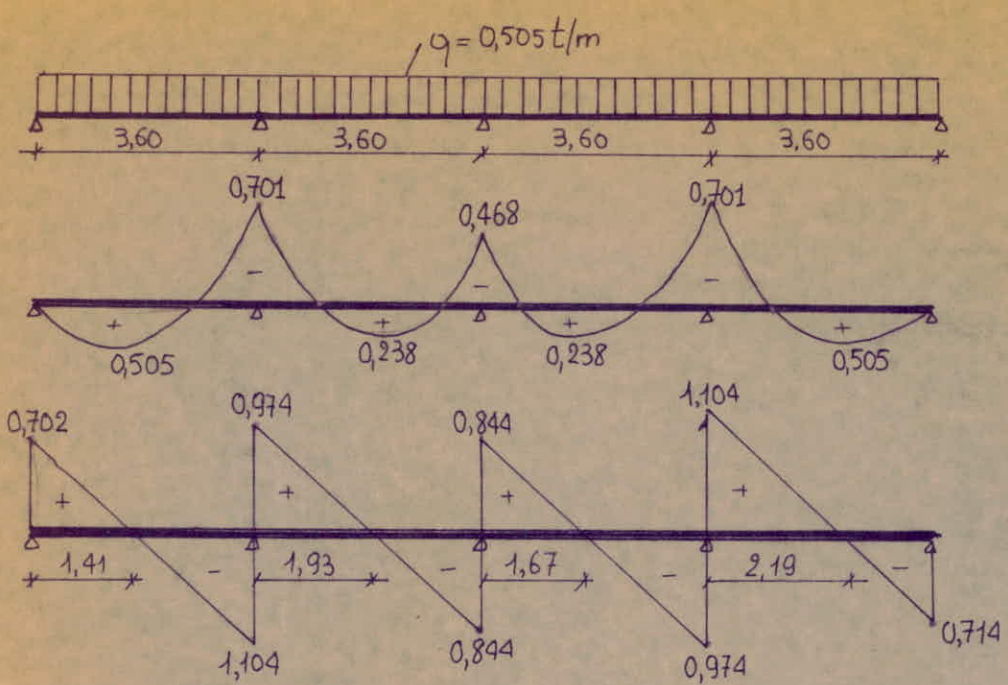
travée	x (m)	$M_{i,i+1}^{Max}$ (tm)
0-1	1,42	0,507
1-2	1,91	0,228
2-3	1,73	0,267
3-4	1,96	0,356
4-5	1,23	0,057
5-6	3,20	1,221

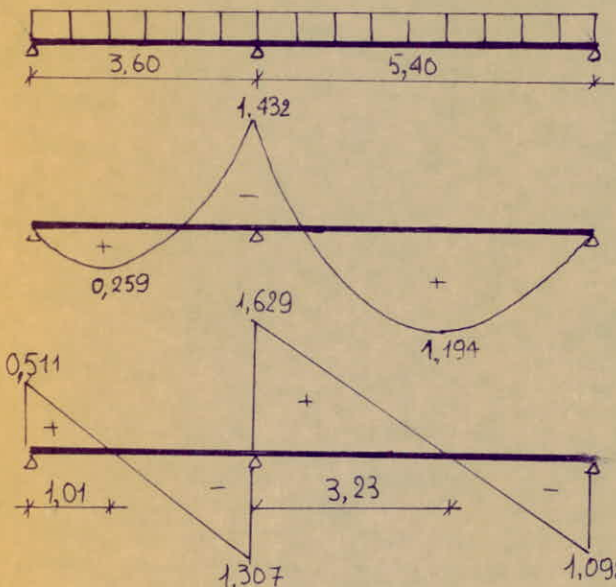
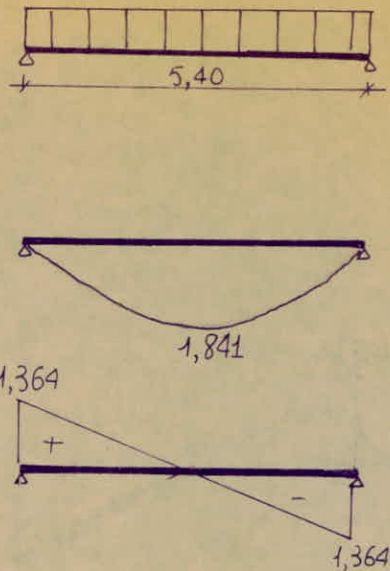
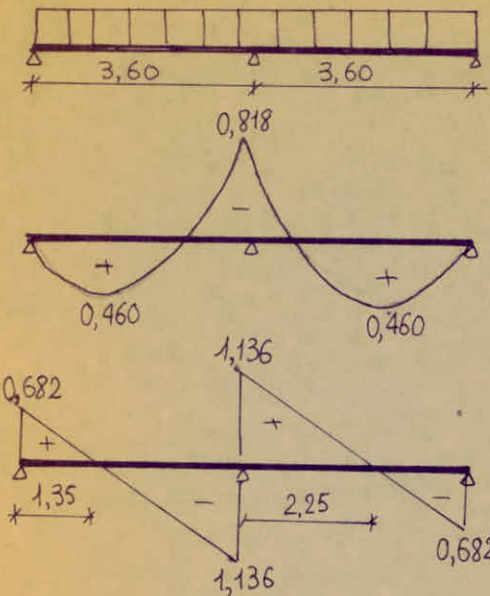


$$\begin{aligned} M(x) &= M_0(x) + M_i(1 - \frac{x}{l}) + M_{i+1} \frac{x}{l} \\ &= q(\frac{l-x^2}{2}) + \frac{(M_{i+1} - M_i)x}{l} + M_i \\ M_{Max} &= \frac{\partial M}{\partial x} = 0 \Rightarrow x = \frac{l}{2} + \frac{M_{i+1} - M_i}{lq} \end{aligned}$$

- d'où les diagrammes







ainsi tous les efforts (M, T) ont été déterminés pour les différentes poutrelles du plancher terrasse, concernant les efforts dans les poutrelles du plancher courants, les diagrammes sont homothétiques à ceux donnés ci-dessus avec le rapport.

$$m = \frac{(G + 1,2P)_{pc}}{(G + 1,2P)_{ter}} = \frac{(550 + 1,2 \times 250) \times 0,64}{(669 + 1,2 \times 100) \times 0,64} = \frac{544}{505} = 1,078$$

Peraillage des poutrelles .

Nous avons deux types de poutrelles préfabriquées dans tout le bâtiment (les deux blocs) afin d'éviter les erreurs pendant l'exécution toutes les poutrelles de 5,4m (resp 3,6m) seront peraillées de la même manière avec les efforts max.

terrasse →
(q = 0,505 t/m)

poutrelle	$M_{\text{travée}}^{\max}$ (tm)	M_{appui}^{\max} (tm)	T_{\max} (t)
$\ell = 3,60\text{m}$	0,507	- 1,374	1,307
$\ell = 5,40\text{m}$	1,841	- 1,374	1,629

plancher c.t. →
(q = 0,544 t/m)

poutrelle	$M_{\text{travée}}^{\max}$ (tm)	M_{appui}^{\max} (tm)	T_{\max} (t)
$\ell = 3,60\text{m}$	0,546	- 1,480	1,408
$\ell = 5,40\text{m}$	1,983	- 1,480	1,755

determination de la largeur de la table de compression CCB A68 - Art 23-31

$$b_1 = \frac{b - b_o}{2} = \min \left\{ \begin{array}{l} \frac{L}{10} = \frac{540}{10} = 54\text{cm} \\ \frac{P}{2} = \frac{64 - 12}{2} = 26\text{cm} \quad h_t = 25\text{cm} \\ (6 + 8)h_o = 6 \times 5 = 30\text{cm} \end{array} \right. \quad \begin{array}{c} b ? \\ \boxed{b} \\ h_o = 5 \\ b_1 ? \\ b_o \end{array}$$

$$\Rightarrow \frac{b - b_o}{2} = 26 \Rightarrow b = 2 \times 26 + b_o = 2 \times 26 + 12 = 64\text{cm.} \Rightarrow b_1 = 26\text{cm}$$

• Méthode de peraillage : la méthode adoptée est la méthode exacte.

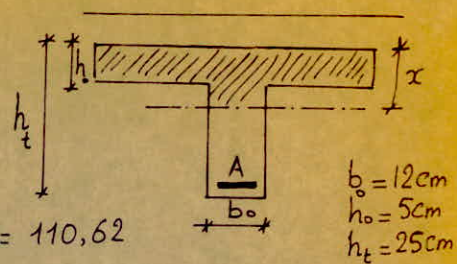
• ferraillage de la poutrelle de 5,40m

Section en travee

$$M = 1,983 \text{ t} \cdot \text{m} = 198300 \text{ kg} \cdot \text{cm}$$

$$\bar{\sigma}_b' = 137,5 \text{ kg/cm}^2$$

$$\bar{\sigma}_a = 2800 \text{ kg/cm}^2$$



Moment résistant de la table :

$$M_T = K_T b h^2 \quad K_T = \frac{\bar{\sigma}_a (h - h_{o/3})}{2m(h-h_o)} = \frac{2800 (23 - 5/3)}{2 \times 15 (23 - 5)} = 110,62$$

$$\Rightarrow M_T = 110,62 \cdot 64 \cdot 5^2 = 176992 \text{ kg} \cdot \text{cm} < 198300 \text{ kg} \cdot \text{cm} = M_{\text{er}} \Rightarrow x > h_o$$

→ l'AN tombe dans la nervure, la section se calcule comme une section en T.

Apres plusieurs iterations $\bar{\sigma}_b' = 55,47 \text{ kg/cm}^2$

$$\alpha = \frac{m \bar{\sigma}_b'}{m \bar{\sigma}_b' + \bar{\sigma}_a} = \frac{15 \cdot 55,47}{15 \cdot 55,47 + 2800} = 0,229 \Rightarrow x = \alpha h = 0,229 \cdot 23 = 5,269 \text{ cm}$$

$$N'_{b_1} = \frac{1}{2} \bar{\sigma}_b' x b = 0,5 \cdot 55,47 \cdot 5,269 \cdot 64 = 9352,63 \text{ kg}$$

$$z_1 = h - \frac{x}{3} = 23 - \frac{5,269}{3} = 21,244 \text{ cm}$$

$$M_{b_1} = N'_{b_1} \cdot z_1 = 9352,63 \cdot 21,244 = 198684,1 \text{ kg} \cdot \text{cm}$$

$$N'_{b_2} = \frac{1}{2} \bar{\sigma}_b' (b - b_o) \left(\frac{x - h_o}{x} \right)^2 = 0,5 \cdot 55,47 (64 - 12) \left(\frac{5,269 - 5}{5} \right)^2 = 20,872 \text{ kg}$$

$$z_2 = z_1 - \frac{2h_o}{3} = 21,244 - \frac{2 \cdot 5}{3} = 17,911 \text{ cm}$$

$$M_{b_2} = N'_{b_2} \cdot z_2 = 20,872 \cdot 17,911 = 373,83 \text{ kg} \cdot \text{cm}$$

$$\Rightarrow M_b = M_{b_1} - M_{b_2} = 198684,1 - 373,83 = 198310,3 \text{ kg} \cdot \text{cm} \quad M_{\text{er}} = 198300 \text{ kg} \cdot \text{cm}$$

$$\Rightarrow A_b = \frac{N'_b}{\bar{\sigma}_a} = \frac{N'_{b_1} - N'_{b_2}}{\bar{\sigma}_a} = \frac{9352,63 - 20,872}{2800} = 3,33 \text{ cm}^2$$

$$A_{\text{real}} = A_b \cdot \frac{M}{M_b} = 3,33 \cdot \frac{198300}{198310,3} = 3,33 \text{ cm}^2. \text{ on choisit } [A = 3T12 = 3,39 \text{ cm}^2]$$

Section à l'appui $M = 1,48 \text{ t} \cdot \text{m} = 148000 \text{ kg} \cdot \text{cm}$

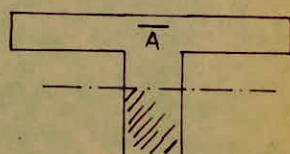
Moment résistant : $\bar{\alpha} = \frac{m \bar{\sigma}_b'}{m \bar{\sigma}_b' + \bar{\sigma}_a} = \frac{15 \cdot 137,5}{15 \cdot 137,5 + 2800} = 0,424$

$$\Rightarrow \bar{\gamma} = 1 - \frac{\bar{\alpha}}{3} = 1 - \frac{0,424}{3} = 0,859.$$

$$K = \frac{1}{2} \bar{\alpha} \bar{\gamma} \bar{\sigma}_b' = 0,5 \cdot 0,424 \cdot 0,859 \cdot 137,5 = 25,04 \Rightarrow M_{RB} = K b_o^2 = 25,04 \cdot 12 \cdot 23^2$$

$$\Rightarrow M_{RB} = 158953,92 \text{ kg} \cdot \text{cm} > 148000 \text{ kg} \cdot \text{cm} = M_{\text{er}} \Rightarrow \text{pas besoin d'aciérs comprimés}$$

$$\Rightarrow A = \frac{M}{\bar{\gamma} \bar{\sigma}_a} = \frac{M}{\bar{\gamma} h \bar{\sigma}_a} = \frac{148000}{0,859 \cdot 23 \cdot 2800} = 2,67 \text{ cm}^2 \text{ on choisit } [A = 2T14 = 3,08 \text{ cm}^2]$$



• Verification des contraintes

Section en travée :

- équation des moments statiques

$$\frac{bx^2}{2} - \frac{(b-b_0)(x-h_0)^2}{2} - m A (h-x) = 0$$

$$\Rightarrow 6x^2 + 310,85x - 1819,55 = 0$$

$$\Rightarrow x = 5,31 \text{ cm}$$

- équation du moment d'inertie :

$$I = \frac{bx^3}{3} - \frac{(b-b_0)(x-h_0)^3}{3} + m A (h-x)^2 = \frac{64 \cdot 5,31^3}{3} - \frac{(64-12)(5,31-5)^3}{3} + 15 \cdot 3,39 (23-5,31)^2$$

$$\Rightarrow I = 19106,34 \text{ cm}^4$$

$$\Rightarrow \sigma_b' = \frac{M}{I} x = \frac{198300}{19106,34} \cdot 5,31 = 55,11 \text{ kg/cm}^2 < \bar{\sigma}_b' = 137,5 \text{ kg/cm}^2$$

$$\sigma_a = m \cdot \frac{M}{I} (h-x) = 15 \cdot \frac{198300}{19106,34} (23-5,31) = 2754,84 < \bar{\sigma}_a = 2800 \text{ kg/cm}^2.$$

Section d'appui :

- équation des moments statiques

$$\frac{b_0 x^2}{2} - m A (h-x) = 0$$

$$\Rightarrow 6x^2 - 15 \cdot 3,08 (23-x) = 0$$

$$\Rightarrow x^2 - 7,7x + 177,1 = 0$$

$$\Rightarrow x = 10 \text{ cm}$$

- Moment d'inertie : $I = \frac{b_0 x^3}{3} + m A (h-x)^2 = \frac{12 \cdot 10^3}{3} + 15 \cdot 3,08 (23-10)^2 = 11807,8 \text{ cm}^4$

$$\Rightarrow \sigma_b' = \frac{M}{I} x = \frac{148000}{11807,8} \cdot 10 = 125,3 \text{ kg/cm}^2 < \bar{\sigma}_b' = 137,5 \text{ kg/cm}^2$$

$$\sigma_a = m \cdot \frac{M}{I} (h-x) = 15 \cdot \frac{148000}{11807,8} (23-10) = 2442,7 \text{ kg/cm}^2 < \bar{\sigma}_a = 2800 \text{ kg/cm}^2.$$

• Verification de la fissuration : on limite la contrainte dans les aciers tendus.

limite imposée par les caractéristiques mécaniques $\bar{\sigma}_o = \frac{2}{3} \sigma_{en}$.

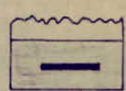
limite imposée par les conditions de fissuration .

fissuration systématique $\rightarrow \sigma_1 = \frac{K n}{\phi} \frac{\bar{\omega}_f}{1+10\bar{\omega}_f}$

fissuration non systématique $\rightarrow \sigma_2 = 2,4 \sqrt{\frac{K n \bar{\sigma}}{\phi}}$

en conclusion $\bar{\sigma}_o = \min \left\{ \frac{2}{3} \sigma_{en} ; \max(\sigma_1, \sigma_2) \right\}$

- Section en travée :



$$\bar{\omega}_f = \frac{A}{B_f} = \frac{3,39}{4 \times 12} = 0,071 ; \phi = 12 \text{ mm} ; n = 1,6 (\text{HA}) ; \bar{\sigma}_b = 5,8 \text{ bars}$$

$K = 1,5 \times 10^6$ car la fissuration étant peu nuisible

$$\sigma_1 = K \cdot \frac{n}{\phi} \cdot \frac{\bar{\omega}_f}{1+10\bar{\omega}_f} = 1,5 \times 10^6 \cdot \frac{1,6}{12} \cdot \frac{0,071}{1+10 \cdot 0,071} = 8304,1 \text{ bars} = 8462 \text{ kg/cm}^2$$

$$\sigma_2 = 2,4 \sqrt{\frac{K n \bar{\sigma}}{\phi}} = 2,4 \sqrt{\frac{1,5 \times 10^6 \cdot 1,6 \cdot 5,8}{12}} = 2585 \text{ bars} = 2634 \text{ kg/cm}^2$$

$$\Rightarrow \bar{\sigma}_o = \min \left\{ \frac{2}{3} \sigma_{en} ; \max(\sigma_1, \sigma_2) \right\} = 2800 \text{ kg/cm}^2 \text{ OK!!}$$

- Section d'appui : $\bar{\omega}_f = \frac{3,08}{4 \times 64} = 0,012 ; \phi = 14 \text{ mm} ; n = 1,6 (\text{HA}) ; \bar{\sigma}_b = 5,8 \text{ bars}$

$$\Rightarrow \left(\begin{array}{l} \sigma_1 = 1872 \text{ kg/cm}^2 \\ \sigma_2 = 2439 \text{ kg/cm}^2 \end{array} \right) \Rightarrow \bar{\sigma}_o = \min \left\{ 2800 ; \max(1872, 2439) \right\} = 2439 \text{ kg/cm}^2$$

on doit donc renforcer les contraintes avec $\bar{\sigma}_o = 2439 \text{ kg/cm}^2$.

$$\sigma_a = m \cdot \frac{M}{I} (h-x) = 2442,7 \text{ kg/cm}^2 > 2439 \text{ kg/cm}^2 \text{ (légèrement)} \Rightarrow 0,15\% \text{ OK!!}$$

Condition de non fragilité : (CCBA 68 ; Art 52)

$$A \geq 0,69 b h \frac{6\bar{\epsilon}}{\sigma_{en}}$$

travée : $A = 3,39 \text{ cm}^2 \geq 0,69 \cdot 64 \cdot 23 \cdot \frac{5,9}{4200} = 1,43 \text{ cm}^2$ OK!!

Appui : $A = 3,08 \text{ cm}^2 \geq 0,69 \cdot 12 \cdot 23 \cdot \frac{5,9}{4200} = 0,27 \text{ cm}^2$ OK!!

Verification de la flèche : (CCBA 68 - Art 58.4)

dans le cas où les conditions qui suivent sont vérifiées la vérification de la flèche est inutile.

$$1) \frac{h_t}{e} \geq \frac{M_t}{15 M_0}$$

$$2) \frac{h_t}{e} \geq \frac{1}{22,5}$$

$$3) \frac{A}{b_0 h} < \frac{36}{6\bar{\epsilon}_{en}}$$

$$1) \frac{h_t}{e} = \frac{25}{540} = 0,0463 > \frac{M_t}{15 M_0} = \frac{1,221}{15 \cdot 1,841} = 0,0442$$

$$2) \frac{h_t}{e} = \frac{25}{540} = 0,0463 > \frac{1}{22,5} = 0,0444$$

$$3) \frac{A}{b_0 h} = \frac{3,39}{12 \cdot 23} = 0,012 < \frac{36}{6\bar{\epsilon}_{en}} = \frac{36}{2850} = 0,0128$$

• Vérification de l'adhérence: (CCBA 68 - Art 29-1)
on calculera (\bar{C}) pour l'effort tranchant maximal.

$$T_{\max} = 1755 \text{ kg} \text{ on doit avoir } C_d < \bar{C}_d \text{ avec } \bar{C}_d = 2 \psi_d \bar{\sigma}_b ; \psi_d = \text{coeff de scellage} = 1,5 \text{ (HA)} \\ \bar{C}_d = 2 \cdot 1,5 \cdot 5,9 = 17,7 \text{ kg/cm}^2.$$

$$C_d = \frac{T}{mP_3} \Rightarrow m = 2 \\ \phi = 14 \text{ mm} \Rightarrow P = 4,4 \text{ cm} \quad \text{d'où} \quad T = \frac{1755}{2 \cdot 4,4 \cdot \frac{7}{8} \cdot 23} = 9,91 \text{ kg/cm}^2 < \bar{C}_d = 17,7 \text{ kg/cm}^2 \\ 3 = \frac{7}{8} h$$

donc les armatures ne risquent pas d'être entraînées, leur adhérence au béton est suffisante.

- Armatures transversales: (CCBA 68 - Art 25)

Les armatures transversales seront calculées à partir de l'effort tranchant max.

$$T_{\max} = 1755 \text{ kg} \Rightarrow C_b = \frac{T}{b_0 h} = \frac{1755}{12 \cdot \frac{7}{8} \cdot 23} = 7,27 \text{ kg/cm}^2.$$

$$\bar{\sigma}_b' = 125,3 \text{ kg/cm}^2 \text{ (à l'appui)}$$

$$\text{donc } \bar{\sigma}_b' < \bar{\sigma}_b < \bar{\sigma}_b' \Rightarrow \bar{C}_b = (4,5 - \frac{\bar{\sigma}_b'}{\bar{\sigma}_b}) \bar{\sigma}_b = (4,5 - \frac{125,3}{68,7}) \cdot 5,9 = 15,79 \text{ kg/cm}^2.$$

$C_b = 7,27 \text{ kg/cm}^2 < \bar{C}_b = 15,79 \text{ kg/cm}^2 \rightarrow$ on utilisera des armatures transversales perpendiculaire à la ligne moyenne

Calcul de la contrainte admissible détraction des armatures transversales.

$$\bar{\sigma}_{at} = \sigma_{at} \bar{\sigma}_{en} \text{ avec } \sigma_{at} = \text{Max} \left\{ \frac{2}{3}, 1 - \frac{C_b}{9 \bar{\sigma}_b} \right\} \text{ pas de reprise de betonnage.}$$

$$\text{mais on a reprise de betonnage.} \Rightarrow \bar{\sigma}_{at} = \frac{2}{3} \bar{\sigma}_{en} = \frac{2}{3} \cdot 2400 = 1600 \text{ kg/cm}^2.$$

espacement admissible:

$$t < \bar{E} = \max \left\{ t_1 = 0,2 h = 0,2 \times 23 = 4,6 \text{ cm} \right. \\ \left. t_2 = h \left(1 - 0,3 \frac{C_b}{\bar{\sigma}_b} \right) = 23 \left(1 - 0,3 \cdot \frac{7,27}{5,9} \right) = 14,50 \text{ cm} \right. \\ \Rightarrow \bar{E} = 14 \text{ cm.}$$

on choisit un étier $\phi 6 \Rightarrow A_t = 2 \phi 6 = 0,56 \text{ cm}^2$ d'où

$$t = \frac{A_t \bar{\sigma}_{at}}{T} = \frac{0,56 \cdot 7/8 \cdot 23 \cdot 1600}{1755} = 10,27 \text{ cm}$$

$$t = 10,27 \text{ cm} < \bar{E} = 14 \text{ cm} \Rightarrow \text{on prend } t = 10 \text{ cm}$$

le 1^{er} cours d'armatures transversales est à une distance $\frac{t}{2} = 5 \text{ cm}$ de l'appui
pour les autres espacements on applique la série de caquof tout en respectant
l'article (25-12) du CCBA 68 qui préconise un espacement $t \leq h = 23 \text{ cm.}$

Ferraillage de la poutrelle de 3,6 m.

- Section en travée : $M = 0,546 \text{ t.m}$
 $\bar{\sigma}_b' = 137,5 \text{ kg/cm}^2$
 $\bar{\sigma}_a = 2800 \text{ kg/cm}^2$

Moment résistant de la table.

$$M_T = K_T b h_0^2 ; \text{ avec } K_T = \frac{\bar{\sigma}_a (h - h_0/3)}{2m(h-h_0)} = \frac{2800 - 5/3}{2 \times 15(23-5)} = 110,62$$

$$\Rightarrow M_T = 110,62 \times 64 \times 5^2 = 176992 \text{ kg.cm} > M_{\text{ext}} = 54600 \text{ kg.cm}$$

$\Rightarrow x < h_0 \Rightarrow$ l'axe neutre tombe dans la table.

La section se calcule comme une section rectangulaire de largeur $b = 64 \text{ cm}$.

Moment résistant : $M_{RB} = \frac{1}{2} \bar{\alpha} \bar{\sigma}_a b h^2$

$$\bar{\alpha} = \frac{m \bar{\sigma}_b'}{m \bar{\sigma}_b' + \bar{\sigma}_a} = \frac{15 \times 137,5}{15 \times 137,5 + 2800} = 0,424 \Rightarrow \bar{\alpha} = 1 - \frac{\bar{\alpha}}{3} = 0,859$$

$$\Rightarrow M_{RB} = 0,5 \times 0,424 \times 0,859 \times 137,5 \times 64 \times 23^2 = 847754,24 \text{ kg.cm} \ggg M_{\text{ext}} = 54600 \text{ kg.cm}$$

\Rightarrow on n'a pas besoin d'armatures comprimées.

d'où $A = \frac{M_{\text{ext}}}{\bar{\alpha} \bar{\sigma}_a} = \frac{54600}{2800 \cdot 0,859 \cdot 23} = 0,99 \text{ cm}^2 \rightarrow$ on choisit 1 T12 = 1,13 cm²

- Section d'appui : $M = 1,480 \text{ t.m}$

idem que la poutre de 5,40m
 $A' = 0$ et $A = 2T14 = 3,08 \text{ cm}^2$

Vérification des contraintes :

- Section en travée :

$$M_{\text{stat}} \rightarrow \frac{bx^2}{2} - m A(h-x) = 0 \Rightarrow 32x^2 + 16,95x - 389,85 = 0$$

$$\Rightarrow x = 3,23 \text{ cm}$$

$$I = \frac{bx^3}{3} + m A(h-x)^2 = 64 \cdot \frac{3,23^3}{3} + 15 \cdot 1,13 \cdot (23-3,23)^2 = 7343,9 \text{ cm}^4$$

$$\Rightarrow (\bar{\sigma}_b' = \frac{M}{I} \times x = \frac{148000}{7343,9} \times 3,23 = 24 \text{ kg/cm}^2 << \bar{\sigma}_b' = 137,5 \text{ kg/cm}^2)$$

$$\bar{\sigma}_a = m \frac{M}{I} (h-x) = 15 \cdot \frac{148000}{7343,9} \cdot (23-3,23) = 2205 \text{ kg/cm}^2 < \bar{\sigma}_a = 2800 \text{ kg/cm}^2$$

- Section d'appui :

idem. $x = 10 \text{ cm}$ $I = 11807,8 \text{ cm}^4 \}$ $\Rightarrow (\bar{\sigma}_b' = \frac{M}{I} x = 125,3 \text{ kg/cm}^2 < \bar{\sigma}_b' = 137,5 \text{ kg/cm}^2)$

$$(\bar{\sigma}_a = m \frac{M}{I} (h-x) = 2442,7 \text{ kg/cm}^2 < \bar{\sigma}_a = 2800 \text{ kg/cm}^2)$$

• Verification de la condition de non fragilité (CCBA 68 - Art 52)

$$A \geq 0,69 b h \frac{\bar{\sigma}_b}{\bar{\sigma}_{en}}$$

- En travée $A = 1,13 \text{ cm}^2 \geq 0,69 b h \frac{\bar{\sigma}_b}{\bar{\sigma}_{en}} = 0,69 \cdot 12 \cdot 23 \cdot \frac{5,9}{4200} = 0,27 \text{ cm}^2 \text{ OK!!}$

- A l'appui $A = 3,08 \text{ cm}^2 \geq 0,69 b h \frac{\bar{\sigma}_b}{\bar{\sigma}_{en}} = 0,69 \cdot 64 \cdot 23 \cdot \frac{5,9}{4200} = 1,43 \text{ cm}^2 \text{ OK!!!}$

• Verification de la flèche : (CCBA 68 - Art 58-4)

si les conditions suivantes sont vérifiées en même temps il est alors inutile de vérifier la flèche. les conditions sont:

$$1) \frac{h_t}{e} \geq \frac{M_t}{15 M_o} \quad 2) \frac{h_t}{e} \geq \frac{1}{22,5} \quad 3) \frac{A}{b_o h} \leq \frac{36}{\bar{\sigma}_{en}}$$

1) $\frac{h_t}{e} = \frac{25}{360} = 0,069 > \frac{M_t}{15 M_o} = \frac{54600}{15 \cdot 88128} = 0,041 \text{ oui}$

2) $\frac{h_t}{e} = \frac{25}{360} = 0,069 > \frac{1}{22,5} = 0,044 \text{ oui}$

3) $\frac{A}{b_o h} = \frac{1,13}{12 \cdot 23} = 0,0041 < \frac{36}{4200} = 0,0086 \text{ oui}$

donc il n'y a pas lieu de vérifier la flèche car les conditions ci dessus sont toutes satisfaites.

• Verification de la fissuration:

- En travée : (fissuration de la nervure) $A = 1,13 \text{ cm}^2$

$$\tilde{w}_f = \frac{A}{B_f} = \frac{1,13}{4 \cdot 12} = 0,024 ; \quad \sigma_1 = 1,5 \cdot 10^6 \cdot \frac{1,6}{12} \cdot \frac{0,024}{1+10 \cdot 0,024} = 3871 \text{ bars} = 3945 \frac{\text{k}}{\text{cm}^2}$$
$$\sigma_2 = 2,4 \sqrt{\frac{1,5 \cdot 10^6 \cdot 1,6 \cdot 5,8}{12}} = 2585 \text{ bars} = 2634 \frac{\text{k}}{\text{cm}^2}$$

$$\Rightarrow \bar{\sigma}_{af} = \min \left\{ \frac{2}{3} \bar{\sigma}_{en} = 2800 ; \max(\sigma_1, \sigma_2) \right\} = 2800 \frac{\text{k}}{\text{cm}^2} \text{ OK!}$$

- A l'appui (fissuration de la table) $A = 3,08 \text{ cm}^2$

$$\bar{\sigma}_{af} = \min \left\{ \frac{2}{3} \bar{\sigma}_{en} = 2800 ; \max(1872 = \sigma_1, 2439 = \sigma_2) \right\} = 2439 \frac{\text{k}}{\text{cm}^2} ??$$

donc il faut revoir les contraintes avec $\bar{\sigma}_a = 2439 \frac{\text{k}}{\text{cm}^2}$.

$$\bar{\sigma}_a = m \cdot \frac{M}{I} (h-x) = 15 \cdot 12,53 (23-10) = 2442,7 > 2439 \text{ k/cm}^2$$

$$\frac{2442,7 - 2439}{2439} = 0,15\% \text{ admissible.}$$

• Vérification de l'adhérence : (Art 29-1. CCBA 68)

$T_{max} = 1408 \text{ kg}$. on doit avoir sous l'effet de T_{max} : $\bar{\zeta}_d < \bar{\zeta}_d$

$$\bar{\zeta}_d = 2 \zeta_d \bar{\zeta}_b = 2 \times 1,5 \times 5,9 = 17,7 \text{ kg/cm}^2$$

$$\zeta_d = \frac{T}{mP_3} \quad n=12 \\ \phi = 14 \text{ m} \Rightarrow P = 4,4 \cdot \Rightarrow \zeta_d = \frac{1408}{2 \times 4,4 \times \frac{7}{8} \times 23} = 7,95 \text{ kg/cm}^2 < \bar{\zeta}_d = 17,7 \text{ kg/cm}^2$$

donc la condition de non entraînement des barres est satisfaite.

• Armatures transversales..

$$\bar{\zeta}_b = \frac{T_{max}}{b_0 \cdot 3} = \frac{1408}{12 \cdot \frac{7}{8} \cdot 23} = 5,83 \text{ kg/cm}^2$$

$$\bar{\zeta}_b' = 68,5 < \bar{\zeta}_b' = 125,3 \text{ kg/cm}^2 < \bar{\zeta}_b' = 137,5 \Rightarrow \bar{\zeta}_b = (4,5 - \frac{\bar{\zeta}_b'}{\bar{\zeta}_b}) \bar{\zeta}_b = (4,5 - \frac{125,3}{68,5}) 5,9 = 15,79 \text{ kg/cm}^2$$

$$\Rightarrow \bar{\zeta}_b = 5,83 \text{ kg/cm}^2 < \bar{\zeta}_b = 15,79 \text{ kg/cm}^2$$

Contrainte admissible de traction des armatures transversales.

$$\bar{\sigma}_{at} = \frac{2}{3} \bar{\sigma}_{cu} = \frac{2}{3} \cdot 2400 = 1600 \text{ kg/cm}^2 \text{ (Reprise de bétonnage)}$$

$$\text{espacement admissible : } t < \bar{E} = \max \left\{ \begin{array}{l} t_1 = 0,2h = 0,2 \times 23 = 4,6 \text{ cm} \\ t_2 = h(1 - 0,3 \frac{\bar{\zeta}_b}{\bar{\zeta}_b'}) = 23(1 - 0,3 \frac{5,83}{125,3}) = 16,19 \text{ cm} \end{array} \right.$$

$$\Rightarrow \bar{E} = 16 \text{ cm.}$$

on choisit un étier Ø6 $\Rightarrow A_t = 2 \phi 6 = 0,56 \text{ cm}^2$ d'où

$$t = \frac{A_t \cdot \bar{\sigma}_{at}}{\bar{T}} = \frac{0,56 \times \frac{7}{8} \times 23 \cdot 1600}{1408} = 12,80 \text{ cm} < \bar{E} = 16 \text{ cm.}$$

donc on prendra finalement $t = 12 \text{ cm.}$

le premier cours d'armature transversale sera une distance $\frac{t}{2} = 6 \text{ cm}$ de l'effeuille et on conservera l'espacement $t = 12 \text{ cm}$ le long de la poutrelle.

feraillage de la table de compression: (CCBA68 - Art 58)

la table de compression sera armée par un treillis soudé en $\phi 6$, cependant les dimensions de la mailles ne doivent pas dépasser les 20cm pour les armatures perpendiculaires aux nervures et 33cm pour les armatures parallèles aux nervures. On adoptera un treillis soudé de 20×20 en $\phi 6 \Rightarrow A = 1,41 \text{ cm}^2$.

on doit vérifier :

$$1) 50 < l_n < 80 \text{ cm} \quad 2) A_{\perp} > \frac{43}{6 \text{ en}} l_n \quad 3) A_{\parallel} > \frac{A_{\perp}}{2}$$

$$1) 50 < l_n = 64 \text{ cm} < 80 \text{ vérifiée}$$

$$2) A_{\perp} = 1,41 \text{ cm}^2 > \frac{43}{6 \text{ en}} l_n = \frac{43}{5300} \cdot 64 = 0,52 \text{ cm}^2 \text{ vérifiée}$$

$$3) A_{\parallel} = 1,41 \text{ cm}^2 > \frac{A_{\perp}}{2} = \frac{1,41}{2} = 0,705 \text{ cm}^2 \text{ vérifiée.}$$

donc nous maintenons le treillis soudé $20 \times 20 \phi 6$

ESCALIERS

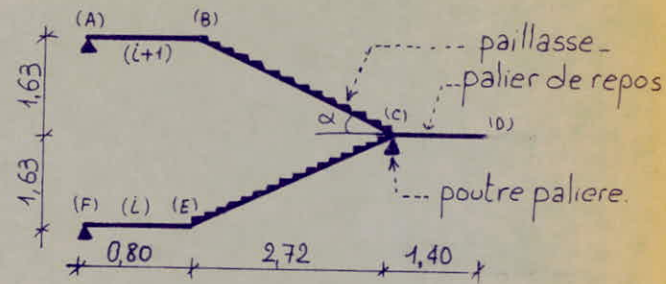
le bâtiment étudié comporte un seul type d'escaliers constitué de deux paillasses et d'un palier intermédiaire à mi étage (de repos) et de deux paliers courants au niveau des étages.

A. Escaliers de l'étage courant :

le schéma de calcul adopté est le suivant. Nous décomposons l'escalier en deux parties et nous étudierons en premier la volée ABCD et nous adopterons le même ferrailage pour la volée DCEF.

Les dimensions de la marche et contre marche doivent satisfaire la condition empirique de "BLONDEL" afin d'avoir un confort pendant l'utilisation.

$$\begin{aligned} \text{"BLONDEL"} \rightarrow & 1) 59 \ll g + 2h \ll 64 \text{ cm} \\ & 2) \dots g > h \dots \end{aligned}$$



Marche? → Longueur de la paillasse: $\frac{1,63}{2,72} = 0,5992 \Rightarrow \cos\alpha = 0,8577 \Rightarrow \rho = \frac{2,72}{\cos\alpha} = 3,17 \text{ m}$.

Sur cette longueur nous avons disposé 10 marches $(9 \times 32) + (29)$ ← dernière marche.
(10) Marches → (11) contre marches soit $(10 \times 15) + (13)$ ← dernière contre marche.

Vérification de la condition de "BLONDEL":

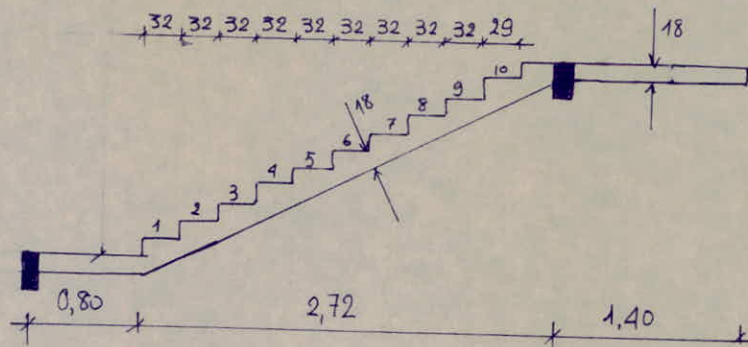
$$\begin{aligned} g &= 32 > h = 15 \\ 59 &< g + 2h = 62 < 64 \Rightarrow \text{confort!} \end{aligned}$$

determination de l'épaisseur de la paillasse et du palier:

$$\frac{L}{30} \ll e \ll \frac{L}{20} \quad L = CB + BA = 3,17 + 0,80 = 3,97$$

$$\Rightarrow \frac{397}{30} \ll e \ll \frac{397}{20} \text{ soit } 13,23 \ll e \ll 19,85 \text{ cm}$$

on prendra comme épaisseur pour la paillasse $e = 18 \text{ cm}$, qu'on maintiendra aussi pour tous les paliers!. ainsi nous avons à étudier.



charges et surcharges :

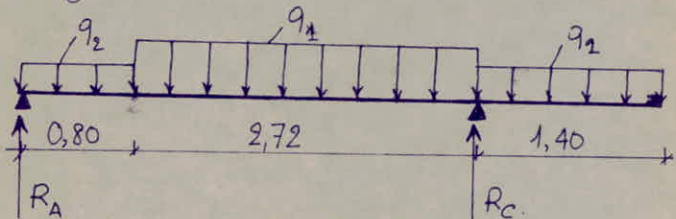
— PAILLASSE —

- dalle	$0,18 \cdot 2500 / \cos \alpha$	$= 525 \text{ kp/m}^2$
- Marches	$0,15 \cdot 2200 / 2$	$= 165 \text{ kg/m}^2$
- Carrelage + Mortier de pose		$= 84 \text{ kg/m}^2$
- garde corps		$= 75 \text{ kg/m}^2$
charge permanente	$G = 839 \text{ kg/m}^2$	
surcharge d'exploitation S	$= 400 \text{ kg/m}^2$	
$\Rightarrow q_1 = G + 1,2S = 1319 \text{ kg/m}^2$		
pour une bande de 1m $\rightarrow q_1 = 1319 \text{ kg/m}$		

— PALIER —

- dalle	$0,18 \times 2500 \dots = 450 \text{ kp/m}^2$
- Revêtement	$= 84 \text{ kp/m}^2$
charge permanente	$G = 534 \text{ kp/m}^2$
surcharge d'exploitation S	$= 400 \text{ kp/m}^2$
soit $q_2 = G + 1,2S = 1014 \text{ kp/m}^2$	
pour une bande de 1m: $q_2 = 1014 \text{ kp/m}$	

Shema statique:



- Calcul des réactions: $R_A + R_C = q_1(2,72) + q_2(1,40 + 0,80) = 5818,48 \text{ kg}$

$$\sum M/C = 0 \Rightarrow R_A(2,72 + 0,8) - q_2 \frac{(0,8 + 2,72)^2}{2} - (q_1 - q_2) \frac{2,72^2}{2} + q_2 \cdot \frac{1,40^2}{2} = 0$$

$$\Rightarrow R_A = 1822,86 \text{ kg}$$

$$R_C = 3995,62 \text{ kg}$$

- Diagrammes des efforts M et T:

$$\bullet 0 \leq x \leq 0,8 \rightarrow \begin{cases} M = -q_2 \frac{x^2}{2} + R_A x \\ m = -507x^2 + 1822,86x \end{cases} \Rightarrow \begin{cases} M(0) = 0 \\ M(0,8) = 1134 \text{ kgm} \end{cases}$$

$$\Rightarrow T = \frac{\partial M}{\partial x} = -1014x + 1822,86 \Rightarrow \begin{cases} T(0) = 1822,86 \text{ kp} \\ T(0,8) = 1011,66 \text{ kp} \end{cases}$$

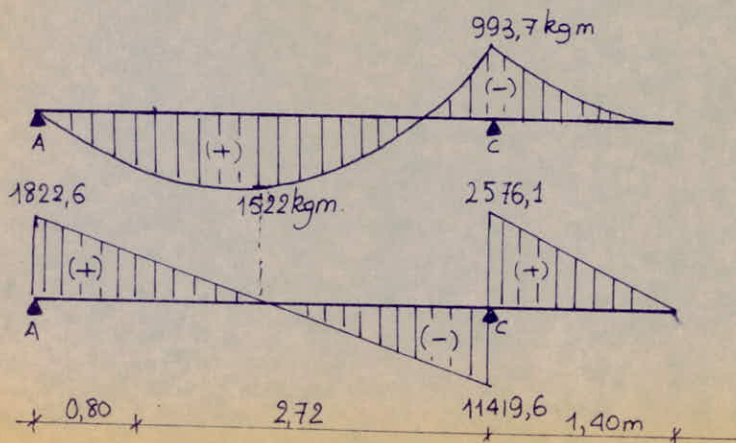
$$\bullet 0 < x \leq 2,72 \rightarrow \begin{cases} M = -q_2 \frac{x^2}{2} - q_2 \cdot 1,40(x + \frac{1,4}{2}) + R_C x \\ m = -659,5x^2 - 2576,1x - 993,7 \end{cases} \Rightarrow \begin{cases} M(0) = -993,7 \text{ kp} \\ M(2,72) = 1134 \text{ kp} \end{cases}$$

$$\Rightarrow T = \frac{\partial M}{\partial x} = -1319x + 2576,1 \Rightarrow \begin{cases} T(0) = 2576,1 \text{ kp} \\ T(2,72) = 1011,6 \text{ kp} \end{cases}$$

Moment max entravé $\frac{\partial M}{\partial x} = 0 \Rightarrow -1319x + 2576,1 = 0 \Rightarrow x = 1,95 \text{ m} \Rightarrow M_{t \text{ max}} = 1522 \text{ kp/m}$.

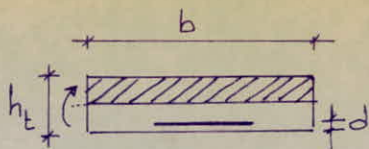
$$\bullet 0 < x \leq 1,40 \rightarrow \begin{cases} M = -q_2 \frac{x^2}{2} \\ = -507x^2 \end{cases} \Rightarrow \begin{cases} M(0) = 0 \\ M(1,40) = 993,70 \text{ kgm} \end{cases}$$

$$\Rightarrow T = \frac{\partial M}{\partial x} = -1014x \Rightarrow \begin{cases} T(0) = 0 \\ T(1,4) = -1419,60 \text{ kp} \end{cases}$$



Feraillage :

1) En travée (Paillasse) $M_t^{\max} = 1522 \text{ kgm}$.
 $h_t = 18$, $b = 100 \text{ cm}$, $d = 2 \text{ cm}$.



Moment résistant du béton : $M_{rb} = \frac{b}{8} bh^2$

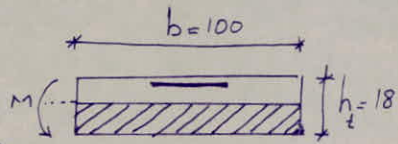
$$\bar{k} = \frac{1}{2} \bar{\alpha} \bar{\sigma}_b' (1 - \frac{\bar{x}}{\bar{s}}) \quad ; \quad \bar{\alpha} = \frac{m \bar{\sigma}_b'}{m \bar{\sigma}_b' + \bar{\sigma}_a} = \frac{15 \cdot 137}{15 \cdot 137 + 2800} = 0,423 \Rightarrow \bar{s} = 1 - \frac{\bar{x}}{3} = 0,859$$

$$\Rightarrow \bar{k} = \frac{1}{2} \cdot 0,423 \cdot 137 \cdot (1 - 0,423/3) = 24,89 \Rightarrow M_{rb} = \bar{k} b h^2 = 24,89 \cdot 100 \cdot 16^2$$

soit. $M_{rb} = 6371,89 \text{ kgm} > M_{ext} = 1522 \text{ kgm} \Rightarrow$ Les aciers comprimés sont inutiles.

$$A = \frac{M}{\bar{s} h \bar{\sigma}_a} = \frac{152200}{0,859 \cdot 16 \cdot 2800} = 3,95 \text{ cm}^2 \Rightarrow \text{on choisit } 5T10 = 3,92 \text{ cm}^2/\text{ml}$$

2) A l'appui : $M = -993,7 \text{ kgm}$.



$$M_{rb} = 6371,89 \text{ kgm} > M_{ext} = 993,7 \text{ kgm} \Rightarrow A' = 0$$

$$A = \frac{M}{\bar{s} h \bar{\sigma}_a} = \frac{99370}{0,859 \cdot 16 \cdot 2800} = 2,58 \text{ cm}^2 \Rightarrow \text{on choisit } 4T10 = 3,14 \text{ cm}^2/\text{ml}$$

Vérification des contraintes :

• En travée : équation des moments statiques. (Axe neutre ?)

$$\frac{1}{2} b x^2 - m A (h - x) = 0$$

$$\Rightarrow \frac{1}{2} \cdot 100 x^2 - 15 \cdot 3,92 (16 - x) = 0 \Rightarrow x = 3,88 \text{ cm}$$

équation du moment d'inertie.

$$I = \frac{1}{2} b x^3 + m A (h - x)^2$$

$$= \frac{1}{2} \cdot 100 \cdot 3,88^3 + 15 \cdot 3,92 (16 - 3,88)^2 \Rightarrow I = 11557,94 \text{ cm}^4$$

$$\Rightarrow \bar{\sigma}_b' = \frac{M x}{I} = \frac{152200 \cdot 3,88}{11557,94} = 51,09 \text{ kp/cm}^2 < \bar{\sigma}_b' = 137 \text{ kp/cm}^2 !!!$$

$$\bar{\sigma}_a' = m \frac{M}{I} (h - x) = 15 \cdot \frac{152200}{11557,94} (16 - 3,88) = 2394,02 \text{ kp/cm}^2 < 2800 \text{ kp/cm}^2 !!!$$

• A l'appui : AN? $\frac{1}{2} \cdot 100 x^2 - 15 \cdot 3,14 (16 - x) = 0 \Rightarrow x = 3,44 \text{ cm}$

$$x = 3,44 \Rightarrow I = \frac{1}{2} b x^3 + m A (h - x) = \frac{1}{2} \cdot 100 \cdot 3,44^3 + 15 \cdot 3,44 (16 - 3,44) = 8922 \text{ cm}^4$$

$$\Rightarrow \left(\begin{array}{l} \bar{\sigma}_b' = \frac{M}{I} x = \frac{99370}{8922} \cdot 3,44 = 38,74 \text{ kp/cm}^2 < \bar{\sigma}_b' = 137 \text{ kp/cm}^2 !!! \\ \bar{\sigma}_a' = m \frac{M}{I} (h - x) = 15 \cdot \frac{99370}{8922} (16 - 3,44) = 2122,12 \text{ kp/cm}^2 < \bar{\sigma}_a' = 2800 \end{array} \right)$$

Verification de la fissuration:

• travée : $\tilde{w}_f = \frac{A}{2bd} = \frac{3,92}{2 \times 100 \times 2} = 0,98 \times 10^{-2}$.

$$\sigma_1 = \frac{\kappa n}{\phi} \cdot \frac{\tilde{w}_f}{1+10\tilde{w}_f} = \frac{1,5 \cdot 10^6 \cdot 1,6}{10} \frac{0,98 \times 10^{-2}}{1+10 \cdot 0,98 \times 10^{-2}} = 2329,17 \text{ bars} = 2373,42 \text{ kg/cm}^2$$

$$\sigma_2 = 2,4 \sqrt{\frac{\kappa n \bar{\sigma}_b}{\phi}} = 2,4 \sqrt{\frac{1,5 \cdot 10^6 \cdot 1,6 \cdot 5,9}{10}} = 2831,59 \text{ bars} = 2885,39 \text{ kg/cm}^2.$$

$$\text{Max}(\sigma_1, \sigma_2) = 2831,59 \text{ kg/cm}^2 > 2800 \text{ Verifiée.}$$

- pour l'appui(c) la condition est vérifiée aussi $\rightarrow (\frac{\sigma_1}{\sigma_2} =$

Condition de non fragilité : (CCBA 68 Art 52)

$$A \geq 0,69 \frac{bh}{\bar{\sigma}_{en}} = 0,69 \times 100 \times 16 \times \frac{5,9}{4200} = 1,55 \text{ kg/cm}^2. \text{ Verifiée}$$

Verification de la flèche:

$$\frac{A}{bh} \leq \frac{43}{\bar{\sigma}_{en}} \quad \text{pois} \quad \frac{A}{bh} = \frac{3,92}{100 \times 16} = 0,25 \times 10^{-2} \quad \left| \begin{array}{l} \text{verifiée.} \\ \frac{43}{\bar{\sigma}_{en}} = \frac{43}{4200} = 1,02 \times 10^{-2} \end{array} \right.$$

Armatures transversales :

$$\text{Appui: } T_{max} = 2576,1 \text{ kp} \Rightarrow C_{bmax} = \frac{T_{max}}{bz}.$$

$$M_i^{\text{stat}} \rightarrow x = 3,44 \text{ cm} \Rightarrow z = h - \frac{x}{3} = 16 - \frac{3,44}{3} = 14,85 \text{ cm.}$$

$$\Rightarrow C_b^{max} = \frac{2576,1}{100 \cdot 14,85} = 1,73 \text{ kg/cm}^2 < \bar{C}_b = 1,25 \bar{\sigma}_b = 1,25 \times 5,9 = 6,8 \text{ kg/cm}^2.$$

Comme $C_b^{max} < \bar{C}_b \Rightarrow$ les armatures transversales ne sont pas nécessaires.

- Verification de l'effort tranchant:

$$A \bar{\sigma}_a \geq T + \frac{M}{z} \quad A \bar{\sigma}_a = 3,14 \times 2800 = 8792 \text{ kp.}$$

$$T + \frac{M}{z} = 2576,1 + \frac{99370}{14,85} = 4115,48 \text{ kp}$$

$$\Rightarrow A \bar{\sigma}_a = 8792 \text{ kp} > T + \frac{M}{z} = 4115 \text{ kp.} \quad z = h - \frac{x}{3}.$$

- Armatures de répartition:

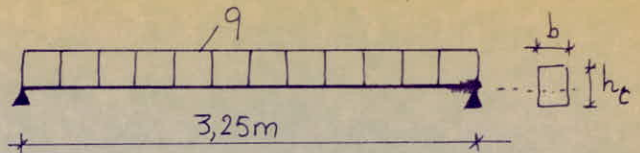
$$\frac{A}{4} < A_r < \frac{A}{3} \quad \text{pois} \quad \frac{3,92}{4} < A_r < \frac{3,92}{3} \Rightarrow 0,98 < A_r < 1,31 \text{ cm}^2/\text{m}$$

$$\text{on prendra } A_r = 4\phi 8/\text{ml} \Rightarrow A = 2,01 \text{ cm}^2/\text{ml.}$$

$$t = 25 \text{ cm}$$

$$t = 25 \text{ cm} < 3h = 3 \times 16 = 48 \text{ cm.}$$

Calcul de la poutre palier



pour la poutre palier on a adopté une section rectangulaire $b \times h_t = 30 \times 35$
charge revenant à la poutre:

$$\begin{array}{ll} \text{- poids propre} & 0,30 \times 0,35 \times 2500 = 262,5 \text{ kp/m} \\ \text{- Réaction} & R_c = 3995,6 \text{ kp/m} \\ \hline & q = 4258,1 \text{ kp/m.} \end{array}$$

la poutre étant isostatique $\Rightarrow M_o = \frac{q l^2}{8} = 4258,1 \times \frac{3,25^2}{8} = 5622,02 \text{ kg.m.}$
en considérant un semi encastrement aux appuis.

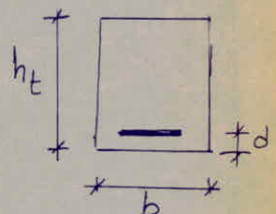
$$M_t = 0,85 M_o = 4778,72 \text{ kp.m.}$$

$$M_{ap} = 0,30 M_o = 1686,61 \text{ kp.m.}$$

$$\text{- effort tranchant } T = \frac{q l}{2} = 4258,1 \times \frac{3,25}{2} = 6919,41 \text{ kp.}$$

Determination des armatures

1). En travée: $M_t = 4778,72 \text{ kp.m.} ; b = 30 \text{ cm} ; h_t = 35 \text{ cm}$
 $d = 3 \text{ cm} \Rightarrow h = 32 \text{ cm.}$



$$M_{rb} = \bar{k} b h^2 \quad \bar{k} = \frac{1}{2} \bar{\alpha}_b \bar{\alpha} \left(1 - \frac{\bar{\alpha}}{3}\right) h$$

$$\bar{\alpha} = \frac{m \bar{\alpha}_b}{m \bar{\alpha}_b + \bar{\alpha}} = \frac{15 \times 137}{15 \times 137 + 2800} = 0,423 \Rightarrow \bar{\gamma} = 1 - \frac{\bar{\alpha}}{3} = 0,859.$$

$$\Rightarrow \bar{k} = \frac{1}{2} \times 137 \times 0,423 \left(1 - \frac{0,423}{3}\right) = 24,89 \Rightarrow M_{rb} = \bar{k} b h^2 = 24,89 \times 30 \times 32^2$$

$$\Rightarrow M_{rb} = 764620,8 \text{ kp.cm} = 7646,21 \text{ kp.m} > M_t = 4778,72 \text{ kp.m.}$$

\Rightarrow les aciers comprimés ne sont pas nécessaires.

$$A = \frac{M}{\bar{\gamma} h \bar{\alpha}} = \frac{4778,72 \times 10^2}{0,859 \times 32 \times 2800} = 6,21 \text{ cm}^2 \text{ on prendra } 4T14 = 6,15 \text{ cm}^2.$$

2) A l'appui: $M_{ap} = 1686,61 \text{ kp.m.} < M_{rb} = 7646,21 \text{ kp.m.} \Rightarrow A' = 0$

$$A = \frac{M}{\bar{\gamma} h \bar{\alpha}} = \frac{1686,61 \times 10^2}{0,859 \times 32 \times 2800} = 2,19 \text{ cm}^2 \text{ on prendra } 4T10 = 3,14 \text{ cm}^2$$

Verification des contraintes.

1). en travée : position de l'axe neutre ?

$$\text{équation des moments statiques: } \frac{1}{2}bx^2 - m A(h-x) = 0$$

$$\Rightarrow \frac{1}{2} \cdot 30x^2 - 15 \cdot 6,15(32-x) = 0 \Rightarrow x = 11,29 \text{ cm.}$$

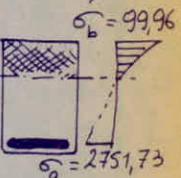
$$\text{d'où l'inertie: } I = \frac{1}{3}bx^3 + m A(h-x)^2$$

$$= \frac{1}{3} \cdot 30 \cdot 11,29^3 + 15 \cdot 6,15(32-11,29)^2 = 53974,47 \text{ cm}^4.$$

d'où les contraintes :

$$\sigma_b' = \frac{M}{I} x = \frac{4778,72 \times 10^2}{53974,47} \cdot 11,29 = 99,96 \text{ kg/cm}^2 < 137 \text{ kg/cm}^2 \quad x=11,29$$

$$\sigma_a = m \frac{M}{I} (h-x) = 15 \cdot \frac{4778,72 \cdot 10^2}{53974,47} (32-11,29) = 2751,73 \text{ kg/cm}^2 < 2800 \text{ kg/cm}^2$$

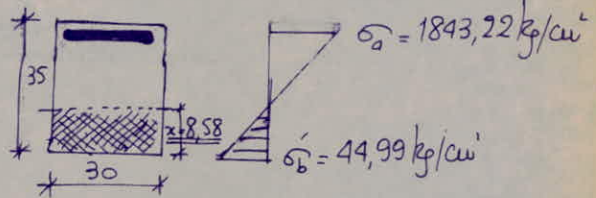


2). A l'appui : position de l'axe neutre \rightarrow idem $\rightarrow x = 8,58 \text{ cm.}$

$$I = 32165,18 \text{ cm}^4.$$

$$\sigma_b' = \frac{M}{I} x = 44,99 \text{ kg/cm}^2 < 137$$

$$\sigma_a = m \frac{M}{I} (h-x) = 1843,22 \text{ kg/cm}^2 < 2800$$



Verification de la fissuration.

$$\bullet \text{Appui: } \frac{A}{2bd} = \tilde{\omega}_f = \frac{3,14}{2 \cdot 30 \cdot 3} = 1,7 \times 10^{-2} \Rightarrow \sigma_1 = \frac{Km}{\phi} \frac{\tilde{\omega}_f}{1+10\tilde{\omega}_f} = \frac{1,5 \cdot 10^6 \cdot 1,6}{14} \cdot \frac{1,7 \cdot 10^{-2}}{1+10 \cdot 1,7 \cdot 10^{-2}} = 2546,3 \text{ bars}$$

$$\sigma_2 = 2,4 \sqrt{\frac{Km \sigma_1}{\phi}} = 2,4 \sqrt{\frac{1,5 \cdot 10^6 \cdot 1,6 \cdot 5,8}{14}} = 2393,13 \text{ bars}$$

$$\bar{\sigma}_a = \text{Min} \left\{ \frac{2}{3} \sigma_{en} ; \text{Max}(\sigma_1, \sigma_2) \right\} = 2594,68 \text{ kg/cm}^2.$$

comme $\sigma_a = 1843,22 \text{ kg/cm}^2 < \bar{\sigma}_a = 2594,68 \text{ kg/cm}^2.$

donc la vérification est vérifiée.

$$\bullet \text{travée: } \tilde{\omega}_f = \frac{A}{2Bd} = \frac{6,15}{2 \cdot 30 \cdot 3} = 3,4 \times 10^{-2} \Rightarrow \sigma_1 = \frac{Km}{\phi} \cdot \frac{\tilde{\omega}_f}{1+10\tilde{\omega}_f} = \frac{1,5 \cdot 10^6}{14} \cdot \frac{3,4 \times 10^{-2}}{1+10 \cdot 3,4 \cdot 10^{-2}}$$

$$\sigma_2 = 2393,13 \text{ bars} = 2438,60 \text{ kg/cm}^2$$

$$\text{Max}(\sigma_1, \sigma_2) = 2438,60 \text{ kg/cm}^2 > 2800 \text{ kg/cm}^2 \Rightarrow \text{fissuration vérifiée.}$$

Condition de non fragilité :

$$A \geq 0,69bh \frac{\bar{\sigma}_b}{\sigma_{en}} = 0,69 \times 30 \times 32 \times \frac{5,9}{4200} = 0,93 \text{ cm}^2 \quad \text{Vérifiée (} A_{ap} = 3,14 \text{ cm}^2 \text{)}$$

$$A_t = 6,15 \text{ cm}^2.$$

Vérification de la flèche:

- $\frac{A}{bh} \leq \frac{43}{\sigma_{en}} \rightarrow \frac{A}{bh} = \frac{6,15}{30 \cdot 32} = 6,4 \cdot 10^{-3} < \frac{43}{4200} = 10,2 \cdot 10^{-3}$ vérifiée !!
- $\frac{h_t}{e} \geq \frac{1}{10} \frac{M_t}{M_0} \rightarrow h_t = 35 \text{ cm} > \frac{325}{10} \cdot \frac{4778,72}{5622,02} = 27,63 \text{ cm}$.

Armatures transversales:

$$T_{max} = 6919,41 \text{ kg} \rightarrow C_b = \frac{T_{max}}{bz}$$

$$\text{Appui} \rightarrow x = 8,58 \text{ cm} \rightarrow z = h - \frac{x}{3} = 32 - \frac{8,58}{3} = 29,14 \text{ cm.}$$

$$\Rightarrow C_b = \frac{6919,41}{30 \cdot 29,14} = 7,92 \text{ kg/cm}^2.$$

$$\bar{\sigma}_b' = 44,99 \text{ kg/cm}^2 < \bar{\sigma}_{b_0}' \Rightarrow \bar{C}_b = 3,5 \bar{\sigma}_b = 3,5 \cdot 5,9 = 20,65 \text{ kg/cm}^2.$$

$$\text{donc } C_b^{max} = 7,92 \text{ kg/cm}^2 < \bar{C}_b = 20,65 \text{ kg/cm}^2 \text{ vérifiée}$$

et nous utiliserons des armatures transversales droites

$$\text{Calcul des } A_t: \quad \bar{\sigma}_{at} = \rho_{at} \sigma_{en}.$$

$$\text{pas de reprise de bétonnage} \Rightarrow \rho_{at} = \text{Max} \left(1 - \frac{C_b}{9\bar{\sigma}_b}, \frac{2}{3} \right)$$

$$1 - \frac{C_b}{9\bar{\sigma}_b} = 1 - \frac{7,92}{9 \cdot 5,9} = 0,851 > \frac{2}{3} \Rightarrow \rho_{at} = 0,851$$

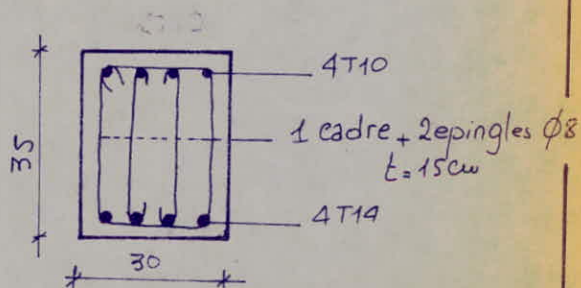
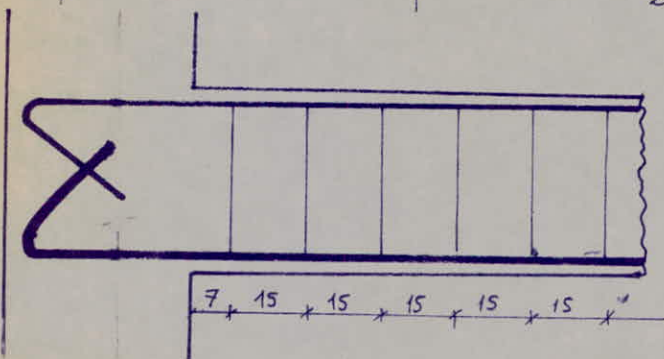
$$\Rightarrow \bar{\sigma}_{at} = 0,851 \cdot 2400 = 2042,4 \text{ kg/cm}^2.$$

$$T \leq \text{Max} \begin{cases} t_1 = 0,2 \cdot h = 0,2 \cdot 32 = 6,4 \text{ cm} \\ t_2 = h \left(1 - 0,3 \frac{C_b}{\bar{\sigma}_b} \right) = 32 \left(1 - 0,3 \cdot \frac{7,92}{5,9} \right) = 19,11 \end{cases} \Rightarrow T = 19 \text{ cm.}$$

on choisit $A_t = 1$ cadre + 2 épingles $\phi 8 = 2,01 \text{ cm}^2$.

$$t = \frac{A_t \cdot z \bar{\sigma}_{at}}{T} = \frac{2,01 \cdot 29,14 \cdot 2042,4}{6919,41} = 17,28 \text{ cm} \quad \text{on prendra } t = 15 \text{ cm} < T = 19 \text{ cm.}$$

on adoptera donc un espace de 15 cm constant le long de la poutre
le premier cours sera placé à $t_0 = \frac{t}{2} = 7,5 \text{ cm}$ pour $t_0 = 7 \text{ cm}$.



ACROTERE

L'acrotere est un système isostatique assimilable à une console encastrée au plancher terrasse. Le calcul des efforts se fera donc à la section d'enca斯特ement qui est la section dangereuse.

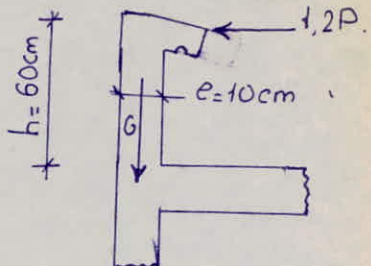
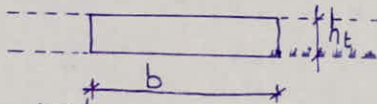
elle est soumise aux charges suivantes

- poids propre $G = 0,1 \times 0,6 \times 2500 = 150 \text{ kg/m}$
- Surcharge due à la main courante $1,2 \times 100 = 120 \text{ kg/m}$.

le calcul se fera pour la section d'encastration dont les dimensions sont.

$$h_t = 10 \text{ cm}$$

$$b = 100 \text{ cm}$$



- efforts : $N = G = 150 \text{ kg}$
 $M = 1,2P \cdot h = 1,20 \cdot 100 \cdot 0,60 = 72 \text{ kg.m}$] flexion composée.

- Centre de pression : $e_0 = \frac{M}{N} = \frac{72}{150} = 0,48 \text{ m} = 48 \text{ cm} > \frac{h_t}{6} = \frac{10}{6} = 1,7 \text{ cm}$
la section est donc parfaitement comprimée.

- Peraillage : on peut ramener le problème de flexion composée (parfaitement comprimée) à un problème de flexion simple avec un moment fictif (M_{fictif}) égal au moment de l'effort normal par rapport aux armatures tendues. on détermine ainsi A'_1 et A_1 , et on revient à la flexion composée avec $A' = A'_1$; $A = A_1 - \frac{N}{f}$.

$$M_{fictif} = N \cdot f \quad f = e_0 + \frac{h_t}{2} - d = 48 + \frac{10}{2} - 2 = 51 \text{ cm} \\ = 150 \cdot 51 = 7650 \text{ kg.cm}$$

$$M_{rb} = \bar{k} b h^2 \quad \bar{k} = \frac{1}{2} \bar{\sigma}_b' \bar{\alpha} \left(1 - \frac{\bar{\alpha}}{3}\right) \quad ; \quad \bar{\alpha} = \frac{m \bar{\sigma}_b'}{m \bar{\sigma}_b' + \bar{\sigma}_a} = \frac{15 \cdot 137}{15 \cdot 137 + 2800} = 0,423$$

$$\Rightarrow \bar{k} = 24,89 \text{ kp/cm}^3 \Rightarrow M_{rb} = 24,89 \cdot 100 \cdot 8^2 = 159296 \text{ kp.cm} > M_{fictif} = 7650$$

⇒ les armatures comprimées ne sont pas nécessaires.
calcul des aciers tendus (en flexion simple fictive)

$$A = \frac{M}{8h\bar{\alpha}} = \frac{7650}{0,859 \cdot 8 \cdot 2800} = 0,39 \text{ cm}^2$$

$$\text{en FC} \Rightarrow A = A \cdot \frac{N}{\bar{\sigma}_a} = 0,39 \cdot \frac{150}{2800} = 0,33 \text{ cm}^2$$

cette section étant trop faible, on adoptera alors une section minimale parfaitement faisant la condition de non fragilité conformément au CCBA 68 Art 52.

$$A \geq 0,69 b h \frac{\bar{\sigma}_a}{\bar{\sigma}_{en}} = 0,69 \cdot 100 \cdot 8 \cdot \frac{5,9}{4200} = 0,78 \text{ cm}^2$$

on choisit ($4T6 / ml = 1,13 \text{ cm}^2 / ml$; $t = 25 \text{ cm}$)

- Vérification de la fissuration:

$$\sigma_1 = \frac{K\eta}{\phi} \frac{\tilde{w}_f}{1+10\tilde{w}_f} \quad \sigma_2 = 2,4 \sqrt{\frac{Km}{\phi}} \overline{\sigma}$$

$K = 10^6$ fissuration préjudiciable ; $\eta = 1,6$ barre à haute adhérence ; $\phi = 6 \text{ mm}$

$$\tilde{w}_f = \frac{A_f}{B_f} = \frac{1,13}{2 \cdot 100 \cdot 2} = 0,0028 \Rightarrow \sigma_1 = \frac{K\eta}{\phi} \frac{\tilde{w}_f}{1+10\tilde{w}_f} = \frac{10^6 \cdot 1,6}{6} \cdot \frac{28 \cdot 10^{-4}}{1+28 \cdot 10^{-4} \cdot 10} = 726,32 \text{ bars} = 740 \text{ kg/cm}^2$$

$$\sigma_2 = 2,4 \sqrt{\frac{Km}{\phi}} \overline{\sigma} = 2,4 \sqrt{\frac{10^6 \cdot 1,6}{6} \cdot 5,9} = 3010,38 \text{ bars} = 3068 \text{ kg/cm}^2$$

$\text{Max}(\sigma_1, \sigma_2) = 3068 \text{ kg/cm}^2 > \overline{\sigma} = 2800 \text{ kg/cm}^2 \Rightarrow$ pas de risque de fissuration

- Vérification locale au séisme: (RPA 81)

l'acrotère étant un élément pas très solidaire de la structure, une vérification locale au séisme pour cet élément s'impose. La force sismique à laquelle il est soumis est :

$$F_p = Z I_c C_p \cdot w_p \quad Z I_c C_p : \text{accélération sismique.}$$

$$Z = 0,6 \quad (\text{zone II, groupe 2}) = \frac{A \text{ (groupe 2; zone II)}}{A \text{ (groupe 2; zone III)}} = \frac{0,15}{0,25} = 0,6$$

$C_p = 0,8$. pour une console.

$$w_{p,I=1} = 150 \text{ kg}$$

$$F_p = 0,6 \times 0,8 \times 150 = 72 \text{ kg} \ll (120 \text{ kg} = 1,2P)$$

⇒ les armatures calculées ci haut seront donc maintenues et disposées symétriquement.

ETUDE DU SEÏSME

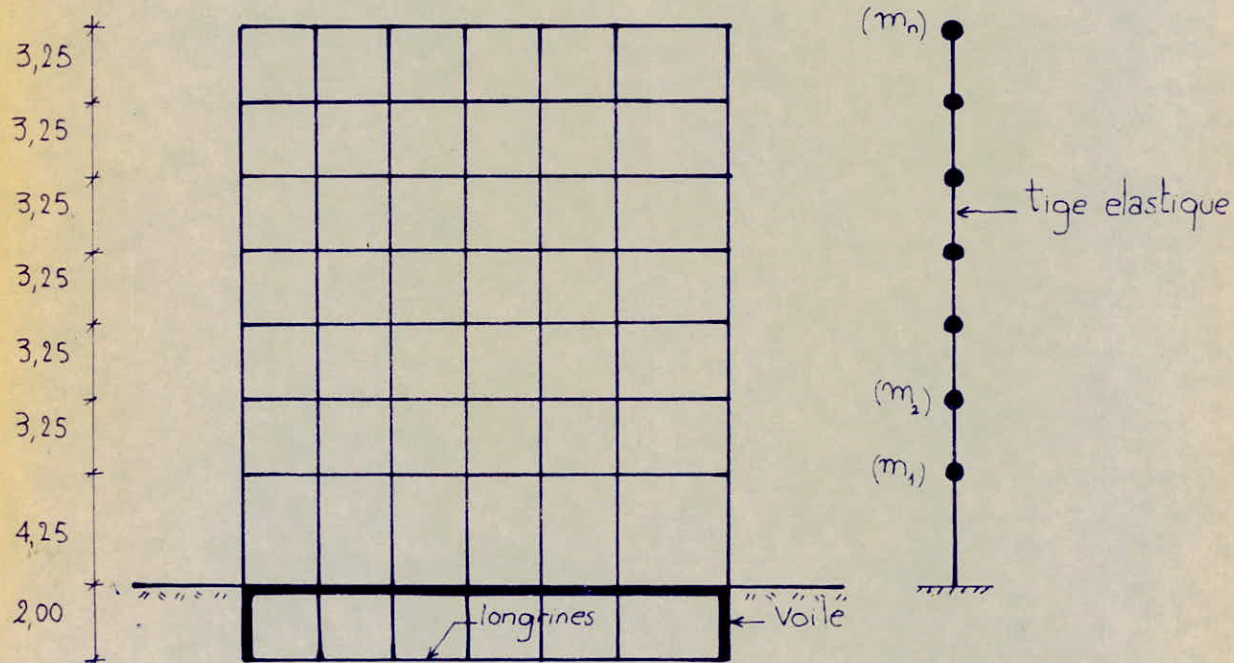
Etude du séisme

le tremblement de terre correspond à une vibration aléatoire du sol provoquée par une libération soudaine d'énergie de déformation ces secousses peuvent atteindre des accélérations spectrales importantes et elles sont composées d'ondes de surface et ondes de volume... les ondes de volume comprennent les ondes (P) longitudinales et (S) transversales et correspondent à une déformation du sol les ondes de surface comprennent les ondes (R) elliptiques et les ondes (Q) lores.

le but de notre étude quoique très théorique c'est d'évaluer la réponse de la structure à cette excitation extérieure afin d'estimer les forces extérieures qui se développent et de prendre toutes les précautions nécessaires pour les équilibrer dans tout élément et toute section de la structure !

Modélisation : le système voile périphérique, plancher RDC (dalle pleine) et aussi les poteaux courts de l'infrastructure relativement très rigides constitue une boîte infiniment rigide capable d'assurer un bon encastrement à la superstructure, ce qui nous permet de justifier un encastrement au niveau du RDC.

le modèle mathématique qu'on se propose d'étudier n'est pas continu mais discret en supposant que la distribution de la masse suivant la hauteur du bâtiment est localisée au niveau de chaque plancher.... ceci étant le modèle qu'on étudiera sera donc :



la disposition des différentes masses selon le même axe vertical sera justifiée ultérieurement.

Calcul des masses soumises à l'action sismique

Une attention particulière s'impose pour l'évaluation des masses soumises à l'action sismique car c'est un paramètre très prépondérant et sa sous estimation sera de même pour les forces latérales sismiques :

A) Bloc A :

a) Niveau plancher terrasse :

• charges permanentes G

dalle	$669 \times 251,53$	= 168273,57
Acrotère	72×150	= 10800,00
poutres 30x45	$112,2 \times 337,5$	= 37867,50
poteaux 30x30	$26 \cdot (3,25/2) \cdot 225$	= 9506,30
Mur extérieur avec ouvertures	$101,16 \times 336$	= 33989,76
Voile (Ascenseur)		= 6093,75
• Surcharge d'exploitation	$0,25 \cdot P = 0,25 \times 100 \times 251,53$	= 6288,25

$$W_7 = G + 0,25 \cdot P = 273t$$

b) Niveau 6^e et 5^e étage :

• charges permanentes G :

dalle	$232,09 \times 550 + 16,74 \times 525$	= 136438,00
poutre 30x45	$112,2 \times 337,5$	= 37867,50
poteaux 30x30	$26 \times 3,25 \times 225$	= 19012,60
Mur extérieur avec ouvertures	$202,32 \times 336$	= 67979,52
Voile (Ascenseur)		= 12187,50
• Surcharge d'exploitation	$0,25 \cdot P = 0,25 \times 950 \times 248,83$	= 15551,87

$$W_6 = W_5 = G + 0,25 P = 289t$$

c) Niveau 4^e étage :

• charges permanentes G :

dalle	$232,09 \times 550 + 16,74 \times 525$	= 136438,00
poutres 30x45	$110,8 \times 337,5$	= 37395,00
poteaux 30x30	$26 \cdot (3,25/2) \cdot 225$	= 9506,25
35x35	$26 \cdot (3,25/2) \times 306,25$	= 12939,06
Mur extérieur avec ouvertures	$202,32 \times 336$	= 67979,52
Voile (Ascenseur)		= 12187,50
• Surcharge d'exploitation	$0,25 P = 0,25 \times 250 \times 248,83$	= 15551,87

$$W_4 = G + 0,25 P = 292t$$

d) Niveau 3^e étage :

• charges permanentes G :

dalle	$232,09 \times 550 + 16,74 \times 525$	= 136438,00
poutres 30x45	$109,4 \times 337,5$	= 36922,50
poteaux 35x35	$26 \cdot (3,25/2) \cdot 306,25$	= 12939,06
40x40	$26 \cdot (3,25/2) \times 400$	= 16900,00
Mur extérieur avec ouvertures	$202,32 \times 336$	= 67979,52
Voile (Ascenseur)		= 12187,50
• Surcharge d'exploitation	$0,25 P = 0,25 \times 250 \times 248,83$	= 15551,87

$$W_3 = G + 0,25 P = 299t$$

e). Niveau 2^e étage :

- charges permanentes G :

dalle	$232,09 \times 550 + 16,74 \times 525$	= 136438,00
poutres 30 × 45	$108 \times 337,50$	= 36450,00
poteaux 40 × 40	$26 \times 3,25/2 \times 400$	16900,00
45 × 45	$26 \cdot 3,25/2 \cdot 506,25$	= 21389,06
Mur extérieur avec ouvertures	$202,32 \times 336$	= 67979,52
Voile (Ascenseur)		= 12187,50
Surcharge d'exploitation : 0,25P = 0,25 × 250 × 248,83		= 15551,87

$$W_2 = G + 0,25P = 307t$$

f). Niveau 1^e étage :

- charges permanentes G :

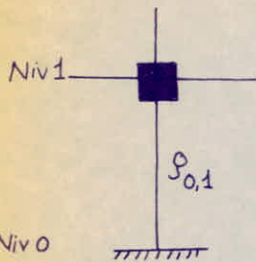
dalle	$232,09 \times 550 + 16,74 \times 525$	= 136438,00
poutres 30 × 50	$106,6 \times 375$	= 39975,00
poteaux 45 × 45	$26 \cdot (3,25/2) \cdot 506,25$	= 21389,06
50 × 50	$26 \cdot (4,25/2) \cdot 625$	= 26406,25
Mur extérieur avec ouvertures	$(137,16 + 101,16) \times 336$	= 80075,52
Voile (Ascenseur)		= 14062,50
Surcharge d'exploitation : 0,25P = 0,25 × 250 × 248,83		= 15551,87

$$W_1 = G + 0,25P = 334t$$

Bloc B: les masses soumises à l'action sismiques ont été calculées de la même manière. Nous donnons les résultats ci dessous.

- terrasse : $w_7 = 141t$
- 6^e étage : $w_6 = 156t$
- 5^e étage : $w_5 = 157t$
- 4^e étage : $w_4 = 160t$
- 3^e étage : $w_3 = 164t$
- 2^e étage : $w_2 = 168t$
- 1^e étage : $w_1 = 196t$

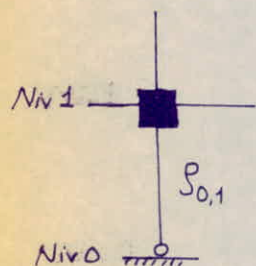
2) deuxième cas : Niveau de base (poteau encastré)



$$A_{1,0} = 1 - 0,75 d_{1,0}$$

$d_{1,0}$ comme défini précédemment

3) troisième cas : Niveau de base (poteau articulé)



$$A_{1,0} = 0,25 (1 - d_{1,0})$$

ceci étant la rigidité totale de niveau, s'obtient en sommant toutes les rigidités corrigées de tous les poteaux situés entre le niveau j et k .

Pour ne pas avoir à (trouver) des chiffres importants "MR HOLZER" propose de prendre une barre comme référence (I_o , ρ_o , $R_o = \frac{12EI_o}{\rho_o}$ valeurs de référence) entre les niveaux j et k on calculera :

$$\left. \begin{array}{l} K_{j,k} = \frac{I_{j,k}}{I_o} \\ \lambda_{j,k} = \frac{\rho_{j,k}}{\rho_o} \end{array} \right\} \Rightarrow S_{j,k} = \frac{K_{j,k}}{\lambda_{j,k}} = \frac{I_{j,k}}{\rho_{j,k}} \left(\frac{\rho_o}{I_o} \right) \text{ raideur relative / à la référence.}$$

La rigidité à la flexion corrigée du poteau situé entre les niveaux j, k sera :

$$R_{k,j} = n_{k,j} \cdot R_o$$

$$\text{avec } n_{k,j} = \frac{S_{j,k}}{(\lambda_{j,k})^2} A_{k,j} \quad (A_{k,j} \text{ comme défini ci-dessous})$$

$$\begin{aligned} \text{en effet : } R_{k,j} &= n_{k,j} \cdot R_o = \frac{S_{j,k}}{(\lambda_{j,k})^2} A_{k,j} \cdot R_o = \frac{(K_{j,k}/\lambda_{j,k})}{(\lambda_{j,k})^2} \cdot A_{k,j} \cdot R_o \\ &= \frac{\frac{I_{j,k}}{I_o}}{\left(\frac{\rho_{j,k}}{\rho_o}\right)^2} \cdot A_{k,j} \cdot \frac{12EI_o}{\rho_o^3} = A_{k,j} \cdot \frac{12EI_{j,k}}{\rho_o^3} !!! \end{aligned}$$

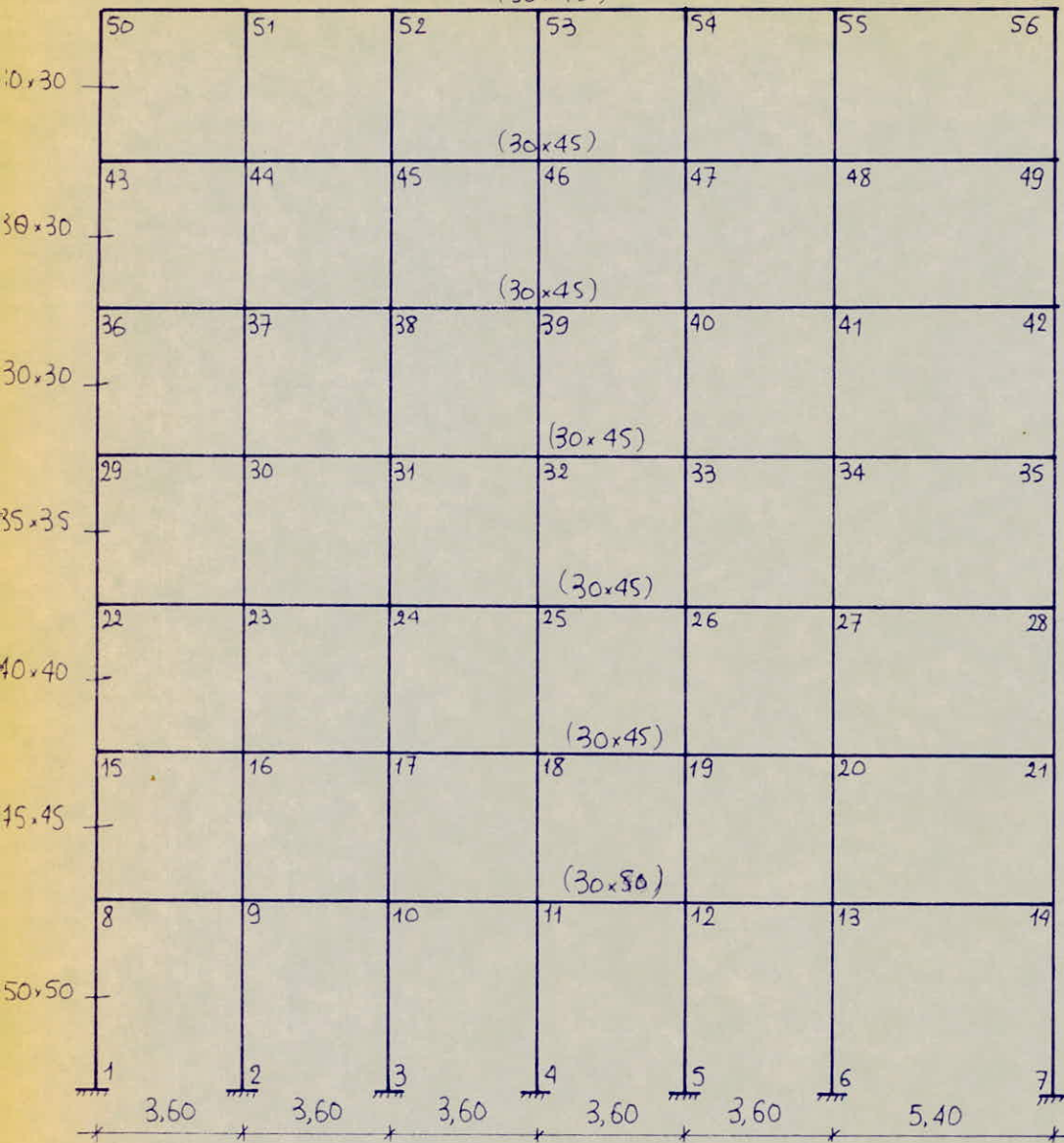
si dans un niveau les poteaux ont les mêmes caractéristiques géométriques alors la rigidité à la flexion corrigée est

$$R = \sum R_{k,j} = \sum n_{k,j} R_o$$

Rigidité de la tige élastique - Bloc A -

- portiques 1, 2, 3

(30x45)



3,25

3,25

3,25

3,25

3,25

3,25

4,25

- Raideurs relatives des différentes barres

on prendra comme référence le poteau (43-50) $h = 3,25 \text{ (30x30)}$

d'où l'inertie de référence: $I_0 = 0,3 \times 0,3^3 / 12 = 6,75 \times 10^{-4} \text{ m}^4$

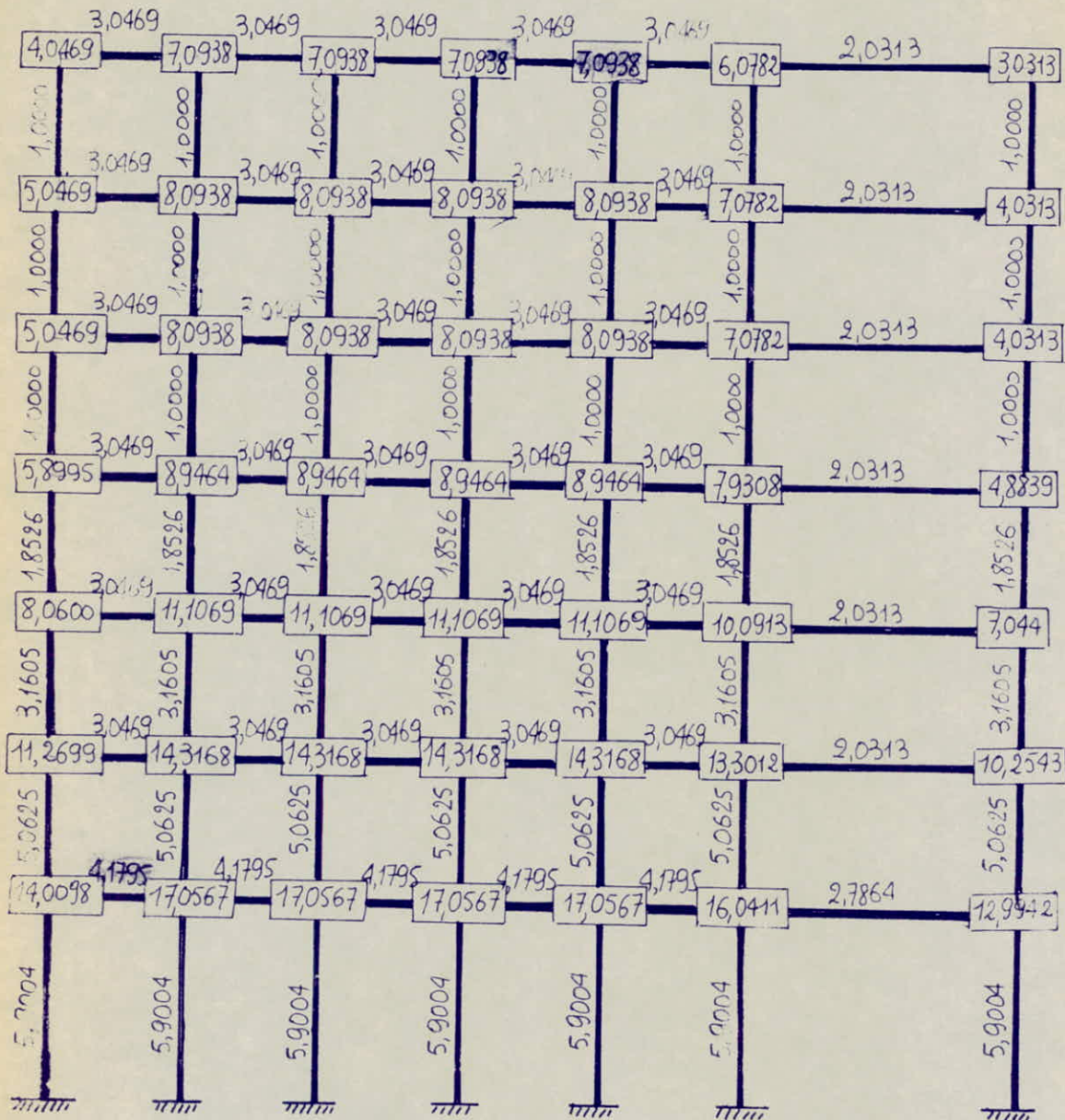
le module d'élasticité du béton: $E = E_c = 21000 \sqrt{f'_c} = 21000 \sqrt{1,268} = 378 \times 10^4 \text{ t/m}^2$

d'où enfin la rigidité de référence non corrigée:

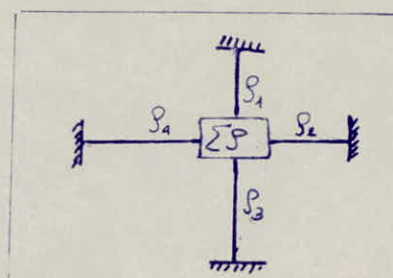
$$R_0 = \frac{12 E I_0}{h^3} = 891,92 \text{ t/m.}$$

Barres		$I (\text{dm}^4)$	$\ell (\text{dm})$	$K = I/I_0$	$\lambda = \ell/h$	$\beta = K/\lambda$
Poteaux	1-8 ; 2-9 ; 3-10 ; ... ; 7-14	52,0833	42,50	7,7160	1,3077	5,9004
	8-15 ; 9-16 ; ... ; 14-21	34,1718	32,50	5,0625	1,0000	5,0625
	15-22 ; 16-23 ; ... ; 21-28	21,3333	32,50	3,1605	1,0000	3,1605
	22-29 ; 23-30 ; ... ; 28-35	12,5052	32,50	1,8526	1,0000	1,8526
	29-36 ; 30-37 ; ... ; 49-56	6,7500	32,50	1,0000	1,0000	1,0000
Poutres	13-14	31,2500	54,00	4,6296	1,6615	2,7864
	8-9 ; 9-10 ; 10-11 ; 11-12 ; 12-13	31,2500	36,00	4,6296	1,1077	4,1795
	20-21 ; 27-28 ; 34-35 ; ... ; 55-56	22,7812	54,00	3,3750	1,6015	2,0313
	15-16 ; 16-17 ; 18-19 ; ... ; 54-55	22,7812	36,00	3,3750	1,1077	3,0469

Raideurs des noeuds portiques 1, 2, 3



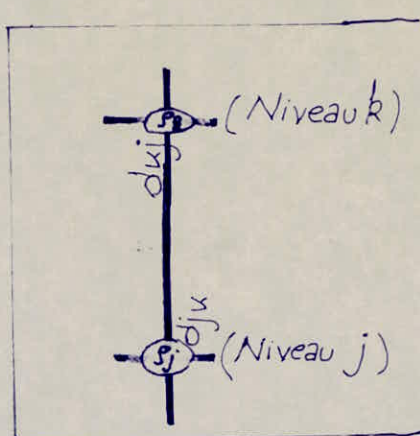
la raideur au noeud (ΣS) est un paramètre très important, il exprime la possibilité de rotation de ce noeud quand les différentes barres y aboutissant fléchissent.



$$S(\text{noeud}) = \Sigma S$$

Coefficients de distribution de cross - portiques 1,2,3

0,4212	0,9492	0,3921	0,3140	0,1981	0,1981	0,2471
0,3613	0,2804	0,2298	0,1695	0,1981	0,1981	0,2471
0,3459	0,3536	0,2846	0,2071	0,1236	0,1236	0,1410
0,2968	0,2208	0,1668	0,1118	0,1236	0,1236	0,1410
0,3459	0,3536	0,2846	0,2071	0,1236	0,1236	0,1410
0,2968	0,2208	0,1668	0,1118	0,1236	0,1236	0,1410
0,3459	0,3536	0,2846	0,2071	0,1236	0,1236	0,1410
0,2968	0,2208	0,1668	0,1118	0,1236	0,1236	0,1410
0,3459	0,3536	0,2846	0,2071	0,1236	0,1236	0,1410
0,2968	0,2208	0,1668	0,1118	0,1236	0,1236	0,1410
0,3678	0,3806	0,3132	0,2336	0,1413	0,1413	0,1645
0,3156	0,2376	0,1836	0,1261	0,1413	0,1413	0,1413
0,4541	0,4937	0,4486	0,3793	0,2481	0,2481	0,3299
0,3896	0,3082	0,2630	0,2047	0,2481	0,2481	0,2481



$$d_{jk} = \frac{s_{jk}}{\sum s \text{ au nœud } j}$$

$$d_{kj} = \frac{s_{jk}}{\sum s \text{ au nœud } k}$$

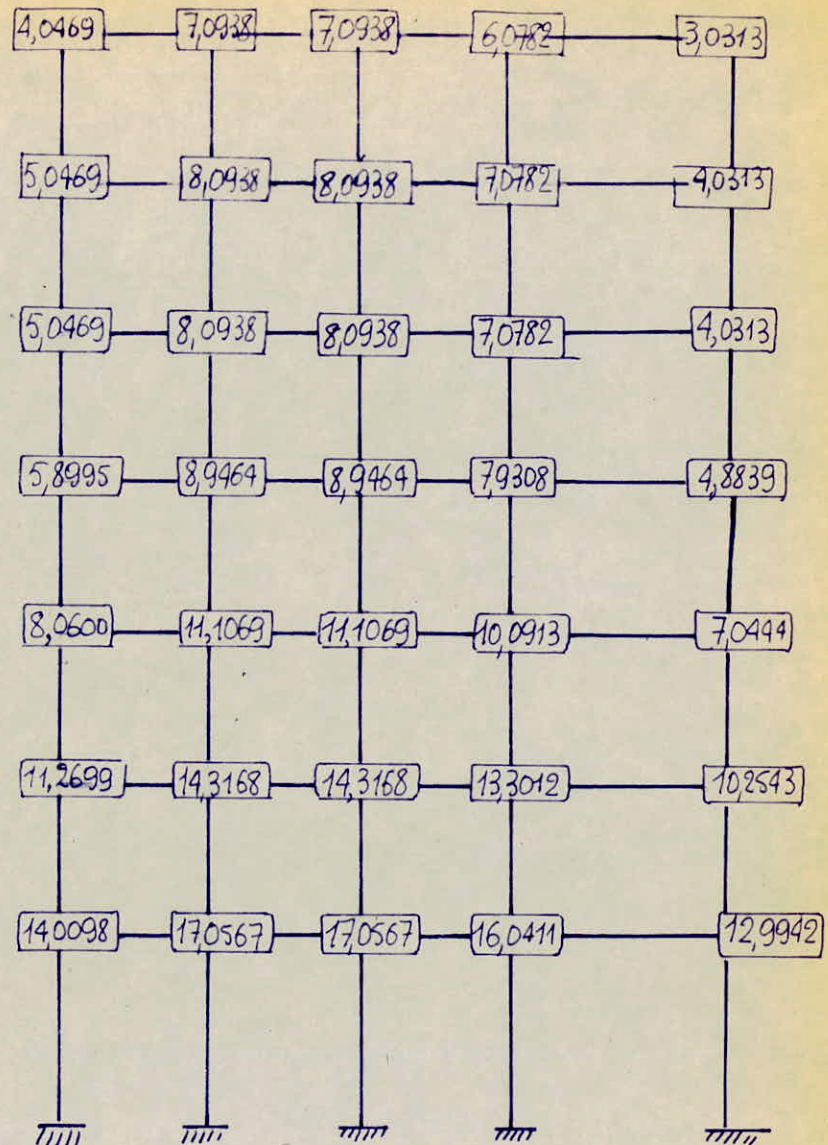
Rigidités de niveaux corrigées - Portiques 1, 2, 3

On corrige la rigidité de chaque poteau en tenant compte de la flexibilité des poutres - (les poteaux ne sont plus parfaitement encastres)

Niv	Barre	A_k	S_k	d_k	$m_k = \frac{S}{d^2} A$	Σn	R (t/m)
(7)	43-50	0,7028	1,0000	1,0000	0,7028	5,3772	4796,03
	44-51 → 47-54	0,8146			0,8146		
	48-55	0,7881			0,7881		
	49-56	0,6279			0,6279		
(6)	36-43	0,7323	1,0000	1,0000	0,7323	5,4867	4893,70
	37-44 → 40-47	0,8261			0,8261		
	41-48	0,8030			0,8030		
	42-49	0,6470			0,6470		
(5)	29-36	0,7495	1,0000	1,0000	0,7495	5,5960	4991,18
	30-37 → 33-40	0,8338			0,8338		
	34-41	0,8128			0,8128		
	35-42	0,6985			0,6985		
(4)	22-29	0,6463	1,8526	1,0000	1,1973	9,1531	12485,72
	23-30 → 26-33	0,7455			1,3811		
	27-34	0,7193			1,3326		
	28-35	0,5931			1,0987		
(3)	15-22	0,5781	3,1605	1,0000	1,8271	13,9987	8163,83
	16-23 → 19-26	0,6681			2,1115		
	20-27	0,6427			2,0313		
	21-28	0,5361			1,6943		
(2)	8-15	0,5138	5,0625	1,0000	2,6011	19,8808	17732,08
	11-16 → 12-19	0,5909			2,9914		
	13-20	0,5679			2,8750		
	14-21	0,4818			2,4391		
(1)	1-8	0,6841	5,9004	1,3077	2,3604	17,3480	15473,03
	2-9 → 5-12	0,7406			2,5534		
	6-13	0,7242			2,4988		
	7-14	0,6594			2,2752		

				(30x45)
36	37	38	39	40
				(30x45)
31	32	33	34	35
				(30x45)
26	27	28	29	30
				(30x45)
21	22	23	24	25
				(30x45)
16	17	18	19	20
				(30x45)
11	12	13	14	15
				(30x50)
6	7	8	9	10
1	2	3	4	5

portique -4-



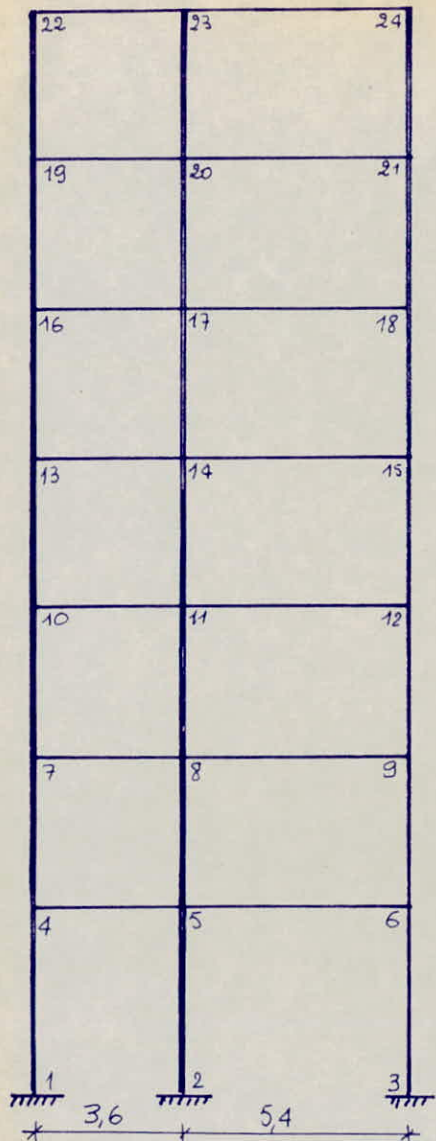
Rendans des noeuds -

	0,4212	0,4412	0,3613	1,2804	0,2298	0,1945	0,3141	0,3921	0,3142	0,3141	0,1981	0,2471
0,3459	0,3536	0,2208	0,2846	0,2071	0,1118	0,1236	0,1236	0,1236	0,1236	0,1236	0,1410	0,1410
0,3459	0,3536	0,2208	0,2846	0,2071	0,1118	0,1236	0,1236	0,1236	0,1236	0,1236	0,1410	0,1410
0,3459	0,3536	0,2208	0,2846	0,2071	0,1118	0,1236	0,1236	0,1236	0,1236	0,1236	0,1410	0,1410
0,3678	0,3806	0,2376	0,3132	0,2336	0,1413	0,1413	0,1413	0,1413	0,1413	0,1413	0,1645	0,1645
C ₁ 3746	C ₁ 3741	C ₁ 3741	C ₁ 3741	C ₁ 3741	0,4486	0,3793	0,2481	0,2481	0,2481	0,2481	0,3299	0,3299
					0,3082	0,2630	0,2047	0,2047	0,2047	0,2047		

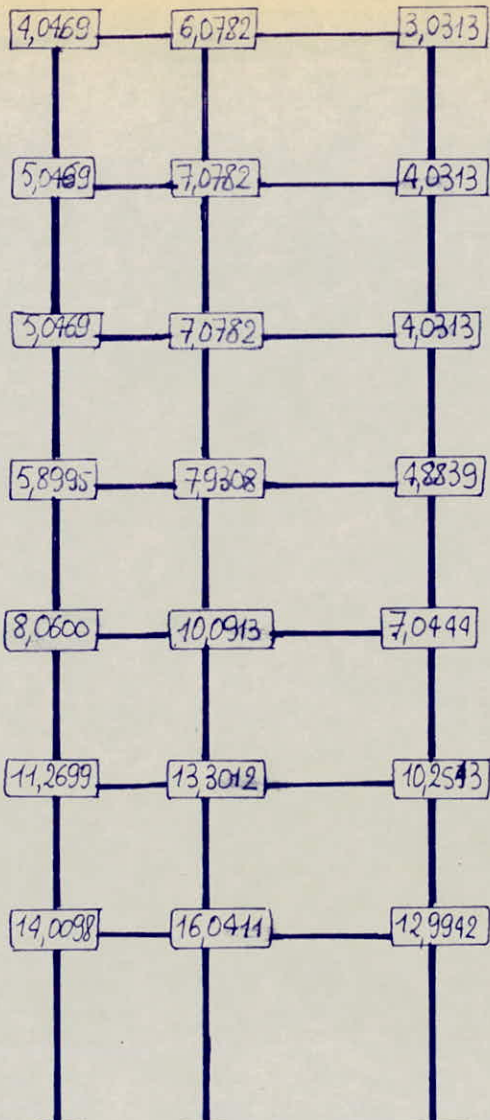
« Coeff de distribution de cross »-

Niv	Barre	AR	S _R	A _R	n _R	S _{EnR}	R _u t/m.
⑦	31-36	0,7028			0,7028		
	32-37 ; 33-38	0,8146			0,8146		
	34-39	0,7881			0,7881		
	35-40	0,6279			0,6279		
⑥	26-31	0,7323			0,7323		
	27-32 ; 28-33	0,8261			0,8261		
	29-34	0,8030			0,8030		
	30-35	0,6470			0,6470		
⑤	21-26	0,7495			0,7495		
	22-27 ; 23-28	0,8338			0,8338		
	24-29	0,8128			0,8128		
	25-30	0,6985			0,6985		
④	16-21	0,6463			1,1973		
	17-22 ; 18-23	0,7455			1,3811		
	19-24	0,7193			1,3326		
	20-25	0,5931			1,0987		
③	11-16	0,5781			1,8271		
	12-17 ; 13-18	0,6681			2,1115		
	14-19	0,6427			2,0313		
	15-20	0,5361			1,6943		
②	6-11	0,5138			2,6011		
	7-12 ; 8-13	0,5909			2,9914		
	9-14	0,5679			2,8750		
	10-15	0,4818			2,4331		
①	1-6	0,6841			2,3604		
	2-7 ; 3-8	0,7406			2,5553		
	4-9	0,7242			2,4986		
	5-10	0,6594			2,2752		
	5,9004	5,0625	3,1605	1,8526	1,0000	1,0000	
	1,3077	1,0000	1,0000	1,0000	1,0000	1,0000	
	12,2448	13,8980	9,7757	6,3909	3,9284	3,8345	3,7480
	10921,38	12395,90	8719,14	5700,17	3503,82	3420,07	3342,92

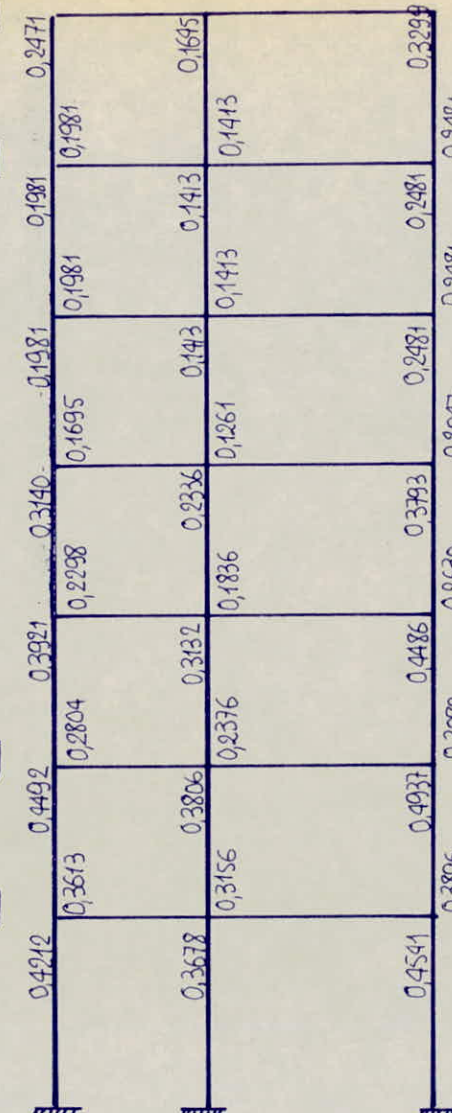
« Rigidité de menuiseries corrugées »-
- portique 4.



« portiques A ; B »



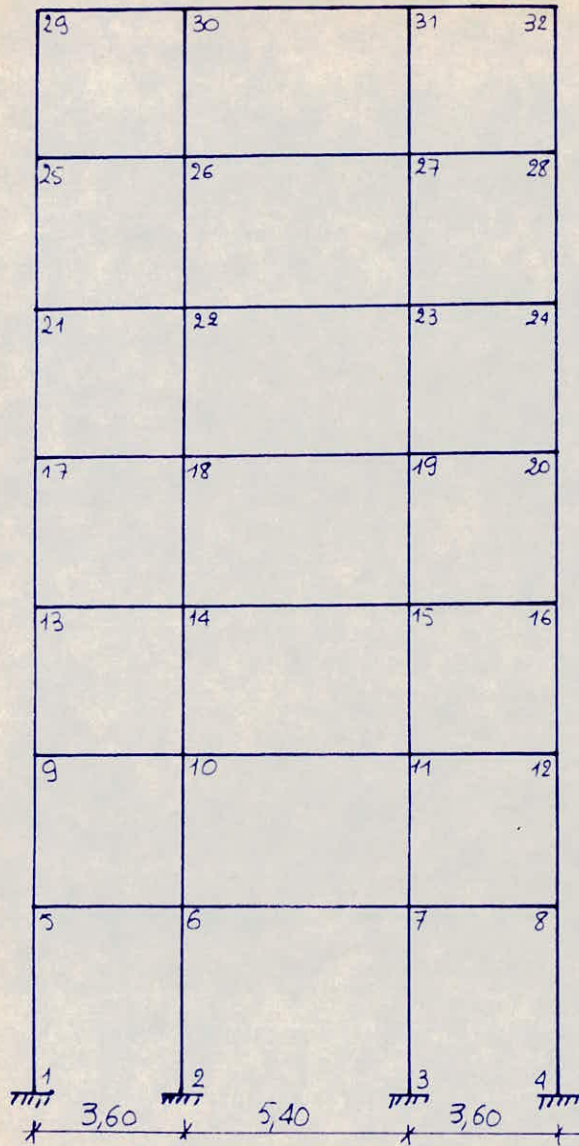
— « Raideurs des Noeuds »
(ΣS)



— Coeff de distribution
de cross —

Nr.	Barre	A _k	g _k	$\gamma_k = \frac{P_k}{A} A$	ε_k	R _{kg} t/m
⑦	19-22	0,7028		0,7028		
	20-23	0,7881		0,7881		
	21-24	0,6279		0,6279		
⑥	16-13	0,7323		0,7323		
	17-20	0,8030		0,8030		
	18-21	0,6470		0,6470		
⑤	13-16	0,7495		0,7495		
	14-17	0,8128		0,8128		
	15-18	0,6985		0,6985		
④	10-13	0,6463		1,1973		
	11-14	0,7193		1,3326		
	12-15	0,5931		1,0987		
③	7-10	0,5781		1,8271		
	8-11	0,6427		2,0313		
	9-12	0,5361		1,6943		
②	4-7	0,5138		2,6011		
	5-8	0,5679		2,8750		
	6-9	0,4818		2,4391		
①	1-4	0,6841		2,2362		
	2-5	0,7242		2,4988		
	3-6	0,6594		2,2752		
	7,0102	7,9152	5,55527	3,6286	2,1823	2,1188
	6252,53	7059,73	4952,56	3236,42	2016,45	1946,44
						1889,80

- Rigourées de niveau courbes -



« portiques C, D, E, F, G »

« Raideurs des Niveaux »

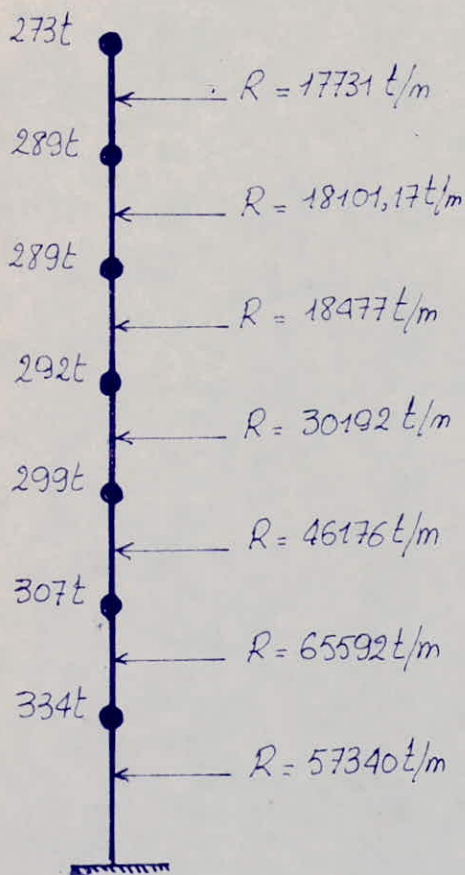
« Coeff de distris de Cross »

$(I_1/I_2) \cdot (h/h_0)$

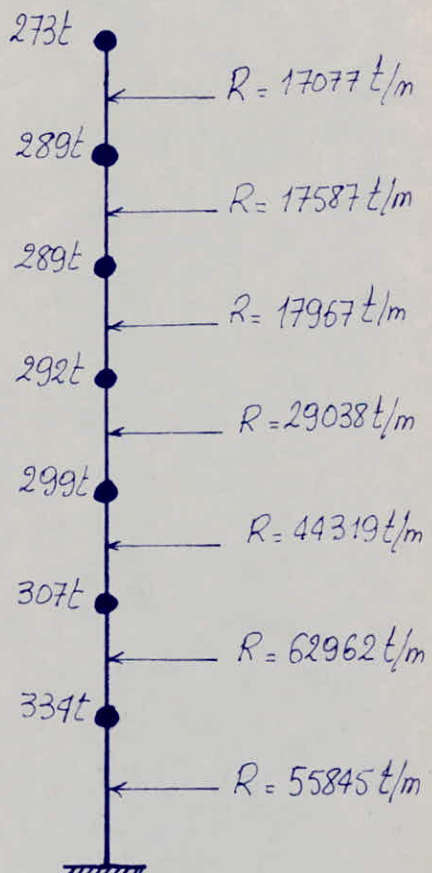
Niv	Barre	A _B	S _B	d _B	$\eta_B = S_A / A_B$	Σn	$P_{B,y} (t/m)$
(7)	25-29	0,7028			0,7028		
	26-30	0,7881			0,7881		
	27-31	0,7881			0,7881		
	28-32	0,7028			0,7028		
(6)	21-25	0,7323			0,7323		
	22-26	0,8030			0,8030		
	23-27	0,8030			0,8030		
	24-28	0,7323			0,7323		
(5)	17-21	0,7495			0,7495		
	18-22	0,8128			0,8128		
	19-23	0,8128			0,8128		
	20-24	0,7495			0,7495		
(4)	13-17	0,6463			1,1973		
	14-18	0,7193			1,3326		
	15-19	0,7193			1,3326		
	16-20	0,6463			1,1973		
(3)	9-13	0,5781			1,8271		
	10-14	0,6427			2,0313		
	11-15	0,6427			2,0313		
	12-16	0,5781			1,8271		
(2)	5-9	0,5138			2,6011		
	6-10	0,5679			2,8750		
	7-11	0,5679			2,8750		
	8-12	0,5138			2,6011		
(1)	1-5	0,6841			2,3604		
	2-6	0,7242			2,4988		
	3-7	0,7242			2,4988		
	4-8	0,6841			2,3604		
	9,7184	10,9522	7,7168	5,0598	3,1246	3,0706	2,9818
	8668,04	9768,49	6882,77	4512,94	2786,89	2738,73	2659,53

- Bloc A : Rigidité totale de niveau à la flexion.

Portiques longitudinaux			Portiques transversaux				
Nivk	1, 2, 3	4	$R_{Rx} \text{ tot}$ (t/m)	A, B	C, D, E, F, G	$R_{Ry} \text{ tot}$ (t/m)	
⑦	$4796,03 \times 3$	3342,92	17731,01	$1889,80 \times 2$	$2659,53 \times 5$	17077,25	
⑥	$4893,70 \times 3$	3420,07	18101,17	$1946,44 \times 2$	$2738,73 \times 5$	17586,53	
⑤	$4991,18 \times 3$	3503,82	18477,36	$2016,45 \times 2$	$2786,89 \times 5$	17967,35	
④	$8163,83 \times 3$	5700,17	30191,66	$3236,42 \times 2$	$4512,94 \times 5$	29037,54	
③	$12485,72 \times 3$	8719,14	46176,30	$4952,56 \times 2$	$6882,77 \times 5$	44318,97	
②	$17732,08 \times 3$	12395,90	65592,14	$7059,73 \times 2$	$9768,49 \times 5$	62961,91	
①	$15473,03 \times 3$	10921,38	57340,47	$6252,53 \times 2$	$8668,04 \times 5$	55845,26	



Modèle mathématique du bloc A dans le sens longitudinal.

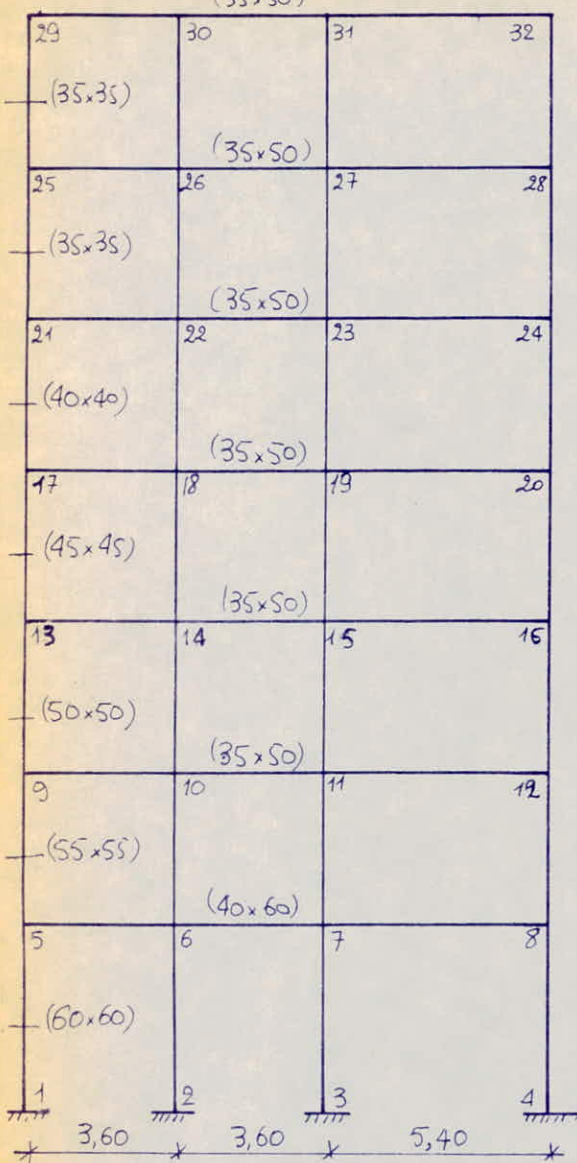


Modèle mathématique du bloc A dans le sens transversal.

Rigidité de la tige élastique - BLOC B -

portique 5.6

(35x50)



3,25
3,25
3,25
3,25
3,25
3,25
3,25
3,25
4,25

• $E = 21000 \sqrt{\sigma_j^*}$; $\sigma_j^* = 1,2 \frac{\text{G}}{\text{M}}$

$$E = 21000 \sqrt{1,2 \times 270} \\ = 378 \times 10^4 \text{ t/m}^2$$

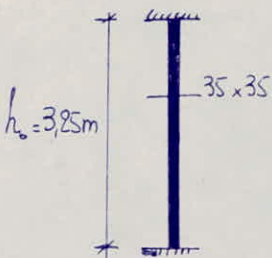
• on prend comme référence :

$$h_0 = 3,25$$

$$I_0 = \frac{3,5 \times 3,5^3}{12} = 12,5052 \text{ dm}^4 = 12,5052 \times 10^{-4} \text{ m}^4$$

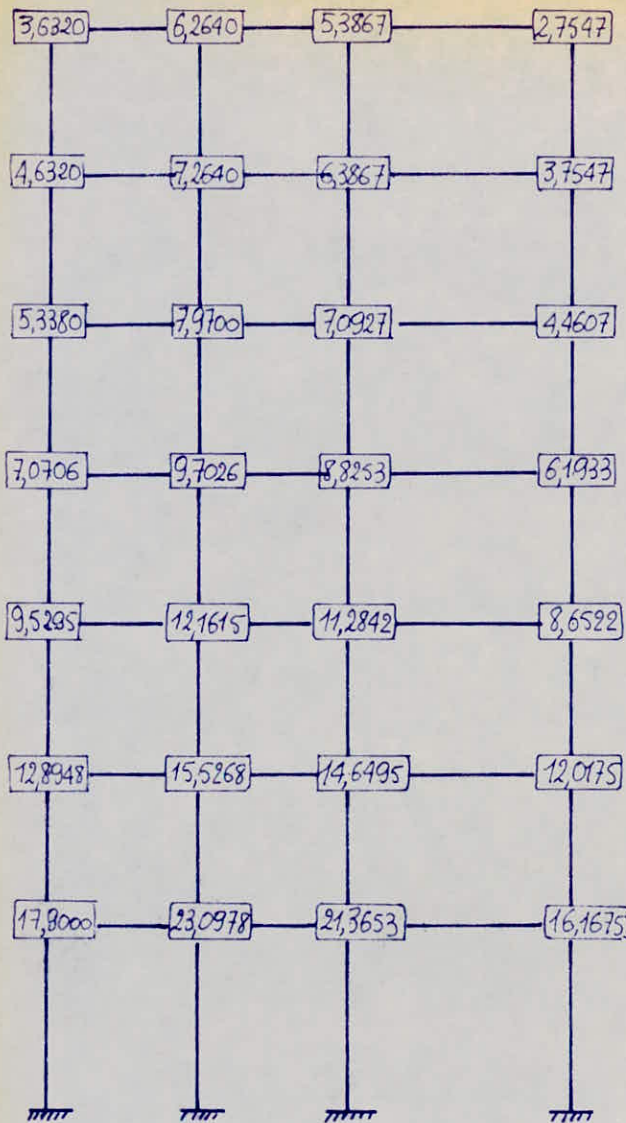
$$\Rightarrow R_0 = \frac{12 E I_0}{L^3} = 1652,3939 \text{ t/m.}$$

Cette référence correspond à la rigidité de flexion du poteau 25-29 supposé parfaitement encastre aux deux extrémités en tenant compte de la flexibilité des poutres on corrigera la rigidité de ce poteau.



• Rendus relatifs des barres: $\beta = \frac{I}{P} \times \frac{l_0}{I_0}$

Barres	$I \times 10^4 \text{ m}^4$	$P (\text{m})$	$I/I_0 = K$	$\frac{l}{P} = \lambda$	$\beta = \frac{K}{\lambda}$
Poteaux	1-5 ; 2-6 3-7 ; 4-8	108,0000	4,25	8,6364	1,3077 6,6043
	5-8 ; 6-10 7-11 ; 8-12	76,2552	3,25	6,0979	1,0000 6,0979
	9-13 ; 10-14 11-15 ; 12-16	52,0833	3,25	4,1649	1,0000 4,1649
	13-17 ; 14-18 15-19 ; 16-20	34,1718	3,25	2,7326	1,0000 2,7326
	17-21 ; 18-22 19-23 ; 20-24	21,3333	3,25	1,7060	1,0000 1,7060
	21-25 → 24-28 25-29 → 28-32	12,5052	3,25	1,0000	1,0000 1,0000
	5-6 6-7	72,0000	3,60	5,7576	1,1077 5,1978
	7-8	72,0000	5,40	5,7576	1,6615 3,4653
Poutres	9-10 ; 10-11 13-14 → 30-31	36,4583	3,60	2,9155	1,1077 2,6320
	7-8 ; 11-12 15-16 → 31-32	36,4583	5,40	2,9155	1,6615 1,7547



- Raideurs des Nœuds -

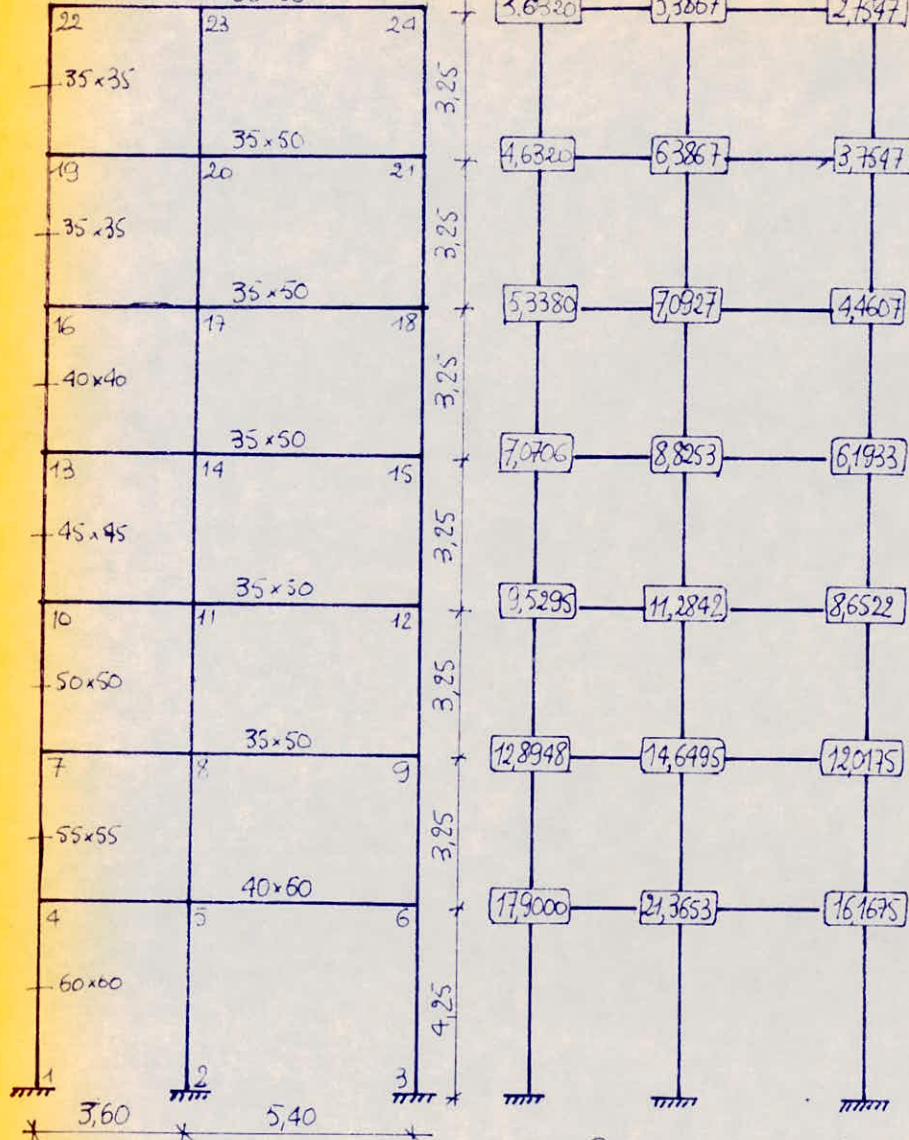
0,3690	0,4729	0,4371	0,3865	0,3196	0,2159	0,2753
0,3907	0,3920	0,2868	0,2413	0,1973	0,2459	
0,2859	0,3627	0,3425	0,2816	0,2141	0,1377	
0,2640	0,2682	0,2247	0,1758	0,1255	0,1377	
0,3091	0,4163	0,3691	0,3096	0,2405	0,1566	0,1856
0,2854	0,2843	0,2422	0,1933	0,1409	0,1566	
0,4085	0,5074	0,4894	0,4412	0,3825	0,2663	0,3630
0,3772	0,3466	0,3158	0,2754	0,2249	0,2663	

- Coeff de distribution de crois -

№ R	Banne	A _R	S _R	D _R	n _R = $\frac{S}{A}$	E _n	R _{et} th
⑦	25-29	0,6762			0,6762		
	26-30	0,7935			0,7935		
	27-31	0,7651			0,7651		
	28-32	0,6005			0,6005		
⑥	21-25	0,7279			0,7279		
	22-26	0,8156			0,8156		
	23-27	0,7934			0,7934		
	24-28	0,6769			0,6769		
⑤	17-21	0,6372			1,0871		
	18-22	0,7358			1,2553		
	19-23	0,7095			1,2104		
	20-24	0,5856			0,9990		
④	13-17	0,5782			1,5799		
	14-18	0,6677			1,8246		
	15-19	0,6424			1,7554		
	16-20	0,5367			1,4666		
③	9-13	0,5358			2,2316		
	10-14	0,6109			2,5443		
	11-15	0,5887			2,4519		
	12-16	0,5041			2,0997		
②	5-9	0,5106			3,1136		
	6-10	0,5852			3,5684		
	7-11	0,5628			3,4319		
	8-12	0,4801			2,9276		
①	1-5	0,7233			2,7934		
	2-6	0,7856			3,0339		
	3-7	0,7682			2,9668		
	4-8	0,6936			2,6787		
	6,6043	6,0979	4,1649	2,7326	1,7060		
	1,3077	1,0000	1,0000	1,0000	1,0000		

- Rigidits à la flexion corrugée -
à chaque nœud
parties : 5, 6

35x50



« portique 7 »

Raideurs des Nœuds

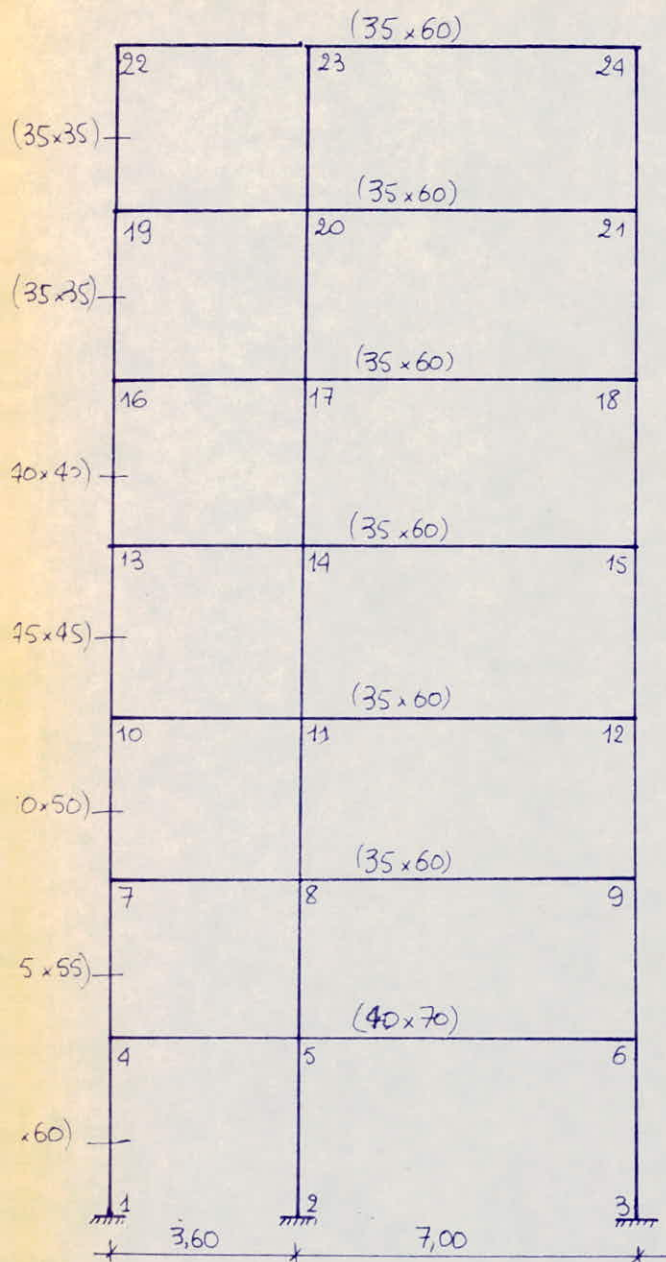
Coeff de distribution
de crois.

	0,3690	0,4729	0,4371	0,3865	0,3196	0,2159	0,2153
0,3091	0,3407	0,3230	0,2888	0,2413	0,1873	0,2159	0,2153
0,2854	0,4163	0,3691	0,3096	0,2405	0,1566	0,1836	
0,2843	0,2843	0,2422	0,1933	0,1409	0,1566		
0,4085	0,3772	0,3466	0,3158	0,2754	0,2242	0,2663	
0,3772	0,4729	0,4371	0,3865	0,3196	0,2159	0,2153	

N _k	Borne	A _R	B _R	C _R	D _R	E _R	R _R t _m
⑦	19-22	0,6762				0,6762	
	20-23	0,7651				0,7651	
	21-24	0,6005				0,6005	
⑥	16-19	0,7279				0,7279	
	17-20	0,7934				0,7934	
	18-21	0,6769				0,6769	
⑤	13-16	0,6372				1,0871	
	14-17	0,7095				1,2104	
	15-18	0,5856				0,9990	
④	10-13	0,5782				1,5799	
	11-14	0,6424				1,7554	
	12-15	0,5367				1,4666	
③	7-10	0,5358				2,2316	
	8-11	0,5887				2,4519	
	9-12	0,5041				2,0997	
②	4-7	0,5106				3,1136	
	5-8	0,5628				3,4319	
	6-9	0,4801				2,9276	
①	1-4	0,7233				2,7934	
	2-5	0,7682				2,9668	
	3-6	0,6936				2,6787	
	6,6043	6,0979	4,1649	2,7326	1,7060	1,0000	1,0000
	1,3077	1,0000	1,0000	1,0000	1,0000	1,0000	1,0000
	8,4389	9,4731	6,7832	4,8019	3,2965	2,1982	1,0418
	13944,39	15653,29	11208,15	7934,63	5447,12	3632,29	3373,86

- Liquidité de niveaux corrélée -

• portiques E, F, G'



$$\bullet \quad E = E_c = 378000 \text{ kg/cm}^2 \\ = 378 \times 10^9 \text{ t/m}^2$$

• Reference : Poteau (19-22)

$$h_o = 3,25$$

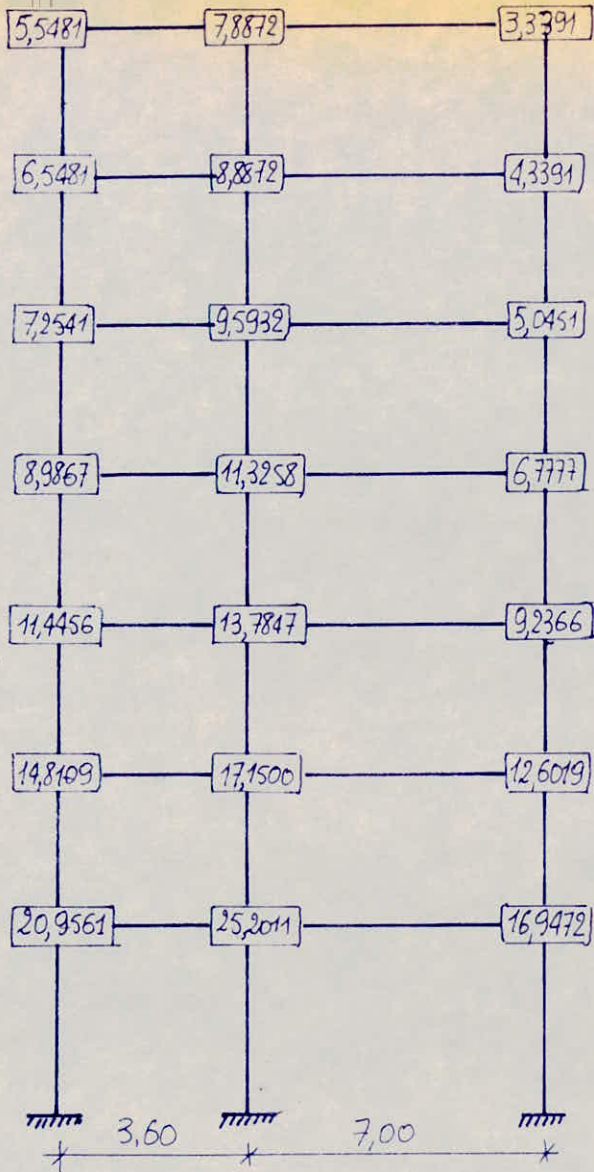
$$I_o = \frac{0,35 \times 0,35^3}{12} = 12,5052 \times 10^{-4} \text{ m}^4$$

$$\Rightarrow R_o = \frac{12 E I_o}{h_o^3} = 1652,3939 \text{ t/m}$$

$R_o \rightarrow$ (non corrigeé)

• Raideurs relatives des barres : $\rho = \frac{\kappa}{\lambda}$

	Barres	$I (10^{-4} \text{ m}^4)$	$\ell (\text{m})$	$I/I_o = \kappa$	$\ell/\ell_o = \lambda$	$\rho = \kappa/\lambda$
Poteaux	1-4 ; 2-5 3-6	108,0000	4,25	8,6364	1,3077	6,6043
	4-7 ; 5-8 6-9	76,2522	3,25	6,0979	1,0000	6,0979
	7-10 ; 8-11 9-12	52,0833	3,25	4,1649	1,0000	4,1649
	10-13 ; 11-14 12-15	34,1718	3,25	2,7326	1,0000	2,7326
	13-16 ; 14-17 15-18	21,3333	3,25	1,7060	1,0000	1,7060
	16-19 21-24	12,5052	3,25	1,0000	1,0000	1,0000
Poutres	4-5	114,3333	3,60	9,1429	1,1077	8,2539
	5-6	114,3333	7,00	9,1429	2,1538	4,2450
	7-8 → 22-23	63,0000	3,60	5,0379	1,1077	4,5481
	8-9 → 23-24	63,0000	7,00	5,0379	2,1538	2,3391



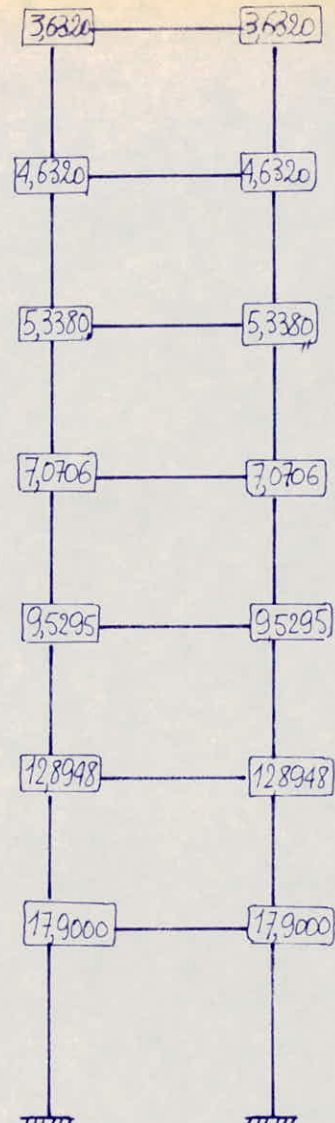
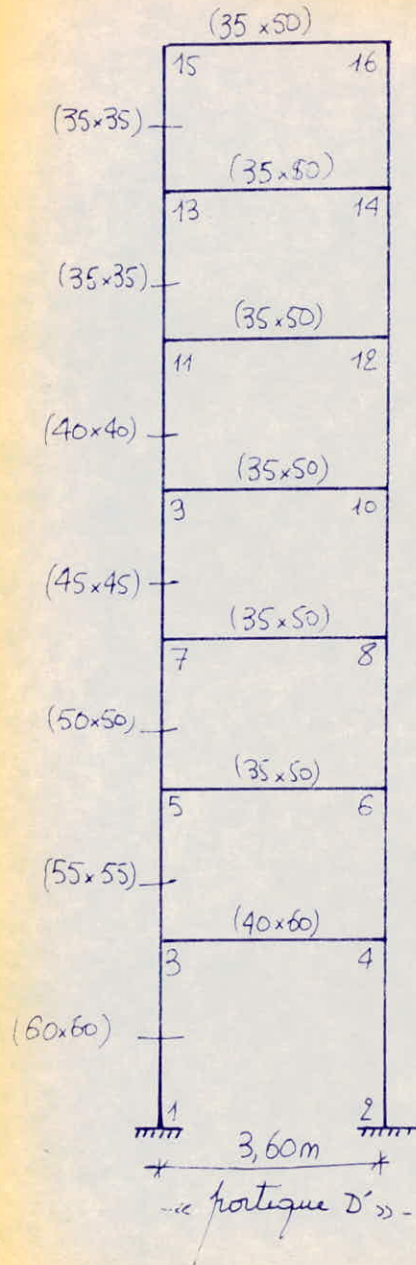
- Raideurs des noeuds -

	93151	0,4117	0,3639	0,3041	0,2352	0,1527	0,1802
	0,2909	0,2812	0,2387	0,1898	0,1378	0,1527	0,1268
	0,2621	0,3556	0,3021	0,2412	0,1778	0,1042	0,4125
*	3,60	*	7,00	*	7,00	*	7,00

- Coeff de distib de crois -

N _R	Barre	A _R	S _R	d _R	m _R = $\frac{S_R}{d_R}$	E _n	R _{Ry} t/m
(7)	19-22	0,7710			0,7710		
	20-23	0,8312			0,8312		
	21-24	0,6543			0,6543		
	16-19	0,7979			0,7979		
	17-20	0,8463			0,8463		
	18-21	0,7127			0,7127		
	13-16	0,7149			1,2196		
(6)	14-17	0,7738			1,3201		
	15-18	0,6215			1,0603		
	10-13	0,6473			1,7688		
	11-14	0,7063			1,9300		
	12-15	0,5652			1,5445		
(4)	7-10	0,5929			2,4694		
	8-11	0,6463			2,6918		
	9-12	0,5257			2,1895		
	4-7	0,5629			3,4325		
(3)	5-8	0,6163			3,7582		
	6-9	0,4378			3,0355		
	1-4	0,7637			2,9494		
(2)	2-5	0,8034			3,1027		
	1,3077	1,0000	1,0000	1,0000	2,7331		
	6,6043	6,0979	4,1649	2,7326	1,7060	3,6000	2,3569
(1)	8,7852	10,2262	7,3507	5,2433	3,6000	2,2565	2,2565
	14,516,61	16,897,71	12,146,25	8,663,99	5,948,62	3,894,53	3,728,63

- Rigidités de niveaux à la flexion
(corrigees)
portiques E', F', G'



0,3690	0,3404	0,4729	0,3230	0,4371	0,2868	0,3865	0,2913	0,3196	0,1873	0,2159	0,2159
--------	--------	--------	--------	--------	--------	--------	--------	--------	--------	--------	--------

Niv k	Banne	A_k	S_k	Δ_k	$n_k = \frac{S}{A_k}$	$\sum n$	$R_k t_m$	
(7)	13-15	0,6762			0,6762			
	14-16	0,6762			0,6762	1,3524		
(6)	11-13	0,7279			0,7279			
	12-14	0,7279			0,7279	1,4558		
(5)	9-11	0,6372			1,0871			
	10-12	0,6372	1,7060	1,0000	1,0871	2,1742		
(4)	7-9	0,5782	2,7326		1,5799			
	8-10	0,5782			1,5799	3,1598		
(3)	5-7	0,5358	4,1649		2,2316			
	6-8	0,5358			2,2316	5,2272		
(2)	3-5	0,5106			3,1136			
	4-6	0,5106			3,1136	7,374,96		
(1)	1-3	0,7233	6,6043		2,7934			
	2-4	0,7233			2,7934	10289,78		
			1,3077			3592,63	2405,56	
						9231,59	2234,69	

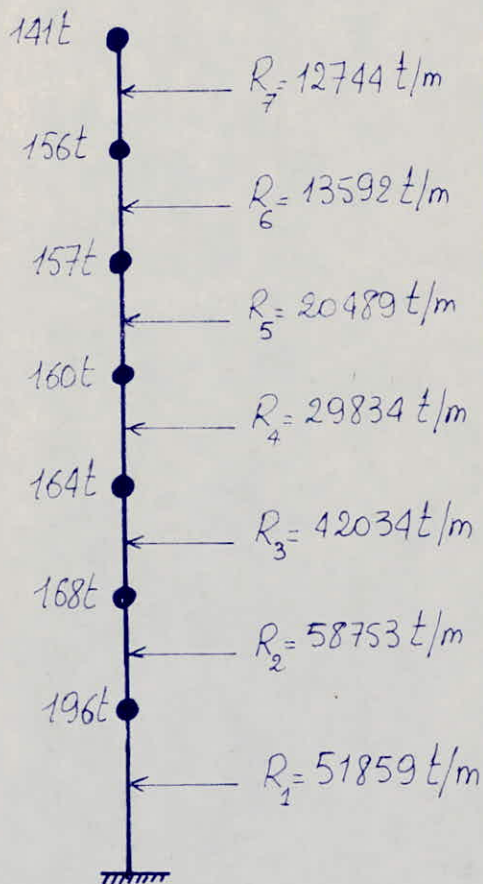
- « Raudens de Nœuds »

-< Coeff de distorsion >-
CROSS.

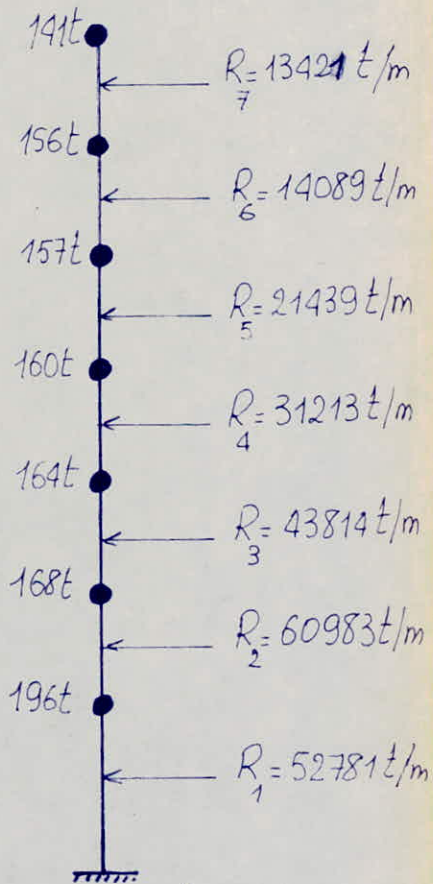
Rigidité de nuage à la flexion courbée

Bloc B: Rigidité de niveau à la flexion (corrigée)

NivR	Sens longitudinal			Sens transversal		
	Portique 5,6	Portique 7	R _{Rx tot}	Portique D'	Portique E', F', G'	R _{Ry tot} (t/m)
⑦	2 x 4685,03	3373,86	12743,92	2234,69	3 x 3728,63	13420,58
⑥	2 x 4979,98	3632,29	13592,25	2405,56	3 x 3894,53	14089,15
⑤	2 x 7521,37	5447,12	20489,86	3592,63	3 x 5948,62	21438,49
④	2 x 10949,59	7934,63	29833,81	5221,23	3 x 8663,99	31213,20
③	2 x 15412,70	11208,15	42033,55	7374,96	3 x 12146,25	43813,71
②	2 x 21549,69	15653,29	58752,68	10289,78	3 x 16897,71	60982,91
①	2 x 18957,58	13944,39	51859,56	9231,59	3 x 14516,61	52781,42



- Modèle Mathématique du Bloc(B)
dans le sens longitudinal



- Modèle mathématique
du Bloc dans le sens transversal

Calcul des modes de vibration

tout système dynamique ayant (n) degrés de liberté peut exécuter suite à une impulsion extérieure un mouvement oscillatoire autour de sa position d'équilibre stable.

A un moment donné (t) les déplacements horizontaux des différentes masses sont $x_1(t), x_2(t), \dots, x_n(t)$. Pour caractériser cette déformée on appelle

$$x(t) = \{x_1(t), x_2(t), \dots, x_n(t)\}$$

le vecteur deplacement de dimension (n)

$$\dot{x}(t) = \{\dot{x}_1(t), \dot{x}_2(t), \dots, \dot{x}_n(t)\}$$

$$\ddot{x}(t) = \{\ddot{x}_1(t), \ddot{x}_2(t), \dots, \ddot{x}_n(t)\}$$

les vecteurs vitesse et accélération respectivement.

Pendant le mouvement oscillatoire chaque masse est soumise aux forces:

- Force de rappel $F_r = R \cdot x$ ($F_r \propto x$ car déformation élastique)

- Force d'inertie $F_i = m \cdot \ddot{x}$

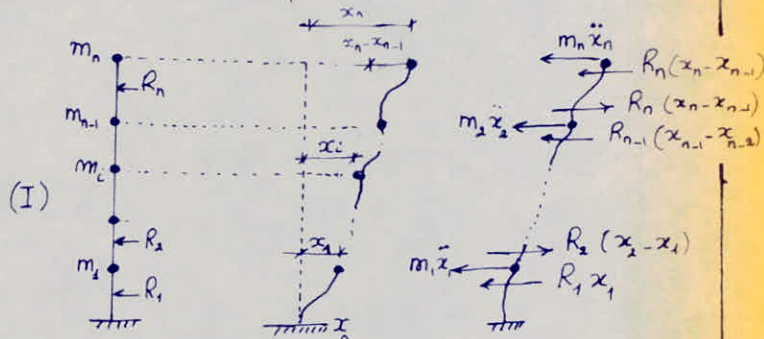
en écrivant le principe fondamental de la dynamique pour chaque masse on aboutit au système:

$$m_n \ddot{x}_n + R_n(x_n - x_{n-1}) = 0$$

$$m_{n-1} \ddot{x}_{n-1} - R_n(x_n - x_{n-1}) + R_{n-1}(x_{n-1} - x_{n-2}) = 0$$

$$m_i \ddot{x}_i - R_{i+1}(x_{i+1} - x_i) + R_i(x_i - x_{i-1}) = 0$$

$$m_1 \ddot{x}_1 - R_2(x_2 - x_1) + R_1 x_1 = 0$$



avec R_i = rigidité de niveau ; m_i = masse du niveau.

c'est un système d'équations différentielles dont les solutions sont.

$$x_i = \phi_i \sin(\omega t + \varphi)$$

$$\dot{x}_i = \phi_i \omega \cos(\omega t + \varphi)$$

$$\ddot{x}_i = -\phi_i \omega^2 \sin(\omega t + \varphi) = -\omega^2 x_i$$

Le système devient alors:

$$-m_n \omega^2 \phi_n + R_n(\phi_n - \phi_{n-1}) = 0$$

$$-m_{n-1} \omega^2 \phi_{n-1} - R_n(\phi_n - \phi_{n-1}) + R_{n-1}(\phi_{n-1} - \phi_{n-2}) = 0$$

$$-m_i \omega^2 \phi_i - R_{i+1}(\phi_{i+1} - \phi_i) + R_i(\phi_i - \phi_{i-1}) = 0$$

$$-m_1 \omega^2 \phi_1 - R_2(\phi_2 - \phi_1) + R_1 \phi_1 = 0$$

$$-m_1 \omega^2 \phi_1 - R_2(\phi_2 - \phi_1) + R_1 \phi_1 = 0$$

en ajoutant membre à membre les (n) équations on obtient

$$\sum_{i=1}^n m_i \omega^2 \phi_i = R_1 \phi_1$$

Le système (II) est équivalent à :

$$\begin{aligned} R_n \phi_{n-1} &= R_n \phi_n - m_n \phi_n \omega^2 \\ R_{n-1} \phi_{n-2} &= R_{n-1} \phi_{n-1} - R_n (\phi_n - \phi_{n-1}) - m_{n-1} \phi_{n-1} \omega^2 \\ R_i \phi_{i-1} &= R_i \phi_i - R_{i+1} (\phi_{i+1} - \phi_i) - m_i \phi_i \omega^2 \\ \phi_0 &= R_1 \phi_1 - R_2 (\phi_2 - \phi_1) - m_1 \phi_1 \omega^2. \end{aligned}$$

Après transformation on obtient :

$$\begin{aligned} \phi_{n-1} &= \phi_n - \frac{\omega^2 m_n \phi_n}{R_n} \\ \phi_i &= \phi_{i+1} - \frac{\omega^2 \sum_{k=i+1}^n m_k \phi_k}{R_{i+1}} \\ \phi_0 &= \phi_1 - \frac{\omega^2 \sum_{k=2}^m m_k \phi_k}{R_2} \end{aligned}$$

Pour résoudre ce système on pose $\phi_0 = 1$ et on fait des itérations sur (ω) jusqu'à ce que la condition aux limites suivante soit satisfait.

$$\phi_0 = \phi_1 - \frac{\sum_{k=1}^m m_k \phi_k}{R_1} = 0.$$

qui exprime que le déplacement à la base nul.

Modes de vibration du bloc A

* Sens longitudinal :

$$x(7) = 1$$

$$x(6) = 0,9105002257$$

$$x(5) = 0,7383277349$$

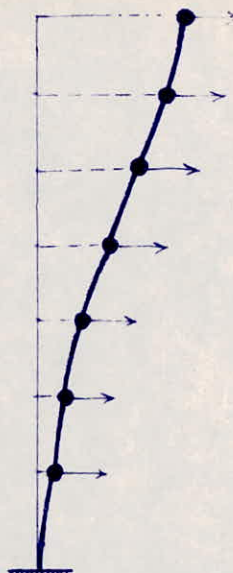
$$x(4) = 0,5025302123$$

$$x(3) = 0,3299742942$$

$$x(2) = 0,2047291017$$

$$x(1) = 0,1109878960$$

— Condition aux limites $x(0) = -1,13 \times 10^{-11}!!$



Mode(I) $\omega_1 = 7,5514572 \text{ rad/s}$

Vecteur propre du 1^{er} mode

$$x(7) = 1$$

$$x(6) = 0,4210780376$$

$$x(5) = -0,3987936170$$

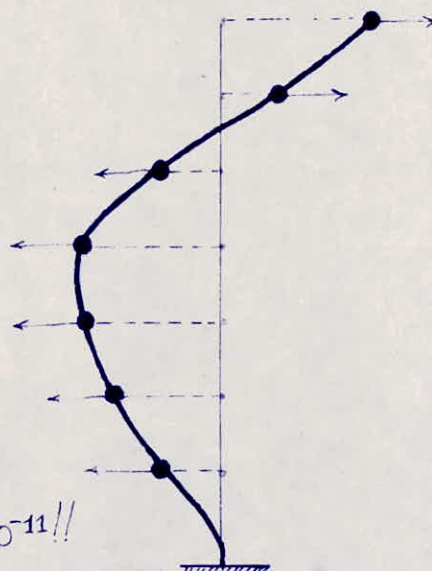
$$x(4) = -0,9674475265$$

$$x(3) = -0,9636435657$$

$$x(2) = -0,7265380446$$

$$x(1) = -0,4317580125$$

— Condition aux limites $x(0) = -5,6 \times 10^{-11}!!$



Mode(II) $\omega_2 = 19,2056853 \text{ rad/s}$

Vecteur propre du 2nd mode

$$x(7) = 1$$

$$x(6) = -0,4340473816$$

$$x(5) = -1,1933258150$$

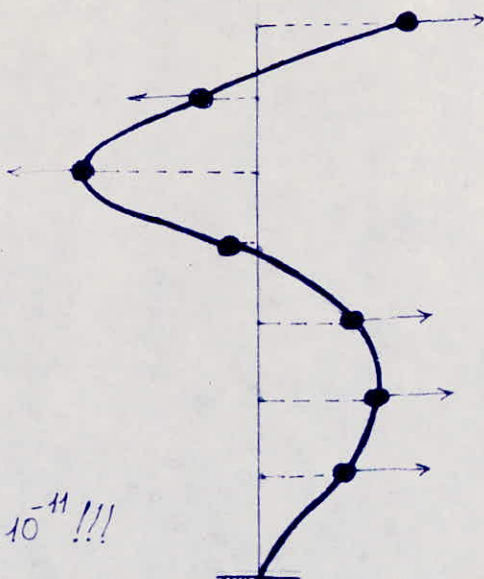
$$x(4) = -0,1987140303$$

$$x(3) = 0,5889720065$$

$$x(2) = 0,7487887743$$

$$x(1) = 0,5348747882$$

— Condition aux limites $x(0) = 6,8 \times 10^{-11}!!!$



Mode(III) $\omega_3 = 30,2274524 \text{ rad/s}$

Vecteur propre du 3rd mode

* Sens transversal

- $X(7) = 1$
- $X(6) = 0,9101764718$
- $X(5) = 0,7389206727$
- $X(4) = 0,5045049585$
- $X(3) = 0,3309573816$
- $X(2) = 0,2047026342$
- $X(1) = 0,1102236358$

— Condition aux limites $X(0) = 5 \times 10^{-11}$

Mode(I) $\omega_1 = 1,42427456 \text{ rad/s}$

Mode(II) $\omega_2 = 18,90390591 \text{ rad/s}$

Mode(III): $\omega_3 = 29,722687327$

- $X(7) = 1$
- $X(6) = 0,4176485579$
- $X(5) = -0,3978218686$
- $X(4) = -0,9629437175$
- $X(3) = -0,9598706519$
- $X(2) = -0,7219571146$
- $X(1) = -0,4262549563$

— Condition aux limites $X(0) = 5,28 \times 10^{-10}$

- $X(7) = 1$
- $X(6) = -0,4396542651$
- $X(5) = -1,1869447840$
- $X(4) = -0,1990974627$
- $X(3) = 0,5924213511$
- $X(2) = 0,7510979560$
- $X(1) = 0,5329795604$

— Condition aux limites $X(0) = 1,9 \times 10^{-10}$

Verification des résultats :

pour cela nous allons utiliser l'une des plus importantes propriétés des vecteurs propres qu'est l'orthogonalité.

$$\sum_{k=1}^m m_k \overset{(i)}{X}(k) \cdot \overset{(j)}{X}(k) = 0 \dots \dots (1)$$

avec : m_k = masse du niveau k .

$\overset{(i)}{X}_k$ = déplacement de la masse k au mode (i)

$\overset{(j)}{X}_k$ = déplacement de la masse k au mode (j)

Rem: l'équation (1) devra être satisfaite quels que soient les modes (i) et (j).

* Sens longitudinal:

m_k (t) R	$\overset{(I)}{X}_k$	$\overset{(II)}{X}_k$	$\overset{(III)}{X}_k$	Mode (I) et (II)	Mode (I) et (IV)	Mode (II) et (III)
				$m_k \overset{(I)}{X}_k \overset{(II)}{X}_k$	$m_k \overset{(I)}{X}_k \overset{(IV)}{X}_k$	$m_k \overset{(II)}{X}_k \overset{(IV)}{X}_k$
273	1,0000000000	1,0000000000	1,0000000000	273,00000000	273,00000000	273,00000000
289	0,9105002257	0,4210780376	-0,4340473816	110,8001864	-114,2123690	-52,8198999
289	0,7383277349	-0,3987936170	-1,1933258150	-85,0932721	-254,6279428	137,5324175
292	0,5025302123	-0,9674475265	-0,1987140303	-141,9621104	-29,1590627	56,13565595
299	0,3299742942	-0,9636435657	0,5889720065	-95,0753040	58,1093410	-169,7001662
307	0,2047291017	-0,7265380446	0,7487887743	-45,6642487	47,0627479	-167,0152243
334	0,1109878960	-0,4317580125	0,5348747882	-16,0052511	19,8277855	-77,13278282

$$\text{équation (1)}: \sum m_k \overset{(I)}{X}_k \overset{(II)}{X}_k = 10^{-7}$$

$$\sum m_k \overset{(I)}{X}_k \overset{(IV)}{X}_k = -10^{-7}$$

$$\sum m_k \overset{(II)}{X}_k \overset{(IV)}{X}_k = 2 \times 10^{-7}$$

* Sens transversal :

m_k	$\overset{(I)}{X}_k$	$\overset{(II)}{X}_k$	$\overset{(III)}{X}_k$	Mode (I) et (II)	Mode (I) et (IV)	Mode (II) et (III)
				$m_k \overset{(I)}{X}_k \overset{(II)}{X}_k$	$m_k \overset{(I)}{X}_k \overset{(IV)}{X}_k$	$m_k \overset{(II)}{X}_k \overset{(IV)}{X}_k$
273	1,0000000000	1,0000000000	1,0000000000	273,00000000	273,00000000	273,00000000
289	0,9101764718	0,4176485579	-0,4396542651	109,8586945	-115,6472470	-53,0664603
289	0,7389206727	-0,3978218686	-1,1869447840	-84,95409401	-253,46977310	136,46365910
292	0,5045049585	-0,9629437175	-0,1990974627	-141,85635490	-29,33013190	55,98213806
299	0,3309573816	-0,9598706519	0,5924213511	-94,9852070	58,62379954	-170,0257127
307	0,2047026342	-0,7219571146	0,7510979560	-45,3704626	47,20178114	-166,4739775
334	0,1102236358	-0,4262549563	0,5329795604	-15,6924459	19,62147961	-75,87984985

$$\sum m_k \overset{(I)}{X}_k \overset{(IV)}{X}_k = 10^{-4}$$

$$\sum m_k \overset{(I)}{X}_k \overset{(II)}{X}_k = -10^{-4}$$

$$\sum m_k \overset{(II)}{X}_k \overset{(IV)}{X}_k = 2 \cdot 10^{-4}$$

Poids des modes de vibration sismique

le poids du mode de vibration (i) exprime l'importance ou l'influence de ce mode sur la force sismique latérale totale calculée en superposant tous les modes propres de vibration de la structure. Ce poids est donné par

$$\varepsilon_i = \frac{(\sum w_k x_{k,i})^2}{\sum w_k \sum w_k x_{k,i}^2}$$

expression dans laquelle :

w_k : masse du niveau (k)

$x_{k,i}$: composante du vecteur propre ou déplacement de la masse (k) au mode (i)

Rem : si la structure a (n) modes de vibration alors

$$\sum_{i=1}^{i=n} \varepsilon_i = \sum_{i=1}^{i=n} \left[\frac{\left(\sum_{k=1}^m w_k x_{k,i} \right)^2}{\sum_{k=1}^m w_k \sum_{k=1}^m w_k x_{k,i}^2} \right] = 1$$

Application :

. Sens longitudinal : $1^{\text{er}} \text{ Mode} \rightarrow \varepsilon_1 = \frac{(1094,538)^2}{2083 \cdot 792,877} = 0,73 = 73\%$

$2^{\text{e}} \text{ Mode} \rightarrow \varepsilon_2 = \frac{(658,719)^2}{2083 \cdot 1145,756} = 0,18 = 18\%$

$3^{\text{e}} \text{ Mode} \rightarrow \varepsilon_3 = \frac{(329,433)^2}{2083 \cdot 1121,763} = 0,05 = 5\%$

d'où $\varepsilon_1 + \varepsilon_2 + \varepsilon_3 = 96\%$

. Sens transversal : $1^{\text{er}} \text{ Mode} \rightarrow \varepsilon_1 = \frac{(1089,957)^2}{2083 \cdot 794,630} = 0,72 = 72\%$

$2^{\text{e}} \text{ Mode} \rightarrow \varepsilon_2 = \frac{(653,972)^2}{2083 \cdot 1135,422} = 0,18 = 18\%$

$3^{\text{e}} \text{ Mode} \rightarrow \varepsilon_3 = \frac{(330,276)^2}{2083 \cdot 1120,601} = 0,05 = 5\%$

d'où $\varepsilon_1 + \varepsilon_2 + \varepsilon_3 = 95\%$

* Conclusion : on remarque qu'il serait très grave de négliger les modes supérieurs qui représentent un poids important (27-28%) de la force sismique totale.

ainsi comme on peut le constater une superposition des trois premiers modes uniquement représenterait dans le sens longitudinal 96% de la force totale, ce que nous apprécions comme une bonne estimation de la force sismique - donc nous nous contenterons des trois premiers modes uniquement.

Modes de vibration du bloc (B)

-1-

Sens longitudinal			
dep	Mode (I) $w_1 = 9,95636768 \text{ rad/s}$	Mode (II) $w_2 = 23,94361998 \text{ rad/s}$	Mode (III) $w_3 = 38,30798148 \text{ rad/s}$
X(7)	1,0000000000	1,0000000000	1,0000000000
X(6)	0,8881988695	0,3534174759	-0,6550948222
X(5)	0,6803618076	-0,4898749453	-1,0821816510
X(4)	0,4898060695	-0,8299298325	-0,1250260326
X(3)	0,3323947724	-0,8033561728	0,6326206969
X(2)	0,2075659315	-0,6013221089	0,8011378923
X(1)	0,1122614380	-0,3562956812	0,5790153837
X(0)	$4,45 \times 10^{-10}$	$5,18 \times 10^{-10}$	$9,42 \times 10^{-10}$

Sens transversal			
dep	Mode (I) $w_1 = 10,14741444 \text{ rad/s}$	Mode (II) $w_2 = 24,37689106 \text{ rad/s}$	Mode (III) $w_3 = 39,12057757 \text{ rad/s}$
X(7)	1,0000000000	1,0000000000	1,0000000000
X(6)	0,8897252644	0,3636121758	-0,6389878908
X(5)	0,6812738278	-0,4864794630	-1,0964967040
X(4)	0,4919193429	-0,8293335785	-0,1444652984
X(3)	0,3353911448	-0,8073124858	0,6249767787
X(2)	0,2107035549	-0,6085787081	0,8081731782
X(1)	0,1150274334	-0,3642401031	0,5924596131
X(0)	$-3,45 \times 10^{-10}$	$2,21 \times 10^{-10}$	$1,16 \times 10^{-10}$

L'orthogonalité des vecteurs propres ($\sum m_k x_k^{(i)} x_k^{(j)}$) a été vérifiée comme pour le bloc A.

- poids des modes de vibration: pour un mode (i) -> $\xi_i = \frac{(\sum m_k \omega_{k,i})^2}{\sum m_k \omega_{k,i}^2}$

- Sens longitudinal:

$$\xi_1 = 0,72$$

$$\xi_2 = 0,17 \Rightarrow \xi_1 + \xi_2 + \xi_3 = 0,98 = 98\%$$

$$\xi_3 = 0,09$$

- Sens transversal:

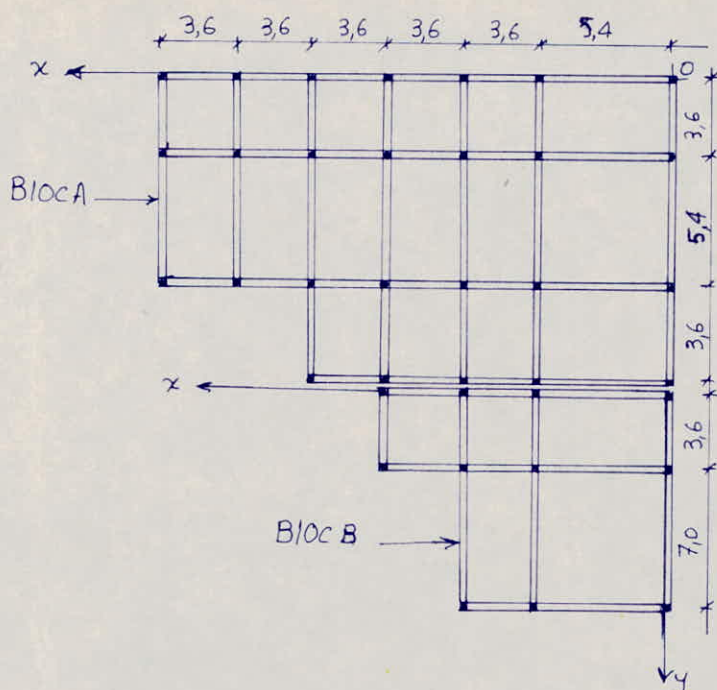
$$\xi_1 = 0,73$$

$$\xi_2 = 0,18 \Rightarrow \xi_1 + \xi_2 + \xi_3 = 0,97 = 97\%$$

$$\xi_3 = 0,09$$

Conclusion: on ne peut négliger les modes supérieurs qui représentent 25% de la force sismique totale

Determination du centre de masse et du centre de torsion



Soit oxy un repère (pour chaque bloc) avec ox ; oy parallèles aux directions principales du bâtiment.

- Les coordonnées du centre de masse G_k de l'étage (k) sont $\begin{cases} x_{G_k} = \frac{\sum m_i x_i}{\sum m_i} \\ y_{G_k} = \frac{\sum m_i y_i}{\sum m_i} \end{cases}$

Niv(k)	BLOC-A-		BLOC-B-	
	x_G (m)	y_G (m)	x_G (m)	y_G (m)
7	11,04	5,92	5,48	4,77
6	10,90	6,05	5,44	4,69
5	10,92	6,05	5,45	4,69
4	10,94	6,04	5,46	4,69
3	10,95	6,03	5,50	4,67
2	10,98	6,03	5,53	4,66
1	11,00	6,02	5,55	4,64

- de même on exprimera les coordonnées du centre de torsion C_T par rapport au même repère.

Les coordonnées du centre de torsion C_T au niveau (k) sont :

$$\begin{cases} x_T = \frac{\sum R_{ky} x_k}{\sum R_{ky}} \\ y_T = \frac{\sum R_{kx} y_k}{\sum R_{kx}} \end{cases}$$

Les résultats sont résumés sur les tableaux qui suivent

Bloc A: Centre de torsion:

Niv	Port	R_{k_y}	X_k	$R_{k_y} X_k$	ΣR_{k_y}	ΣX_k	X_T
(7)	A	1889,80	0	0	17077,25	211771,71	12,401
	B	1889,80	23,4	44221,32			
	C	2659,53	19,8	52658,69			
	D	2659,53	16,2	43084,39			
	E	2659,53	12,6	33510,08			
	F	2659,53	9,0	23935,77			
	G	2659,53	5,4	14361,46			
(6)	A	1946,44	0	0	17586,53	218086,68	12,401
	B	1946,44	23,4	45546,70			
	C	2738,73	19,8	54226,85			
	D	2738,73	16,2	44367,43			
	E	2738,73	12,6	34507,99			
	F	2738,73	9,0	24648,57			
	G	2738,73	5,4	14789,14			
(5)	A	2016,45	0	0	17967,35	12,398	12,398
	B	2016,45	23,4	47184,93			
	C	2786,89	19,8	55180,42			
	D	2786,89	16,2	45147,62			
	E	2786,89	12,6	35114,81			
	F	2786,89	9,0	25082,01			
	G	2786,89	5,4	15049,21			
(4)	A	3236,42	0	0	29037,54	12,399	12,399
	B	3236,42	23,4	75732,23			
	C	4512,94	19,8	89356,21			
	D	4512,94	16,2	73109,63			
	E	4512,94	12,6	56863,04			
	F	4512,94	9,0	40616,46			
	G	4512,94	5,4	24369,88			
(3)	A	4952,56	0	0	44318,97	12,398	12,398
	B	4952,56	23,4	115889,91			
	C	6882,77	19,8	136278,85			
	D	6882,77	16,2	111500,87			
	E	6882,77	12,6	86722,90			
	F	6882,77	9,0	61944,93			
	G	6882,77	5,4	37166,96			
(2)	A	7059,73	0	0	62961,91	12,398	12,398
	B	7059,73	23,4	165197,68			
	C	9768,49	19,8	193416,10			
	D	9768,49	16,2	158249,54			
	E	9768,49	12,6	123082,97			
	F	9768,49	9,0	87916,41			
	G	9768,49	5,4	52749,85			
(1)	A	6252,53	0	0	55845,26	12,398	12,398
	B	6252,53	23,4	146309,20			
	C	8668,04	19,8	171627,19			
	D	8668,04	16,2	140422,25			
	E	8668,04	12,6	109217,30			
	F	8668,04	9,0	78012,36			
	G	8668,04	5,4	46807,41			

Niv	Port	R_{k_x}	Y_k	$R_{k_y} Y_k$	ΣR_{k_x}	ΣY_k	Y_T
(7)	1	4796,03	0	0	17265,71	17731,01	5,784
	2	4796,03	3,6	17265,71			
	3	4796,03	9,0	43164,27			
	4	3342,92	12,6	42120,79			
(6)	1	4893,70	0	0	17617,32	102550,77	5,784
	2	4893,70	3,6	17617,32			
	3	4893,70	9,0	44043,30			
	4	3420,07	12,6	43092,88			
(5)	1	4991,18	0	0	17968,25	18477,36	5,784
	2	4991,18	3,6	17968,25			
	3	4991,18	9,0	44920,62			
	4	3503,82	12,6	44148,13			
(4)	1	8163,83	0	0	29389,79	30191,66	5,784
	2	8163,83	3,6	29389,79			
	3	8163,83	9,0	73474,47			
	4	5700,17	12,6	71822,14			
(3)	1	12485,72	0	0	112371,48	17732,08	5,784
	2	12485,72	3,6	44948,59			
	3	12485,72	9,0	112371,48			
	4	8719,14	12,6	109861,16			
(2)	1	17732,08	0	0	159588,72	267181,23	5,784
	2	17732,08	3,6	63835,49			
	3	17732,08	9,0	159588,72			
	4	19395,90	12,6	156188,34			
(1)	1	15473,03	0	0	139257,27	10921,38	5,784
	2	15473,03	3,6	55702,91			
	3	15473,03	9,0	139257,27			
	4	10921,38	12,6	137609,39			

* Bloc B - Centre de torsion :

N°	Port	R_{kx}	Y_k	$R_{kx} Y_k$	$\sum R_{kx} Y_k$	$\sum R_{kx}$	$\sum Y_k$	Port	R_{ky}	X_k	$R_{ky} X_k$	$\sum R_{ky}$	$\sum X_k$
⑦	7	3373,86	10,6	35762,92				E'	3728,63	0	0		
	6	4685,03	3,6	16866,11				F'	"	5,4	20134,60		
	5	4685,03	0	0				G'	"	9	33557,67		
⑥	7	3632,29	10,6	38502,27				D'	2234,69	12,6	28157,09		
	6	4979,98	3,6	18927,93				E'	3894,53	0	0		
	5	4979,98	0	0				F'	"	5,4	21030,46		
⑤	7	5447,12	10,6	57739,47				G'	"	9,0	35050,77		
	6	7521,37	3,6	27076,93				D'	2405,56	12,6	30310,06		
	5	7521,37	0	0				E'	5948,62	0	0		
④	7	7934,63	10,6	84107,08				F'	"	5,4	32122,55		
	6	10949,59	3,6	39418,52				G'	"	9,0	53537,58		
	5	10949,59	0	0				D'	3592,63	12,6	45267,14		
③	7	11208,15	10,6	118806,39				E'	8663,99	0	0		
	6	15412,70	3,6	55485,72				F'	"	5,4	46785,55		
	5	15412,70	0	0				G'	"	9,0	77975,91		
②	7	15653,29	10,6	165924,87				D'	5221,23	12,6	65787,50		
	6	21549,69	3,6	77578,88				E'	12146,25	0	0		
	5	21549,69	0	0				F'	"	5,4	65589,75		
①	7	13944,39	10,6	147810,53				G'	"	9,0	109316,25		
	E	18957,58	3,6	68247,28				D'	7374,96	12,6	92924,50		
	5	18957,58	0	0				E'	16897,71	0	0		
		216057,81	243503,75	174292,11	123525,60	84816,40	56430,20	F'	"	5,4	91247,63		
		51859,56	58759,68	42033,55	29833,81	20489,86	13592,25	G'	"	9,0	152079,39		
		4,166	4,145	4,141	4,139	4,130	4,130	D'	10289,78	12,6	129651,22		
								E'	14516,61	0	0		
								F'	"	5,4	78389,69		
								G'	"	9,0	130649,49		
								D'	9231,59	12,6	116318,03		
												325357,21	372978,24
												52781,42	60982,91
												43813,71	31213,20
												21438,49	14089,15
												13420,58	27882
												6,164	6,116
												6,105	6,107
												6,132	6,099

Excentricités

L'excentricité entre le centre de masse et le centre de torsion due à la mauvaise distribution des rigidités en plan, sera prise égale au max des valeurs suivantes :

$$e = \text{Max} [5\% \text{ de la plus grande dimension du bâtiment}]$$

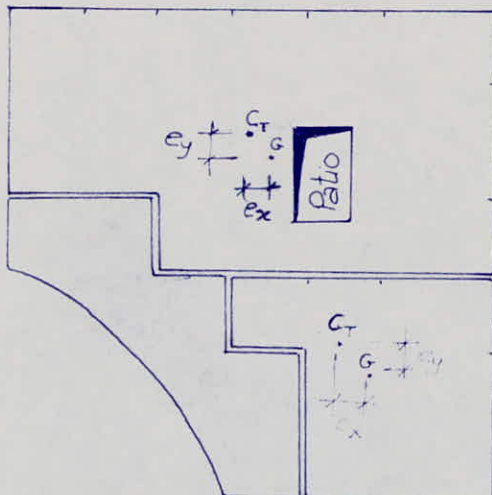
Rem : L'excentricité théorique ne doit en aucun cas dépasser 20% sinon il y a apparition d'effets secondaires dûs au cisaillement qui sont très difficiles à prévoir afin de les équilibrer. Si ce cas se présente il faudrait équilibrer la distribution des rigidités pour réduire les excentricités.

Bloc A

Niv (k)	Sens longitudinal			Sens transversal		
	$e_x = X_T - X_G $	5% L	e_x adopt	$e_y = Y_T - Y_G $	5% L	e_y adopt
7	12,40-11,04=1,36	1,17	1,36	5,92-5,78=0,14	1,17	1,17
6	12,40-10,90=1,50	1,17	1,50	6,05-5,79=0,26	1,17	1,17
5	12,40-10,92=1,48	1,17	1,48	6,05-5,79=0,26	1,17	1,17
4	12,40-10,94=1,46	1,17	1,46	6,04-5,79=0,25	1,17	1,17
3	12,40-10,95=1,45	1,17	1,45	6,03-5,79=0,24	1,17	1,17
2	12,40-10,98=1,42	1,17	1,42	6,03-5,79=0,24	1,17	1,17
1	12,40-11,00=1,40	1,17	1,40	6,02-5,80=0,22	1,17	1,17

Bloc B

Niv (k)	Sens longitudinal			Sens transversal		
	$e_x = X_T - X_G $	5% L	e_x adopt	$e_y = Y_T - Y_G $	5% L	e_y adopt
7	6,10-5,48=0,62	0,63	0,63	4,13-4,77=0,64	0,63	0,64
6	6,13-5,44=0,69	0,63	0,69	4,15-4,69=0,54	0,63	0,63
5	6,11-5,45=0,66	0,63	0,66	4,14-4,69=0,55	0,63	0,63
4	6,10-5,46=0,64	0,63	0,64	4,14-4,69=0,55	0,63	0,63
3	6,11-5,50=0,61	0,63	0,63	4,15-4,67=0,52	0,63	0,63
2	6,11-5,53=0,58	0,63	0,63	4,14-4,66=0,52	0,63	0,63
1	6,16-5,55=0,61	0,63	0,63	4,17-4,64=0,47	0,63	0,63



Vue en plan de la structure

Evaluation des forces sismiques.

pour ceci nous utiliserons la méthode du spectre de réponse exposée dans l'Annexe(3) du "RPA81" (Méthode d'analyse modale), cette méthode tient compte la réponse de la structure suivant les modes supérieurs qui ne sont plus négligés pour les structures flexibles ($T > 0,7\pi$) et elle donne une évaluation plus précise des forces sismiques calculées en superposant les différents modes.

- Procédure de calcul pour l'évaluation de la sollicitation sismique

- Détermination des périodes et formes propres.
- Détermination du facteur de contribution de chaque mode
- Détermination du facteur d'amplification dynamique moyen à chaque mode
- Évaluation des forces sismiques de calcul pour chaque mode.
- Évaluation de la sollicitation maximale résultante.

* Facteur de contribution Γ_i :

$$\Gamma_i = \frac{\sum_{k=1}^n w_k \phi_{ki}}{\sum_{k=1}^n w_k \phi_{ki}^2}$$

avec :

|| n = nombre total d'étages
 || i = rang du mode
 || k = indice du niveau
 || ϕ_{ki} = Composante du vecteur propre

* Facteur d'amplification dynamique moyen D_i :

à chaque période propre T_i correspond un facteur d'amplification dynamique D_i donné par le spectre de réponse du "RPA81"

* Évaluation des forces sismiques de calcul pour chaque mode

l'effort au niveau (k) pour le mode (i) est donné par:

$$F_{ki} = (A D_i B Q) \Gamma_i \phi_{ki} w_k$$

* Sollicitation maximale résultante:

elle consiste en la combinaison ou superposition des réponses modales qui est un problème très délicat si on pretend chercher une superposition exacte, car tous les modes ne sont pas en phase (le déphasage étant inconnu) et une addition directe des différents modes donnerait des valeurs importantes.
Pour tenir compte de ce déphasage nous allons considérer une superposition quadratique (approchée)

$$F_k = \sqrt{\sum F_{ki}^2}$$

$$\begin{array}{c} F_{k_1} \\ \diagup \\ \text{(I)} \end{array} +
 \begin{array}{c} F_{k_2} \\ \diagdown \\ \text{(II)} \end{array} +
 \begin{array}{c} F_{k_3} \\ \diagup \\ \text{(III)} \end{array} \rightarrow F_k = \sqrt{F_{k_1}^2 + F_{k_2}^2 + F_{k_3}^2}$$

Evaluation de la force sismique totale de niveau (k) due aux trois premiers modes : bloc A.

determination du facteur de contribution $\Gamma_i = \frac{\sum w_k \phi_{ki}^2}{\sum w_k \phi_{ki}^2}$

k: niveau
i: mode

Sens longitudinal :

Mode	1 ^{er} Mode $T_1 = 0,832 \text{ s}$				2 ^{em} Mode $T_2 = 0,327 \text{ s}$				3 ^{es} Mode $T_3 = 0,208 \text{ s}$					
i, v (E)	w_k	ϕ_{k1}	ϕ_{k1}^2	$w_k \phi_{k1}$	w_k	ϕ_{k2}	ϕ_{k2}^2	$w_k \phi_{k2}$	w_k	ϕ_{k3}	ϕ_{k3}^2	$w_k \phi_{k3}$	w_k	ϕ_{k3}^2
7	273	1,000	1,000	273,000	273,000	1,000	1,000	273,000	273,000	1,000	1,000	273,000	273,000	
5	289	0,911	0,830	263,279	239,870	0,421	0,177	121,669	51,153	-0,434	0,188	-125,426	54,332	
5	289	0,736	0,542	212,704	156,638	-0,399	0,159	-115,311	45,951	-1,193	1,423	-344,777	411,247	
4	292	0,503	0,253	146,876	73,876	-0,967	0,935	-282,364	273,020	-0,199	0,040	-58,108	11,680	
3	299	0,330	0,109	98,670	32,591	-0,964	0,929	-288,236	277,771	0,589	0,347	176,111	103,573	
2	307	0,205	0,042	62,935	12,894	-0,727	0,529	-223,189	162,403	0,749	0,561	229,943	172,227	
1	334	0,111	0,012	37,074	4,008	-0,432	0,187	-144,288	62,458	0,535	0,286	178,690	95,524	
		$\Sigma \rightarrow$	1094,538	792,877		$\Sigma \rightarrow$	-658,719	1145,756		$\Sigma \rightarrow$	329,433	1121,763		
		$\Rightarrow \Gamma_1 = \frac{1094,538}{792,877} = 1,380$				$\Rightarrow \Gamma_2 = \frac{-658,719}{1145,756} = -0,574$				$\Rightarrow \Gamma_3 = \frac{329,433}{1121,763} = 0,294$				

Sens transversal :

Mode	1 ^{er} Mode $T_1 = 0,846 \text{ s}$				2 ^{em} Mode $T_2 = 0,332 \text{ s}$				3 ^{es} Mode $T_3 = 0,211 \text{ s}$					
i, v (E)	w_k	ϕ_{k1}	ϕ_{k1}^2	$w_k \phi_{k1}$	w_k	ϕ_{k2}	ϕ_{k2}^2	$w_k \phi_{k2}$	w_k	ϕ_{k3}	ϕ_{k3}^2	$w_k \phi_{k3}$	w_k	ϕ_{k3}^2
2	273	1,000	1,000	273,000	273,000	1,000	1,000	273,000	273,000	1,000	1,000	273,000	273,000	
3	289	0,910	0,828	262,990	239,292	0,416	0,173	120,224	49,997	-0,440	0,194	-127,160	56,066	
5	289	0,739	0,546	213,571	157,794	-0,398	0,158	-115,022	45,662	-1,187	1,409	-343,043	407,201	
1	292	0,506	0,256	147,752	74,752	-0,963	0,927	-281,196	270,684	-0,199	0,040	-58,108	11,680	
3	299	0,331	0,110	98,969	32,890	-0,960	0,922	-287,040	275,678	0,592	0,350	177,08	104,650	
2	307	0,205	0,042	62,935	12,894	-0,722	0,521	-221,654	159,947	0,751	0,564	230,557	173,148	
1	334	0,110	0,012	36,740	4,008	-0,426	0,181	-142,284	60,454	0,533	0,284	178,022	94,856	
		$\Sigma \rightarrow$	1089,957	794,630		$\Sigma \rightarrow$	-653,972	1135,422		$\Sigma \rightarrow$	330,276	1120,601		
		$\Rightarrow \Gamma_1 = \frac{1089,957}{794,630} = 1,372$				$\Rightarrow \Gamma_2 = \frac{-653,972}{1135,422} = -0,576$				$\Rightarrow \Gamma_3 = \frac{330,276}{1120,601} = 0,295$				

- * Calcul du facteur d'amplification dynamique moyen à chaque mode :
 La valeur du coeff d'amplification dynamique au mode (i) dépend du type du sol et aussi de la période de vibration du bâtiment (T_i).

$$\Rightarrow \text{Sol ferme} \Rightarrow D_i = 2\sqrt{\frac{0,3}{T_i}}$$

$\text{si } T_i < 0,3 \rightarrow D_i = 2,00$

Sens long → | Mode 1 : $T_1 = 0,832 \rightarrow D_1 = 1,20$
 Mode 2 : $T_2 = 0,327 \rightarrow D_2 = 1,92$
 Mode 3 : $T_3 = 0,208 \rightarrow D_3 = 2,00$

Sens transv → | Mode 1 : $T_1 = 0,846 \rightarrow D_1 = 1,19$
 Mode 2 : $T_2 = 0,332 \rightarrow D_2 = 1,90$
 Mode 3 : $T_3 = 0,211 \rightarrow D_3 = 2,00$

Rem: les valeurs des coeff ci dessus sont valables pour un amortissement de 10%.

- * Facteur de comportement de la structure B :
 Ce facteur dépend de la nature des contreventements.
 La structure étudiée est contreventée par des portiques autostables

$$\Rightarrow B = \frac{1}{4}.$$

Une structure est dite autostable si et seulement si les éléments la constituant (poutres - poteaux bien solidaires) sont capables de reprendre la totalité des charges sismiques horizontales et charges verticales dans tous les cas de combinaisons. (ce type de structure est interdit en zone III)

- * Facteur d'accélération des zones A :

Le coeff d'accélération de zone A dépend du groupe d'usage de la structure et de la zone sismique.
 - zone sismique : l'ouvrage sera implanté à Kouba (Alger) ⇒ zone II.
 - groupe d'usage : le bâtiment étudié est un bâtiment administratif à usage de bureaux, nous estimons qu'il est d'importance moyenne ⇒ groupe d'usage 2

$$\Rightarrow A = 0,15.$$

- * Facteur de qualité Q : ce facteur ($Q = 1 + \sum_{q=1}^{q=6} P_q$) dépend de la distribution de la rigidité (torsion ou flexion) en élévation et du contrôle technique pendant la construction et de la symétrie en plan et aussi de la surabondance en plan..... il sera calculé dans chaque direction :

- Sens longitudinal :

• Condition minimale des files porteuses	observé	→ 0
• Surabondance en plan	observé	→ 0,1
• Symétrie en plan	observé	→ 0
• Regularité en élévation (torsion)	non observé	→ 0,1
• Contrôle de la qualité des matériaux	observé	→ 0
• Contrôle de la qualité de la construction... ..	observé	→ 0

$\Rightarrow Q = 1,2$

- Sens transversal : idem $Q = 1,2$

Ainsi on peut calculer la force sismique F_{ki} due au mode (i) sur le niveau (k)

$$F_{ki} = \Gamma_i W_k (AD_i BQ) \phi_{ki}$$

et de la déduire la force sismique totale F_k^* au niveau (k) par une superposition quadratique des trois premiers modes :

$$F_k^* = \sqrt{\sum_{i=1}^3 F_{ki}^2}$$

Sens longitudinal :

$A = 0,15$	- Mode 1 ($\Gamma_1 = 1,380 ; D_1 = 1,20$)
$B = 0,25$	- Mode 2 ($\Gamma_2 = -0,574 ; D_2 = 1,92$)
$Q = 1,20$	- Mode 3 ($\Gamma_3 = 0,294 ; D_3 = 2,00$)

Niv (k)	W_k (t)	Mode "1"	Mode "2"	Mode "3"	Superposition quadratique
		$F_{k1} = \Gamma_1 W_k AD_1 BQ \phi_{k1}$	$F_{k2} = \Gamma_2 W_k AD_2 BQ \phi_{k2}$	$F_{k3} = \Gamma_3 W_k AD_3 BQ \phi_{k3}$	$F_k^* = \sqrt{F_{k1}^2 + F_{k2}^2 + F_{k3}^2}$ cumul.
7	273	20,34	13,54	7,22	25,48
6	289	19,62	6,03	-3,32	20,79
5	289	15,85	-5,72	-9,12	19,16
4	292	10,95	-14,00	-1,54	17,84
3	299	7,35	-14,29	4,66	16,73
2	307	4,69	-11,07	6,08	13,47
1	334	2,76	-7,16	4,73	9,01

Sens transversal :

$A = 0,15$	- Mode 1 ($\Gamma_1 = 1,372 ; D_1 = 1,19$)
$B = 0,25$	- Mode 2 ($\Gamma_2 = -0,576 ; D_2 = 1,90$)
$Q = 1,20$	- Mode 3 ($\Gamma_3 = 0,295 ; D_3 = 2,00$)

Niv (k)	W_k (t)	Mode "1"	Mode "2"	Mode "3"	Superposition quadratique
		$\Gamma_1 W_k AD_1 BQ \phi_{k1}$	$\Gamma_2 W_k AD_2 BQ \phi_{k2}$	$\Gamma_3 W_k AD_3 BQ \phi_{k3}$	$F_k^* = \sqrt{\sum F_{ki}^2}$ cumul.
7	273	20,03	13,44	7,25	25,19
6	289	19,29	5,92	-3,38	20,46
5	289	15,67	-5,66	-9,11	18,99
4	292	10,84	-13,85	-1,54	17,66
3	299	7,26	-14,14	4,70	16,58
2	307	4,62	-10,92	6,12	13,34
1	334	2,69	-7,01	4,73	8,87

Evaluation des Forces sismiques aux niveaux (k) dues aux trois premiers modes

Bloc .B

Nous utiliserons comme pour le bloc(A) la méthode d'analyse modale exposée dans l'annexe(3) du RPA 81 car le comportement dynamique du bloc B. l'indique qu'il est très flexible donc les modes supérieurs ont un effet qu'il n'y a pas lieu de négliger . La grande flexibilité constatée dans les calculs pour les bloc A et B implique une très grande aptitude à la déformation par flexion , en d'autres termes une grande possibilité de dissiper l'énergie apportée par le séisme ce qui évite les ruptures cassantes ou brutale car les deux structures sont très ductiles.

* Facteur de contribution du mode (i) : $\Gamma_i = \frac{\sum w_k \phi_{ki}^2}{\sum w_k \phi_k^2}$
 w_k : masse du niveau(k)
 ϕ_{ki} : composante du vecteur propre au mode(i)

Sens longitudinal :

Mode	1 ^{er} Mode $T_1 = 0,631$ s				2 ^e Mode $T_2 = 0,262$ s				3 ^e Mode $T_3 = 0,164$ s			
	w_k	ϕ_{k1}^2	$w_k \phi_{k1}^2$	$w_k \phi_{k1}^2$	ϕ_{k2}^2	$w_k \phi_{k2}^2$	$w_k \phi_{k2}^2$	ϕ_{k3}^2	$w_k \phi_{k3}^2$	$w_k \phi_{k3}^2$	$w_k \phi_{k3}^2$	
7 141	1,000	1,000	141,000	141,000	1,000	1,000	141,000	141,000	1,000	1,000	141,000	141,000
3 156	0,888	0,789	138,528	123,084	0,353	0,125	55,068	19,500	-0,655	0,429	-102,180	66,924
5 157	0,680	0,462	106,760	72,534	-0,490	0,240	-76,930	37,680	-1,082	1,171	-169,874	183,847
4 160	0,490	0,240	78,400	38,400	-0,830	0,689	-132,800	110,240	-0,125	0,016	-20,000	2,560
3 164	0,332	0,110	54,448	18,040	-0,803	0,645	-131,692	105,780	0,633	0,401	103,812	65,764
2 168	0,208	0,043	34,944	7,924	-0,601	0,361	-100,968	60,648	0,801	0,642	134,568	107,856
1 196	0,112	0,013	21,952	2,548	-0,356	0,127	-69,776	24,892	0,579	0,335	113,484	65,660
$\Sigma \rightarrow 576,032$				$\Sigma \rightarrow -316,098$				$\Sigma \rightarrow 200,810$				
$\Rightarrow \Gamma_1 = \frac{576,032}{402,830} = 1,430$				$\Rightarrow \Gamma_2 = \frac{-316,098}{499,740} = -0,633$				$\Rightarrow \Gamma_3 = \frac{200,810}{633,611} = 0,317$				

Sens transversal :

	1 ^{er} Mode $T_1 = 0,619$ s				2 ^e Mode $T_2 = 0,258$ s				3 ^e Mode $T_3 = 0,161$ s			
	w_k	ϕ_{k1}^2	$w_k \phi_{k1}^2$	$w_k \phi_{k1}^2$	ϕ_{k2}^2	$w_k \phi_{k2}^2$	$w_k \phi_{k2}^2$	ϕ_{k3}^2	$w_k \phi_{k3}^2$	$w_k \phi_{k3}^2$	$w_k \phi_{k3}^2$	
7 141	1,000	1,000	141,000	141,000	1,000	1,000	141,000	141,000	1,000	1,000	141,000	141,000
5 156	0,890	0,792	138,840	123,552	0,364	0,132	56,784	20,592	-0,639	0,408	-99,684	63,648
5 157	0,681	0,464	106,917	72,848	-0,486	0,236	-76,302	37,052	-1,096	1,201	-172,072	188,557
4 160	0,492	0,242	78,720	38,720	-0,829	0,687	-132,640	109,920	-0,144	0,021	-23,040	3,360
3 164	0,335	0,112	54,940	18,358	-0,807	0,651	-132,348	106,764	0,625	0,391	102,500	64,124
2 168	0,211	0,045	35,448	7,560	-0,609	0,371	-102,312	62,328	0,808	0,653	135,744	109,704
1 196	0,115	0,013	22,540	2,548	-0,364	0,132	-71,344	25,872	0,592	0,350	116,032	68,600
$\Sigma \rightarrow 578,405$				$\Sigma \rightarrow -317,162$				$\Sigma \rightarrow 200,480$				
$\Rightarrow \Gamma_1 = \frac{578,405}{404,596} = 1,430$				$\Gamma_2 = 0,630$				$\Rightarrow \Gamma_3 = \frac{200,480}{638,993} = 0,314$				

Evaluation de la force sismique F_R due au mode (i) sur le niveau (k) Bloc (B)

$F_{Ri} = \Gamma_i w_k (AD, BQ) \phi_{ki}$
à partir des forces modales ainsi calculées on en déduit la force totale sismique agissant à chaque niveau (k) par superposition quadratique.

Sens longitudinal :

$$\begin{aligned} A &= 0,15 \\ B &= 0,25 \\ Q &= 1,30 \end{aligned}$$

- Mode 1 : ($\Gamma_1 = 1,430$; $D_1 = 1,380$)
- Mode 2 : ($\Gamma_2 = 0,633$; $D_2 = 2,000$)
- Mode 3 : ($\Gamma_3 = 0,317$; $D_3 = 2,000$)

Niv (k)	w_k (t)	Mode "1"	Mode "2"	Mode "3"	Superposition quadratique
7	141	13,57	8,70	4,35	16,69
6	156	13,33	3,40	3,16	14,12
5	157	10,28	4,74	5,25	12,47
4	160	7,54	8,20	0,62	11,16
3	164	5,24	8,12	3,21	10,18
2	168	3,36	6,23	4,16	8,21
1	196	2,11	4,31	3,51	5,95

Sens transversal :

$$\begin{aligned} A &= 0,15 \\ B &= 0,25 \\ Q &= 1,30 \end{aligned}$$

- Mode 1 : ($\Gamma_1 = 1,430$; $D_1 = 1,39$)
- Mode 2 : ($\Gamma_2 = 0,630$; $D_2 = 2,00$)
- Mode 3 : ($\Gamma_3 = 0,314$; $D_3 = 2,00$)

Niv (k)	w_k (t)	Mode "1"	Mode "2"	Mode "3"	Superposition quadratique
7	141	13,65	8,66	4,32	16,73
6	156	13,44	3,49	3,05	14,22
5	157	10,35	4,69	5,27	12,53
4	160	7,62	8,15	0,71	11,18
3	164	5,32	8,13	3,14	10,21
2	168	3,43	6,28	4,16	8,28
1	196	2,18	4,38	3,55	6,04

Deformations horizontales

pour éviter le désordre dans la structure et surtout les éléments de remplissage tels que cloisons, on vérifiera que les déplacements relatifs d'étage dus aux forces sismiques latérales sont compatibles avec les limites imposées par le règlement parasismique Algérien.
le déplacement admissible est limité à $\delta_R = 0,0075h$ h : hauteur de l'étage
on doit vérifier à chaque niveau :

$$\delta_R = \frac{T_k}{R_k} \cdot \frac{1}{2B} \leq \bar{\delta}_R = 0,0075h$$

T_k : effort tranchant au niveau k
 R_k : rigidité à la flexion du niveau k.

Bloc A :

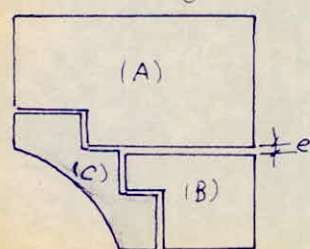
Niv k	Sens longitudinal				Sens transversal			
	$T_k(t)$	$R_k(t/cm)$	$\delta_k(cm)$	$\delta_k cum$	$T_k(t)$	$R_k(t/cm)$	$\delta_k(cm)$	$\delta_k cum(cm)$
7	25,48	177,31	0,29	2,44	3,27	25,19	170,77	0,30
6	46,27	181,01	0,51	2,44	2,98	45,65	175,87	0,52
5	65,43	184,77	0,71	2,44	2,47	64,64	179,67	0,72
4	83,27	301,92	0,55	2,44	1,76	82,30	290,38	0,57
3	100,00	461,76	0,43	2,44	1,21	98,88	443,19	0,45
2	113,47	655,92	0,35	2,44	0,78	112,22	629,62	0,36
1	122,48	573,41	0,43	3,19	0,43	121,09	558,45	0,43

Bloc B :

	Sens longitudinal				Sens transversal			
	$T_k(t)$	$R_k(t/cm)$	$\delta_k(cm)$	$\delta_k cum$	$T_k(t)$	$R_k(t/cm)$	$\delta_k(cm)$	$\delta_k cum$
7	15,41	127,44	0,24	2,44	2,35	16,73	134,21	0,25
6	32,44	135,92	0,48	2,44	2,11	30,95	140,89	0,44
5	43,95	204,89	0,43	2,44	1,63	43,48	214,39	0,41
4	54,25	298,34	0,36	2,44	1,20	54,66	312,13	0,35
3	63,65	420,34	0,30	2,44	0,84	64,87	438,14	0,30
2	71,23	587,53	0,24	2,44	0,54	73,15	609,83	0,24
1	76,72	518,59	0,30	3,19	0,30	79,19	527,81	0,30

Comme on peut le remarquer la déformation de l'ensemble est vérifiée.

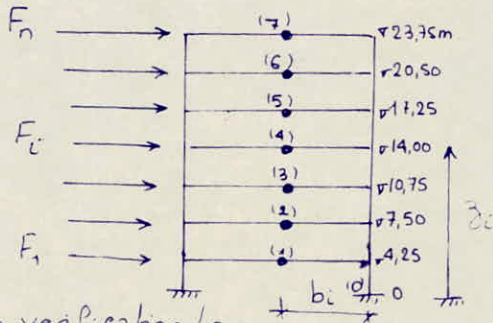
Dimensionnement du joint sismique : afin d'éviter d'avoir des interactions et des transmissions d'efforts entre les deux blocs (A) et (B) on va dimensionner le joint séparant les deux blocs en supposant que lors d'un séisme les deux blocs sont en opposition de phase et se dirigent l'un vers l'autre.
d'où la dimension du joint sismique :



$e = 3,35 + 2,29 = 5,64 \text{ cm}$ on prendra $e = 6 \text{ cm}$
3,35 cm et 2,29 étant respectivement les flèches aux sommet des bloc A et B.

Vérification au renversement

(RPA 81, Art 3.3.6): chaque structure doit être calculée afin de résister aux effets de renversement qui peuvent être causés par les effets sismiques.



Nous allons faire cette vérification.

Moment de renversement du au séisme: $M_r = \sum F_i z_i$

Moment stabilisant du aux masses deniveaux $M_s = \sum w_i b_i$

BLOCA:

Sens longitudinal				Sens transversal			
F_i (t)	z_i (m)	w_i (t)	b_i (m)	F_i (t)	z_i (m)	w_i (t)	b_i (m)
25,48	23,75	273	11,04	25,19	23,75	273	5,92
20,79	20,50	289	10,90	20,46	20,50	289	6,05
19,16	17,25	289	10,92	18,99	17,25	289	6,05
17,84	14,00	292	10,92	17,66	14,00	292	6,04
16,73	10,75	299	10,95	16,58	10,75	299	6,03
13,47	7,50	307	10,98	13,34	7,50	307	6,03
9,01	4,25	334	11,00	8,87	4,25	334	6,02

$$\downarrow \\ M_r = \sum F_i z_i$$

$$= 1930,78 \text{ tm}$$

$$\downarrow \\ M_s = \sum w_i b_i$$

$$= 19630,62 \text{ tm}$$

$$\downarrow \\ M_r = \sum F_i z_i$$

$$= 1908,49 \text{ tm}$$

$$\downarrow \\ M_s = \sum w_i b_i$$

$$= 12541,60 \text{ tm}$$

$$\frac{M_s}{M_r} = \frac{19630,62}{1930,78} = 10,2 > 1,5$$

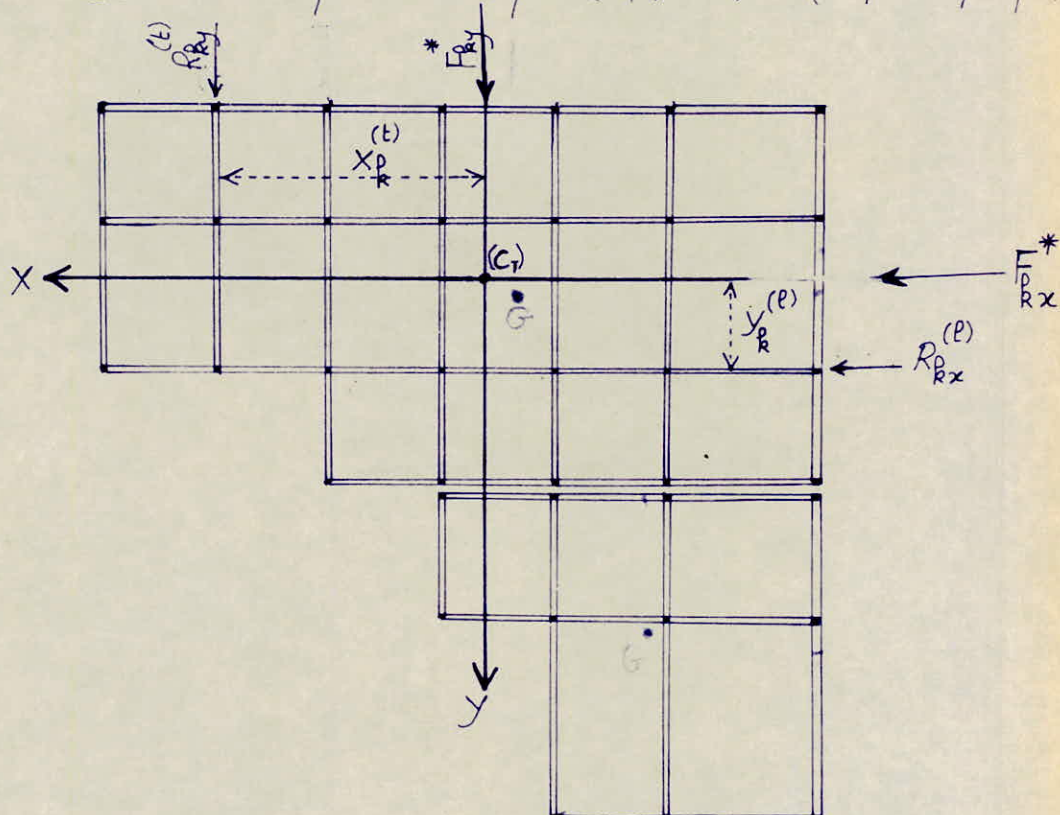
$$\frac{M_s}{M_r} = \frac{12541,60}{1908,49} = 6,6 > 1,5$$

donc le bloc A ne risque pas de se renverser et ce dans les deux sens
le bloc B a été vérifié également.

Distribution des efforts sismiques sur les portiques:

l'effort sismique (F_k^*) du niveau (k) s'applique au centre de masse[↑] de celui ci : sous l'effet des charges sismiques la structure subit une translation d'ensemble due à sa flexibilité et une rotation d'ensemble aussi autour du centre de torsion (C_T) due à la mauvaise distribution des rigidités en plan (excentricités) en conclusion ceci est équivalent à appliquer (F_k^*) en (C_T) avec un moment de torsion ($M = F_k^* \cdot e_k$, e_k étant l'excentricité au niveau k) d'où amplification des charges horizontales dans les portiques qui sera d'autant plus importante que la rigidité à la torsion du niveau (k) est faible -

Nous considérons dans tout ce qui suit le repère $(C_T; X, Y) \leftarrow$ (chaque bloc est son repère)



par définition la rigidité à la torsion de l'étage (k) est donnée par

$$R_{k\theta} = \sum R_{ky} X_k^2 + \sum R_{kx} Y_k^2$$

physiquement $R_{k\theta}$ exprime le moment unitaire qui en agissant sur le niveau (k) celui ci subit une rotation unitaire

Sous l'action des forces sismiques F_{ky}^* il en résulte :

- a) un effort tranchant $F_{ky}^{(t)}$ de niveau (k) dans un portique transversal (t) // F_{ky}^* donné par :

$$F_{ky}^{(t)} = F_{ky}^* = F_{ky}^* \cdot \frac{R_{ky}^{(t)}}{\sum R_{ky}} + F_{ky}^* \cdot \frac{R_{ky}^{(t)} \cdot X_k^{(t)}}{R_{ke}} \cdot e. \text{ (transl + torsion)}$$

- b) un effort tranchant $F_{kx}^{(e)}$ de niveau (k) dans un portique longitudinal (e) ⊥ F_{ky}^* donné par :

$$F_{kx}^{(e)} = F_{ky}^* \cdot \frac{R_{kx}^{(e)} Y_k^{(e)}}{R_{ke}} e \text{ (torsion)}$$

Sous l'action des forces sismiques F_{kx}^* on obtient des expressions analogues.

$$\text{port } (e) // F_{kx}^* \rightarrow F_{kx}^{(e)} = F_{kx}^* \cdot \frac{R_{kx}^{(e)}}{\sum R_{kx}} + F_{kx}^* \cdot \frac{R_{kx}^{(e)} \cdot Y_k^{(e)}}{R_{ke}} \cdot e \text{ (transl + torsion)}$$

$$\text{port } (t) \perp F_{kx}^* \rightarrow F_{ky}^{(t)} = F_{kx}^* \cdot \frac{R_{ky}^{(t)} \cdot X_k^{(t)}}{R_{ke}} \cdot e \text{ (torsion)}$$

en conclusion :

un portique longitudinal (e) sera soumis à chaque niveau (k) à la force :

$$F_{kx}^{(e)} = \underbrace{F_{kx}^* \cdot \frac{R_{kx}^{(e)}}{\sum R_{kx}}}_{\text{translation}} + \underbrace{F_{kx}^* \cdot \frac{R_{kx}^{(e)} \cdot Y_k^{(e)}}{R_{ke}} e}_{\text{torsion}}$$

de même pour un portique transversal (t) :

$$F_{ky}^{(t)} = \underbrace{F_{ky}^* \cdot \frac{R_{ky}^{(t)}}{\sum R_{ky}}}_{\text{translation}} + \underbrace{F_{ky}^* \cdot \frac{R_{ky}^{(t)} \cdot X_k^{(t)}}{R_{ke}} e}_{\text{torsion}}$$

Rigidité à la torsion - Bloc A -

Niv (k)	Port	R_{Kx}	y_k	y_k^2	$R_{Kx} y_k^2$	$\sum R_{Kx} y^2$	Port	R_{Ky}	x_k	x_k^2	$R_{Ky} x_k^2$	$\sum R_{Ky} x^2$	$R_{K\theta}$ (Nm)
(7)		4796,03	5,78	33,41	160227,7	388234,8		1889,80	11	121	228665,8	940651,7	
	"	2,18	4,75	22792,7			"	7,4	54,76	103485,4			
	"	3,22	10,37	49727,2			2659,53	3,8	14,44	38403,6			
		3342,92	6,82	46,51	155487,2		"	0,2	0,04	106,4			
(6)		4893,70	5,79	33,52	164056,9	396562,3		1946,44	11	121	235519,2	968727,8	
	"	2,19	4,80	23470,7			"	7,4	54,76	106587,1			
	"	3,21	10,30	50425,2			2738,73	3,8	14,44	39547,3			
		3420,07	6,81	46,38	158609,5		"	0,2	0,04	109,6			
(5)		4991,18	5,79	33,52	167304,4	405178,5		2016,45	11	121	243990,5	992051,8	
	"	2,19	4,80	23957,7			"	7,4	54,76	110420,8			
	"	3,21	10,30	51409,2			2786,89	3,8	14,44	40242,7			
		3503,82	6,81	46,38	162507,2		"	0,2	0,04	111,5			
(4)		8163,83	5,79	33,52	273651,6	661299,4		3236,42	11	121	391606,8	1365290,1	
	"	2,19	4,80	39186,4			"	7,4	54,76	177226,4			
	"	3,21	10,30	84087,5			4512,94	3,8	14,44	65166,8			
		5700,17	6,81	46,38	264373,9		"	0,2	0,04	180,5			
(3)		12485,72	5,79	33,52	418521,3	1011449,4		6882,77	3,8	14,44	52169,6	1397230,3	
	"	2,19	4,80	59931,5			"	0,2	0,04	275,3			
	"	3,21	10,30	128602,9			"	3,4	11,56	179564,8			
		8719,14	6,81	46,38	404393,7		"	7,0	49	337255,7			
(2)		17732,08	5,79	33,52	594379,3	1437055,4		12,4	153,76	1058294,5	3475846,2		
	"	2,19	4,80	85113,9				7059,73	11	121	854227,3		
	"	3,21	10,30	182640,4				"	7,4	54,76	386590,8		
		12395,90	6,81	46,38	574921,8			9768,48	3,8	14,44	141056,9		
(1)		15473,03	5,80	33,64	520512,7	1258850,6		"	0,2	0,04	390,7	4912901,6	
	"	2,20	4,84	74889,5				"	3,4	11,56	112923,6		
	"	3,20	10,24	158443,8				"	7,0	49	478655,5		
		10921,38	6,80	46,24	505004,6			"	12,4	153,76	1502001,4		
								6252,53	11	121	756556,1	3082191,0	
								"	7,4	54,76	342386,5		
								8668,04	3,8	14,44	125166,5		
								"	0,2	0,04	346,7		
								"	3,4	11,56	100202,5	4341042,6	
								"	7,0	49	424733,9		
								"	12,4	153,76	1332797,8		

Bloc A - Portiques longitudinaux sous \overrightarrow{Si}

Niveau	Port	R_{kx}	ΣR_{kx}	F_{kx}^*	$F_{kx}^* \frac{R_{kx}}{\Sigma R_{kx}}$	R_{k0}	y_R	e_{y_R}	$F_{kx}^* \frac{R_{kx} y_R}{R_{k0}}$	(1) (2)	(1) + (2)
(7)	1	4796,03	17731,01	25,48	6,89	1328886,5	5,78	1,17	0,62	7,51	
	2	"			6,89		2,18		0,23		
	3	"			6,89		3,22		0,35		
	4	3342,92			4,81		6,82		0,51		
(6)	1	4893,70	18101,17	20,79	5,62	1365290,1	5,79	1,17	0,50	6,12	
	2	"			5,62		2,19		0,19		
	3	"			5,62		3,21		0,28		
	4	3420,07			3,93		6,81		0,42		
(5)	1	4991,18	18477,36	19,16	5,18	1397230,3	5,79	1,17	0,46	5,64	
	2	"			5,18		2,19		0,18		
	3	"			5,18		3,21		0,26		
	4	3503,82			3,63		6,81		0,38		
(4)	1	8163,83	30191,66	17,84	4,82	2262693,3	5,79	1,17	0,44	5,26	
	2	"			4,82		2,19		0,16		
	3	"			4,82		3,21		0,24		
	4	5700,17			3,37		6,81		0,36		
(3)	1	12485,72	46176,30	16,73	4,52	3456688,9	5,79	1,17	0,41	4,93	
	2	"			4,52		2,19		0,15		
	3	"			4,52		3,21		0,23		
	4	8719,14			3,16		6,81		0,34		
(2)	1	17732,08	65592,14	13,47	3,64	4912901,6	5,79	1,17	0,33	3,97	
	2	"			3,64		2,19		0,12		
	3	"			3,64		3,21		0,18		
	4	12395,90			2,54		6,81		0,27		
(1)	1	15473,03	57340,47	9,01	2,43	4341042,6	5,80	1,17	0,22	2,65	
	2	"			2,43		2,20		0,08		
	3	"			2,43		3,20		0,12		
	4	10921,38			1,72		6,80		0,18		

Bloc A - Portiques transversaux sous $\overrightarrow{S1}$

Niv(B)	Port	R_{ky}	ΣR_{ky}	F_{ky}^*	$F_{ky}^* \frac{R_{ky}}{\Sigma R_{ky}}$	R_{ke}	X_k	e_{ke}	$F_{ky}^* \frac{R_{ky} X_k e_{ke}}{R_{ke}}$	(1)		tors+trans
										(1)	(2)	
(7)	A	1889,80	17577,25	25,19	2,79	132888,6,5	11	1,36	0,54	3,33		
	B	"			"		7,4				0,36	3,15
	C	2659,53			3,92		3,8				0,26	
	D	"			"		0,2				0,01	
	E	"			"		3,4				0,23	
	F	"			"		7,0				4,15	
	G	"			"		12,4				4,40	
(6)	A	1946,44	17586,53	20,46	2,26	1365290,1	11	1,50	0,48	2,74		
	B	"			"		7,4				0,32	
	C	2738,73			3,19		3,8				0,23	
	D	"			"		0,2				0,01	
	E	"			"		3,4				0,21	
	F	"			"		7,0				0,43	
	G	"			"		12,4				0,76	
(5)	A	2016,45	17967,35	18,99	2,13	1397230,3	11	1,40	0,42	2,55		
	B	"			"		7,4				0,28	
	C	2768,89			2,95		3,8				0,20	
	D	"			"		0,2				0,01	
	E	"			"		3,4				0,18	
	F	"			"		7,0				0,37	
	G	"			"		12,4				0,66	
(4)	A	3236,42	29037,54	17,66	1,97	2262693,3	11	1,46	0,41	2,38		
	B	"			"		7,4				0,27	
	C	4512,94			2,74		3,8				0,20	
	D	"			"		0,2				0,01	
	E	"			"		3,4				0,17	
	F	"			"		7,0				0,36	
	G	"			"		12,4				0,64	
(3)	A	4952,56	44318,97	16,58	1,85	3456688,9	11	1,45	0,38	2,23		
	B	"			"		7,4				0,25	
	C	6882,77			2,57		3,8				0,18	
	D	"			"		0,2				0,01	
	E	"			"		3,4				0,16	
	F	"			"		7,0				0,34	
	G	"			"		12,4				0,59	
(2)	A	7059,73	4912901,6	13,34	1,50	1397230,3	11	1,42	0,30	1,80		
	B	"			"		7,4				0,21	
	C	9768,49			2,07		3,8				0,14	
	D	"			"		0,2				0,01	
	E	"			"		3,4				0,13	
	F	"			"		7,0				0,26	
	G	"			"		12,4				0,47	
(1)	A	6252,53	4341042,6	8,87	0,99	132888,6,5	11	1,40	0,20	1,19		
	B	S "			"		7,4				0,13	
	C	8668,04			1,38		3,8				0,09	
	D	"			"		0,2				0,00	
	E	"			"		3,4				0,08	
	F	"			"		7,0				0,17	
	G	"			"		12,4				0,31	

Rigidité à la torsion - Bloc B

N _{IR}	Port	R _{kx}	y _k	y _k ²	R _{kx} y ²	$\sum R_k^2 y$	t ₀₅	R _{ky}	x _k	x _k ²	R _{ky} x _k ²	$\sum R_k x_k^2$	R _{tx0}
7		3373,86	6,47	41,86	141229,8	222468,2		3728,63	6,10	37,21	138742,3	266342,7	488810,9
		4685,03	0,53	0,28	1311,8			3728,63	0,70	0,49	1827,0		
		4685,03	4,13	17,06	79926,6			3728,63	2,90	8,41	31357,8		
6		3632,29	6,45	41,60	151103,3	238352,6		3894,53	6,13	37,58	146356,4	281208,1	519560,7
		4979,98	0,55	0,30	1494,0			3894,53	0,73	0,53	2064,1		
		4979,98	4,15	17,22	85755,3			3894,53	2,87	8,24	32090,9		
5		5447,12	6,46	41,73	227308,3	358405,8		5948,62	6,11	37,33	222061,9	426028,8	519560,7
		7521,37	0,54	0,29	2181,2			5948,62	0,71	0,50	2974,3		
		7521,37	4,14	17,14	128916,3			5948,62	2,89	8,35	49671,0		
4		7934,63	6,46	41,73	331112,1	521963,4		3592,63	6,49	42,12	151321,6	7374,96	310633,3
		10949,59	0,54	0,29	3175,4			8663,99	6,10	37,21	322387,1		
		10949,59	4,14	17,14	187675,9			8663,99	0,70	0,49	4245,4		
3		11208,15	6,45	41,60	466259,0	736289,5		8663,99	2,90	8,41	72864,2	12146,25	453419,5
		15412,70	0,55	0,30	4623,8			5221,23	6,50	42,25	220596,9		
		15412,70	4,15	17,22	265406,7			12146,25	0,71	0,50	6073,1		
2		15653,29	6,46	41,73	653211,8	1028822,9		12146,25	2,89	8,35	101421,2	16897,71	871547,1
		21549,69	0,54	0,29	6249,4			7374,96	6,49	42,12	310633,3		
		21549,69	4,14	17,14	369361,7			16897,71	6,11	37,33	630791,5		
1		13944,39	6,43	41,34	576461,1	191299,8		16897,71	0,71	0,50	8448,9	1213741,8	1059307,9
		18957,58	0,57	0,32	6066,4			16897,71	2,89	8,35	141095,9		
		18957,58	4,17	17,39	329672,3			10289,78	6,49	42,12	433405,5		
								14516,61	6,16	37,95	550905,3		
								14516,61	0,76	0,58	8419,6		
								14516,61	2,84	8,07	117149,0		
								9231,59	6,44	41,47	382834,0		
								1971507,7	2942564,7	1607836,6	1142057,0		

Bloc B . Portiques longitudinaux.

Niv k	Port	$R_{kx}^*(t/m)$	$\sum R_{kx}^t$	$F_{kx}^{*(t)}$	$F_{kx}^* \frac{R_{kx}(t)}{\sum R_{kx}}$	$R_{kx}^t (t/m)$	$y_k (m)$	e_{y_k}	(1)	(2)	(1) + (2)
											transl + torsion
⑦	5	4685,03	12743,92	16,69	6,14	488810,9	4,13	0,64	0,42	6,56	6,56
	6	"			"		0,53		0,05	6,19	6,19
	7	3373,86			4,42		6,47		0,48		4,90
⑥	5	4979,98	13592,25	14,12	5,17	519560,7	4,15	0,63	0,35	5,52	5,52
	6	"			"		0,55		0,05	5,22	5,22
	7	3632,29			3,77		6,45		0,40		4,17
⑤	5	7521,37	20489,86	12,47	4,58	784434,6	4,14	0,63	0,31	4,89	4,89
	6	"			"		0,54		0,04	4,62	4,62
	7	5447,12			3,32		6,46		0,35		3,67
④	5	10949,59	29833,81	11,16	4,10	1142057,0	4,14	0,63	0,28	4,38	4,38
	6	"			"		0,54		0,04	4,14	4,14
	7	7934,63			2,97		6,46		0,32		3,29
③	5	15412,70	42033,55	10,18	3,73	1607836,6	4,15	0,63	0,26	3,99	3,99
	6	"			"		0,55		0,03	3,76	3,76
	7	11208,15			2,71		6,45		0,29		3,00
②	5	21549,69	58752,68	8,21	3,01	242564,7	4,14	0,63	0,21	3,22	3,22
	6	"			"		0,54		0,03	3,04	3,04
	7	15653,29			2,19		6,46		0,23		2,42
①	5	18957,58	51859,56	5,95	2,18	1971507,7	4,17	0,63	0,17	2,33	2,33
	6	"			"		0,57		0,02	2,20	2,20
	7	13944,39			1,60		6,43		0,15		1,77

Bloc B : Portiques transversaux :

Niv k	Porte	R_{ky} t/m	$\sum R_{ky}$	$F_{ky}^{(4)}$	F_{ky}^* $\frac{R_{ky}}{\sum R_{ky}}$	R_{ke}	$X_k^{(m)}$	$e_k^{(m)}$	F_{yk}^* $\frac{R_{ky}}{R_{ke}}$	transl + Torsion
⑦	D'	2234,69	13420,58	16,73	2,79	488810,9	6,50	0,63	0,31	3,10
	E'	3728,63			4,65		2,90		0,23	4,88
	F'	"			4,65		0,70		0,06	4,71
	G'	"			4,65		6,10		0,49	5,14
⑥	D'	2405,56	14089,15	14,22	2,43	519560,7	6,47	0,69	0,28	2,71
	E'	3894,53			3,93		2,87		0,21	4,14
	F'	"			3,93		0,73		0,05	3,98
	G'	"			3,93		6,13		0,45	4,38
⑤	D'	3592,63	21438,49	12,53	2,10	784434,6	6,49	0,66	0,23	2,33
	E'	5948,62			3,48		2,89		0,18	3,66
	F'	"			3,48		0,71		0,04	3,52
	G'	"			3,48		6,11		0,38	3,86
④	D'	5221,23	31213,20	11,18	1,87	1142057,0	6,50	0,64	0,20	2,07
	E'	8663,99			3,10		2,90		0,16	3,26
	F'	"			3,10		0,70		0,04	3,14
	G'	"			3,10		6,10		0,33	3,43
③	D'	7374,96	43843,71	10,21	1,72	1607836,6	6,49	0,63	0,18	1,90
	E'	12146,25			2,83		2,89		0,14	2,97
	F'	"			2,83		0,71		0,03	2,86
	G'	"			2,83		6,11		0,30	3,13
②	D'	10289,78	60982,91	8,28	1,40	2242564,7	6,49	0,63	0,15	1,55
	E'	16897,71			2,29		2,89		0,11	2,40
	F'	"			2,29		0,71		0,03	2,32
	G'	"			2,29		6,11		0,24	2,53
①	D'	9231,59	52781,42	6,04	1,06	1971507,7	6,44	0,63	0,11	1,83
	E'	14516,61			1,66		2,84		0,08	1,68
	F'	"			1,66		0,76		0,02	1,74
	G'	"			1,66		6,16		0,17	1,17

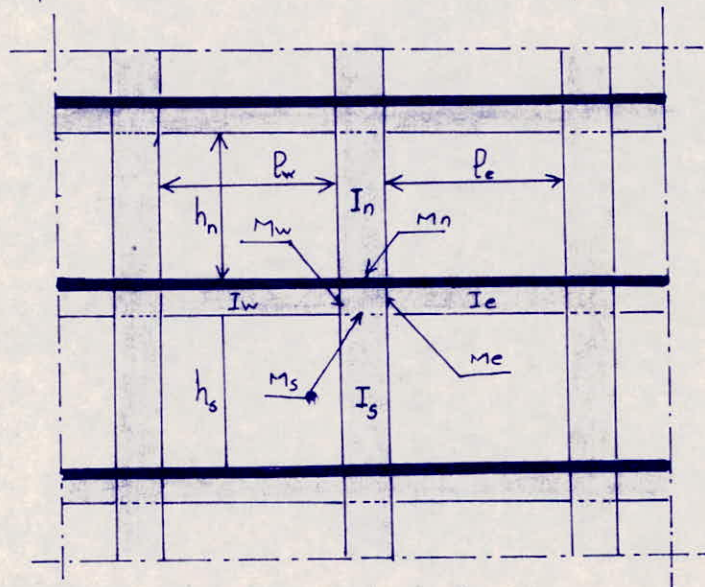
*EFFORTS DANS
LES PORTIQUES*

— charges verticales —

Les charges verticales agissant sur les portiques sont les réactions des poutrelles continues calculées précédemment.

La méthode utilisée est la méthode de CAQUOT exposée à l'annexe A. CCB A 68 et s'applique essentiellement aux éléments de planchers constitués de nervures et de poutres associées à des nervures.

. Exposé de la Méthode :



on considère des hauteurs fictives de poteaux :

- $h'_n = 0,9 h_n$ si le noeud considéré appartient à l'avant dernier plancher
- $h'_n = 0,8 h_n$ pour tous les autres cas.
- $h'_s = 0,8 h_s$.

on considère également des travées fictives ℓ'_e , ℓ'_w .

travées intermédiaires $\ell'_w = 0,8 \ell_w$; $\ell'_e = 0,8 \ell_e$.

travées de rive $\ell'_w = \ell_w$; $\ell'_e = \ell_e$.

- pour le calcul des moments de continuité agissant dans les sections des nus d'un appui considérées comme sections dangereuses peuvent être évaluées en ne tenant compte que des charges sollicitant les travées encadrant l'appui considéré et de la résistance offerte par les tronçons inférieurs et supérieur des poteaux aboutissant au noeud

pour chaque noeud du portique on calcule (I_w , I_e , I_n , I_s) qui désignent respectivement les moments d'inertie de la travée de gauche, droite, du poteau inférieur et du poteau supérieur, ces moments étant évalués en supposant le béton non fissuré.

ainsi on peut calculer les raideurs fictives des ≠ barres aboutissant à ce noeud.

$$K_w = \frac{I_w}{l'_w} ; \quad K_e = \frac{I_e}{l'_e} ; \quad K_n = \frac{I_n}{l'_n} ; \quad K_s = \frac{I_s}{l'_s}$$

et $D = K_w + K_e + K_n + K_s$.

Soient q_w la charge uniformément répartie par unité de longueur sur la travée de gauche (q_e sur celle de droite).

Q_w : charge concentrée concentrée appliquée sur la travée de gauche à la distance a_w du nu de l'appui.
(Q_e , a_e) sur celle de droite.

$$M'_w = \frac{q_w l'^2}{8,5} + l'_w K_w Q_w .$$

$$M'_e = \frac{q_e l'^2}{8,5} + l'_e K_e Q_e .$$

- Moments dans les sections dangereuses (zone nodale) pour cela on repartit M'_w , M'_e sur les différents barres aboutissant au noeud suivant leurs raideurs.

$$M_w = M'_e \frac{K_w}{D} + M'_w \left(1 - \frac{K_w}{D}\right)$$

$$M_e = M'_e \left(1 - \frac{K_e}{D}\right) + M'_w \frac{K_e}{D}$$

$$M_s = \frac{K_s}{D} (M'_e - M'_w)$$

$$M_n = \frac{K_n}{D} (M'_e - M'_w)$$

- Efforts tranchants dans les poutres - efforts normaux dans les poteaux. les efforts tranchants sont calculés en considérant la travée indépendante et en faisant état des moments de continuité et de la charge qui lui est appliquée.

$$M_o \sum M/B = 0 \Rightarrow R_A l - M_e + M_w - \frac{q l^2}{2} = 0 \Rightarrow R_A = \frac{q l^2}{2} + \frac{M_e - M_w}{l}$$

$$T(x) = R_A - qx = \frac{q l}{2} + \frac{M_e - M_w}{l} - qx$$

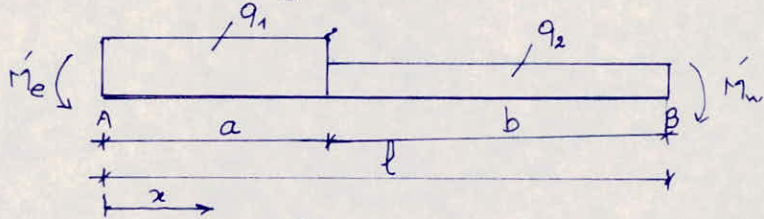
l'effort tranchant aux appuis
 $x=0 \rightarrow \frac{q l}{2} + \frac{M_e - M_w}{l} = T_e$

$$x=l \rightarrow -\frac{q l}{2} + \frac{M_e - M_w}{l} = T_w$$

l'effort normal dans les poteaux ramené par les poutres sera.

$$N = T_e + T_w . \quad T_e, T_w \text{ étant en valeurs algébriques.}$$

pour notre cas de charge :



$$M'_e = \frac{q_1 l^2}{8,5} + \int_0^a k(q_1 - q_2) l \, dx$$

avec $k = \frac{1}{2,125} \cdot \frac{x}{l} \cdot \frac{l-x}{l} \cdot \frac{2l-x}{l}$

$$\Rightarrow M'_e = \frac{q_1 l^2}{8,5} + \frac{1}{2,125} \frac{q_1 - q_2}{l^2} \int_0^a x(l-x)(2l-x) \, dx$$

$$M'_e = \frac{q_1 l^2}{8,5} + \frac{1}{8,5} \frac{(q_1 - q_2) a^4}{l^2}$$

de mêm on trouve :

$$M'_w = \frac{q_2 l^2}{8,5} + \frac{1}{8,5} \frac{(q_1 - q_2)(l^4 - b^4)}{l^2}$$

en distribuant les moments fictifs M'_w, M'_e sur les 2 barres aboutissant au noeud et suivant leurs raideurs on obtient.

$$M_w = M'_w \left(1 - \frac{\kappa_w}{D}\right) + M'_e \frac{\kappa_w}{D}$$

$$M_e = M'_e \left(1 - \frac{\kappa_e}{D}\right) + M'_w \frac{\kappa_e}{D}$$

$$M_n = \frac{\kappa_n}{D} (M'_e - M'_w)$$

$$M_s = \frac{\kappa_s}{D} (M'_e - M'_w)$$

à partir de ces moments aux noeuds on peut déduire tous les efforts (M, N, T) en toute section

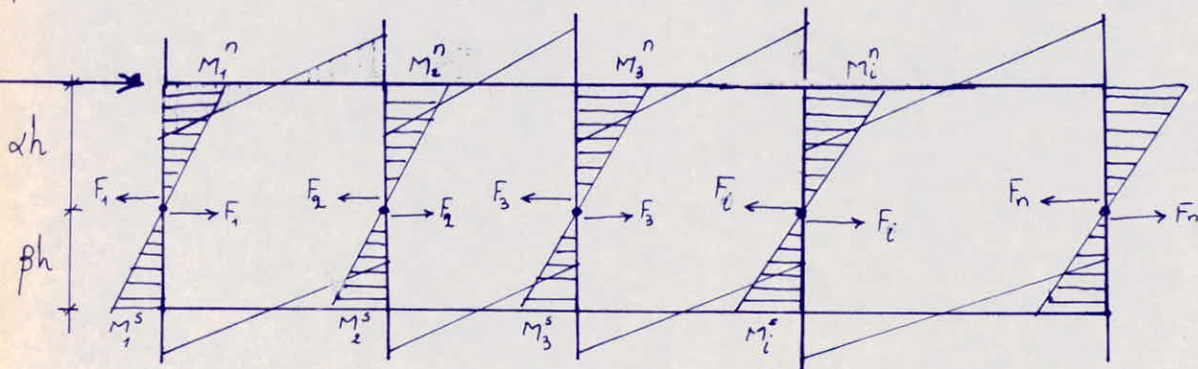
Charges horizontales

. Exposé de la méthode de BOWMAN :

- hypothèses de calcul : dans le cas où les poteaux d'un même étage ont tous la même hauteur et où les raideurs des différentes poutres porteuses du plancher parallèles aux forces appliquées et solidaires des poteaux . sont supérieurs au 1/5 de la raideur du poteau le plus rigide on admet que :

- Que les forces horizontales agissant sur une file de poteaux se répartissent proportionnellement aux moments d'inertie des poteaux - les moments d'inertie des poteaux de rive étant toutefois affectés du coefficient 0,8.
- Que les poteaux des étages courants sont encastrés au niveau de chacun des planchers et que les points de leurs flexion se situent à :
 - 0,65 h pour le dernier niveau.
 - 0,60 h pour l'avant dernier niveau.
 - 0,55 h pour le niveau directement en dessous.
 - 0,50 h pour tous les autres niveaux -
 - 0,60 h à partir de la base du poteau au premier niveau.

pour un seul niveau :



$$\text{avec } F_i = \frac{F_i I_i}{0,8 I_1 + I_2 + \dots + 0,8 I_n}$$

Moments fléchissants des poteaux → $M_i^n = F_i \cdot \alpha h ; M_i^s = F_i \cdot \beta h$ M_i^n : Moment en tête du poteau.
 α et β étant les coefficients de BOWMAN. ($\beta = 1 - \alpha$)

Moments fléchissants des poutres → le partage des moments dans les poutres sera effectué proportionnellement à leurs raideurs et doivent équilibrer les moments fléchissants du poteau appartenant au noeud auquel elles aboutissent.

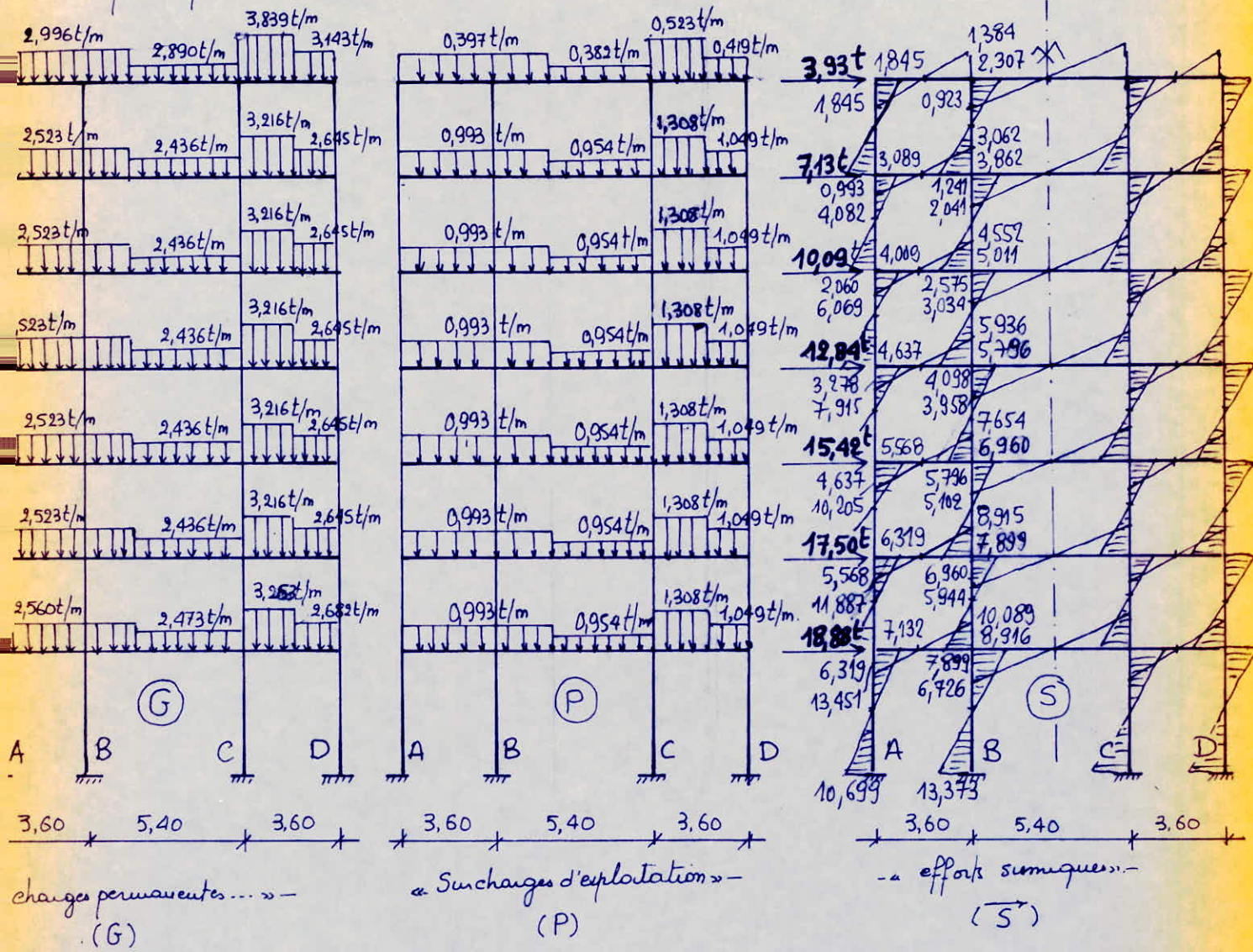
$$\text{pour un noeud } (i) \text{ de la file } (j) \quad \begin{aligned} M_d &= F_i \alpha h \cdot \frac{k_d}{k_d + k_g} & k_d &= \frac{I_d}{E_d} \\ M_g &= F_i \beta h \cdot \frac{k_g}{k_d + k_g} & k_g &= \frac{I_g}{E_g} \end{aligned}$$

Nous avons étudié (04) portique shemahisés ci dessous avec les charges leur revenant G.P (Reactions des poutrelles), \vec{s} force sismique calculée à partir des trois premiers modes de vibration.

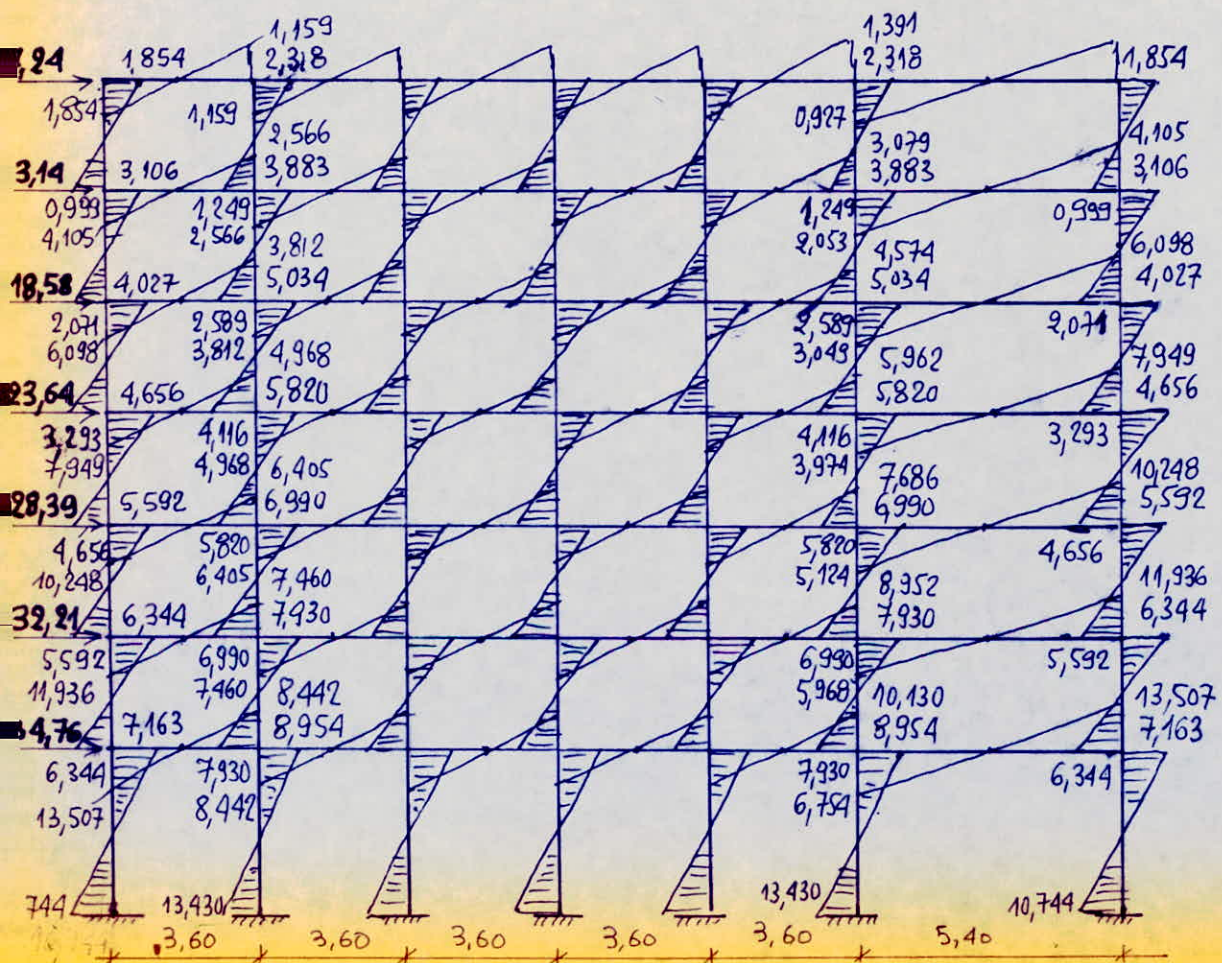
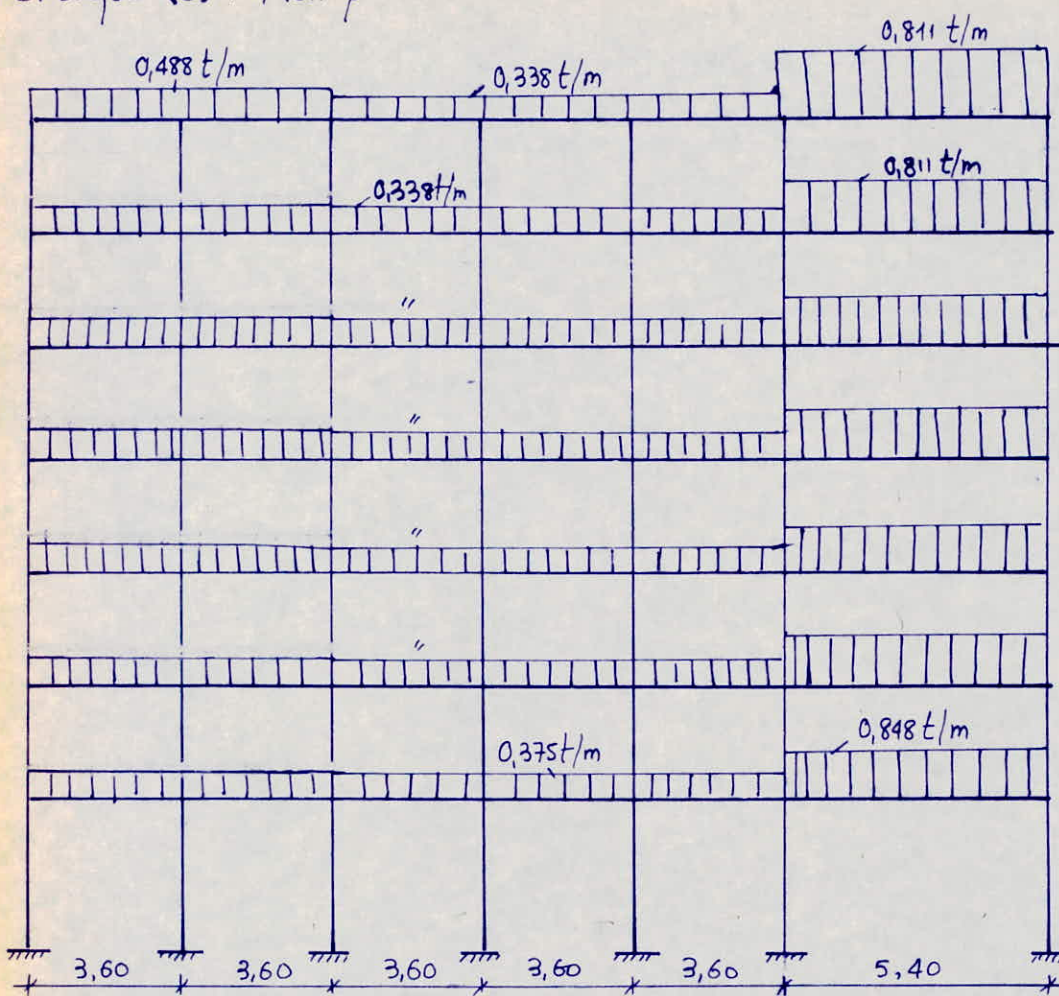
BLOC A : / Portique (D) transversal - porteur
 \ portique (3) longitudinal - non porteur.

BLOC B : / Portique (E) transversal - porteur.
 \ portique (7) longitudinal - non porteur

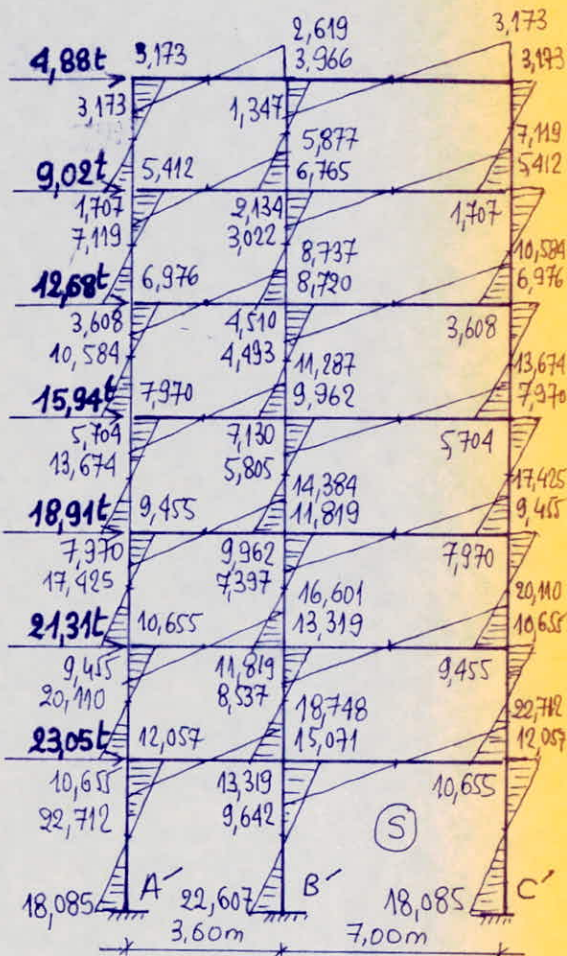
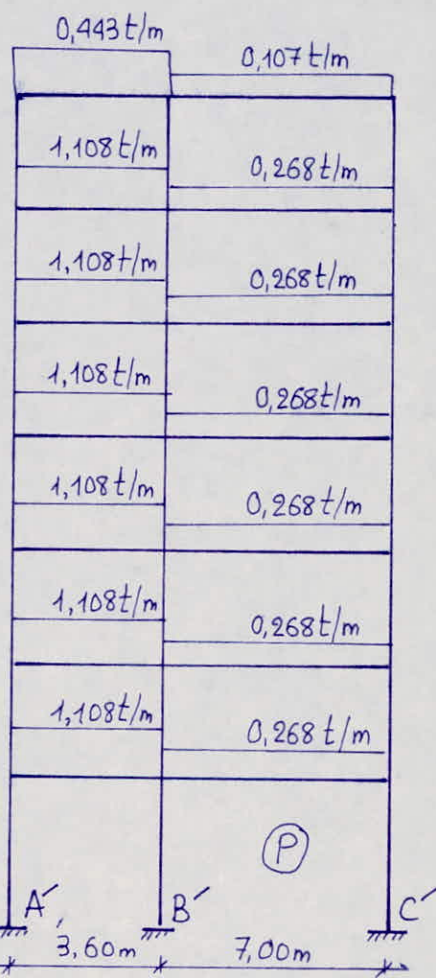
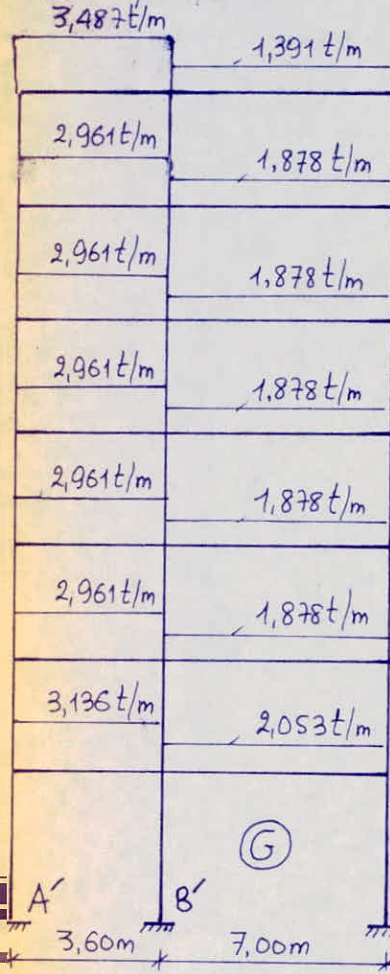
• portique (D) :



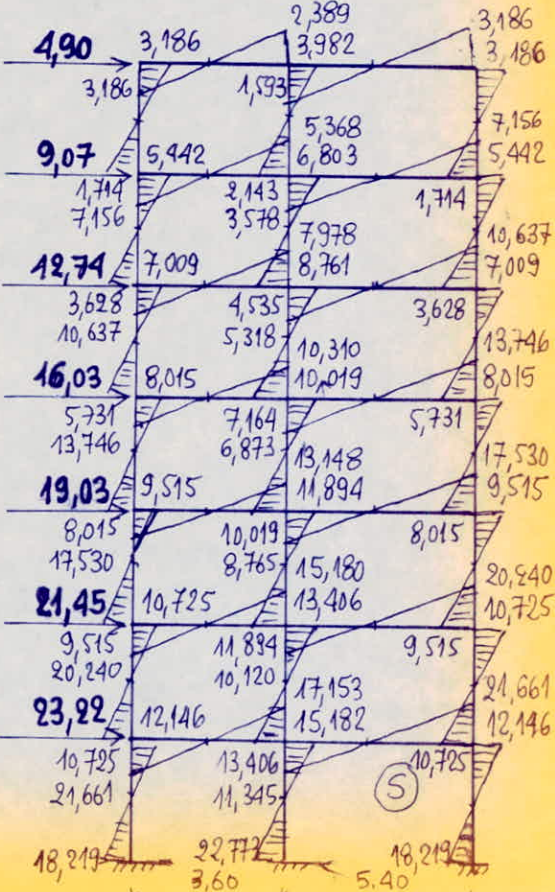
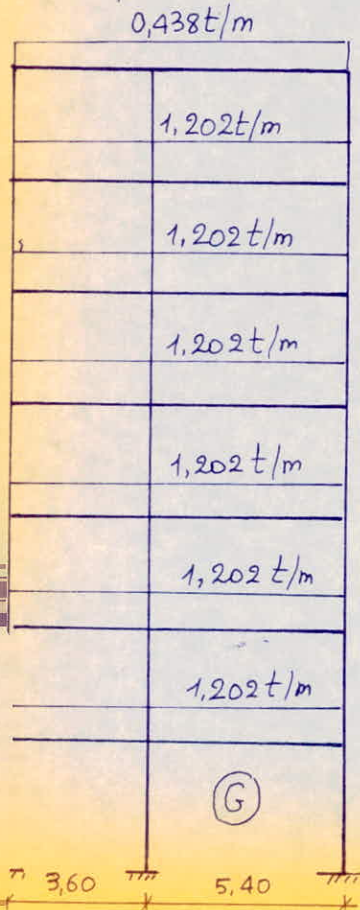
• Portique (3) : Non porteur :



• Portique (E)



• Portique (F): mon porteur.



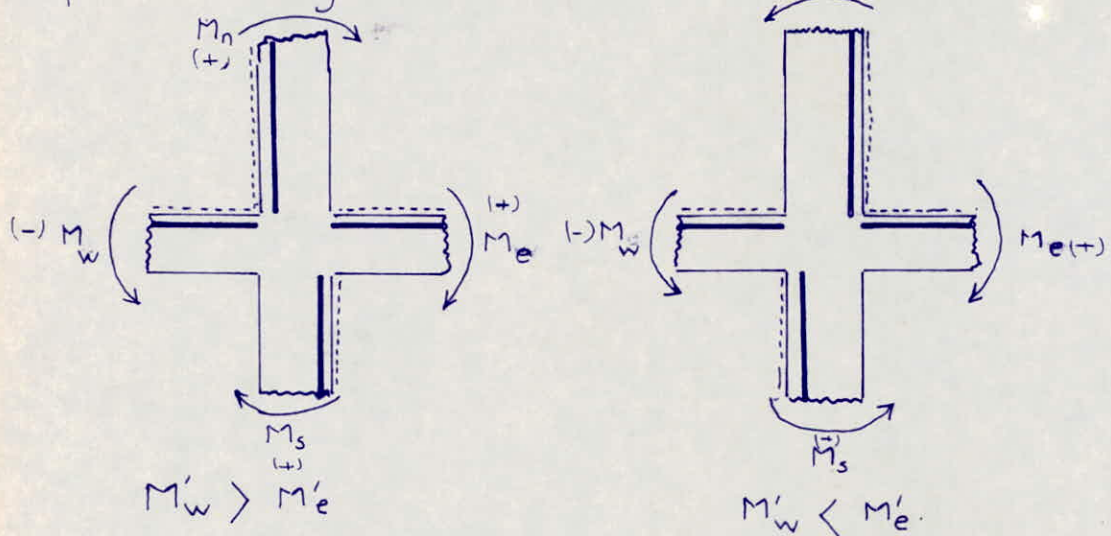
Combinaisons des efforts: (M, N, T)

Les combinaisons des efforts sismiques et des charges verticales auxquels les éléments structuraux doivent être dimensionnés sont spécifiées en l'Art 3.3.2 du RPA81 et sont données pour:

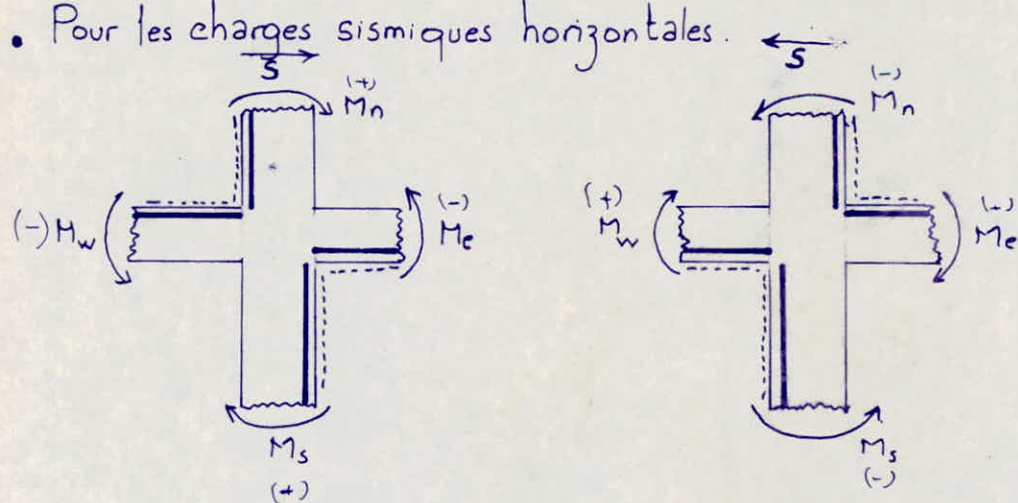
Les poutres: $G + P \pm S ; 0,8G \pm S$ Les poteaux: $G + P \pm 1,2S ; 0,8G \pm S$ avec $\begin{cases} G: \text{charge permanente} \\ P: \text{charge d'exploitation} \\ S: \text{effet des séismes} \end{cases}$

pour les différentes combinaisons nous avons adopté la convention de signe suivante: avec (M_w, M_e, M_n, M_s) Moments fléchissants au nœud

Pour les charges verticales.



Pour les charges sismiques horizontales.



Moments fléchissants dans les poutres (zone nodule) portique-D.

Niv	Noeud	S		G		P		G + 1; 2P		G + P + S		G + P - S		0,8G + S		0,8G - S	
		Mw	Me	Mw	Me	Mw	Me	Mw	Me	Mw	Me	Mw	Me	Mw	Me	Mw	Me
7	1		-1,845		1,111		0,147		1,287		-0,587		3,103		-0,956		2,734
	2	-1,384	-0,923	-4,662	4,998	-0,617	0,661	-5,402	5,791	-6,663	4,736	-3,895	6,582	-5,114	3,075	-2,346	4,921
	3	-0,923	-1,384	-5,207	4,876	-0,694	0,652	-6,040	5,658	-6,824	4,144	-4,978	6,912	-5,089	2,517	-3,243	5,285
	4	-1,845		-1,401		-0,191		-1,630		-3,437		0,253		-2,956		0,724	
6	5		-4,082		1,406		0,553		2,069		-2,123		6,041		-2,957		5,207
	6	-3,062	-2,041	-3,830	4,290	-1,313	1,344	-5,406	5,903	-8,205	3,593	-2,081	7,675	-6,126	1,391	-0,002	5,473
	7	-2,041	-3,062	-4,462	4,009	-1,765	1,597	-6,580	5,925	-8,268	2,544	-4,186	8,668	-5,611	-0,413	-1,529	5,711
	8	-4,082		-1,764		-0,716		-2,623		-6,562		1,602		-5,493		2,671	
5	9		-6,069		1,453		0,571		2,138		-4,045		8,093		-4,907		7,231
	10	-4,552	-3,034	-3,820	4,300	-1,500	1,685	-5,620	6,322	-9,872	2,951	-0,768	9,019	-7,608	0,406	1,496	6,474
	11	-3,034	-4,552	-4,439	3,936	-1,769	1,593	-6,562	5,848	-9,242	0,977	-3,174	10,081	-6,585	-1,403	-0,517	7,701
	12	-6,069		-1,764		-0,734		-2,645		-8,567		3,571		-7,480		4,658	
4	13		-7,915		1,674		0,659		2,465		-5,582		10,248		-6,576		9,254
	14	-5,936	-3,958	-3,659	4,258	-1,437	1,669	-5,383	6,297	-11,032	1,999	0,840	9,915	-8,863	-0,552	3,009	7,364
	15	-3,958	-5,936	-4,429	3,836	-1,750	1,529	-6,529	5,671	-10,137	-0,571	-2,221	11,301	-7,501	-2,867	0,415	9,005
	16	-7,915		-2,089		-0,846		-3,104		-10,850		4,980		-9,586		6,244	
3	17		-10,205		2,019		0,795		2,973		-7,391		13,019		-8,590		11,820
	18	-7,654	-5,102	-3,449	4,261	-1,355	1,670	-5,075	6,265	-12,458	0,829	2,850	11,033	-10,413	-1,693	4,894	8,511
	19	-5,102	-7,654	-4,421	3,622	-1,748	1,450	-6,519	5,362	-11,271	-2,582	-1,067	12,726	-8,639	-4,756	1,565	10,552
	20	-10,205		-2,528		-1,019		-3,751		-13,752		6,658		-12,227		8,183	
2	21		-11,887		2,243		0,883		3,303		-8,761		15,013		-10,093		13,681
	22	-8,915	-5,944	-3,256	4,250	-1,279	1,664	-4,791	6,247	-13,450	-0,030	4,380	11,858	-11,520	-2,544	6,310	9,344
	23	-5,944	-8,915	-4,407	3,428	-1,739	1,374	-6,494	5,077	-12,090	-4,113	-0,202	13,717	-9,470	-6,173	2,418	11,657
	24	-11,887		-2,806		-1,139		-4,173		-15,832		7,942		-14,132		9,642	
1	25		-13,451		2,332		0,905		3,418		-10,214		16,688		-11,585		15,317
	26	-10,089	-6,726	-3,160	4,264	-1,224	1,645	-4,629	6,238	-14,473	-0,817	5,705	12,635	-12,617	-3,315	7,561	10,137
	27	-6,726	-10,089	-4,417	3,330	-1,717	1,318	-6,477	4,912	-12,860	-5,441	0,592	14,737	-10,260	-7,425	3,192	12,753
	28	-13,451		-2,905		-1,165		-4,303		-17,521		9,381		-15,775		11,127	

Tourments fléchissants dans les poteaux. (zone nodale)
portique-D-

Z	Z	S		G		P		G + 1,2P		G + P + 1,2S		G + P - 1,2S		0,8G + S		0,8G - S	
		Mn	Ms	Mn	Ms	Mn	Ms	Mn	Ms	Mn	Ms	Mn	Ms	Mn	Ms	Mn	Ms
7	1		1,845		-1,111		-0,147		-1,287		0,956		-3,472		0,956		-2,733
	2		2,307		-0,336		-0,041		-0,385		2,391		-3,145		2,038		-2,576
	3		2,307		0,331		0,042		0,381		3,141		-2,395		2,572		-2,042
	4		1,845		1,401		0,191		-1,630		3,806		-0,622		2,986		-0,724
6	5	0,993	3,089	-0,661	-0,744	-0,260	-0,293	-0,973	-1,096	0,271	2,670	-2,113	-4,744	0,464	2,494	-1,522	-3,684
	6	1,241	3,862	-0,217	-0,244	-0,015	-0,017	-0,235	-0,264	1,257	4,373	-1,721	-4,895	1,067	3,667	-1,415	-4,057
	7	1,241	3,862	0,213	0,240	0,080	0,089	0,309	0,347	1,782	4,963	-1,196	-4,305	1,411	4,054	-1,071	-3,670
	8	0,993	3,089	0,830	0,934	0,337	0,379	1,232	1,389	2,357	5,020	-0,027	-2,394	1,657	3,836	-0,329	-2,342
5	9	2,060	4,009	-0,746	-0,726	-0,286	-0,286	-1,089	-1,069	1,440	3,799	-3,504	-5,823	1,463	3,428	-2,657	-4,590
	10	2,575	5,011	-0,239	-0,239	-0,093	-0,093	-0,351	-0,351	2,758	5,681	-3,422	-6,345	2,384	4,820	-2,766	-5,202
	11	2,575	5,011	0,251	0,251	0,088	0,088	0,357	0,357	3,429	6,352	-2,751	-5,674	2,776	5,212	-2,374	-4,810
	12	2,060	4,009	0,882	0,882	0,367	0,367	1,322	1,322	3,721	6,060	-1,223	-3,562	2,766	4,715	-1,354	-3,303
4	13	3,278	4,637	-0,587	-1,087	-0,231	-0,428	-0,864	-1,601	3,116	4,049	-4,752	-7,079	2,808	3,767	-3,748	-5,507
	14	4,098	5,796	-0,211	-0,390	-0,081	-0,151	-0,308	-0,571	4,626	6,414	-5,210	-7,496	3,929	5,484	-4,267	-6,108
	15	4,098	5,796	0,208	0,385	0,072	0,143	0,294	0,557	5,198	7,483	-4,638	-6,427	4,264	6,104	-3,932	-5,488
	16	3,278	4,637	0,735	1,363	0,292	0,549	1,085	2,022	4,961	7,476	-2,907	-3,652	3,866	5,727	-2,690	-3,547
3	17	4,637	5,568	-0,746	-1,273	-0,294	-0,501	-1,099	-1,874	4,524	4,908	-6,604	-8,486	4,040	4,550	-5,234	-6,586
	18	5,796	6,960	-0,300	-0,512	-0,116	-0,198	-0,439	-0,750	6,539	7,642	-7,371	-9,062	5,556	6,550	-6,036	-7,370
	19	5,796	6,960	0,296	0,504	0,110	0,188	0,428	0,730	7,361	9,044	-6,549	-7,660	6,033	7,363	-5,559	-6,557
	20	4,637	5,568	0,934	1,594	0,377	0,643	1,386	2,366	6,875	8,919	-4,253	-4,445	5,384	6,843	-3,890	-4,293
2	21	5,568	6,319	-0,862	-1,381	-0,339	-0,543	-1,269	-2,033	5,481	5,659	-7,883	-9,507	4,878	5,214	-6,258	-7,424
	22	6,960	7,899	-0,382	-0,612	-0,148	-0,237	-0,560	-0,896	7,822	8,630	-8,882	-10,328	6,654	7,409	-7,266	-8,389
	23	6,960	7,899	0,376	0,603	0,140	0,224	0,544	0,872	8,868	10,306	-7,836	-8,652	7,261	8,381	-6,659	-7,417
	24	5,568	6,319	1,079	1,727	0,438	0,701	1,605	2,568	8,199	10,011	-5,165	-5,155	6,431	7,701	-4,705	-4,937
1	25	6,319	7,132	-1,088	-1,244	-0,422	-0,483	-1,594	-1,824	6,073	6,831	-9,093	-10,285	5,449	6,137	-7,189	-8,127
	26	7,899	8,916	-0,515	-0,590	-0,196	-0,224	-0,750	-0,859	8,768	9,885	-10,190	-11,513	7,487	8,444	-8,311	-9,388
	27	7,899	8,916	0,507	0,580	0,186	0,212	0,730	0,834	10,172	11,491	-8,786	-9,907	8,305	9,380	-7,493	-8,452
	28	6,319	7,132	1,356	1,549	0,544	0,621	2,009	2,294	9,483	10,728	-5,683	-6,388	7,404	8,371	-5,234	-5,893
	29	10,699		-0,622		-0,272		-0,912		11,975		-13,703		10,201		-11,197	
	30	13,373		-0,295		-0,112		-0,429		15,641		-16,455		13,137		-13,609	
	31	13,373		0,290		0,106		0,417		16,141		-15,652		13,605		-13,141	
	32	10,699		0,775		0,511		1,145		13,016		-11,753		11,319		-11,121	

Moments en travée.
portique-D -

Niv	trav	S	G	P	$G + 1,2P$	$G + P + S$	$G + P - S$	$0,8G + S$	$0,8G - S$
7	1 - 2	0,231	1,968	0,158	2,158	2,357	1,895	1,805	1,343
	2 - 3	0	5,533	0,594	6,246	6,127	6,127	4,426	4,426
	3 - 4	- 0,231	2,427	0,328	2,821	2,524	2,986	1,711	2,173
6	5 - 6	0,511	1,469	0,676	2,280	2,656	1,634	1,686	0,664
	6 - 7	0	4,586	1,960	6,938	6,546	6,546	3,669	3,669
	7 - 8	- 0,511	1,788	0,720	2,652	1,997	3,019	0,919	1,941
5	9 - 10	0,759	1,451	0,573	2,139	2,783	1,265	1,920	0,402
	10 - 11	0	4,593	1,787	6,737	6,380	6,380	3,674	3,674
	11 - 12	- 0,759	1,824	0,713	2,680	1,778	3,296	0,700	2,218
4	13 - 14	0,990	1,421	0,561	2,094	2,972	0,992	2,127	0,147
	14 - 15	0	4,619	1,805	6,785	6,424	6,424	3,695	3,695
	15 - 16	- 0,990	1,712	0,689	2,539	1,411	3,391	0,380	2,360
3	17 - 18	1,276	1,353	0,534	1,994	3,163	0,611	2,358	- 0,194
	18 - 19	0	4,621	1,805	6,787	6,426	6,426	3,697	3,697
	19 - 20	- 1,276	1,599	0,642	2,369	0,965	3,517	0,003	2,555
2	21 - 22	1,486	1,338	0,528	1,972	3,352	0,380	2,556	- 0,416
	22 - 23	0	4,634	1,813	6,810	6,447	6,447	3,707	3,707
	23 - 24	- 1,486	1,557	0,620	2,301	0,691	3,663	- 0,240	2,732
1	25 - 26	1,681	1,401	0,545	2,055	3,627	0,265	2,802	- 0,560
	26 - 27	0	4,757	1,833	6,957	6,590	6,590	3,806	3,806
	27 - 28	- 1,681	1,616	0,635	2,378	0,570	3,932	- 0,388	2,974

Efforts tranchants dans les poutres.
portique-D-

Z Z'	Z' Z''	S		G		P		G + 1,2P		G + P + S		G + P - S		0,8G + S		0,8G - S		
		T _w	T _e															
7	1		0,897			4,406		0,584		5,107		5,887		4,093		4,421		2,628
	2	0,897	0,342	-6,380	7,934	-0,845	0,994	-7,394	9,127	-6,328	9,270	-8,122	8,586	-4,207	6,689	-6,001	6,005	
	3	0,342	0,897	-7,879	7,508	-0,925	1,015	-8,989	8,726	-8,462	9,420	-9,146	7,626	-5,961	6,903	-6,645	5,109	
	4	0,897		-4,955		-0,665		-5,753		-4,723		-6,517		-3,067		-4,861		
6	5		1,985			3,868		1,576		5,759		7,429		3,459		5,079		1,109
	6	1,985	0,756	-5,215	6,684	-1,999	2,560	-7,614	9,756	-5,229	10,000	-9,199	8,488	-2,187	6,103	-6,157	4,591	
	7	0,756	1,985	-6,640	5,903	-2,668	2,462	-9,842	8,857	-8,552	10,350	-10,069	6,380	-9,556	6,707	-6,068	2,737	
	8	1,985		-4,561		-1,742		-6,651		-4,318		-8,288		-1,664		-5,634		
5	9		2,950			3,884		1,529		5,719		8,363		2,463		6,057		0,157
	10	2,950	1,124	-5,199	6,690	-2,046	2,623	-7,654	9,838	-4,295	10,437	-10,195	8,189	-1,209	6,476	-7,109	4,228	
	11	1,124	2,950	-6,634	6,091	-2,605	2,456	-9,760	9,038	-8,115	11,497	-10,363	5,597	-4,183	7,823	-6,431	1,923	
	12	2,950		-4,373		-1,748		-6,471		-3,171		-9,071		-0,548		-6,448		
4	13		3,848			3,990		1,561		5,863		9,399		1,703		7,040		-0,656
	14	3,848	1,466	-5,093	6,685	-2,014	2,623	-7,510	9,833	-3,259	10,774	-10,955	7,842	-0,226	6,814	-7,922	3,882	
	15	1,466	3,848	-6,639	5,973	-2,605	2,407	-9,765	8,861	-7,778	12,228	-10,710	4,532	-3,845	8,626	-6,777	0,930	
	16	3,848		-4,491		-1,797		-6,647		-2,440		-10,136		0,255		-7,441		
3	17		4,961			4,144		1,632		6,102		10,737		0,815		8,276		-1,646
	18	4,961	1,890	-4,939	6,687	-1,943	2,624	-7,271	9,836	-1,921	11,201	-11,843	7,421	1,010	7,240	-8,912	3,460	
	19	1,890	4,961	-6,637	5,791	-2,604	2,337	-9,762	8,595	-7,351	13,089	-11,131	3,167	-3,420	9,594	-7,200	-0,328	
	20	4,961		-4,673		-1,867		-6,913		-1,579		-11,501		1,223		-8,699		
2	21		5,778			4,260		1,677		6,272		11,715		0,159		9,186		-2,370
	22	5,778	2,201	-4,823	6,687	-1,898	2,624	-7,101	9,836	-0,943	11,512	-12,499	7,110	1,920	7,551	-9,636	3,149	
	23	2,201	5,778	-6,637	5,660	-2,604	2,283	-9,762	8,400	-7,040	13,721	-11,442	2,165	-3,109	10,306	-7,511	-1,250	
	24	5,578		-4,804		-1,921		-7,109		-0,947		-12,503		1,935		-9,621		
1	25		6,539			4,378		1,699		6,417		12,616		-0,462		10,041		-3,037
	26	6,539	2,491	-4,838	6,788	-1,876	2,625	-7,089	9,938	-0,175	11,904	-13,253	6,922	2,669	7,921	-10,409	2,939	
	27	2,491	6,539	-6,735	5,672	-2,603	2,260	-9,859	8,384	-6,847	14,471	-11,829	1,393	-2,890	11,077	-7,879	-2,001	
	28	6,539		-4,792		-1,944		-7,125		-0,197		-13,275		2,705		-10,373		

- Effort normal dans les poteaux -
portique - D -

File	niv	S	G	P	G + 1,2P		G + P + 1,2S		G + P - 1,2S		0,8G + S		0,8G - S	
		Nniv	Nniv	Nniv	Nniv	Ncum	Nniv	Ncum	Nniv	Ncum	Nniv	Ncum	Nniv	Ncum
FILE A	7	-0,897	5,608	0,584	6,309	6,309	5,116	5,116	7,268	7,268	3,589	3,589	5,383	5,383
	6	-1,985	5,084	1,576	6,975	13,284	4,278	9,394	9,042	16,310	2,082	5,671	6,052	11,435
	5	-2,950	5,100	1,529	6,935	20,219	3,089	12,483	10,169	26,479	1,130	6,801	7,030	18,465
	4	-3,848	5,206	1,561	7,079	27,298	2,149	14,632	11,385	37,869	0,317	7,118	8,013	26,478
	3	-4,961	5,360	1,632	7,318	34,616	1,039	15,671	12,945	50,809	-0,673	6,445	9,249	35,727
	2	-5,778	5,476	1,677	7,488	42,104	0,219	15,890	14,087	64,896	-1,397	5,048	10,159	45,886
	1	-6,539	5,712	1,699	7,751	49,855	-0,436	15,454	15,258	80,154	-1,969	3,079	11,109	56,995
FILE B	7	-0,555	15,516	1,839	17,723	17,723	16,689	16,689	18,021	18,021	11,858	11,858	12,968	12,968
	6	-1,229	13,115	4,559	18,586	36,309	16,199	32,888	19,149	37,170	9,263	21,121	11,721	24,689
	5	-1,826	13,105	4,669	18,708	55,017	15,583	48,471	19,965	57,135	8,658	29,773	12,310	36,999
	4	-2,382	12,994	4,637	18,558	73,575	14,773	63,244	20,489	77,624	8,013	37,792	12,777	49,776
	3	-3,071	12,842	4,567	18,322	91,897	13,724	76,968	21,094	98,718	7,203	44,995	13,345	63,121
	2	-3,577	12,726	4,522	18,152	110,049	12,956	89,924	21,540	120,258	6,604	51,599	13,758	76,879
	1	-4,048	12,960	4,501	18,361	128,410	12,604	102,528	22,319	142,577	6,320	57,919	14,416	91,295
FILE C	7	0,555	16,589	1,940	18,917	18,917	19,195	19,195	17,863	17,863	13,826	13,826	12,716	12,716
	6	1,229	13,759	5,130	19,915	38,832	20,364	39,559	17,414	35,277	12,236	26,062	9,778	22,494
	5	1,826	13,941	5,061	20,014	58,846	21,193	60,752	16,811	52,088	12,979	39,041	9,327	31,821
	4	2,382	13,828	5,012	19,842	78,688	21,698	82,450	15,982	68,070	13,444	52,485	8,681	40,502
	3	3,071	13,644	4,941	19,573	98,261	22,270	104,720	14,900	82,970	13,986	66,471	7,844	48,346
	2	3,577	13,513	4,887	19,377	117,638	22,692	127,412	14,108	97,078	14,387	80,858	7,233	55,579
	1	4,048	13,741	4,863	19,577	137,215	23,462	150,874	13,746	110,824	15,041	95,899	6,945	62,524
FILE D	7	0,897	6,157	0,665	6,955	6,955	7,898	7,898	5,746	5,746	5,823	5,823	4,029	4,029
	6	1,985	5,777	1,742	7,867	14,822	9,901	17,799	5,137	10,883	6,607	12,430	2,637	6,666
	5	2,950	5,589	1,748	7,687	22,509	10,877	28,676	3,797	14,680	7,421	19,851	1,521	8,187
	4	3,848	5,710	1,797	7,866	30,375	12,125	40,801	2,889	17,569	8,416	28,267	0,720	8,907
	3	4,961	5,889	1,867	8,129	38,504	13,709	54,510	1,803	19,372	9,672	37,939	-0,250	8,657
	2	5,778	6,020	1,921	8,325	46,829	14,875	69,385	1,007	20,379	10,594	48,533	-0,962	7,695
	1	6,539	6,008	1,944	8,341	55,170	15,799	85,184	0,105	20,484	11,345	59,878	-1,733	5,962

Moments fléchissants dans les poutres.
(portique E).

$\sum \frac{M}{L}$	n°	S		G		P		$G + 1,2P$		$G + P + S$		$G + P - S$		$0,8G + S$		$0,8G - S$		
		M_w	M_c	M_w	M_e	M_w	M_e	M_w	M_e	M_w	M_e	M_w	M_e	M_w	M_e	M_w	M_e	
7	1	-3,173		0,918		0,117		1,130		-2,078		4,268		-2,439		3,907		
	2	-2,619	-1,347	-5,385	6,429	-0,554	0,555	-6,650	7,095	-9,158	5,637	-3,920	8,331	-7,407	3,796	-2,169	6,490	
	3	-3,173		-2,569		-0,198		-2,807		-5,940		0,406		-5,228		1,118		
6	4		-7,119		1,239		0,464		1,796		-5,416		8,822		-6,128		8,110	
	5	-5,877	-3,022	-6,730	8,280	-1,386	1,390	-8,393	9,948	-13,993	6,648	-2,239	12,692	-11,261	3,602	0,493	9,646	
	6	-7,119		-4,979		-0,710		-5,831		-12,808		1,430		-11,102		3,136		
5	7		-10,584		1,489		0,557		2,157		-8,538		12,630		-9,393		11,775	
	8	-8,737	-4,493	-6,319	8,289	-1,352	1,365	-7,941	9,927	-16,408	5,161	1,066	14,147	-13,792	2,138	3,682	11,124	
	9	-10,584		-5,738		-0,819		-6,721		-17,141		4,027		-15,174		5,994		
4	10		-13,674		1,854		0,694		2,687		-11,126		16,222		-12,191		15,157	
	11	-11,287	-5,805	-5,740	8,381	-1,316	1,342	-7,319	9,991	-18,343	3,918	4,231	15,528	-15,897	0,900	6,695	12,510	
	12	-13,674		-6,695		-0,956		-7,842		-21,325		6,023		-19,030		8,318		
3	13		-17,425		2,139		0,800		3,099		-14,486		20,364		-15,714		19,136	
	14	-14,384	-7,397	-5,193	8,455	-1,277	1,320	-6,725	10,039	-20,854	2,378	7,914	17,172	-18,538	-0,633	10,230	14,161	
	15	-17,425		-7,352		-1,050		-8,612		-25,824		9,023		-23,307		11,543		
2	16		-20,110		2,338		0,875		3,388		-16,897		23,323		-18,240		21,980	
	17	-16,601	-8,537	-4,706	8,499	-1,237	1,300	-6,190	10,059	-22,544	1,262	10,658	18,336	-20,366	-1,738	12,836	15,336	
	18	-20,110		-7,772		-1,109		-9,103		-28,991		11,229		-26,328		13,892		
1	19		-22,712		2,430		0,859		3,461		-19,423		26,001		-20,768		24,656	
	20	-18,748	-9,642	-4,875	9,121	-1,201	1,277	-6,316	10,653	-24,824	0,756	12,672	20,040	-22,648	-2,345	14,848	16,939	
	21	-22,712		-8,371		-1,092		-9,681		-32,175		13,249		-29,409		16,015		

*- Moments fléchissants dans les poteaux -
(portique E).*

Σ Σ Σ Σ	S	G		P		G + 1,2P		G + P + 1,2S		G + P - 1,2S		0,8G + S		0,8G - S			
		M _n	M _s														
7	1	+3,173		-0,918		-0,117		-1,058		2,773		-4,843		2,439		-3,907	
	2	-3,966		-0,444		-0,001		-0,445		4,314		-5,204		3,611		-4,321	
	3	+3,173		2,569		0,198		2,807		6,575		-1,041		5,228		-1,118	
6	4	1,707	5,412	-0,583	-0,656	-0,218	-0,246	-0,845	-0,951	1,247	5,592	-2,849	-7,396	1,241	4,887	-2,173	-5,939
	5	2,134	6,765	-0,729	-0,820	-0,002	-0,002	-0,731	-0,820	1,830	7,296	-3,292	-8,940	1,551	6,109	-2,717	-7,421
	6	1,707	5,412	2,343	2,636	0,334	0,376	2,744	3,087	4,725	9,506	0,629	-3,482	3,581	7,521	0,167	-3,303
5	7	3,608	6,976	-0,550	-0,938	-0,206	-0,351	-0,797	-1,359	3,574	7,082	-5,086	-9,660	3,168	6,226	-4,048	-7,726
	8	4,510	8,720	-0,729	-1,242	-0,005	-0,008	-0,735	-1,252	4,678	9,214	-6,146	-11,714	3,927	7,726	-5,093	-9,714
	9	3,608	6,976	2,121	3,617	0,303	0,516	2,485	4,236	6,754	12,504	-1,906	-4,238	5,305	9,870	-1,911	-4,082
4	10	5,704	7,970	-0,712	-1,141	-0,267	-0,427	-1,032	-1,653	5,866	7,996	-7,824	-11,132	5,134	7,057	-6,274	-8,883
	11	7,130	9,962	-1,015	-1,626	-0,010	-0,016	-1,027	-1,645	7,531	10,312	-9,581	-13,596	6,318	8,661	-7,942	-11,263
	12	5,704	7,970	2,573	4,122	0,367	0,588	3,013	4,828	9,785	14,274	-3,905	-4,854	7,762	11,265	-3,646	-4,672
3	13	7,970	9,455	-0,847	-1,291	-0,317	-0,483	-1,227	-1,871	8,401	9,572	-10,728	-13,120	7,292	8,422	-8,648	-10,488
	14	9,962	11,819	-1,292	-1,969	-0,017	-0,026	-1,312	-2,000	10,695	12,188	-13,263	-16,178	8,928	10,244	-10,996	-13,394
	15	7,970	9,455	2,913	4,439	0,416	0,633	3,412	5,199	12,893	16,418	-6,235	-6,274	10,300	13,006	-5,640	-5,904
2	16	9,455	10,655	-0,949	-1,389	-0,355	-0,520	-1,375	-2,013	10,042	10,877	-12,650	-14,695	8,696	9,544	-10,214	-11,766
	17	11,819	13,319	-1,539	-2,254	-0,026	-0,037	-1,570	-2,298	12,618	13,692	-15,748	-18,274	10,588	11,516	-13,050	-15,122
	18	9,455	10,655	3,154	4,618	0,450	0,659	3,694	5,409	14,950	18,063	-7,742	-7,509	11,978	14,349	-6,932	-6,961
1	19	10,655	12,057	-1,178	-1,252	-0,416	-0,442	-1,677	-1,782	11,192	12,774	-14,380	-16,162	9,713	11,055	-11,597	-13,059
	20	13,319	15,071	-2,059	-2,187	-0,037	-0,039	-2,103	-2,234	13,887	15,859	-18,079	-20,311	11,672	13,321	-14,966	-16,821
	21	10,655	12,057	4,059	-4,312	0,530	0,563	4,695	4,988	17,375	19,343	-8,197	-9,593	13,902	15,507	-7,408	-8,607
0	22	18,085		0,625		0,221		0,891		22,549		-20,855		18,586		-17,584	
	23	22,607		1,094		0,020		1,118		28,242		-26,014		23,482		-21,732	
	24	18,085		2,156		0,282		2,494		24,140		-19,269		19,810		-16,360	

- Moments en travée - (M_t)
 (portique E).

Niv	trav	S	G	P	$G+1,2P$	$G+P+S$	$G+P-S$	$0,8G+S$	$0,8G-S$
7	1-2	0,277	2,198	0,382	2,656	2,857	2,303	2,035	1,481
	2-3	-0,913	4,024	0,279	4,359	3,390	5,216	2,306	4,132
6	4-5	0,621	0,813	0,870	1,857	2,304	1,062	1,271	0,029
	5-6	-2,049	4,874	0,592	5,584	3,417	7,515	1,850	5,948
5	7-8	0,924	0,893	0,841	1,902	2,658	0,810	1,638	-0,210
	8-9	-3,046	4,490	0,550	5,150	1,994	8,086	0,546	6,638
4	10-11	1,194	1,000	0,790	1,948	2,984	0,596	1,994	-0,394
	11-12	-3,935	-3,965	0,493	4,557	0,523	8,393	-0,763	7,107
3	13-14	1,521	1,131	0,757	2,039	3,409	0,367	2,426	-0,616
	14-15	-5,014	3,600	0,457	4,148	-0,957	9,071	-2,134	7,894
2	16-17	1,755	1,275	0,739	2,162	3,769	0,259	2,775	-0,735
	17-18	-5,787	3,368	0,438	3,894	-1,981	9,593	3,124	8,481
1	19-20	1,982	1,428	0,765	2,346	4,175	0,211	3,124	-0,840
	20-21	-6,535	3,829	0,458	4,379	-2,248	10,822	-3,472	9,598

Efforts tranchants dans les poutres
(portique E)

Niveau	Norme	S		G		P		G + 1,2P		G + P + S		G + P - S		0,8G + S		0,8G - S	
		T _w	T _e														
7	1		1,608		4,869		0,676		5,680		7,153		3,937		5,503		2,287
	2	1,608	0,646	-7,684	5,419	-0,919	0,426	-8,787	5,930	-6,995	6,491	-10,211	5,199	-9,539	4,981	-7,755	3,689
	3	0,646		-4,318		-0,323		-4,706		-3,995		-5,287		-2,808		-4,100	
6	4		3,610		3,805		1,738		5,891		9,153		1,933		6,654		-0,566
	5	3,610	1,449	-6,855	7,045	-2,251	1,035	-9,556	8,287	-5,496	9,529	-12,716	6,631	-1,874	7,085	-9,094	4,187
	6	1,449		-6,101		-0,841		-7,110		-5,493		-8,391		-3,432		-6,330	
5	7		5,367		3,988		1,714		6,045		11,069		0,335		8,557		-2,177
	8	5,367	2,154	-6,672	6,937	-2,215	1,016	-9,330	8,156	-3,520	10,107	-14,254	5,799	0,030	7,704	-10,705	3,396
	9	2,154		-6,209		-0,860		-7,241		-4,915		-9,223		-2,813		-7,121	
4	10		6,934		4,250		1,822		6,436		13,006		-0,892		10,334		-3,534
	11	6,934	2,783	-6,410	6,814	-2,167	0,993	-9,010	8,006	-1,643	10,590	-15,511	5,024	1,806	8,234	-12,062	2,668
	12	2,783		-6,332		-0,883		-7,392		-4,432		-9,998		-2,283		-7,849	
3	13		8,836		4,481		1,862		6,715		15,179		-2,493		12,421		-5,251
	14	8,836	3,546	-6,179	6,731	-2,127	0,976	-8,731	7,902	0,530	11,253	-17,142	4,161	3,893	8,931	-13,779	1,839
	15	3,546		-6,415		-0,900		-7,495		-3,769		-10,861		-1,586		-8,678	
2	16		10,198		4,672		1,894		6,945		16,764		-3,632		13,936		-6,460
	17	10,198	4,092	-5,988	6,677	-2,095	0,965	-8,502	7,835	2,115	11,734	-18,281	3,550	5,408	9,434	-14,988	1,250
	18	4,092		-6,469		-0,911		-7,562		-3,288		-11,472		-1,083		-9,267	
1	19		11,517		4,966		1,899		7,245		18,382		-4,652		15,490		-7,544
	20	11,517	4,622	-6,324	7,293	-2,090	0,964	-8,832	8,450	3,103	12,879	-19,931	3,635	6,458	10,456	-16,576	1,212
	21	4,622		-7,071		-0,912		-8,164		-3,360		-12,604		-1,034		-10,278	

" portique-E"

file	niv	S	G	P	G + 1,2P	G + P + 1,2S	G + P - 1,2S	0,8G + S	0,8G - S
		Nniv	Nniv	Nniv	Nniv Ncum	Nniv Ncum	Nniv Ncum	Nniv Ncum	Nniv Ncum
FILE "A"	⑦	-1,608	5,456	0,676	6,267 6,267	4,202 4,202	8,062 8,062	2,757 2,757	5,973 5,973
	⑥	-3,610	5,524	1,738	7,610 13,877	2,930 7,132	11,594 19,656	0,809 3,566	8,029 14,002
	⑤	-5,367	5,777	1,714	7,834 21,711	1,051 8,183	13,931 33,587	-0,745 2,821	9,989 23,991
	④	-6,934	6,132	1,822	8,318 30,029	-0,367 7,816	16,275 49,862	-2,028 0,793	11,840 35,831
	③	-8,836	6,435	1,862	8,669 38,698	-2,306 5,510	18,900 68,762	-3,688 -2,895	13,984 49,815
	②	-10,198	6,681	1,894	8,954 47,652	-3,663 1,847	20,813 89,575	-4,853 -7,748	15,543 65,358
	①	-11,517	7,175	1,899	9,454 57,106	-4,746 -2,899	22,894 112,469	-5,777 -13,525	17,257 82,615
FILE "B"	⑦	-0,962	13,690	1,345	15,304 15,304	13,881 13,881	16,189 16,189	9,990 9,990	11,914 11,914
	⑥	-2,161	15,619	3,286	19,562 34,866	16,312 30,193	21,498 37,687	10,334 20,324	14,656 26,570
	⑤	-3,213	15,398	3,231	19,275 54,141	14,773 44,966	22,485 60,172	9,105 29,429	15,531 42,101
	④	-4,151	15,106	3,160	18,898 73,039	13,285 58,251	23,247 83,419	7,934 37,363	16,236 58,337
	③	-5,290	14,864	3,103	18,588 91,627	11,619 69,870	24,315 107,731	6,601 43,964	17,181 75,518
	②	-6,106	14,674	3,060	18,346 109,973	10,407 80,277	25,061 132,795	5,633 49,597	17,845 93,363
	①	-6,895	15,826	3,054	19,491 129,464	10,606 90,883	27,154 159,949	5,766 55,363	19,556 112,919
FILE "C"	⑦	0,646	4,905	0,323	5,293 5,293	6,003 6,003	4,453 4,453	4,570 4,570	3,278 3,278
	⑥	1,449	7,820	0,841	8,829 14,122	10,400 16,403	6,922 11,375	7,705 12,275	4,807 8,085
	⑤	2,154	7,998	0,860	9,030 23,152	11,443 27,846	6,273 17,648	8,552 20,827	4,244 12,329
	④	2,784	8,214	0,883	9,274 32,426	12,438 40,284	5,756 23,404	9,355 30,182	3,787 16,116
	③	3,546	8,369	0,900	9,449 41,875	13,524 53,808	5,014 28,418	10,241 40,423	3,149 19,265
	②	4,092	8,478	0,911	9,571 51,446	14,299 68,107	4,479 32,897	10,874 51,297	2,690 21,955
	①	4,622	9,279	0,912	10,373 61,819	15,737 83,844	4,644 37,541	12,045 63,342	2,801 24,756

Moment fléchissants - poutres - (zone nodale)
portique - 3 -

N°	S	G		G + S		G - S		0,8 G + S		0,8 G - S	
		Mw	Me	Mw	Me	Mw	Me	Mw	Me	Mw	Me
7	1	-1,854		0,181		-1,673		2,035		-1,709	
	2	-1,159	-1,159	-0,544	0,510	-1,703	-0,649	0,695	1,669	-1,594	-0,751
	3	-1,159	-1,159	-0,347	0,330	-1,506	-0,829	0,812	1,489	-1,437	-0,895
	4	-1,159	-1,159	-0,277	0,277	-1,436	-0,988	0,882	1,436	-1,381	-0,937
	5	-1,159	-1,159	-0,277	0,277	-1,436	-0,882	0,882	1,436	-1,381	-0,937
	6	-1,391	-0,927	-1,473	1,525	-2,864	0,538	-0,082	2,452	-2,569	0,293
	7	-1,854		-0,960		-2,814		0,894		-2,622	
6	8	-4,105		0,188		-3,917		4,293		-3,855	
	9	-2,566	-2,566	-0,381	0,342	-2,947	-2,224	2,185	2,908	-2,871	-2,292
	10	-2,566	-2,566	-0,277	0,277	-2,843	-2,289	2,289	2,843	-2,788	-2,344
	11	-2,566	-2,566	-0,277	0,277	-2,843	-2,283	2,289	2,843	-2,788	-2,344
	12	-2,566	-2,566	-0,277	0,277	-2,843	-2,283	2,289	2,843	-2,788	-2,344
	13	-3,079	-2,053	-1,311	1,947	-4,390	-0,106	1,768	4,000	-4,128	-0,495
	14	-4,105		-1,348		-5,453		2,737		-5,183	
5	15	-6,098		0,195		-5,903		6,293		-5,942	
	16	-3,812	-3,812	-0,382	0,341	-4,194	-3,471	3,430	4,153	-4,118	-3,539
	17	-3,812	-3,812	-0,277	0,277	-4,089	-3,535	3,535	4,089	-4,034	-3,590
	18	-3,812	-3,812	-0,277	0,277	-4,089	-3,535	3,535	4,089	-4,034	-3,590
	19	-3,812	-3,812	-0,277	0,277	-4,089	-3,535	3,535	4,089	-4,034	-3,590
	20	-4,574	-3,049	-1,293	1,956	-5,867	-1,093	3,281	5,005	-5,608	-1,484
	21	-6,098		-1,324		-7,482		4,714		-7,205	
4	22	-7,949		0,307		-7,642		8,256		-7,703	
	23	-4,968	-4,968	-0,376	0,325	-5,344	-4,643	4,532	5,293	-5,269	-4,708
	24	-4,968	-4,968	-0,269	0,269	-5,237	-4,699	4,699	5,237	-5,183	-4,753
	25	-4,968	-4,968	-0,269	0,269	-5,237	-4,699	4,699	5,237	-5,183	-4,753
	26	-4,968	-4,968	-0,269	0,269	-5,237	-4,699	4,699	5,237	-5,183	-4,753
	27	-5,962	-3,974	-1,159	1,975	-7,121	-1,999	4,803	5,949	-6,883	-2,394
	28	-7,949		-1,558		-9,507		6,391		-9,195	
3	29	-10,248		0,270		-9,978		10,518		-10,032	
	30	-6,405	-6,405	-0,372	0,304	-6,777	-6,101	6,033	6,709	-6,703	-6,162
	31	-6,405	-6,405	-0,261	0,261	-6,666	-6,144	6,144	6,666	-6,614	-6,196
	32	-6,405	-6,405	-0,261	0,261	-6,666	-6,144	6,144	6,666	-6,614	-6,196
	33	-6,405	-6,405	-0,261	0,261	-6,666	-6,144	6,144	6,666	-6,614	-6,196
	34	-7,686	-5,124	-0,947	2,033	-8,633	-3,001	6,739	7,157	-8,444	-3,498
	35	-10,248		-1,803		-12,051		8,145		-11,690	
2	36	-11,936		0,301		-11,635		12,237		-11,695	
	37	-7,460	-7,460	-9,369	0,286	-7,829	-7,174	7,091	7,746	-7,755	-7,231
	38	-7,460	-7,460	-0,253	0,253	-7,713	-7,207	7,207	7,713	-7,662	-7,258
	39	-7,460	-7,460	-0,253	0,253	-7,713	-7,207	7,207	7,713	-7,662	-7,258
	40	-7,460	-7,460	-0,253	0,253	-7,713	-7,207	7,207	7,713	-7,662	-7,258
	41	-8,952	-5,968	-0,766	2,077	-9,718	-3,891	8,186	8,045	-9,565	-4,306
	42	-11,936		-1,950		-13,886		9,986		-13,496	
1	43	-13,567		0,342		-13,165		13,849		-13,233	
	44	-8,442	-8,442	-0,402	0,309	-8,844	-8,133	8,040	8,751	-8,764	-8,195
	45	-8,442	-8,442	-0,271	0,271	-8,713	-8,171	8,171	8,713	-8,659	-8,225
	46	-8,442	-8,442	-0,271	0,271	-8,713	-8,171	8,171	8,713	-8,659	-8,225
	47	-8,442	-8,442	-0,271	0,271	-8,713	-8,171	8,171	8,713	-8,659	-8,225
	48	-10,130	-6,754	-0,839	2,188	-10,969	-4,566	9,299	3,942	-10,795	-5,004
	49	-13,567		-2,078		-15,585		11,429		-15,169	

Moments flectissants - poteaux - (zone nodale)
portique 3-

Z	N	S		G		G + 1,2 S		G - 1,2 S		0,8 G + S		0,8 G - S	
		Mn	Ms	Mn	Ms	Mn	Ms	Mn	Ms	Mn	Ms	Mn	Ms
7	1		1,854		-0,181		2,044		-2,406		1,709		-1,999
	2		2,318		0,035		2,817		-2,747		2,346		-2,290
	3		2,318		0,017		2,789		-2,765		2,332		-2,304
	4		2,318		0		2,782		-2,782		2,318		-2,318
	5		2,318		0		2,782		-2,782		2,318		-2,318
	6		2,318		-0,390		2,392		-3,172		2,006		-2,630
	7		1,854		0,960		3,185		-1,265		2,622		-1,086
6	8	0,939	3,106	-0,089	-9,099	1,110	3,628	-1,288	-3,826	0,928	3,027	-1,070	-3,185
	9	1,249	3,883	0,019	0,021	1,518	4,681	-1,480	-4,639	1,264	3,900	-1,234	-3,866
	10	1,249	3,883	0	0	1,499	4,660	-1,499	-4,660	1,249	3,883	-1,249	-3,883
	11	1,249	3,883	0	0	1,499	4,660	-1,499	-4,660	1,249	3,883	-1,249	-3,883
	12	1,249	3,883	0	0	1,499	4,660	-1,499	-4,660	1,249	3,883	-1,249	-3,883
	13	1,249	3,883	-0,209	-0,337	1,200	4,1323	-1,798	-4,997	1,010	3,613	-1,488	-4,153
	14	0,999	3,106	0,634	0,714	1,833	4,141	-0,565	-3,013	1,506	3,677	-0,492	-2,535
5	15	2,071	4,027	-0,097	-0,097	2,388	4,1735	-2,582	-4,929	1,993	3,949	-2,149	-4,105
	16	2,589	5,034	0,021	0,021	3,128	6,062	-3,086	-6,020	2,606	5,051	-2,572	-5,017
	17	2,589	5,034	0	0	3,107	6,041	-3,107	-6,041	2,589	5,034	-2,589	-5,034
	18	2,589	5,034	0	0	3,107	6,041	-3,107	-6,041	2,589	5,034	-2,589	-5,034
	19	2,589	5,034	0	0	3,107	6,041	-3,107	-6,041	2,589	5,034	-2,589	-5,034
	20	2,589	5,034	-0,331	-0,331	2,776	5,710	-3,438	-6,372	2,324	4,769	-2,854	-5,299
	21	2,071	4,027	0,692	0,692	3,177	5,524	-1,793	-4,140	2,625	4,581	-1,517	-3,473
4	22	3,293	4,656	-0,108	-0,199	3,844	5,388	-4,060	-5,786	3,207	4,497	-3,379	-4,815
	23	4,116	5,820	0,018	0,033	4,957	7,017	-4,921	-6,951	4,130	5,846	-4,102	-5,794
	24	4,116	5,820	0	0	4,939	6,984	-4,939	-6,984	4,116	5,820	-4,116	-5,820
	25	4,116	5,820	0	0	4,939	6,984	-4,939	-6,984	4,116	5,820	-4,116	-5,820
	26	4,116	5,820	0	0	4,939	6,984	-4,939	-6,984	4,116	5,820	-4,116	-5,820
	27	4,116	5,820	-0,286	-0,530	4,653	6,454	-5,225	-7,514	3,887	5,396	-4,345	-5,244
	28	3,293	4,656	0,546	1,011	4,498	6,598	-3,406	-4,576	3,730	5,465	-2,856	-3,847
3	29	4,656	5,592	-0,100	-0,170	5,487	6,540	-5,687	-6,880	4,576	5,456	-4,736	-5,728
	30	5,820	6,990	0,025	0,043	7,009	8,431	-6,959	-8,345	5,840	7,024	-5,800	-6,956
	31	5,820	6,990	0	0	6,984	8,388	-6,984	-8,388	5,820	6,990	-5,820	-6,990
	32	5,820	6,990	0	0	6,984	8,388	-6,984	-8,388	5,820	6,990	-5,820	-6,990
	33	5,820	6,990	0	0	6,984	8,388	-6,984	-8,388	5,820	6,990	-5,820	-6,990
	34	5,820	6,990	-0,402	-0,685	6,582	7,703	-7,386	-9,073	5,498	6,442	-6,142	-7,538
	35	4,656	5,592	0,666	1,136	6,253	7,846	-4,921	-5,574	5,189	6,501	-4,123	-4,683
2	36	5,592	6,344	-0,116	-0,185	6,584	7,428	-6,826	-7,798	5,499	6,196	-5,695	-6,492
	37	6,990	7,930	0,032	0,051	8,420	9,567	-8,356	-9,465	7,016	7,971	-6,964	-7,889
	38	6,990	7,930	0	0	8,388	9,516	-8,388	-9,516	6,990	7,930	-6,990	-7,930
	39	6,990	7,930	0	0	8,388	9,516	-8,388	-9,516	6,990	7,930	-6,990	-7,930
	40	6,990	7,930	0	0	8,388	9,516	-8,388	-9,516	6,990	7,930	-6,990	-7,930
	41	6,990	7,930	-0,504	-0,807	7,884	7,709	-8,892	-10,323	6,587	7,284	-7,303	-8,576
	42	5,592	6,344	0,749	1,201	7,459	8,814	-5,961	-6,492	6,109	7,305	-4,993	-5,383
1	43	6,344	7,163	-0,159	-0,182	7,454	8,414	-7,772	-8,778	6,217	7,017	-6,471	-7,309
	44	7,930	8,954	0,043	0,049	9,559	10,794	-9,473	-10,696	7,964	8,993	-7,896	-8,915
	45	7,930	8,954	0	0	9,516	10,745	-9,516	-10,745	7,930	8,954	-7,930	-8,954
	46	7,930	8,954	0	0	9,516	10,745	-9,516	-10,745	7,930	8,954	-7,930	-8,954
	47	7,930	8,954	0	0	9,516	10,745	-9,516	-10,745	7,930	8,954	-7,930	-8,954
	48	7,930	8,954	-0,633	-0,724	9,883	10,021	-10,149	-11,469	7,424	8,375	-8,436	-9,533
	49	6,344	7,163	0,970	1,108	8,593	9,704	-6,643	-7,488	7,120	8,049	-5,568	-6,277

Efforts tranchants - poutres -
portique - 3

N°	S	G		G + S		G - S		0,8 G + S		0,8 G - S	
		Tw	Te	Tw	Te	Tw	Te	Tw	Te	Tw	Te
7	1	0,837		0,778		1,615		-0,059		1,594	
	2	0,837	0,644	-0,979	0,924	-0,142	1,568	-1,816	0,280	0,054	1,383
	3	0,644	0,644	-0,933	0,623	-0,189	1,267	-1,477	-0,021	-0,022	1,142
	4	0,644	0,644	-0,594	0,608	0,050	1,252	-1,238	-0,036	0,169	1,130
	5	0,644	0,708	-0,608	0,276	0,036	0,984	-1,252	-0,432	0,158	0,929
	6	0,708	0,515	-0,941	2,294	-0,933	2,809	-1,649	1,779	-0,045	2,350
	7	0,515		-2,085		-1,570		-2,600		-1,153	
6	8	1,853		0,555		2,408		-1,298		2,297	
	9	1,853	1,426	-0,622	0,626	1,191	2,052	-2,515	-0,800	1,323	1,927
	10	1,426	1,426	-0,590	0,608	0,836	2,034	-2,016	-0,818	0,954	1,912
	11	1,426	1,426	-0,608	0,608	0,818	2,034	-2,034	-0,818	0,940	1,912
	12	1,426	1,568	-0,608	0,321	0,818	1,889	-2,034	-1,247	0,840	1,825
	13	1,568	1,140	-0,896	2,300	0,672	3,440	-2,464	1,160	0,851	2,980
	14	1,140		-2,079		-0,939		-3,219		-0,523	
5	15	2,753		0,556		3,309		-2,197		3,198	
	16	2,753	2,118	-0,660	0,626	2,093	2,744	-3,413	-1,492	2,225	2,619
	17	2,118	2,118	-0,591	0,608	1,527	2,726	-2,709	-1,510	1,645	2,604
	18	2,118	2,118	-0,608	0,608	1,510	2,726	-2,726	-1,510	1,632	2,604
	19	2,118	2,329	-0,608	0,326	1,510	2,655	-2,726	-2,003	1,632	2,590
	20	2,329	1,694	-0,891	2,296	1,438	3,990	-3,820	0,602	1,616	3,531
	21	1,694		-2,083		-0,389		-3,777		0,028	
4	22	3,588		0,589		4,177		-2,999		4,059	
	23	3,588	2,760	-0,627	0,624	2,961	3,384	-4,215	-2,136	3,086	3,259
	24	2,760	2,760	-0,593	0,608	2,167	3,368	-3,353	-2,152	2,286	3,246
	25	2,760	2,760	-0,608	0,608	2,152	3,368	-3,368	-2,152	2,274	3,246
	26	2,760	3,036	-0,608	0,361	2,152	3,397	-3,368	-2,675	2,874	3,325
	27	3,036	2,208	-0,856	2,267	2,180	4,475	-3,892	0,059	2,351	4,022
	28	2,208		2,112		4,320		-0,096		3,898	
3	29	4,626		0,580		5,206		-4,046		5,090	
	30	4,626	3,558	-0,636	0,680	3,990	4,238	-5,262	-2,878	4,117	4,102
	31	3,558	3,558	-0,596	0,608	2,962	4,166	-4,154	-2,950	3,081	4,044
	32	3,558	3,558	-0,608	0,608	2,950	4,166	-4,166	-2,950	3,072	4,044
	33	3,558	3,914	-0,608	0,418	2,950	4,332	-4,166	-3,496	3,072	4,248
	34	3,914	2,847	-0,799	2,232	3,115	5,079	-4,713	-0,615	3,275	4,633
	35	2,847		-2,147		0,700		-4,994		1,129	
2	36	5,388		0,589		5,977		-4,789		5,859	
	37	5,388	4,144	-0,627	0,618	4,761	4,762	-6,015	-3,526	4,886	4,638
	38	4,144	4,144	-0,593	0,608	3,545	4,752	-4,743	-3,536	3,665	4,630
	39	4,144	4,144	-0,608	0,608	3,536	4,752	-4,752	-3,536	3,658	4,630
	40	4,144	4,559	-0,608	0,466	3,536	5,025	-4,752	-4,093	3,658	4,932
	41	4,559	3,316	-0,751	2,213	3,868	5,529	-5,310	-1,103	3,958	5,086
	42	3,316		-2,166		1,150		-5,482		1,583	
1	43	6,097		0,724		6,821		-5,373		6,676	
	44	6,097	4,690	-0,692	0,686	5,405	5,376	-6,789	-4,004	5,543	5,239
	45	4,690	4,690	-0,664	0,608	4,026	5,298	-5,354	-4,082	4,159	5,176
	46	4,690	4,690	-0,675	0,675	4,015	5,365	-5,365	-4,015	4,150	5,230
	47	4,690	5,159	-0,675	0,519	4,015	5,678	-5,365	-4,640	4,150	5,574
	48	5,159	3,752	-0,831	2,110	4,328	5,862	-5,990	-1,642	4,494	5,440
	49	3,752		2,269		6,021		-1,483		5,567	

Momenis flectissans - puulit - julk. muuli
portique - 7-

Niv	Σ Σ Σ	S		G		G + S		G - S		0,8 G + S		0,8 G - S	
		M _w	M _e										
7	1	-3,186		0,173		-3,013		3,359		-3,048		3,324	
	2	-2,389	-1,593	-0,899	1,064	-3,288	-0,529	1,490	2,657	-3,108	-0,742	1,670	2,444
	3	-3,186		-0,522		-3,708		2,664		-3,604		2,768	
6	4	-7,156		0,698		-6,458		7,854		-6,598		7,714	
	5	-5,368	-3,578	-2,299	3,006	-7,667	-0,572	3,069	6,584	-7,207	-1,173	3,529	5,983
	6	-7,156		-2,028		-9,184		5,128		-8,778		5,534	
5	7	-10,637		0,801		-9,836		11,438		-9,996		11,278	
	8	-7,978	-5,318	-2,147	3,013	-10,125	-2,305	5,831	8,331	-9,696	-2,908	6,260	7,728
	9	-10,637		-2,276		-12,913		8,361		-12,458		8,816	
4	10	-13,746		0,935		-12,811		14,681		-12,998		14,494	
	11	-10,310	-6,873	-1,956	3,043	-12,260	-3,830	8,360	9,916	-11,870	-4,439	8,750	9,307
	12	-13,746		-2,569		-16,315		11,177		-15,801		11,691	
3	13	-17,530		1,024		-16,506		18,554		-16,711		18,349	
	14	-13,148	-8,765	-1,778	3,058	-14,926	-5,707	11,370	11,823	-14,570	-6,319	11,726	11,211
	15	-17,530		-2,751		-20,281		14,779		-19,731		15,329	
2	16	-20,240		1,075		-19,165		21,315		-19,380		21,900	
	17	-15,180	-10,120	-1,633	3,056	-16,813	-7,064	13,547	13,176	-16,486	-7,675	13,874	12,565
	18	-29,240		-2,853		-23,093		17,387		-22,522		17,958	
1	19	-21,661		1,057		-20,604		22,718		-20,815		22,507	
	20	-17,153	-11,435	-1,943	3,306	-18,096	-8,129	15,210	14,741	-18,707	-8,790	15,599	14,080
	21	-21,661		-2,941		-24,602		18,720		-24,014		19,308	

Moments fléchissants - poteaux (zone nodale)
portique - 7.

N °	N °	S		G		G + 1,2S		G - 1,2S		0,8G + S		0,8G - S	
		M _n	M _s										
7	1		3,186		-0,173		3,650		-3,996		3,048		-3,324
	2		3,922		-0,165		4,613		-4,943		3,850		-4,114
	3		3,186		0,522		4,345		-3,301		3,604		-2,768
6	4	1,714	-5,442	-0,329	-0,370	1,728	6,160	-2,386	-6,900	1,451	5,146	-1,977	-5,738
	5	2,143	-6,803	-0,333	-0,374	2,239	7,790	-2,905	-8,538	1,877	6,504	-2,409	-7,102
	6	1,714	5,442	0,954	1,074	3,011	7,604	-1,103	-5,456	2,477	6,301	-0,951	-4,583
5	7	3,628	7,009	-0,296	-0,505	4,058	7,906	-4,650	-8,916	3,391	6,605	-3,865	-7,413
	8	4,535	8,761	-0,320	-0,546	5,122	8,967	-5,762	-11,059	4,879	8,324	-4,791	-9,198
	9	3,628	7,009	0,841	1,434	5,195	9,845	-3,513	-6,977	4,301	8,156	-2,955	-5,862
4	10	5,731	8,015	-0,353	-0,576	6,518	8,042	-7,236	-10,194	5,444	7,554	-6,018	-8,476
	11	7,164	10,019	-0,420	-0,673	8,177	11,350	-9,017	-12,696	6,828	9,481	-7,500	-10,557
	12	-5,731	8,015	0,987	1,581	7,864	11,199	-5,890	-8,037	6,521	9,280	-4,941	-6,750
3	13	8,015	9,515	-0,406	-0,618	9,212	10,800	-10,024	-12,036	7,690	9,021	-8,340	-10,009
	14	-10,069	11,894	-0,507	-0,773	11,516	13,500	-12,530	-15,046	9,613	11,276	-10,425	-12,512
	15	8,015	9,515	10,90	1,661	10,708	13,079	-8,528	-9,757	8,887	10,844	-7,143	-8,186
2	16	9,515	10,725	-0,436	-0,639	10,982	12,231	-11,854	-13,509	9,166	10,214	-9,864	-11,236
	17	11,894	13,406	-0,577	-0,845	13,696	15,242	-14,850	-16,932	11,432	12,730	-12,356	-14,082
	18	9,515	10,725	1,157	1,695	12,575	14,565	-10,261	-11,175	10,441	12,081	-8,589	-9,369
1	19	10,725	12,146	-0,513	-0,544	12,357	14,031	-13,323	-15,119	10,315	11,711	-11,135	-12,589
	20	13,406	15,182	-0,661	-0,702	15,426	17,516	-16,748	-18,920	12,877	14,620	-13,935	15,744
	21	10,725	12,146	1,426	1,515	14,296	16,090	-11,444	-13,060	11,866	13,358	-9,584	-10,934

Efforts tranchants - poutres -
portique -7-

N° ord	N° de la poutre	S		G		G + S		G - S		0,8 G + S		0,8 G - S	
		T _w	T _e										
7	1	3,850		0,587		4,437		-3,263		4,1320		-3,380	
	2	3,850	0,885	-0,990	1,283	2,860	2,168	-4,840	0,398	3,058	1,911	-4,642	0,141
	3	0,885		-1,082		-0,197		-1,967		0,019		-1,751	
6	4	3,480		1,719		5,199		-1,761		4,855		-2,105	
	5	3,480	1,988	-2,608	3,427	0,872	5,415	-6,088	1,439	1,394	4,730	-5,566	0,754
	6	1,988		-3,064		-1,076		-5,052		-9,463		-4,439	
5	7	5,171		1,789		6,960		-3,382		6,602		-3,740	
	8	5,171	2,955	-2,523	3,382	2,648	6,337	-7,694	0,427	3,153	5,661	-7,189	-0,249
	9	2,955		-3,109		-9,154		-6,064		0,468		-5,442	
4	10	6,682		1,882		8,564		-4,800		8,188		-5,976	
	11	6,682	3,818	-2,445	3,333	4,237	7,151	-9,127	-0,485	4,726	6,484	-8,638	-1,151
	12	3,818		-3,158		0,660		-6,976		1,292		-6,344	
3	13	8,522		1,954		10,476		-6,568		10,085		-6,960	
	14	8,522	4,869	-2,373	3,302	6,149	8,171	-10,895	-1,567	-6,624	7,1511	-10,420	-2,227
	15	4,869		-3,189		1,680		-8,058		2,318		-7,420	
2	16	9,839		2,009		11,848		-7,830		11,446		-8,232	
	17	9,839	5,622	-2,318	3,283	7,521	8,905	-12,157	-2,339	-7,985	8,248	-11,693	-2,996
	18	5,622		-3,208		2,494		-8,830		3,056		-8,188	
1	19	10,782		2,209		12,931		-8,573		12,549		-9,015	
	20	10,782	6,129	-2,701	3,750	8,081	9,879	-13,493	-2,379	7,621	9,129	-12,943	-3,129
	21	6,129		-3,696		2,593		-9,745		3,236		-9,022	

FERRAILLAGE
DES
POUTRES

Ferraillage des Poutres

1 Armatures longitudinales:

Méthode de calcul:

La méthode de calcul choisie est la méthode exacte

Calcul du moment résistant du béton:

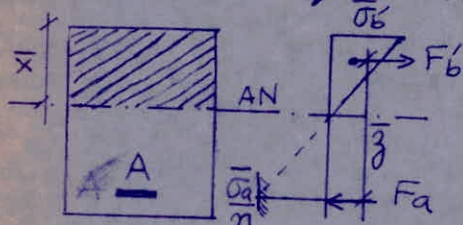
$\bar{\sigma}_b' = 2 \bar{\sigma}_{b_0}'$ à majorer par 1,5 pour les sollicitations du 2^{eme} genre (S_{P_2}) .

$$\bar{\alpha} = \frac{n \bar{\sigma}_b'}{n \bar{\sigma}_b' + \bar{\sigma}_a} \quad \bar{\delta} = 1 - \frac{\bar{\alpha}}{3} \quad \bar{k} = \frac{1}{2} \bar{\alpha} \bar{\delta} \bar{\sigma}_b'$$

$$M_{rb} = \bar{k} b h^2 \quad b: \text{largeur de la poutre.} \\ h: \text{hauteur utile.}$$

Section sans armatures comprimées: ($A' = 0$)

$$M_{rb} \geq M_{ext.}$$



Équilibre des Forces

$$F_b = F_a \quad (1)$$

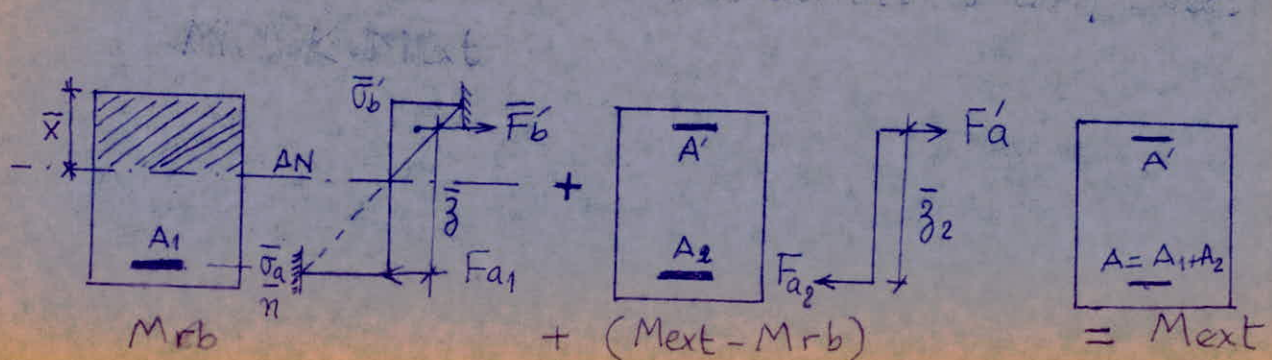
$$\sum M / \text{arm tendues} \Rightarrow M_{ext} - F_b \bar{z} = 0 \quad (2)$$

$$M_{ext} = F_b \bar{z} = F_a \bar{z} = A \bar{\sigma}_a \bar{z} \text{ d'où}$$

$$A = \frac{M_{ext}}{\bar{z} \bar{\sigma}_a} = \frac{M_{ext}}{\bar{\delta} h \bar{\sigma}_a} \quad (1)$$

Section avec armatures comprimées ($A' \neq 0$)

$$M_{rb} < M_{ext}$$



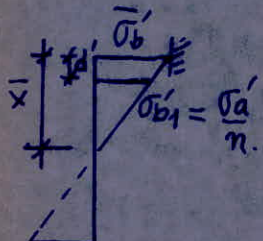
Armatures comprimées (A') $\Leftrightarrow (M_{ext} - Mrb)$

Équilibre des forces : $F_a = F_{a_2}$.

$\sum M / \text{arm tendues} : \Delta M = M_{ext} - Mrb = F_a z_2 = F_{a_2} z_2$

$$z_2 = (h - d') \Rightarrow \Delta M = A' \sigma_a (h - d') \quad \text{d'où}$$

$$A' = \frac{\Delta M}{(h - d') \sigma_a} \quad (2)$$



$$\frac{\sigma_b'}{x} = \frac{\sigma_b'}{x-d'} \Rightarrow \sigma_b' = \bar{\sigma}_b' \frac{x-d}{x} \quad \text{d'où}$$

$$\sigma_a' = n \sigma_b' = n \bar{\sigma}_b' \frac{x-d}{x} = n \bar{\sigma}_b' \frac{\alpha h - d'}{\alpha}$$

$$\sigma_a' = n \bar{\sigma}_b' \frac{\alpha - \delta'}{\alpha} \quad \text{avec } \delta' = \frac{d'}{h}$$

$$\text{donc } A' = \frac{M_{ext} - Mrb}{(h - d') \sigma_a} \quad \text{avec } \sigma_a' = n \bar{\sigma}_b' \frac{\alpha - \delta'}{\alpha}$$

Armatures tendues $A = (A_1 + A_2) \Leftrightarrow (Mrb)$

Équilibre des forces $\Rightarrow \bar{F}'_b = F_{a_1}$. et $F_a = F_{a_2}$

1) $\sum M / \text{arm tendues} \Rightarrow Mrb = F_b' \bar{z} = F_{a_1} \bar{z} = A_1 \bar{\sigma}_a \bar{z}$

$$\bar{z} = h - \frac{\bar{x}}{3} = h \left(1 - \frac{\alpha}{3}\right) = \bar{\delta} h. \quad \text{d'où}$$

$$A_1 = \frac{Mrb}{\bar{\delta} h \bar{\sigma}_a}.$$

2) $\sum M / \text{arm tendues} \Rightarrow (M_{ext} - Mrb) = \Delta M = F_a z_2 = F_{a_2} z_2 = A_2 \bar{\sigma}_a z_2$

$$z_2 = (h - d') \Rightarrow A_2 = \frac{\Delta M}{(h - d') \bar{\sigma}_a} \quad \text{d'où}$$

$$A = A_1 + A_2 = \frac{Mrb}{\bar{\delta} h \bar{\sigma}_a} + \frac{\Delta M}{(h - d') \bar{\sigma}_a}$$

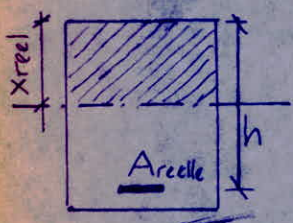
$$(2) \Rightarrow \Delta M = A'(h-d')\sigma_a \Rightarrow$$

$$A = \frac{Mrb}{\bar{\sigma}h\bar{\sigma}a} + A' \frac{\sigma_a}{\bar{\sigma}a} \quad (3)$$

Verification des contraintes :

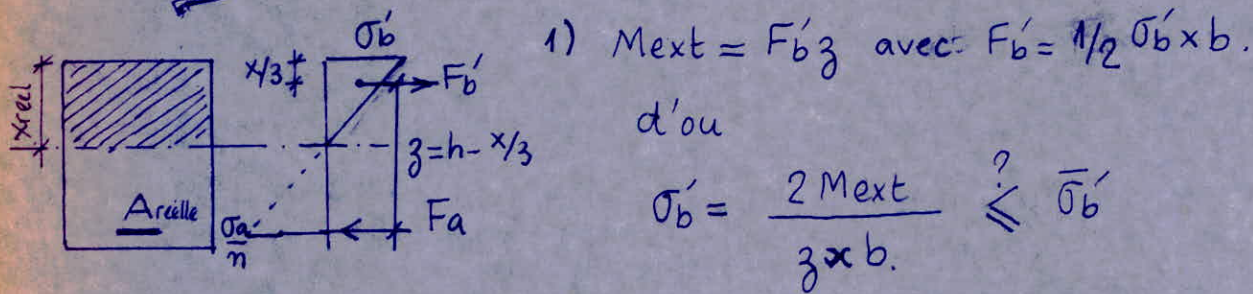
Section sans armatures comprimées :

Equation du moment statique :



$$\frac{1}{2}bx^2 - nA(h-x) = 0 \Rightarrow$$

$$A \text{ choisie} \Rightarrow x = \frac{-nA + \sqrt{(nA)^2 + 2nAhb}}{b}$$



$$1) M_{ext} = F_b'z \text{ avec } F_b' = \frac{1}{2}\sigma_b' \times b.$$

d'où

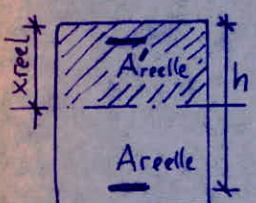
$$\sigma_b' = \frac{2M_{ext}}{z \times b} \stackrel{?}{\leqslant} \bar{\sigma}_b'$$

$$2) F_a = F_b' \Rightarrow M_{ext} = F_b'z = F_a z = A\sigma_a z \text{ d'où}$$

$$\sigma_a = \frac{M_{ext}}{zA} \stackrel{?}{\leqslant} \bar{\sigma}_a$$

Section avec armatures comprimées :

Equation du moment statique

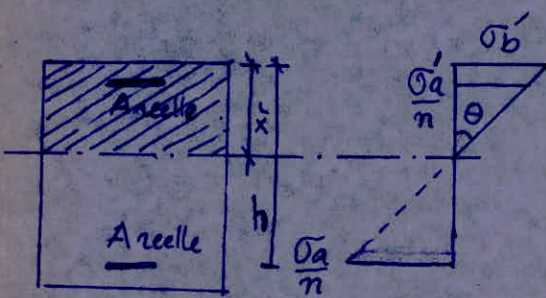


$$\frac{1}{2}bx^2 + nA'(x-d') - nA(h-x) = 0 \Rightarrow$$

$$A' \text{ et } A \text{ choisies} \quad x = \frac{-n(A+A') + \sqrt{n(A+A')^2 + 2nb(A'd'+Ah)}}{b}$$

Calcul du moment d'inertie / axe neutre :

$$I = \frac{1}{3}bx^3 + nA'(x-d')^2 + nA(h-x)^2$$



$$\operatorname{tg} \theta = k = \frac{M_{ext}}{I}$$

$$\sigma_b' = kx \leq \bar{\sigma}_b$$

$$\sigma_a' = nk(x-d') \leq \bar{\sigma}_a$$

$$\sigma_a = nk(h-x) \leq \bar{\sigma}_a$$

Remarque:

Annexe A15 CCBA 68:

Les poutres seront ferrailées en flexion simple, l'effort normal étant négligeable.

La section sera déterminée sous la sollicitation la plus défavorable.

A noter que :

Si $\max \{1,5 M(SP_1), M(SP_2)\} = M(SP_1)$

On calculera les aciers avec $M(SP_1)$

Si $\max \{1,5 M(SP_1), M(SP_2)\} = M(SP_2)$

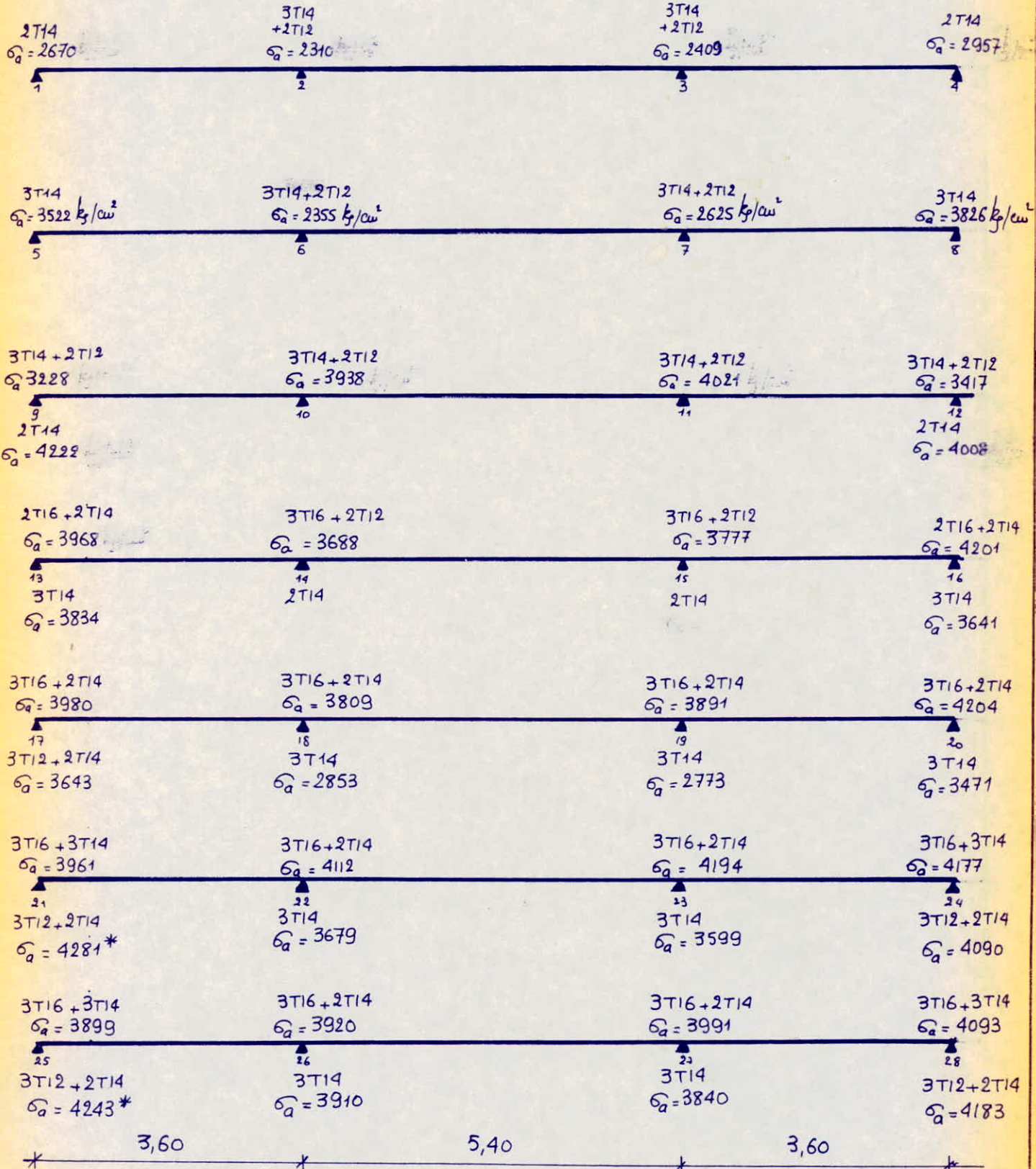
Le calcul sera fait avec $M(SP_2)$

Pourcentage minimum d'armatures longitudinales:

Art 4.2.3.2.1 RPA 81 :

- Le pourcentage total minimum des aciers longitudinaux sur toute la longueur de la poutre doit être de 0,3% pour les aciers à haute adhérence. (H4).
- Le pourcentage total maximum est de 2,5%.
- Les poutres supportant les charges verticales des planchers doivent comporter des armatures filantes (supérieures et inférieures)

Ferraillage - poutres (Portique D.)



- Voir ferraillage des travées ci-dessous -

Feraillage - poutres (travées)
portique D.

Nir	Poutre	$b \times h_t$	Mext (cm)	genre	M_{rb} (Nm)	A_{ew^2}	$A_{adopté}$	x (cm)	β (cm)	σ_b	σ_a
⑦	1-2	30x45	2,158	1	$12,559 > M_{ext}$	2,19	$2T14 = 3,08$	9,80	37,73	38,90	1856,89
	2-3	"	6,246	1	"	6,34	$3T14 + 2T12 = 6,88$	13,70	36,43	83,40	2491,87
	3-4	"	2,821	1	"	2,86	$2T14 = 3,08$	9,80	37,73	50,85	2427,37
⑥	5-6	"	2,280	1	"	2,31	$2T14 = 3,08$	9,80	37,73	41,09	1961,86
	6-7	"	6,938	1	"	7,04	$3T14 + 2T12 = 6,88$	13,70	36,43	92,64	2767,98
	7-8	"	2,652	1	"	2,69	$2T14 = 3,08$	9,80	37,73	47,80	2281,96
⑤	9-10	"	2,139	1	"	2,17	$2T14 = 3,08$	9,80	37,73	38,55	1840,54
	10-11	"	6,737	1	"	6,83	$3T14 + 2T12 = 6,88$	13,70	36,43	89,96	2687,79
	11-12	"	2,680	1	"	2,72	$2T14 = 3,08$	9,80	37,73	48,31	2306,05
④	13-14	"	2,094	1	"	2,12	$2T14 = 3,08$	9,80	37,73	37,74	1801,82
	14-15	"	6,785	1	"	6,88	$3T14 + 2T12 = 6,88$	13,70	36,43	90,60	2706,94
	15-16	"	2,539	1	"	2,58	$2T14 = 3,08$	9,80	37,73	45,70	2184,72
③	17-18	"	-0,194	2	$18,838 > M_{ext}$	0,13	/	/	/	/	/
			3,163	2	$18,838 > M_{ext}$	2,14	$2T14 = 3,08$	9,80	37,73	57,01	2721,66
	18-19	"	6,787	1	$12,559 > M_{ext}$	6,88	$3T14 + 2T12 = 6,88$	13,70	36,43	90,63	2707,73
	19-20	"	2,369	1	"	2,40	$2T14 = 3,08$	9,80	37,73	42,70	2038,40
②	21-22	"	-0,416	2	$18,838 > M_{ext}$	0,28	/	/	/	/	/
			3,352	2	$18,838 > M_{ext}$	2,27	$2T14 = 3,08$	9,80	37,73	60,42	2884,28
	22-23	"	6,810	1	$12,558 > M_{ext}$		$3T14 + 2T12 = 6,88$	13,70	36,43	90,93	2716,91
	23-24	"	-0,240	2	$18,838 > M_{ext}$	0,16	/	/	/	/	/
①			3,663	2	$18,838 > M_{ext}$	2,48	$2T14 = 3,08$			66,02	3151,89
	25-26	30x50	-0,560	2	$23,713 > M_{ext}$	0,34	/	/	/	/	/
			3,627	2	$23,713 > M_{ext}$	2,19	$2T14 = 3,08$	10,46	42,51	54,36	2769,98
	26-27	"	6,957	1	$15,808 > M_{ext}$	6,29	$3T14 + 2T12 = 6,88$	14,68	41,11	76,86	2459,91
	27-28	"		2	$23,713 > M_{ext}$	0,23	/	/	/	/	/
				2	$23,713 > M_{ext}$	2,37	$2T14 = 3,08$	10,46	42,51	58,94	3002,93

→*

Ferailage-poutres (zones nodales)
- portique E -

Niv	Noeud	B x h _t	M _{ext} (tm)	genre	M _r _é resistant M _{rb} (tm)	A _c (cm ²)	A _{adoptee}	Axé neutre x'	bras z'	σ_b	σ_a
(7)	1-	35x60	4,268	2	41,00 > M _{ext}	2,11	2T14 → 3,08	10,91	52,36	42,69	2646,35
			2,439	2	"	1,21	/	/	/	/	/
(6)	2-	"	7,095	1	27,33 > M _{ext}	5,27	4T14 → 6,15	14,75	51,08	53,82	2258,33
		0	/	/	/	/	/	/	/	/	/
(5)	3-	"	5,940	2	41,00 > M _{ext}	2,94	2T14 → 3,08	10,91	52,36	59,41	3683,07
		1,118	2	"	0,55	/	/	/	/	/	/
(4)	5-	"	8,822	2	"	4,37	3T14 → 4,62	13,04	51,65	74,83	3696,87
		6,128	2	"	3,03	3T14 → 4,62	13,04	51,65	51,98	2567,95	
(3)	6-	"	9,948	1	27,33 > M _{ext}	7,39	3T14 → 8,64	16,99	50,33	66,45	2287,46
		0,493	2	41,00 > M _{ext}	0,24	/	/	/	/	/	/
(2)	7-	"	12,808	2	"	6,34	2T16 → 7,10	15,67	50,78	91,99	3552,63
		3,136	2	"	1,55	2T14 → 3,08	/	/	/	/	/
(1)	9-	"	12,630	2	"	6,25	3T16 → 6,03	14,62	51,13	96,53	4096,84
		9,393	2	"	4,65	3T14 → 4,62	13,04	51,65	79,67	3936,14	
(0)	10-	"	16,408	2	"	8,12	3T16 → 9,11	17,36	50,21	107,51	3587,09
		3,682	2	"	1,82	3T14 → 4,62	/	/	/	/	/
(1)	11-	"	17,141	2	"	8,49	3T14 → 8,64	16,99	50,33	114,50	3941,44
		5,994	2	"	2,97	3T14 → 4,62	/	/	/	/	/
(2)	13-	"	16,222	2	"	8,03	3T16 → 9,11	17,36	50,21	106,30	3546,43
		12,191	2	"	6,03	3T14 → 6,88	15,46	50,85	88,61	3484,92	
(3)	15-	"	18,343	2	"	9,08	3T16 → 9,11	17,36	50,21	120,19	4010,12
		6,695	2	"	3,31	3T14 → 4,62	13,04	51,65	56,79	2805,55	
(4)	16-	"	21,325	2	"	10,56	3T16 → 10,65	18,50	49,83	132,17	4018,13
		8,318	2	"	4,12	3T14 → 4,62	13,04	51,65	70,55	3485,67	
(5)	18-	"	20,364	2	"	10,08	4T16 → 11,12	18,82	49,73	124,32	3682,82
		15,714	2	"	7,78	4T14 → 8,54	16,91	50,36	105,41	3653,66	
(6)	19-	"	20,854	2	"	10,32	4T16 → 11,12	18,82	49,73	127,31	3771,44
		10,230	2	"	5,06	4T14 → 7,60	16,12	50,62	71,64	2658,75	
(7)	20-	"	25,827	2	"	12,79	4T16 → 14,19	20,72	49,09	145,11	3707,30
		11,543	2	"	5,71	4T14 → 7,60	16,11	50,63	80,83	3000,00	
(8)	22-	"	23,323	2	"	11,55	4T16 → 11,12	18,82	49,73	142,38	4217,95
		18,240	2	"	9,03	4T14 → 8,54	16,91	50,36	122,36	4240,98	*
(9)	23-	"	22,544	2	"	11,16	4T16 → 11,12	18,82	49,73	137,62	4077,07
		12,836	2	"	6,35	4T14 → 7,60	16,11	50,63	89,89	3336,05	
(10)	24-	"	28,991	2	"	14,35	4T16 → 14,19	20,72	49,09	162,89	4161,47
		13,892	2	"	6,88	4T14 → 7,60	16,11	50,63	97,28	3610,50	
(11)	25-	40x70	26,001	2	65,09 > M _{ext}	10,92	4T16 → 11,12	19,66	59,45	111,24	3933,29
		20,768	2	"	8,72	4T14 → 8,54	17,60	60,13	98,09	4044,23	
(12)	26-	40x70	24,824	2	"	10,43	4T16 → 11,12	19,66	59,45	106,20	3755,24
		14,848	2	"	6,24	4T14 → 7,60	16,75	60,41	73,34	3233,76	
(13)	27-	40x70	32,175	2	"	13,51	4T16 → 14,19	21,71	58,76	126,09	3858,61
		16,015	2	"	6,73	4T14 → 7,6	16,75	60,41	79,11	3487,92	

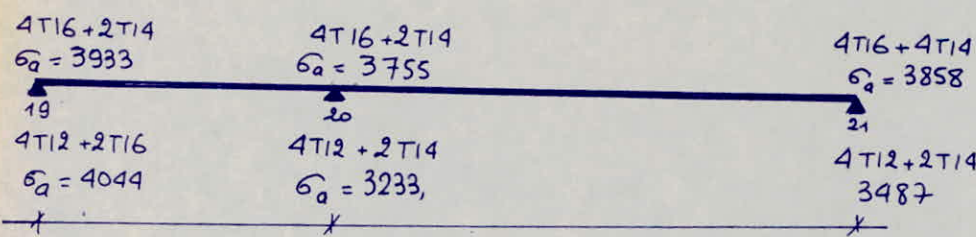
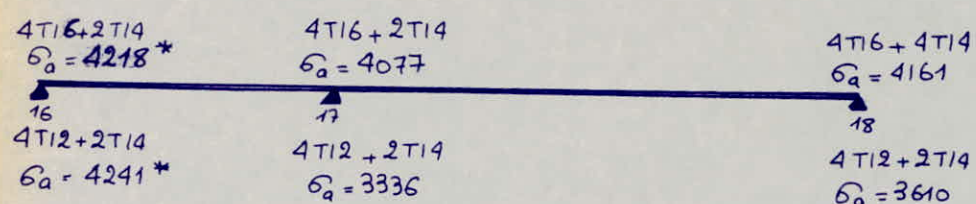
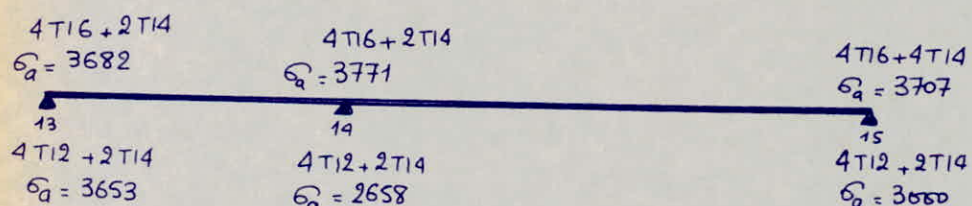
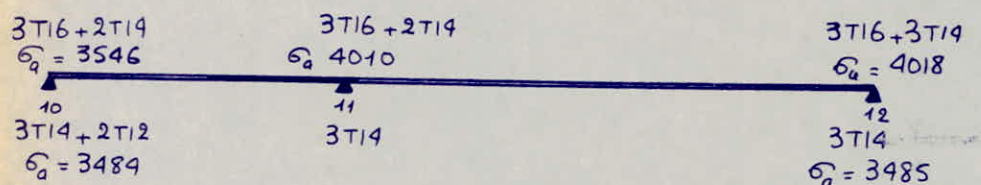
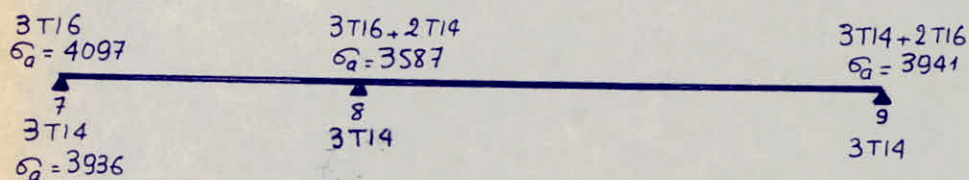
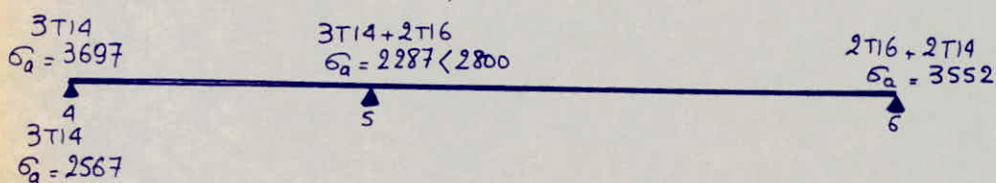
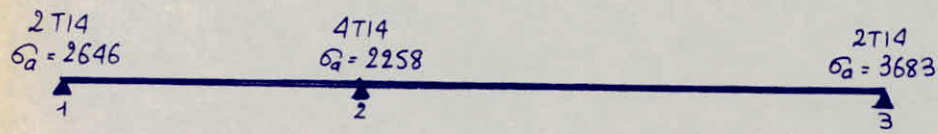
(*) Nœud 16 : → $\sigma_a = 4217,95$ avec $M = 23,323 \text{ tm}$ (SP2)

 → $\sigma_a = 4240,98$ avec $M = 18,240 \text{ tm}$ (SP2)

on remarque que les armatures travaillent dans le domaine d'écoulement mais l'excès remarqué est tolerable en effet:

$$\frac{4240,98 - 4200}{4200} = 0,9\% \rightarrow \text{ok!!!}$$

Feraillage - poutres (Portique E)



- Voir feraillage des travées ci dessous-

ferailage - poutres (travées)

- portique E -

Niv	Poutre	$b \times h_t$	M_{ext} (cm)	genre	M_{rb} (cm)	A_{calcd}	$A_{adoptée}$ (cm 2)	A_{neuve} x (cm)	bras δ (cm)	σ_b	σ_a
⑦	1-2	35x60	2,656	1	$27,33 > M_{ext}$	1,97	$2T14 = 3,08$	10,91	52,36	26,57	1646,84
	2-3	"	4,359	1	$27,33 > M_{ext}$	3,24	$2T14 = 3,08$	10,91	52,36	43,60	2702,80
⑥	4-5	"	1,857	1	"	1,38	$3T14 = 4,62$	13,04	51,65	15,75	778,18
	5-6	"	5,584	1	"	4,15	$3T14 = 4,62$	13,04	51,65	47,36	2339,98
⑤	7-8	"	-0,210	2	$41,00 > M_{ext}$	0,10	/	/	/	/	/
			1,902	1	$27,33 > M_{ext}$	1,41	$3T14 = 4,62$	13,04	51,65	16,13	797,04
④	8-9	"	8,086	2	$41,00 > M_{ext}$	4,00	$3T14 = 4,62$	13,04	51,65	68,59	3388,44
	10-11	"	-0,394	2	$41,00 > M_{ext}$	0,20	/	/	/	/	/
③			2,984	2	"	1,48	$3T14 = 4,62$	13,04	51,65	25,31	1250,45
	11-12	"	-0,763	2	"	0,38	/	/	/	/	/
②			8,393	2	"	4,15	$3T14 = 4,62$	13,04	51,65	71,19	3517,10
	13-14	"	-0,616	2	"	0,31	/	/	/	/	/
①			3,409	2	"	1,69	$4T12 = 4,52$	12,92	51,69	29,17	1458,99
	14-15	"	-2,134	2	"	1,07	/	/	/	/	/
①			9,071	2	"	4,49	$4T12 = 4,52$	12,92	51,69	77,61	3882,92
	16-17	"	-0,735	2	"	0,36	/	/	/	/	/
①			3,769	2	"	1,87	$4T12 = 4,52$	12,92	51,69	32,25	1613,06
	17-18	"	-3,093	2	"	1,53	/	/	/	/	/
①			9,593	2	"	4,75	$4T12 = 4,52$	12,92	51,69	82,08	4105,63
	19-20	40x70	-0,840	2	$65,09 > M_{ext}$	0,35	/	/	/	/	/
①			4,175	2	"	1,75	$4T12 = 4,52$	13,36	61,55	25,39	1500,76
	20-21	"	-3,472	2	"	1,46	/	/	/	/	/
①			10,828	2	"	4,55	$4T12 = 4,52$	13,36	61,55	65,85	3892,97

Armatures transversales:

Les armatures transversales ont pour but de reprendre l'effort tranchant dans les poutres et empêcher la fissuration. Elles seront calculées pour l'effort tranchant maximal.

Contrainte de cisaillement maximale:

$$\gamma_b = \frac{T_{\max}}{bz} \quad b: \text{largeur de la poutre}$$

$z: \text{bras de levier du couple élastique}$

Contraintes admissibles des armatures transversales:

$$\bar{\sigma}_{at} = \max \left\{ \begin{array}{l} (1 - \gamma_b / 9 \bar{\sigma}_b) \sigma_{en} \\ 2/3 \sigma_{en} \end{array} \right\} \quad \text{On n'a pas de reprise de bétonnage}$$

$\bar{\sigma}_{at} = \sigma_{en}$ pour les sollicitations du 2^e genre.

Contraintes admissibles de cisaillement:

$$\text{si } \left\{ \begin{array}{l} \gamma_b \leq 3,5 \bar{\sigma}_b \text{ lorsque } \bar{\sigma}_b \leq \bar{\sigma}_{b_0} \text{ ou} \\ \gamma_b \leq \left(4,5 - \frac{\bar{\sigma}_b}{\bar{\sigma}_{b_0}} \right) \bar{\sigma}_b \text{ lorsque } \bar{\sigma}_{b_0} \leq \bar{\sigma}_b \leq 2 \bar{\sigma}_{b_0} \end{array} \right\} \quad \text{On utilise des cadres et des étriers verticaux}$$

$$\text{si } \left\{ \begin{array}{l} 3,5 \bar{\sigma}_b \leq \gamma_b \leq 5 \bar{\sigma}_b \text{ lorsque } \bar{\sigma}_b \leq \bar{\sigma}_{b_0} \text{ ou} \\ \left(4,5 - \frac{\bar{\sigma}_b}{\bar{\sigma}_{b_0}} \right) \bar{\sigma}_{b_0} \leq \gamma_b \leq 5 \bar{\sigma}_b \text{ lorsque } \bar{\sigma}_{b_0} \leq \bar{\sigma}_b \leq 2 \bar{\sigma}_{b_0} \end{array} \right\} \quad \text{On utilise des cadres et des étriers verticaux plus des barres inclinées}$$

si $\gamma_b > 5 \bar{\sigma}_b$ il faut changer de section.

avec $\bar{\sigma}_b = 5,9 \text{ kg/cm}^2$ et $\bar{\sigma}_{b_0} = 68,5 \text{ kg/cm}^2$ sous SP₁

$\bar{\sigma}_b = 8,85 \text{ kg/cm}^2$ et $\bar{\sigma}_{b_0} = 102,75 \text{ kg/cm}^2$ sous SP₂.

Calcul des espacements:

$$t = \frac{A_t \cdot z \cdot \bar{\sigma}_{at}}{T_{\max}} \quad A_t: \text{section d'armatures transversales}$$

Espacement admissible: Art 4.2.3.2.2 RPA81

L'espacement maximum entre les armatures transversales doit être déterminé comme suit :

- Dans la zone nodale, et en travée si les armatures comprimées sont nécessaires l'espacement sera :

$$t \leq \min \{ ht/4 ; 12\phi ; 30 \text{ cm} \}$$

- En dehors de la zone nodale :

$$t \leq ht/2$$

La valeur de ϕ à prendre est le plus petit diamètre calculé et dans le cas d'une section en travée avec armatures comprimées, c'est le diamètre le plus petit des aciers comprimés.

Application:

1- Portique D:

a- poutres de 30×45 :

Zone nodale $t \leq \min \{ ht/4 = 11,25 ; 12\phi_{12} = 14,4 ; 30 \text{ cm} \} = 11,25 \text{ cm}$

Zone courante $t \leq \frac{ht}{2} = \frac{45}{2} = 22,5 \text{ cm}$.

b- Poutres de 30×50

Zone nodale $t \leq \min \{ ht/4 = 12,5 ; 12\phi_{12} = 14,4 ; 30 \text{ cm} \} = 12,5 \text{ cm}$

Zone courante $t \leq \frac{ht}{2} = \frac{50}{2} = 25$.

Soient $t = 10 \text{ cm}$ en Zone nodale } pour toutes les
 $t = 20 \text{ cm}$ en Zone courante } poutres

2- Portique E':

a- Poutres de 35×60 :

Zone nodale $t \leq \min \{ ht/4 = 15 ; 12\phi_{12} = 14,4 ; 30 \text{ cm} \} = 14,4 \text{ cm}$

Zone courante $t \leq \frac{ht}{2} = 30 \text{ cm}$.

b- Poutres de 40×70 :

Zone nodale $t \leq \min \{ \frac{ht}{4} = 17,5 ; 12\phi_{12} = 14,4 ; 30 \text{ cm} \} = 14,4 \text{ cm}$

Zone courante $t \leq \frac{ht}{2} = 35 \text{ cm}$

Nous adoptons $t = 12 \text{ cm}$ en Zone nodale } pour toutes les poutres
 $t = 30 \text{ cm}$ en Zone courante }

Ferraillage - poutres (Armatures transversales)
portique - D-

Niv	Noeud	Section au Noeud	T_{max} (t)	$M_{corresp}$ (Nm)	grena	A	x	bras	σ_a	σ_b	\bar{c}_b	c_b	S_{at}	$\bar{\sigma}_{at}$	A_t	$t_{calé}$	t adopté	Zone nod	z. courant
⑦	1	30x45	5,107	1,287	1	3,08	9,80	37,73	1107	23,2	20,7	4,5	0,915	2196	2,01	32,6	10	20	
	2	"	9,127	5,791	1	6,88	13,70	36,43	2310	77,3	19,9	7,2	0,865	2076	"	16,7	=	=	
	3	"	8,989	-6,040	1	6,88	13,70	36,43	2410	80,7	19,6	7,1	0,867	2080	"	17,0	=	=	
	4	"	5,753	-1,630	1	3,08	9,80	37,73	1403	29,4	20,7	5,1	0,904	2170	"	28,6	=	=	
⑥	5	"	5,759	2,069	1	4,62	11,65	37,12	1207	31,9	20,7	5,2	0,903	2197	"	28,1	=	=	
	6	"	9,756	5,903	1	6,88	13,70	36,43	2355	78,8	19,8	7,7	0,856	2054	"	15,4	=	=	
	7	"	9,842	-6,580	1	6,88	13,70	36,43	2625	87,9	18,9	7,7	0,855	2052	"	15,3	=	=	
	8	"	6,651	-2,623	1	4,62	11,65	37,12	1530	40,5	20,7	6,0	0,888	2131	"	23,9	=	=	
⑤	9	"	5,719	2,138	1	6,88	13,70	36,43	853	28,6	20,7	5,2	0,901	2162	"	27,7	=	=	
	10	"	9,838	6,322	1	6,88	13,70	36,43	2522	84,4	19,3	7,7	0,854	2050	"	15,3	=	=	
	11	"	9,760	-6,562	1	6,88	13,70	36,43	2618	87,6	19,0	7,6 ⁵	0,856	2054	"	15,4	=	=	
	12	"	6,471	-2,645	1	6,88	13,70	36,43	1055	35,3	20,7	5,9	0,888	2131	"	24,1	=	=	
④	13	"	5,863	2,465	1	7,10	13,88	36,37	955	32,6	20,7	5,4	0,899	2157	"	26,9	=	=	
	14	"	9,833	6,297	1	8,29	14,75	36,08	2105	78,9	19,8	7,8	0,853	2047	"	15,1	=	=	
	15	"	9,765	-6,529	1	8,29	14,75	36,08	2183	81,8	19,5	7,7	0,854	2050	"	15,2	=	=	
	16	"	10,136	4,980	2	4,62	11,65	37,12	2904	76,8	31,0	9,1	1	2400	"	17,7	=	=	
③	17	"	10,737	-7,391	2	6,45	13,35	36,55	3135	101,0	31,0	9,8	1	2400	"	16,4	=	=	
	18	"	9,836	6,265	1	9,11	15,30	35,90	1916	76,0	20,0	7,8	0,853	2047	"	15,0	=	=	
	19	"	9,762	-6,519	1	9,11	15,30	35,90	1993	79,1	19,7	7,7	0,854	2049	"	15,2	=	=	
	20	"	11,501	6,658	2	6,45	13,35	36,55	2824	91,0	31,0	10,5	1	2400	"	15,3	=	=	
②	21	"	11,715	-8,761	2	6,45	13,35	36,55	3716	119,7	29,5	9,2	1	2400	"	15,1	=	=	
	22	"	9,836	6,247	1	9,11	15,30	35,90	1910	75,8	20,0	7,8	0,826	1982	"	14,6	=	=	
	23	"	9,762	-6,494	1	9,11	15,30	35,90	1986	78,8	19,8	7,7	0,854	2050	"	15,2	=	=	
	24	"	12,503	7,942	2	6,45	13,35	36,55	3369	108,5	30,5	9,8	1	2400	"	14,1	=	=	
①	25	"	12,616	-10,214	2	6,45	14,30	41,23	3841	115,5	29,9	8,7	1	2400	"	15,8	=	=	
	26	"	9,938	6,238	1	9,11	16,42	40,53	1690	62,5	20,7	8,2	0,846	2030	"	16,6	=	=	
	27	"	9,859	-6,477	1	9,11	16,42	40,53	1754	64,9	20,7	8,1	0,847	2033	"	16,8	=	=	
	28	"	13,275	9,381	2	6,45	14,30	41,23	3527	106,1	30,7	9,2	1	2400	"	16,3	=	=	

ferailage poutres (Armatures transversales)
- portique E'.

Niv	Num	Section au Noeud	T _{max} (t)	M _{corr} (tm)	genre	A	Areneches x (cm)	brag (cm)	σ _a	$\sigma_b = \frac{2M}{3xb}$	C _b	S _{at}	S _{at}	A _t	t _{cab}	t adopté		
																% nodale	% courante	
7	1	35x60	5,680	1,130	1	3,08	10,91	52,36	—	11,30	20,65	3,10	0,942	2261	2,01	41,9	12cm	30cm
	2	"	8,787	6,650	1	6,15	14,75	51,08	—	50,44	20,65	4,91	0,907	2177	"	25,4	=	=
	3	"	4,706	2,807	1	3,08	10,91	52,36	—	28,06	20,65	2,57	0,952	2285	"	51,1	=	=
6	4	"	9,153	5,416	2	4,62	13,04	51,65	—	45,94	30,98	5,06	1	2400	"	27,2	=	=
	5	"	9,556	8,393	1	8,64	17,00	50,33	—	56,06	20,65	5,42	0,898	2155	"	22,8	=	=
	6	"	7,110	5,831	1	7,10	15,67	50,78	—	41,88	20,65	4,00	0,925	2220	"	31,9	=	=
5	7	"	10,069	8,538	2	4,62	13,04	51,65	—	72,42	30,98	6,12	1	2400	"	22,5	=	=
	8	"	14,254	1,066	2	4,62	13,04	51,65	—	9,04	30,98	7,88	1	2400	"	17,5	=	=
	9	"	7,241	6,721	1	8,64	17,00	50,33	—	44,89	20,65	4,11	0,923	2215	"	31,0	=	=
4	10	"	13,006	11,126	2	6,88	15,46	50,84	—	80,87	30,98	7,31	1	2400	"	18,9	=	=
	11	"	15,511	4,231	2	4,62	13,04	51,65	—	35,89	20,65	8,58	1	2400	"	16,0	=	=
	12	"	7,392	7,842	1	10,65	8,50	49,83	—	48,60	20,65	4,24	0,920	2208	"	29,9	=	=
3	13	"	15,179	14,486	2	8,54	16,91	50,36	—	97,17	30,98	8,61	1	2400	"	16,0	=	=
	14	"	17,142	7,914	2	7,60	16,12	50,63	—	55,42	30,98	9,67	1	2400	"	14,3*	=	=
	15	"	7,495	8,612	1	14,19	20,72	49,09	—	48,39	20,65	4,36	0,918	2203	"	29,0	=	=
2	16	"	16,764	16,897	2	8,54	16,91	50,36	—	113,35	30,06	9,51	1	2400	"	14,5*	=	=
	17	"	18,281	10,658	2	7,60	16,12	50,63	—	74,63	30,98	10,32	1	2400	"	13,4*	=	=
	18	"	11,472	11,229	2	7,60	16,12	50,63	—	79,11	30,98	6,47	1	2400	"	21,3	=	=
1	19	40,70	18,382	19,423	2	8,54	17,61	60,13	—	91,71	30,98	7,64	1	2400	"	15,8	=	=
	20	"	19,231	12,672	2	7,60	16,75	60,41	—	62,62	30,98	7,96	1	2400	"	15,2	=	=
	21	"	12,604	13,249	2	7,60	16,75	60,41	—	65,47	30,98	5,22	1	2400	"	23,1	=	=

Verifications diverses:

Condition de flèche: (Art 61-91 CCBA 68)

Si les conditions suivantes sont remplies il n'est pas nécessaire de calculer la flèche :

$$a - ht \geq \frac{l}{16}$$

$$b - ht \geq \frac{1}{10} \cdot \frac{M_t}{M_o} \cdot l$$

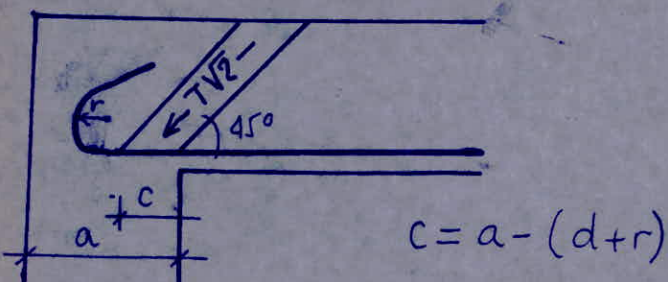
$$c - A \leq b h \cdot 43 / \sigma_{en}$$

Condition de non fragilité: (Art 52-CCBA 68)

Pour les poutres fléchies on doit avoir :

$$A \geq b \cdot h \cdot \psi_4 \cdot \frac{\bar{\tau}_b}{\bar{\tau}_a} \left(\frac{ht}{h} \right)^2 \quad \psi_4 = 0,54 \text{ acier écrasé}$$

Conditions aux appuis: (Art. 30-62 CCBA 68)



La longueur c de l'appui, à l'extrémité de laquelle on peut compter le commencement de l'ancrage doit être telle que :

$$c = a - (d + r) \geq c_0 = \frac{2T}{b \bar{\tau}_{b_0}}$$

T : effort tranchant maximal à l'appui

Condition de non écrasement du béton: (Art 30-62 CCBA 68)

$$r \geq 0,1 \phi \frac{\bar{\tau}_a}{\bar{\tau}'_{b_0}} \left(1 + \frac{\phi}{d} \right) \gamma$$

$\gamma = 1$ lorsque la barre courbée est isolée ou fait partie d'un ensemble de barres courbées disposées en un seul lit

$\gamma = 5/3$ lorsque la barre courbée fait partie d'un ensemble de barres courbées disposées en 2 lits.

$$v=1, \Phi_{\max} = 16 \text{ mm}$$

$$r \geq 0,1 \times 1,6 \times \frac{2800}{68,5} \left(1 + \frac{1,6}{4}\right) \times 1$$

$$r \geq 9,2 \text{ cm} \quad \text{soit } r_{\max} = 10 \text{ cm.}$$

$$v = 5/3 \quad \Phi_{\max} = 16 \text{ mm}$$

$$r \geq 9,2 \times 5/3 = 15,3 \text{ cm} \quad \text{soit } r_{\max} = 16 \text{ cm}$$

Armatures inférieures: (Art 35-32 CCBA 68)

Si le moment fléchissant positif ou négatif est inférieur en module à T_3 , la section minimale des armatures de traction inférieures, qui doivent être conduites jusqu'à cet appui et ancrées totalement au-delà de l'appui, doit être susceptible d'équilibrer un effort admissible égal à

$$T + M/3$$

T est considéré positif

M est considéré en valeur algébrique.

Condition de non entraînement des barres aux appuis

(Art 29,1 CCBA 68)

La contrainte d'adhérence d'une barre ou d'un paquet de barre est donnée par :

$$\bar{\sigma}_{di} = \frac{T}{3} \cdot \frac{A_i}{A} \cdot \frac{1}{P_{ui}}$$

P_{ui} : périmètre utile de la barre isolée (i) ou d'un paquet de barres

A_i : Section d'une barre isolée (i) ou d'un paquet de barres

A : section totale d'armatures tendues.

La contrainte admissible est donnée par

$$\bar{\sigma}_d = 2 \psi_d \bar{\sigma}_b - (\psi_d = 1,5) \Rightarrow \bar{\sigma}_d = 3 \bar{\sigma}_b = 3 \times 5,9 = 17,7 \text{ kg/cm}^2$$

$\bar{\sigma}_d = 1,5 \times 17,7 = 26,55 \text{ kg/cm}^2$ pour les sollicitations du deuxième genre.

Vérifications diverses (portique E)

Conditions de flèche :

1- Poutres de 35x60 :

$$a) h_t = 60 > \frac{l}{16} = \frac{700}{16} = 43,75 \text{ cm vérifiée}$$

$$b) h_t = 60 \geq \frac{1}{10} \cdot \frac{M_t}{M_0} \cdot l = \frac{1}{10} \cdot \frac{5,584}{9,310} \cdot 700 = 42 \text{ cm.}$$

$$c) A_{\max} = 4,62 \text{ cm}^2 \leq b \cdot h \cdot \frac{43}{\sigma_{\text{en}}} = 35 \cdot 56 \cdot \frac{43}{4120} = 20,45 \text{ cm vérifiée}$$

2- Poutre de 40x70 :

$$a) h_t = 70 > \frac{l}{16} = \frac{700}{16} = 43,75 \text{ cm vérifiée}$$

$$b) h_t = 70 \geq \frac{1}{10} \cdot \frac{M_t}{M_0} \cdot l = \frac{1}{10} \cdot \frac{4,379}{14,58} \cdot 700 = 21,02 \text{ cm vérifiée}$$

$$c) A_{\max} = 4,52 \leq b \cdot h \cdot \frac{43}{\sigma_{\text{en}}} = 40 \cdot 66 \cdot \frac{43}{4120} = 27,55 \text{ cm vérifiée}$$

donc il est inutile de vérifier la flèche.

Condition de non fragilité :

$$A \geq b \cdot h \cdot \psi_4 \cdot \frac{\bar{\sigma}_b}{\bar{\sigma}_a} \left(\frac{h_t}{h} \right)^2$$

1- Poutre de 35x60 :

$$A_{\min} = 3,08 \geq 35 \cdot 56 \cdot 0,54 \cdot \frac{5,9}{2800} \left(\frac{60}{56} \right)^2 = 2,56 \text{ cm}^2 \text{ vérifiée}$$

2- Poutre de 40x70 :

$$A_{\min} = 4,52 \geq 40 \cdot 66 \cdot 0,54 \cdot \frac{5,9}{2800} \left(\frac{70}{66} \right)^2 = 3,38 \text{ cm}^2 \text{ vérifiée}$$

Condition aux appuis : $r_{\max} = 16 \text{ cm.}$

$$c = a - (d + r) > c_0 = 2T / b \bar{\sigma}_{b0}$$

niv	7	6	5	4	3	2	1
$C_0(\text{m})$	4,74	5,93	6,16	7,23	8,44	9,32	8,95
$C(\text{m})$	15	15	20	25	30	35	40

Armatures inférieures: (Ant 35 - 32 CCBA68)
(partie E')

nr	nr und	T(t)	M(tm)	T + M/3	A(cm ²)	A \bar{v} a(t)
⑦	1	5,680	1,130	3,522	3,08	8,624
⑤	8	14,254	1,066	16,318	4,62	19,404
④	11	15,551	4,231	7,359.	4,62	19,404
③	14	17,142	7,914	32,860	7,60	31,920

Verification à la fissuration:

1- Poutres de 35x60:

$$\bar{\sigma}_a = \min \left\{ \frac{2/3 \sigma_{en}}{\max \{ \sigma_1, \sigma_2 \}} \right\} \quad \bar{w}_f = \frac{A}{B_f} = \frac{A_{min}}{2bd} = \frac{4,62}{8 \times 35,3}$$

$$\sigma_1 = K \frac{n}{\phi} \cdot \frac{\tilde{w}_f}{1+10\tilde{w}_f} = 1,5 \cdot 10^6 \cdot \frac{1,6}{14} \cdot \frac{0,022}{1+10 \cdot 0,022} = 3091,33 \text{ kg/cm}^2$$

$$\sigma_2 = 2,4 \sqrt{\frac{\eta K \bar{f}_b}{\phi}} = 2,4 \sqrt{\frac{1,6 \cdot 1,5 \cdot 10^6 \cdot 5,8}{19}} = 2393,2 \text{ kg/cm}^2$$

$$\max \{ \sigma_1, \sigma_2 \} = 3091,33 \text{ kg/cm}^2 \Rightarrow \bar{\sigma}_a = 2800 \text{ kg/cm}^2$$

2- Poutres de 40x70 :

$$\bar{w}_f = \frac{A_{min}}{2bd} = \frac{4,52}{2 \cdot 40 \cdot 3} = 0,0188.$$

$$\sigma_1 = 1,5 \cdot 10^6 \cdot \frac{1,6}{12} \cdot \frac{0,0188}{1 + 10 \cdot 0,0188} = 3165 \text{ kg/cm}^2$$

$$G_2 = 2,4 \sqrt{\frac{1,6 \cdot 1,5 \cdot 10^6 \cdot 5,8}{12}} = 2584,8 \text{ kg/cm}^2$$

$\max \{ \sigma_1, \sigma_2 \} = 3165 \text{ kg/cm}^2 \Rightarrow \bar{\sigma}_a = 2800 \text{ kg/cm}^2$
 donc pas de risque de fissurations.

Entrainement des armatures aux appuis (portique E)

niv	modèle	Sollicité	T _{max} (t)	(cm) $\delta = h - \frac{x}{3}$	(cm) Ø _i	(cm) Pui	(cm ²) A _i	(cm ²) A	A _i /A	(kg/m ²) σ_{di}	(kg/cm ²) σ_d
1	SP ₁		5,680	52,36	1,4	4,40	1,54	3,08	0,500	12,32	17,7
⑦	2	SP ₁	8,787	51,08	1,4	4,40	1,54	6,15	0,250	9,78	17,7
3	SP ₁		4,706	52,36	1,4	4,40	1,54	3,08	0,500	10,21	17,7
4	SP ₂		9,153	51,65	1,4	4,40	1,54	4,62	0,333	13,41	26,55
⑥	5	SP ₁	9,556	50,33	1,4	4,40	1,54	8,64	0,180	7,77	17,7
6	SP ₁		7,110	50,78	1,4	4,40	1,54	7,10	0,233	8,78	17,7
					1,6	5,03	2,01		0,220	7,00	
					1,6	5,03	2,01		0,280	7,79	17,7
7	SP ₂		11,069	51,65	1,4	4,40	1,54	4,62	0,333	16,22	26,55
⑤	8	SP ₂	14,254	51,65	1,4	4,40	1,54	4,62	0,333	20,89	26,55
9	SP ₁		7,241	50,33	1,4	4,40	1,54	8,64	0,180	5,88	17,7
					1,6	5,03	2,01		0,233	6,66	
10	SP ₂		13,006	50,84	1,4	4,40	1,54	6,88	0,224	13,02	26,55
					1,6	5,03	2,01		0,160	10,86	
④	11	SP ₂	15,511	51,65	1,4	4,40	1,54	4,62	0,333	22,79	26,55
					1,6	5,03	2,01		0,180	14,75	
12	SP ₁		7,392	49,83	1,4	4,40	1,54	10,65	0,140	4,75	17,7
					1,6	5,03	2,01		0,200	5,90	
13	SP ₂		15,179	50,36	1,4	4,40	1,54	8,54	0,180	12,33	26,55
					1,6	5,03	2,01		0,130	10,40	
③	14	SP ₂	17,142	50,36	1,4	4,40	1,54	7,60	0,202	15,62	26,55
					1,6	5,03	2,01		0,150	13,54	
15	SP ₁		7,495	49,10	1,4	4,40	1,54	14,19	0,110	3,72	17,7
					1,6	5,03	2,01		0,140	4,25	
16	SP ₂		16,764	50,36	1,4	4,40	1,54	8,54	0,180	13,62	26,55
					1,6	5,03	2,01		0,130	11,48	
②	17	SP ₂	18,281	50,63	1,4	4,40	1,54	7,60	0,202	16,58	26,55
					1,6	5,03	2,01		0,150	14,44	
18	SP ₂		11,472	50,63	1,4	4,40	1,54	7,60	0,202	10,40	26,55
					1,6	5,03	2,01		0,150	9,06	
19	SP ₂		18,382	60,13	1,4	4,40	1,54	8,54	0,180	12,51	26,55
					1,6	5,03	2,01		0,130	10,54	
①	20	SP ₂	19,231	60,13	1,4	4,40	1,54	7,60	0,202	14,68	26,55
					1,6	5,03	2,01		0,150	12,78	
21	SP ₂		12,604	60,41	1,4	4,40	1,54	7,60	0,202	9,58	26,55
					1,6	5,03	2,01		0,150	8,30	

Vérifications diverses (portique D)

Condition de flèche :

1- Poutres de (30x45) cm

$$a) h_t = 45 > \frac{l}{16} = \frac{540}{16} = 33,75 \text{ cm vérifiée}$$

$$b) h_t = 45 \geq \frac{1}{10} \cdot \frac{M_t}{M_0} \cdot l = \frac{1}{10} \cdot \frac{6,938}{12,660} \cdot 540 = 29,6 \text{ cm vérifiée}$$

$$c) A_{max} = 3T14 + 2T12 = 6,88 \text{ cm}^2 \leq b \cdot h \cdot \frac{43}{\sigma_{en}} = 30 \times 41 \times \frac{43}{4120} = 12,8 \text{ cm vérifiée}$$

2- Poutre de (30x50) cm :

$$a) h_t = 50 > \frac{l}{16} = \frac{540}{16} = 33,75 \text{ cm vérifiée}$$

$$b) h_t = 50 \geq \frac{1}{10} \cdot \frac{M_t}{M_0} \cdot l = \frac{1}{10} \cdot \frac{6,957}{13,670} \cdot 540 = 27,5 \text{ cm vérifiée}$$

$$c) A_{max} = 3T14 + 2T12 = 6,88 \text{ cm}^2 \leq b \cdot h \cdot \frac{43}{\sigma_{en}} = 30 \times 46 \cdot \frac{43}{4120} = 14,4 \text{ cm vérifiée}$$

Il est inutile donc de vérifier la flèche

Condition de non fragilité :

$$A \geq b \cdot h \cdot \psi_A \cdot \frac{\bar{\sigma}_b}{\bar{\sigma}_a} \cdot \left(\frac{h_t}{h} \right)^2$$

1- Poutres de (30x45) cm :

$$A_{min} = 3,08 \text{ cm}^2 \geq 30 \times 41 \cdot 0,54 \cdot \frac{5,9}{2800} \left(\frac{45}{41} \right)^2 = 1,68 \text{ cm}^2 \text{ vérifiée}$$

2- Poutre de (30x50) cm :

$$A_{min} = 3,08 \text{ cm}^2 \geq 30 \times 46 \cdot 0,54 \cdot \frac{5,9}{2800} \left(\frac{50}{46} \right)^2 = 1,86 \text{ cm}^2 \text{ vérifiée}$$

Condition aux appuis :

$$C = a - (d + r) \geq C_0 = 2T / b \bar{\sigma}_{bs}$$

$$r_{max} = 16 \text{ cm.}$$

miv	7	6	5	4	3	2	1
C_0	6,00	6,47	6,98	6,57	7,46	8,11	8,61
C	10	10	10	15	20	25	30.

Armatures inférieures (Art 35-32 CCBA 68)
(portique D)

niv	nœud	T(t)	M(tm)	T + M/3	A(cm²)	A \bar{a} (t)
⑦	1	5,107	1,287	1,696	3,08	8,624
⑦	4	5,753	1,630	1,433	3,08	8,624
⑥	5	5,759	2,069	0,185.	3,08	8,624
⑥	8	6,651	2,623	< 0	/	/
⑤	9	5,719	2,138	< 0	/	/
⑤	12	6,471	2,645	< 0	/	/

Vérification à la fissuration:

1 - Poutre de 30x45 :

$$\bar{a} = \min \left\{ \frac{2/3 \sigma_{en}}{\max \{ \sigma_1, \sigma_2 \}} \right\} \quad \tilde{w}_f = \frac{A}{B_f} = \frac{A_{min}}{2bd} = \frac{4,62}{2,30 \cdot 3} \\ w_f = 0,026.$$

$$\sigma_1 = \frac{K_n}{\phi} \frac{\tilde{w}_f}{1+10\tilde{w}_f} = \frac{1,5}{14} \frac{10^6 \cdot 1,6 \cdot 0,026}{(1+10 \cdot 0,026)} = 3537,4 \text{ kg/cm}^2$$

$$\sigma_2 = 2,4 \sqrt{\frac{\eta K \bar{a}_b}{14}} = 2,4 \sqrt{\frac{1,6 \cdot 1,5 \cdot 10^6 \cdot 5,8}{14}} = 2393,2 \text{ kg/cm}^2.$$

$$\max \{ \sigma_1, \sigma_2 \} = 3537,4 \text{ kg/cm}^2 \Rightarrow \bar{a} = 2800 \text{ kg/cm}^2.$$

2 - Poutre de 30x50 :

$$\tilde{w}_f = \frac{B_f}{B_f} = \frac{A_{min}}{2bd} = \frac{4,62}{2,30 \cdot 3} = 0,026. \text{ idem.}$$

$$\text{donc } \sigma_1 = 3537,4, \sigma_2 = 2393,2 \text{ kg/cm}^2$$

$$\max \{ \sigma_1, \sigma_2 \} = \sigma_1 = 3537,4 \text{ kg/cm}^2 \Rightarrow \bar{a} = 2800 \text{ kg/cm}^2$$

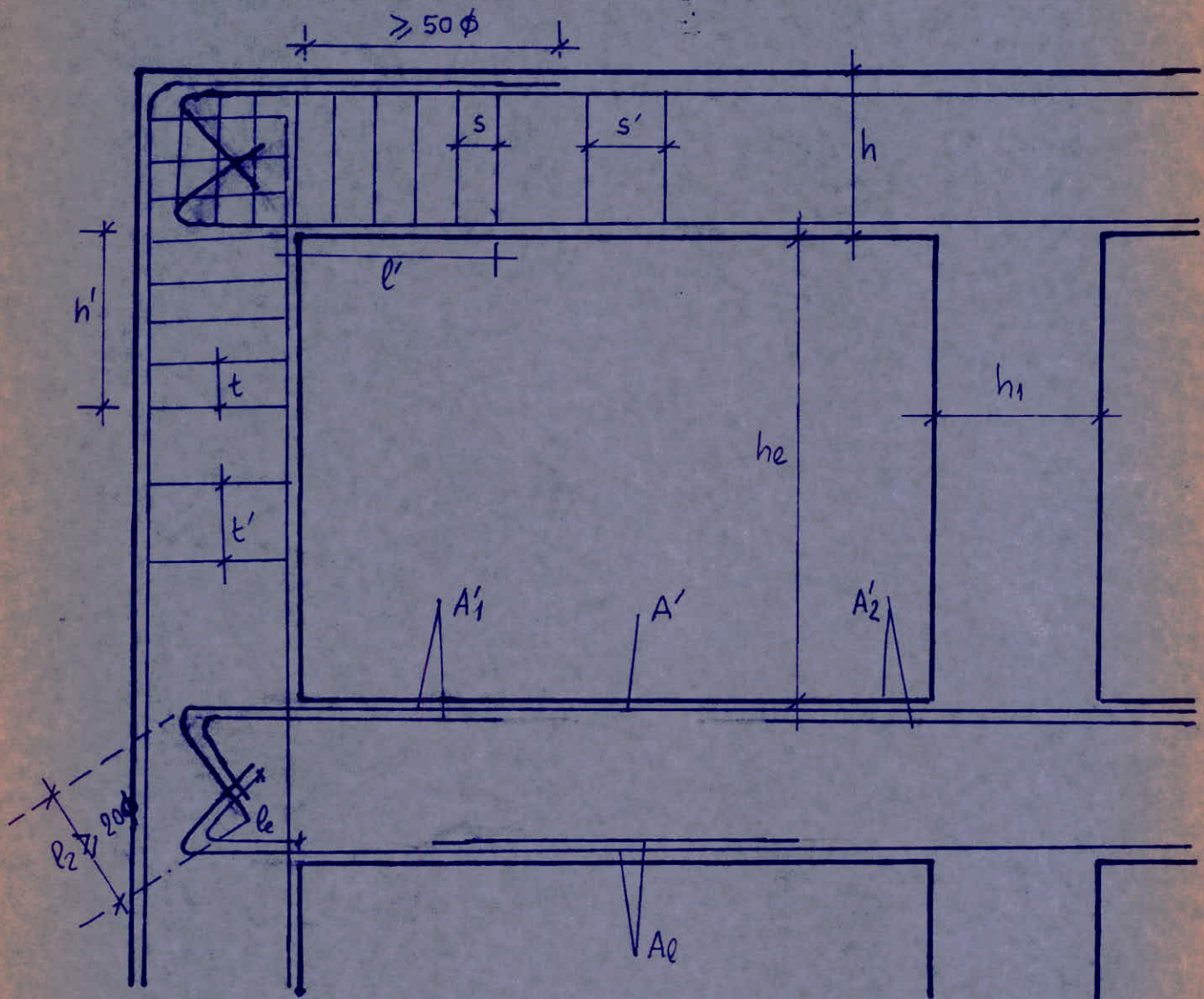
donc pas de risque de fissuration.

Entrainement des armatures aux appuis (portique D)

Le portique étant ferrailé symétriquement, On vérifie pour la moitié du portique que les barres ne seront pas entraînées aux niveaux des appuis pour les efforts tranchants maximaux correspondant à chaque nœud.

niv	nœud	Solli	Tmax(t)	(cm) $z = h - \frac{x}{3}$	(cm) ϕ_i	(cm) p_{ui}	(cm²) A_i	(cm²) A	A_i/A	$Z_{di} (\text{kg}/\text{m}^2)$	$Z_d (\text{kg}/\text{m}^2)$
7	2	SP ₁	9,127	36,43	1,2 1,4	3,77 4,40	1,13 1,54	6,88	0,164 0,223	10,89 12,70	17,7
	4	SP ₁	5,753	37,73	1,4	4,40	1,54		0,500	17,33	
6	6	SP ₁	9,756	36,43	1,2 1,4	3,77 4,40	1,13 1,54	6,88	0,164 0,223	11,62 13,53	17,7
	8	SP ₁	6,651	37,49	1,4	4,40	1,54		0,333	15,82	
5	10	SP ₁	9,838	36,43	1,2 1,4	3,77 4,40	1,13 1,54	6,88	0,164 0,223	11,75 13,69	17,7
	12	SP ₁	6,471	36,43	1,2 1,2	3,77 4,40	1,13 1,54		0,164 0,223	7,73 9,00	
4	14	SP ₁	9,833	36,08	1,2 4,6	3,77 5,03	1,13 2,01	8,29	0,136 0,242	9,83 13,11.	17,7
	16	SP ₂	10,136	37,12	1,4	4,40	1,54		0,333	20,66	
3	18	SP ₁	9,836	35,90	1,4 1,6	4,40 5,03	1,54 2,01	9,11	0,165 0,221	10,27 12,04	17,7
	20	SP ₂	11,501	36,55	1,2 1,4	3,77 4,40	1,13 1,54		0,175 0,238	14,61 17,02	
2	22	SP ₁	9,836	35,90	1,4 1,6	4,40 5,03	1,54 2,01	9,11	0,165 0,221	10,27 12,04.	17,7
	24	SP ₂	12,503	36,55	1,2 1,4	3,77 4,40	1,13 1,54		0,175 0,238	15,88 18,50	
1	26	SP ₁	9,836	40,53	1,4 1,6	4,40 5,03	1,54 2,01	9,11	0,165 0,221	9,101. 10,66.	17,7
	28	SP ₂	13,275	41,93	1,2 1,4	3,77 4,40	1,13 1,54		0,175 0,238	14,95 17,42	

Prescriptions relatives au ferrailage du
RPA 81 (Art 4.2.3.2.2).



$$l' = 2h, \quad h' = \max \{ h_e/6, b_1, h_1, 60\text{cm} \}$$

$$t \leq \min \{ 10\phi, 15\text{cm} \} \quad \text{Zone II}$$

$$t' \leq 12\phi \quad \text{Zone II}$$

$$s \leq \min \{ h/4, 12\phi, 30\text{cm} \}$$

$$s' \leq h/2$$

ϕl : representant la valeur du petit diamètre dans le cas d'emploi de diamètres différents pour aciers longitudinaux

$$A' \geq \max \{ A'_1/4, A'_2/4, 3\text{cm}^2 \}$$

$$A_1 \geq \max \{ A'_1/4, Ae/4, 3\text{cm}^2 \}$$

FERRAILLAGE
DES
POTEAUX

Ferraillage des poteaux

Les poteaux sont soumis à des efforts normaux, des efforts tranchants et des moments fléchissants en tête et à la base, ils seront calculés en flexion composée.

Le calcul se fera sous SP_1 et sous les sollicitations des combinaisons les plus défavorables du second genre (SP_2)

Le calcul des poteaux se fait pour les sollicitations suivantes $(N^{\min}, M^{\text{corr}})$ c'est pour le calcul des armatures tendues $(N^{\max}, M^{\text{corr}})$ et $(M^{\max}, N^{\text{corr}})$ essentiellement pour les armatures comprimées.

Méthode de calcul:

La méthode utilisée est la méthode exacte.

La contrainte admissible du béton comprimé est donnée par :

$$\bar{\sigma}_b' = \left(1 + \frac{e_0}{3e_1}\right) \bar{\sigma}_{b0}' \quad \text{si } e_0 < ht/2$$

$$\bar{\sigma}_b' = 2\bar{\sigma}_{b0}' \quad \text{si } e_0 \geq ht/2$$

avec $e_0 = \frac{M}{N}$, $e_1 = \frac{ht}{6}$

Ces contraintes seront majorées de 50% pour les sollicitations du second genre

On peut avoir 3 sollicitations

si $e_0 > e_1 \Rightarrow$ la section est partiellement comprimée

si $e_0 \leq e_1 \Rightarrow$ la section est entièrement comprimée

si $e_0 = 0$ ($M=0$) on a une compression simple.

Section partiellement comprimée ($e_0 > e_1$)

Le problème peut être ramené à la F.S en introduisant un moment fictif (M_f)

$$\text{avec } M_f = N \cdot f \quad \text{avec } f = e_0 + \frac{ht}{2} - d.$$

Calcul du moment résistant du béton :

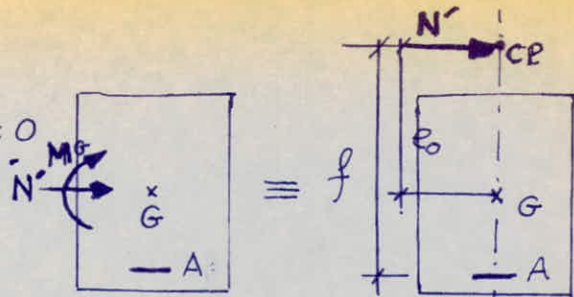
$$(\bar{\sigma}_b' \text{ de la flexion composée}) \Rightarrow \bar{\alpha} = \frac{n\bar{\sigma}_b'}{n\bar{\sigma}_b' + \bar{\sigma}_a} \quad \bar{\delta} = 1 - \frac{\bar{\alpha}}{3}$$

$$\bar{K} = \frac{1}{2} \bar{\sigma}_b' \bar{\alpha} \bar{\delta} \quad \text{d'où} \quad Mrb = \bar{R}bh^2$$

a) si $M_{rb} \geq M_f$

$$A'_{FS} = \frac{M_f}{8h\bar{\sigma}_a}$$

$$A'_{FS} = A'_{FC} = 0$$



$$A'_{FC} = A'_{FS} - \frac{N}{\bar{\sigma}_a} = \frac{M_f}{8h\bar{\sigma}_a} - \frac{N}{\bar{\sigma}_a} \quad \text{si } N \text{ est une traction } A'_{FC} = A'_{FS} + \frac{N}{\bar{\sigma}_a}$$

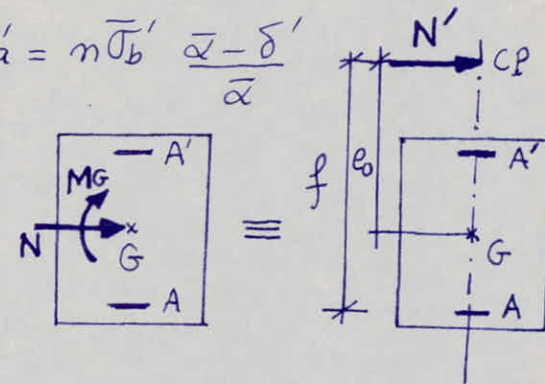
b) si $M_{rb} < M_f \Rightarrow$ les aciers comprimés sont nécessaires ($A'_{FC} \neq 0$)

$$A'_{FS} = \frac{M_f - M_{rb}}{(h-d')\bar{\sigma}_a}$$

$$\text{avec } \bar{\sigma}_a = n\bar{\sigma}_b \frac{\alpha - \delta'}{\alpha}$$

$$A'_{FC} = A'_{FS}$$

$$A'_{FS} = \frac{M_{rb}}{8h\bar{\sigma}_a} + A'_{FS} \frac{\bar{\sigma}_a}{\bar{\sigma}_a}$$



$$A'_{FC} = A'_{FS} - \frac{N}{\bar{\sigma}_a} = \frac{M_{rb}}{8h\bar{\sigma}_a} + A'_{FS} \frac{\bar{\sigma}_a}{\bar{\sigma}_a} - \frac{N}{\bar{\sigma}_a}$$

$$\text{si } N \text{ est une traction } A'_{FC} = A'_{FS} + \frac{N}{\bar{\sigma}_a}$$

Calcul itératif:

Un calcul itératif est nécessaire :

si $A'_{FC} > A'_{FS} > 0$ donc il faut diminuer $\bar{\sigma}_a$ jusqu'à avoir $A'_{FC} > A'_{FS} > 0$

si $A'_{FC} \geq 0$ et $A'_{FS} < 0$ on peut prendre un pourcentage minimum. (A_{min})

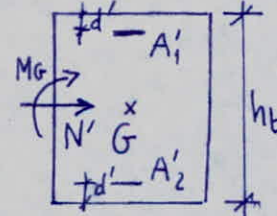
Section entièrement comprimée :

On ferraillera symétriquement et la marche à suivre est la suivante :

On utilise les formules suivantes

$$f = \bar{\sigma}_b \frac{bht}{N'}$$

$$\beta = \frac{6e_0}{ht} = \frac{6M_f}{N'ht}$$



$\bar{\sigma}_b$ est calculée comme spécifiée précédemment,

$$C = 0,27 (1 - 2\delta')^2 \rho$$

avec $\delta' = \frac{d'}{ht}$

$$D = 0,30(\rho - \beta) - 0,90(1-\rho)(1-2\delta')^2$$

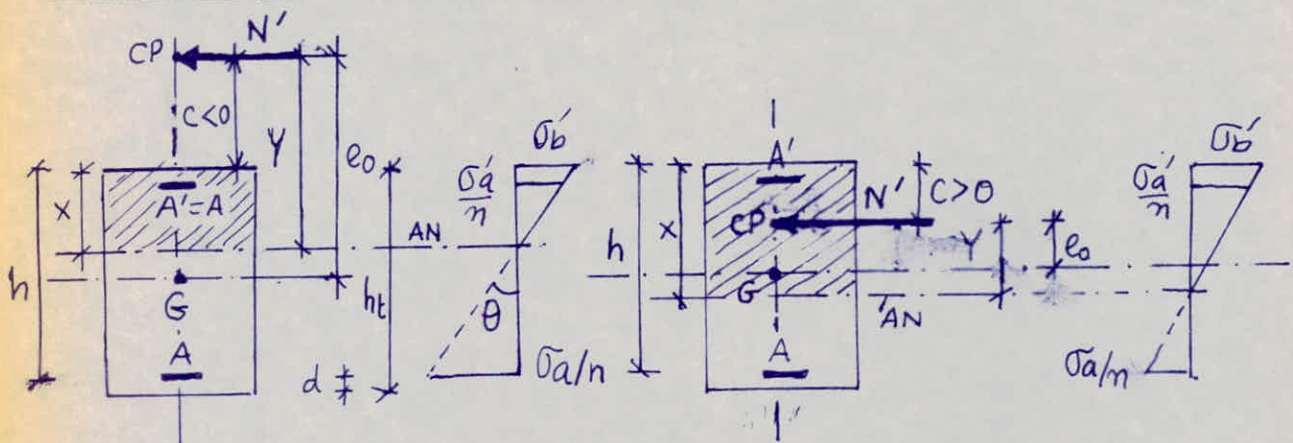
$$E = -(1 + \beta - \rho)$$

$$C \tilde{\omega}'^2 + D \tilde{\omega}' + E = 0 \Rightarrow$$

$$\tilde{\omega} = \frac{-D + \sqrt{D^2 - 4CE}}{2C} \quad \text{d'où } A'_1 = A'_2 = \frac{\tilde{\omega}' b h t}{100}.$$

Vérifications des contraintes:

Section partiellement comprimée :



$$c = ht/2 - e_0 \quad x = Y + c. \quad K = \tan \theta$$

$c > 0$ si N passe dans la section

$c < 0$ si N passe en dehors de la section et sera considéré en valeur algébrique.

$$\sum M_i / \text{centre de pression (CP)} = 0 \Rightarrow M_i / CP = 0 \quad (\text{moment des forces internes})$$

$$\Rightarrow \frac{Kb}{2} \cdot (Y + c)^2 \cdot \left(c - \frac{Y + c}{3} \right) + nA'K(Y + c - d')(c - d') - nAK(h - c - Y)(h - c) = 0 \Rightarrow$$

$$\boxed{Y^3 + PY + Q = 0} \quad \text{avec}$$

$$P = -3c^2 - \frac{6n}{b} (A'(c - d') - A(h - c))$$

$$Q = -2c^3 - \frac{6n}{b} (A'(c - d')^2 + A(h - c)^2)$$

Formule de Cardan :

$$Y = \left(-q/2 + \left((q/2)^2 + (P/3)^3 \right)^{1/2} \right)^{1/3} + \left(-q/2 - \left((q/2)^2 + (P/3)^3 \right)^{1/2} \right)^{1/3}$$

si $4P^3 + 27q^2 > 0$ la racine est unique et

Cette racine est positive si q est négatif

Cette racine est négative si q est positif

Si $4P^3 + 27q^2 < 0$ on a trois (3) racines réelles

(Cette racine n'est pas donnée par la formule de Cardan)

il faut retenir celle qui a un sens physique, c'est à dire celle qui correspond à

$$0 < x = Y + C < h.$$

Remarque :

Il faut retenir pour Y une racine positive si l'effort normal est une compression.

Une racine négative si l'effort normal est une traction.

Determination de K:

$$\sum M_t / \text{Axe neutre} = 0 \Rightarrow \frac{M_e / \text{axe neutre} + M_i / \text{axe neutre}}{I} = 0 \quad \begin{array}{l} (M_e: \text{Moment des forces externes}) \\ (M_i: \text{moment des forces internes}) \end{array}$$

$$\Rightarrow N'Y = \frac{Kb}{2}x^2 \left(\frac{2}{3}x \right) + nA'K(x-d')^2 + nAK(h-x)^2$$

équation qui peut s'écrire :

$$\frac{N'Y}{K} = \frac{bx^3}{3} + nA'(x-d')^2 + nA(h-x)^2 = I$$

$$\text{d'où } K = \frac{N'Y}{I} = \tan \theta \quad \text{et } x = Y + C.$$

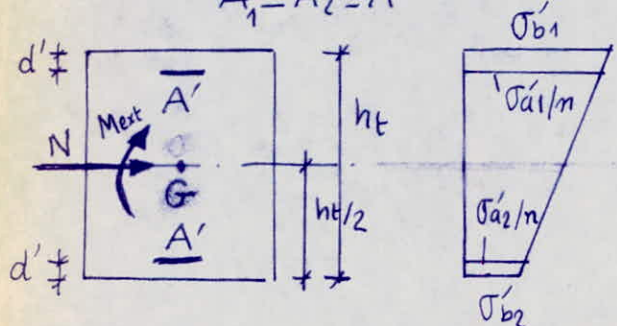
$$\sigma'_b = Kx \leq \bar{\sigma}'_b$$

$$\sigma'_a = nK(x-d') \leq \bar{\sigma}'_a$$

$$\bar{\sigma}_a = nK(h-x) \leq \bar{\sigma}_a$$

Section entièrement comprimée :

$$A'_1 = A'_2 = A'$$



$$B_G = bht + 2nA'$$

$$I_G = \frac{bh_L^3}{12} + 2nA'(ht/2 - d')^2$$

$$\sigma'_{b_1} = \frac{N'}{B_G} + \frac{M_{ext}}{I_G} (ht/2) \stackrel{?}{\leq} \bar{\sigma}'_b$$

$$\sigma'_{B2} = \frac{N'}{B_G} - \frac{M_{ext}}{I_G} \left(h_t/2 \right)$$

$$\sigma_{\bar{a}1}' = m \left(\frac{N'}{B_G} + \frac{M_{ext}}{I_G} (h_{t/2} - d') \right) \stackrel{?}{\leq} \bar{\sigma}_{\bar{a}}$$

$$G_a' = n \left(\frac{N'}{B_G} - \frac{M_{ext}}{I_G} (ht/2 - d') \right)$$

Pourcentage minimum :

$$A_{\min} \geq \frac{1,25}{1000} \theta_1 \theta_2 \theta_3 \frac{\sigma_m}{\bar{\sigma}_{b_0}} B.$$

θ_1 : coefficient qui tient compte de l'excentricité de la charge

$\theta_1 = 1,8$ pour un poteau d'angle

$\theta_1 = 1,4$ pour un poteau de rive

$\theta_1 = 1,0$ pour un poteau central.

θ_2 : coefficient qui dépend de la longueur de flambement du poteau.

$$\theta_2 = 1 + \frac{lc}{4a - 2c}$$

a: plus petite dimension transversale
C: enrobage des aciers.

θ_3 : coefficient qui dépend de la nuance des aciers utilisés

$$\theta_3 = 1 + \frac{2160}{\sigma_{en}} = 1 + \frac{2160}{4120} = 1,514. \text{ pour les aciers utilisés dans notre cas}$$

σ_m : contrainte moyenne de compression du béton

$$\sigma_m' = \frac{N}{BX} \quad x = \bar{x}h = \frac{n\bar{\sigma}_b'}{n\bar{\sigma}_b' + \bar{\sigma}_a} h. \quad h: \text{hauteur utile.}$$

Ferraillage en compression simple:

La section d'armatures longitudinales doit vérifier:

$$1) \quad Al \geq \frac{1,25}{1000} \theta_1 \theta_2 \theta_3 \frac{N'}{\bar{\sigma}_{b_0}}$$

N' : effort normal de compression.

$$2) \quad Al \geq \left(\frac{N}{\bar{\sigma}_{b_0}} - B \right) \quad B: \text{section du poteau.}$$

$$3) \quad Al \geq \frac{B}{100} \quad \text{et} \quad Al \leq \frac{B}{25} \quad (\text{RPA 81})$$

Flambement des poteaux:

La longueur de flambement (l_c) est déterminée en fonction de la longueur du poteau l_0 et de la liaison de ses extrémités

l_0 : hauteur entre 2 planchers (CCBA 68)

$$l_c = \begin{cases} 0,7 l_0 & \text{pour un pilier d'un bâtiment à étages multiples est à ses extrémités :} \\ & * \text{ encastré dans un massif de fondation} \\ & * \text{ assemblé à des poutres du plancher ayant au moins même rigidité que lui et le traversant de part et d'autres.} \\ 0,9 l_0 & \text{pour les autres cas.} \end{cases}$$

l'élancement du poteau est donné par

$$\lambda = \frac{l_c}{i} \quad i: \text{rayon de giration} \quad i = \sqrt{\frac{I}{B}}$$

Pour notre cas les poteaux sont carrés \Rightarrow

$$i = \frac{a}{\sqrt{12}} \quad \text{d'où} \quad \lambda = \frac{l_c \sqrt{12}}{a},$$

• Si $\lambda < 50$ les poteaux sont justifiés en compression simple sans qu'il soit tenu compte de l'effet de leur déformations transversales

On ne tiendra pas compte de l'effet de flambement puisque pour notre cas $\lambda < 25$.

Calcul des armatures transversales:

Les armatures transversales disposées dans les poteaux jouent un triple rôle :

- * permettent la position verticale des barres
- * Empêchent l'éclatement du béton.
- * s'opposent au flambement des poteaux.

Remarque :

Il est préférable d'utiliser des ronds lisses (puisque ces armatures possèdent un palier plastique plus important que les aciers à haute adhérence).

Art 4.2.3.1.2 (RPA 81):

- Les armatures transversales des poteaux sont calculées avec la formule suivante :

$$A_t = \frac{1,25 T_c \cdot t}{h_1 \text{ cent}}$$

$T_c = 2$ fois l'effort tranchant de calcul pour $\lambda \geq 15$

$T_c = 3$ fois l'effort tranchant de calcul pour $\lambda < 15$

- L'effort tranchant de calcul est donné par

$$T = \frac{M^{\text{sup}} + M^{\text{inf}}}{h_e}$$

Pourcentage minimales des armatures transversales :

$$A_{t\min} = 0,004 t b \text{ en zone II.}$$

Espacement des armatures transversales :

- * Dans la zone nodale y compris la hauteur du nœud Zone II $t \leq \min \{ 10 \phi l, 15 \text{ cm} \}$

Zone courante : $t \leq 12 \phi l$.

ϕl : la valeur de ϕl est celle du plus petit diamètre dans le cas d'emploi de diamètre différent pour les aciers longitudinaux.

Ant 4.2.3.1.1: (RPA 81)

- 1- Les armatures longitudinales doivent être des barres à haute adhérence
- 2- Les barres verticales doivent être droites sans crochets
- 3- Le pourcentage minimum est de 1% pour les armatures longitudinales (Zone II) sans toutefois dépasser 4% pour $\sigma_{28} \leq 270$ bars.
- 4- Le diamètre minimum est de
14 mm en zone II
- 5- la longueur minimale de recouvrement est de 50ϕ en Zone II.
- 6- Les distances entre les barres verticales pour un face du poteau ne doit pas dépasser 25 cm en zone II.

Armatures transversales: (portique E)
Efforts tranchants dans les poteaux:

$$T = \frac{M_{\text{sup}} + M_{\text{inf}}}{h_e}$$

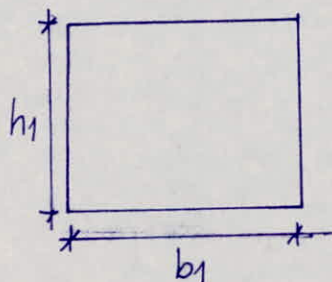
$$\text{si } \lambda \geq 15 \Rightarrow T_c = 2T$$

$$\text{si } \lambda < 15 \Rightarrow T_c = 3T$$

file	niv	pot	Sens transversal	sens longitudinal	he (cm)	λ élançemt	T(t)	Tc(t)	Tcum ^(t)
			Msup(tm)	Minf(tm)					
file A	7	1-4	3,173	1,707	3,186	1,714	265 22,52	1,85	3,70
	6	4-7	5,412	3,608	5,442	3,628	= 22,52	3,42	6,84
	5	7-10	6,976	5,704	7,009	5,731	= 19,70	4,81	9,62
	4	10-13	7,960	7,970	8,015	8,015	= 17,51	6,05	12,10
	3	13-16	9,455	9,455	9,515	9,515	= 15,76	7,18	14,36
	2	16-19	10,655	10,655	10,725	10,725	= 14,36	8,09	16,18
	1	19-22	12,057	18,085	12,146	18,919	355 17,18	8,55	17,10
file B	7	2-5	3,966	2,134	3,633	1,955	265 22,52	2,30	4,60
	6	5-8	6,795	4,510	6,180	4,120	= 22,52	4,25	8,50
	5	8-11	8,720	7,130	7,962	6,510	= 19,70	5,98	11,96
	4	11-14	9,962	9,962	9,105	9,105	= 17,51	7,52	15,04
	3	14-17	11,819	11,819	10,802	10,802	= 15,76	8,92	17,84
	2	17-20	13,319	13,319	12,174	12,174	= 14,36	10,05	20,10
	1	20-23	15,071	22,607	13,775	20,662	355 17,18	10,61	21,22
file C	7	3-6	3,173	1,707	3,850	2,072	265 22,52	2,23	4,46
	6	6-9	5,412	3,608	6,543	4,362	= 22,52	4,12	8,24
	5	9-12	6,976	5,704	8,428	6,892	= 19,70	5,78	11,56
	4	12-15	7,970	7,970	9,637	9,637	= 17,51	7,27	14,54
	3	15-18	9,455	9,455	11,438	11,438	= 15,76	8,63	17,26
	2	18-21	10,655	10,655	11,892	12,892	= 14,36	9,72	19,44
	1	21-24	12,057	18,085	14,587	21,880	355 17,18	10,27	20,54

Armatures transversales: (portique D)

$$At \geq \frac{1,25 T_c \cdot t}{h_1 \sigma_{\text{tension}}}$$



Espacement admissible:

$$\phi l_{\min} = 14 \text{ mm.}$$

$$\text{Zone courante } t \leq 12 \phi l_{\min} = 12 \times 1,4 = 16,8 \text{ cm}$$

$$\text{Zone nodale } t \leq \min\{10\phi l_{\min} = 14; 15\} = 14 \text{ cm}$$

Nous maintenons un espacement constant $\bar{t} = 12 \text{ cm}$.

niv	$T_c(t)$	$h_1 = b_1$ (cm)	\bar{t} (cm)	At_{calcul}	$At_{\text{adopté}}$	
⑦	2,640	30	12	0,314.	$2T10 = 1,57$	1 Cadre
⑥	7,440	30	12	0,885	$2T10 = 1,57$	=
⑤	14,120	30	12	1,690.	$2T10 = 1,57$	=
④	22,84	35	12	2,330	$4T10 = 3,14$	1 Cadre + 1 épingles
③	33,20	40	12	2,960	$4T10 = 3,14$	=
②	44,96	45	12	3,570.	$4T10 = 3,14$	=
①	57,36	50	12	4,09	$6T10 = 4,71$	1 Cadre + 2 épingles

$$At_{\min} = 0,004 t b \text{ en Zone II.}$$

niv	$h_1 = b_1$ (cm)	At_{\min} (cm ²)	$At_{\text{adopté}}$ (cm ²)
⑦	30	1,44	1,57
⑥	30	1,44	1,57
⑤	30	1,44	1,57
④	35	1,68	3,14
③	40	1,92	3,14
②	45	2,16	3,14
①	50	2,40	4,71

. Armatures transversales: (Portique D)

. Efforts tranchants dans les poteaux:

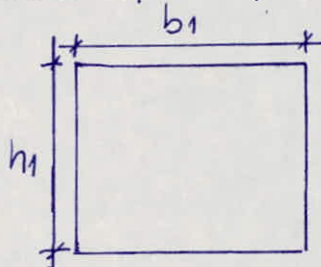
$$T = \frac{M_{\text{sup}} + M_{\text{inf}}}{h_e}$$

* $\lambda > 15$ pour tous les cas $\Rightarrow T_c = 2T$ (Art. 1.1.1)

file	niv	pot	sens transversal	sens longitudinal	(cm) h _e	$\lambda_{\text{élançem}}$	T(t)	T _c (t)	T _{sum} (t)	
			M _{sup} (tm)	M _{inf} (tm)						
A	⑦	1-5	1,845	0,993	2,404	1,294	280	26,27	1,32	2,64
	⑥	5-9	3,089	2,060	4,028	2,685	=	26,27	8,40	4,80
	⑤	9-13	4,009	3,278	5,220	4,269	=	26,27	3,39	6,78
	④	13-17	4,637	4,637	6,040	6,040	=	22,52	4,31	8,62
	③	17-21	5,568	5,568	7,254	7,254	=	19,70	5,18	10,36
	②	21-25	6,319	6,319	8,231	8,231	=	17,51	5,88	11,76
	①	25-29	7,132	10,699	9,294	13,940	375	20,61	6,20	12,40
B	⑦	2-6	2,307	1,241	2,279	1,227	280	26,27	1,26	2,52
	⑥	6-10	3,862	2,575	3,820	2,547	=	26,27	2,30	4,60
	⑤	10-14	5,011	4,098	4,955	4,052	=	26,27	3,25	6,50
	④	14-18	5,796	5,796	5,729	5,729	=	22,52	4,14	8,28
	③	18-22	6,960	6,960	6,879	6,879	=	19,70	4,97	9,94
	②	22-26	7,899	7,899	7,805	7,805	=	17,51	5,64	11,98
	①	26-30	8,916	13,373	8,812	13,812	375	20,61	5,97	11,88
C	⑦	3-7	2,307	1,241	2,318	1,249	280	26,27	1,27	2,54
	⑥	7-11	3,862	2,575	3,883	2,589	=	26,27	2,31	4,62
	⑤	11-15	5,011	4,098	5,034	4,116	=	26,27	3,27	6,54
	④	15-19	5,796	5,796	5,820	5,820	=	22,52	4,16	8,32
	③	19-23	6,960	6,960	6,990	6,990	=	19,70	4,99	9,98
	②	23-27	7,899	7,899	7,930	7,930	=	17,51	5,66	11,32
	①	27-31	8,916	13,373	8,954	13,430	375	20,61	5,97	11,94
D	⑦	4-8	1,845	0,993	1,955	1,052	280	26,27	1,05	2,14
	⑥	8-12	3,089	2,060	3,280	2,187	=	26,27	1,95	3,90
	⑤	12-16	4,009	3,278	4,254	3,478	=	26,27	2,76	5,52
	④	16-20	4,637	4,637	4,921	4,921	=	22,52	3,52	7,04
	③	20-24	5,568	5,568	5,910	5,910	=	19,70	4,22	8,44
	②	24-28	6,319	6,319	6,704	6,704	=	17,51	4,79	9,58
	①	28-32	7,132	7,132	7,575	11,362	375	20,61	5,05	10,10

Armatures transversales : (portique E).

$$At \geq \frac{1,95 T_c \times t}{h_1 \text{ Oent}}$$



Espacement admissible :

$$\phi l_{\min} = 14 \text{ mm.}$$

Zone courante $t \leq 12 \phi l_{\min} = 12 \times 1,4 = 16,8 \text{ cm.}$

Zone modale $t \leq \min \{ 10 \phi l_{\min} = 14 ; 15 \text{ cm} \} = 14 \text{ cm.}$

Soit un espacement constant $\bar{t} = 12 \text{ cm.}$

niv	$T_c(t)$	$h_1 = b_1$ (cm)	\bar{t}	$A_{t\text{cal}}$ (cm²)	$A_{t\text{adopté}}$ (cm²)	
⑦	4,60	35	12	0,470	$4T10 = 3,14$	1 Cadre + 1 epingle
⑥	13,10	35	12	1,340	$4T10 = 3,14$	\equiv
⑤	25,06	40	12	2,935	$4T10 = 3,14$	\equiv
④	40,10	45	12	3,183	$4T10 = 3,14$	\equiv
③	57,94	50	12	4,138	$6T10 = 4,71$	1 Cadre + 2 epingles
②	78,04	55	12	5,06	$6T10 = 4,71$	1 Cadre + 2 epingles
①	99,26	60	12	5,90	$6T10 = 4,71$	2 Cadres + 1 epingle

$A_{t\min} = 0,004 t b$ Zone II.

niv	$h_1 = b_1$ (cm)	$A_{t\min}$ (cm²)	$A_{t\text{adopté}}$ (cm²)
⑦	35	1,68	3,14
⑥	35	1,68	3,14
⑤	40	1,92	3,14
④	45	2,16	3,14
③	50	2,40	4,71
②	55	2,64	4,71
①	60	2,88	4,71

FONDATIONS

FONDATIONS

Fondations

Introduction :

A la demande de l'ERCA le LNC a entrepris l'étude géotechnique du terrain sur lequel sera implanté l'ouvrage que nous étudions. (05) essais penetrométriques ont été réalisés jusqu'au refus et (02) sondages carottés de 9,0 m de profondeur à partir desquels des échantillons intacts ont été prélevés et étudiés. d'après la carte géologique au 1/50000, feuille h: 21-83-C17 d'Alger le terrain se trouve sur une zone composée d'alluvions anciennes du pléistocène.

Essais au penetromètre dynamique :

- but de l'essai : cet essai a trois buts principaux
 - Donner une idée rapide de la résistance opposée par le sol en fonction de la profondeur.
 - détecter d'éventuelles anomalies (cavernes,...)
 - Obtenir le niveau précis du premier horizon dur rencontré.
- Principe de l'essai : l'opération de penetration dynamique consiste en l'enfoncement dans le sol d'un train de tiges par l'action d'un mouton de masse (M), tombant respectivement d'une hauteur fixe (H), la tige commence à s'enfoncer sous les coups simultanés du mouton. on enregistre alors le nombre de coups (N) nécessaires à obtenir un enfoncement de longueur fixée (L).
- Exploitation des résultats : grâce à l'analogie avec les pieux battus on peut appliquer à ces essais la formule dite des hollandais pour calculer la résistance de pointe R_p , en fonction de la profondeur.

$$R_p = \frac{N}{L} \cdot \frac{M^2 H}{(P+M)} \cdot \frac{1}{A}$$

expression dans laquelle :

M = Masse du mouton = 63,5 kg.

P = Masse des tiges + Mandrin en (kg).

H = Hauteur de chute en (cm)

A = Section de la pointe en (cm^2)

L = Enfoncement de référence = 20 cm.

N = Nombre de coups nécessaires pour l'enfoncement L .

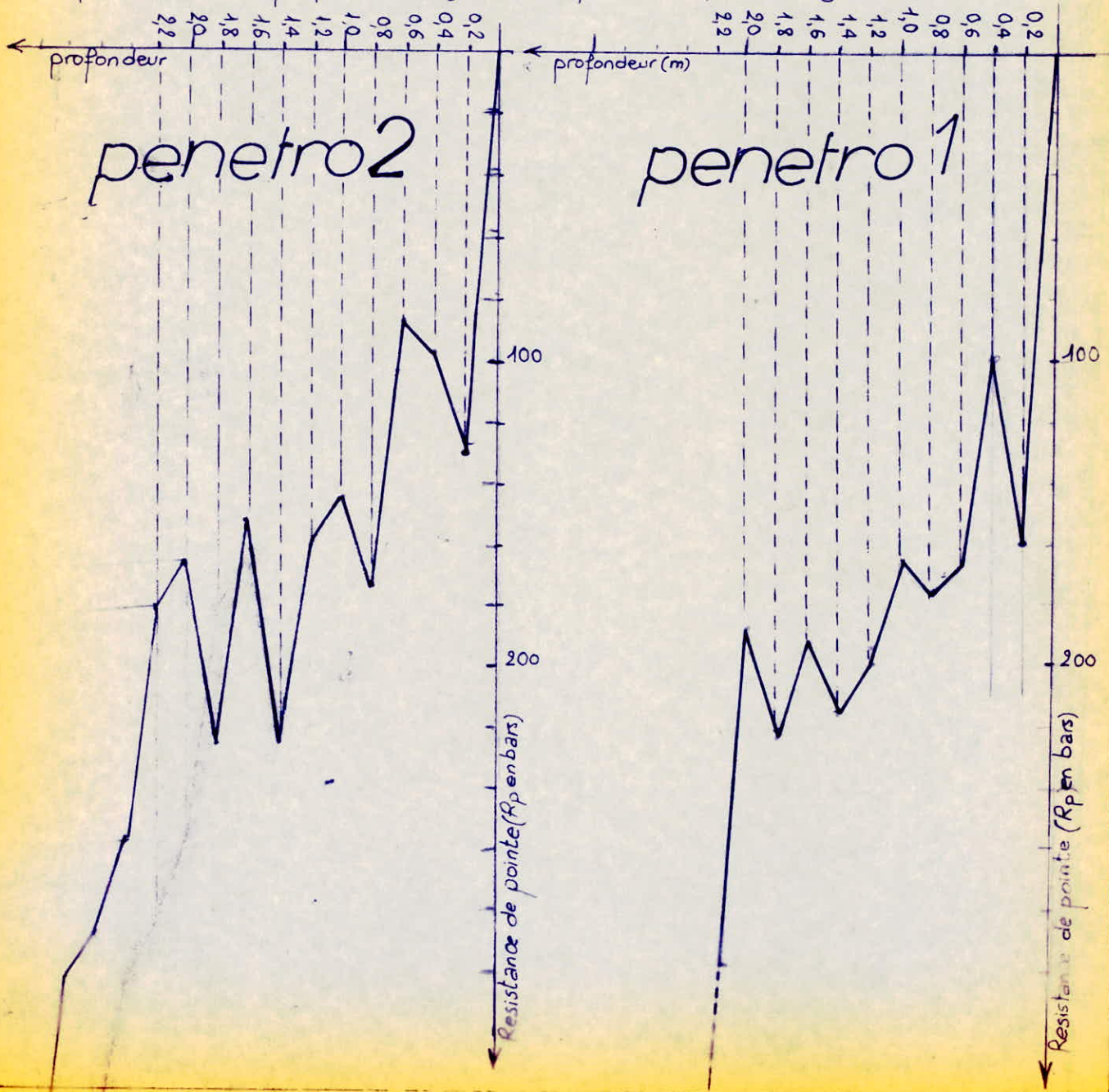
Les diagrammes de résistance à la penetration dynamique (R_p) sont représentés suivant la profondeur par les courbes ci-dessous.

Remarque:

les résultats obtenus par le penetromètre dynamique peuvent être faussés par plusieurs facteurs dont le plus important est qu'une proportion variable et malheureusement inconnue du frottement lateral s'ajoute à la résistance à la pointe car il n'est pratiquement pas possible de mesurer séparément au cours de ces essais l'effort de pointe et le frottement lateral, ce qui conduit naturellement à rechercher un procédé de mesure plus précis qui dissocie sans erreur importante les deux effets, c'est le penetromètre statique dont la vitesse d'enfoncement est lente ($0,5 \div 2 \text{ cm/s}$) et qui sont conçus pour mesurer séparément la réaction des couches traversées sous la pointe et le frottement lateral sur les tubes entourant la tige centrale. mais ceci n'a pas été réalisé par le L.N.H.C.

Interpretation des résultats:

Les diagrammes des résistances de pénétration dynamique montrent que la profondeur de refus est à $(3,0 \text{ m})$ où l'enfoncement devient très difficile et qu'à $(2,0 \text{ m})$ de profondeur déjà le sol penetré offre une grande résistance.



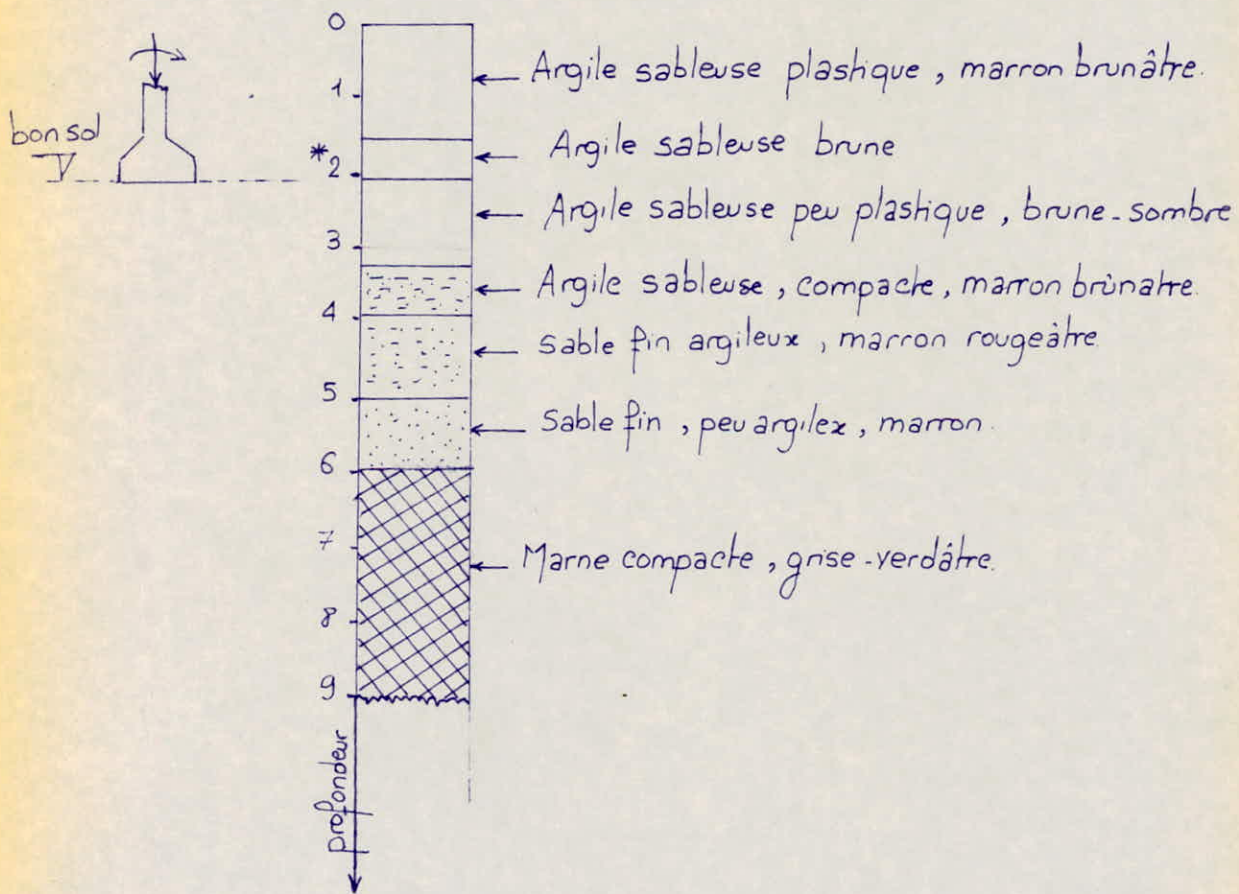
Comme on peut le remarquer , du point de vue des valeur de la resistance à la penetration on peut remarquer que celles ci sont toutes superieures à 150bars à partir de (1,0m) de profondeur et qu'à (2,0m) nous avons :

penetrometre dynamique 1 : $R_{P1} = 188 \text{ bars}$
 penetrometre dynamique 2 : $R_{P2} = 165 \text{ bars}$

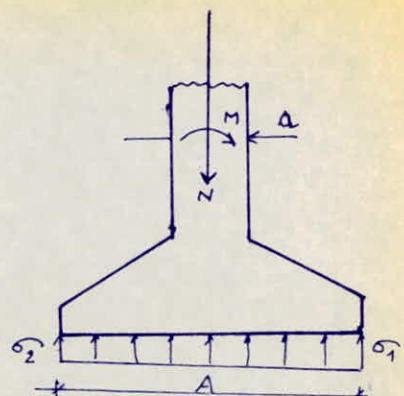
ces resistances correspondent à un taux de travail admissible $\bar{\sigma} = \frac{R_p}{30}$ si nous tenons compte d'un coeff réducteur de ($\frac{1}{30}$) qui depend en fait des caractéristiques du penetrometre et on peut dire aussi que c'est une règle de bonne pratique - c'est ceci étant nous aurons alors .

$$\bar{\sigma} = \text{Min} \left(\frac{R_{P1}}{30}, \frac{R_{P2}}{30} \right) = \frac{165}{30} = 5,5 \text{ bars}$$

- Sondage: l'assise du bâtiment étudié a été touché uniquement par les deux essais décrits ci dessus et le sondage a partir duquel des échantillons intacts et paraffinés ont été étudiés :



d'après ces résultats (penetrometre - sondage) nous avons décidé de fonder l'ouvrage à (2,0m) (profondeur à laquelle toutes les fondations seront basées)
 Nous estimons aussi que cette profondeur assure un bon ancrage à la superstructure déjà calculée



• Semelle isolée :

Les efforts sont $\begin{cases} SP_1 \rightarrow N = 61,819t, M = 2,494tm \\ SP_2 \rightarrow N = 83,844t, M = 24,140tm \end{cases}$

poteau $a \times b = 60 \times 60$

Nous adopterons une semelle homothétique au poteau

$$\frac{A}{B} = \frac{a}{b} = 1 \Rightarrow A = B \text{ (carree).}$$

- Calcul :

• Nous voulons que tout le sol sous la fondation soit comprimé (diagramme trapézoïdal).

$$\Rightarrow e = \frac{M}{N} < \frac{A}{6} \Rightarrow A > \frac{6M}{N}$$

$$\text{soit } \begin{cases} SP_1 \rightarrow A > \frac{6 \times 2,494 \times 10^5}{61,819 \times 10^3} = 24,21 \text{ cm} \\ SP_2 \rightarrow A > \frac{6 \times 24,140 \times 10^5}{83,844 \times 10^3} = 172,75 \text{ cm} \end{cases} \Rightarrow A > 1,73 \text{ m} \quad (1)$$

donc pour avoir un diagramme trapézoïdal il faut que l'inéquation soit réalisée.
ceci étant.

$$\sigma_{1,2} = \frac{N}{A \cdot B} \pm \frac{Mv}{I} \quad \text{avec } v = \frac{A}{2} \quad I = \frac{BA^3}{12} = \frac{A^4}{12}$$

$$= \frac{N}{A^2} \pm \frac{Ne \cdot A/2}{A^4/12} \Rightarrow \sigma_{1,2} = \frac{N}{A^2} \left[1 \pm \frac{6e}{A} \right]$$

$$\sigma\left(\frac{A}{4}\right) = \frac{\sigma_2 + 3\sigma_1}{4} = \frac{1}{4} \left[\frac{N}{A^2} \left(1 - \frac{6e}{A} \right) + 3 \frac{N}{A^2} \left(1 + \frac{6e}{A} \right) \right]$$

$$\Rightarrow \sigma\left(\frac{A}{4}\right) = \frac{N}{4A^2} \left[4 + \frac{12e}{A} \right] \ll \bar{\sigma}_s \quad (2)$$

$$\text{avec } \bar{\sigma}_s = \gamma_d + \frac{\gamma_d N_g + \gamma_d D(N_g - 1) + (1 + 0,3 \frac{B}{A}) C N_c}{F_s} ; \quad F_s = \frac{B}{2(1 + \frac{B}{A})}$$

dans cette expression nous avons :

γ_d : poids spécifique du sol humide.

D : Ancrage de la fondation ($= 2,00m$)

N_g , N_q , N_c paramètres sans dimensions en fonction de l'angle de frottement φ :

C : Cohésion du sol sur lequel sont basées les fondations.

F_s : Coeffi de sécurité (en général pris égal à 3).

dans notre cas :

$$\gamma = \gamma_d (1 + w) \quad \gamma_d : \text{poids volumique sec} = 1,73 \text{ t/m}^3 \quad w : \text{teneur en eau naturelle} = 14,4\% \Rightarrow \gamma = 1,73(1 + 0,144) = 1,98 \text{ t/m}^3$$

$$\varphi = 20^\circ \Rightarrow \text{d'après Caquot}$$

$$N_g = 4,97 \text{ terme de surface.} = \frac{1}{2} \left[k_p \frac{\cos(\frac{\pi}{4} - \frac{\varphi}{2})}{\cos^2(\frac{\pi}{4} + \frac{\varphi}{2})} \cdot \operatorname{tg}(\frac{\pi}{4} + \frac{\varphi}{2}) \right]$$

$$N_q = 6,40 \text{ terme de profondeur} = \operatorname{tg}^2(\frac{\pi}{4} + \frac{\varphi}{2}) e^{\pi \operatorname{tg} \varphi}$$

$$N_c = 14,80 \text{ terme de cohésion} = \frac{N_g - 1}{\operatorname{tg} \varphi}$$

$$C = 0,2 \text{ t/cm}^2 = 2 \text{ t/m}^3 ; \quad \text{poutrelle carrée} \Rightarrow F_s = 0,25A$$

$$\text{d'où } \bar{\sigma}_s = \gamma D + \frac{0,25A\gamma N_g + \gamma D(N_g - 1) + 1,3CN_c}{3}$$

$$= 1,98 \cdot 2 + \frac{0,25A \cdot 1,98 \cdot 4,97 + 1,98 \cdot 2(6,4 - 1) + 1,3 \cdot 2 \cdot 14,8}{3}$$

$$\Rightarrow \boxed{\bar{\sigma}_s = (0,820A + 23,915) t/m^2} \quad \text{pour } \bar{\sigma}_s = \frac{(0,820A + 23,915)}{10} \text{ kg/cm}^2$$

dans ces conditions l'inéquation (2) devient alors.

$$\sigma\left(\frac{A}{4}\right) = \frac{N}{4A^2} \left[4 + \frac{12e}{A}\right] \leq (0,820A + 23,915) = \bar{\sigma}_s \quad (3)$$

c'est une inéquation du 3^e degré qui va être résolue par itérations successives.

- Sous SP1 : $N = 61,819t$, $M = 2,494tm \Rightarrow e = \frac{M}{N} = 0,040m$

$$(3) \Rightarrow \frac{61,819}{4A^2} \left[4 + \frac{12 \cdot 0,040}{A}\right] \leq (0,820A + 23,915) = \bar{\sigma}_s$$

Après plusieurs itérations $A = 1,65m$.

- Sous SP2 : $N = 83,844$, $M = 24,140tm \Rightarrow e = \frac{M}{N} = 0,288m$.

$$(3) \Rightarrow \frac{83,844}{4A^2} \left[4 + \frac{12 \cdot 0,288}{A}\right] \leq 1,3(0,820A + 23,915) = 1,3\bar{\sigma}_s$$

Après plusieurs itérations $A = 1,95$.

en conclusion donc on prendra $\underbrace{A = 2,00m}_{\substack{\text{condition} \\ (\text{rupture})}} > \underbrace{1,95}_{\substack{\text{diag trapez}}} > \underbrace{1,73}_{\substack{\text{diag trapez}}}$.

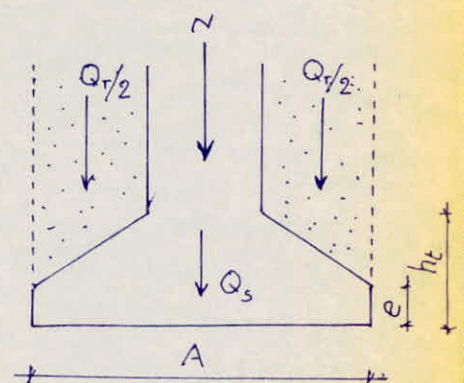
• pour justifier la réaction du sol linéaire il faut qu'on aie une semelle assez rigide ce qui est traduit par : $h \geq \frac{200 - 50}{4} = 37,5$ on prendra $h = 45 \Rightarrow h_t = 45cm$

• épaisseur de la semelle : $e \geq 6\phi + 6$ $\phi = 20mm$ diamètre de la plus grosse barre
soit $e \geq 6 \cdot 2,0 + 6 = 18cm$ on prendra $e = 20cm$.

Verification des contraintes dans le sol :

pour la vérification des contraintes dans le sol nous ajouterons à l'effort normal ramené de la superstructure le poids propre de la semelle (Q_s) et le poids des terres (Q_T).

$$Q_s + Q_T \approx 11,50t$$



- Vérification au premier genre :

$$(N' = 61,819 + 11,500 = 73,319 \text{ t} ; M = 2,494 \text{ tm})$$

$$A = 2,00 \text{ m} \Rightarrow \bar{\sigma}_s = 0,820 \cdot 2 + 23,915 = 25,555 \text{ t/m}^2 \approx 2,56 \text{ kg/cm}^2.$$

$$\text{Comme } A = 200 \text{ cm} > \frac{6M}{N'} = \frac{6 \cdot 2,494 \cdot 10^5}{73,319 \cdot 10^3} = 20,41 \text{ cm} \Rightarrow \text{diag trapez } (\text{OK})$$

$$e = \frac{M}{N'} = 3,40 \text{ cm}.$$

$$\Rightarrow \sigma\left(\frac{A}{4}\right) = \frac{N'}{4A^2} \left[4 + \frac{12e}{A} \right] = \frac{73319}{4 \cdot 200^2} \left[4 + \frac{12 \cdot 3,40}{200} \right] = 1,93 \text{ kg/cm}^2 < \bar{\sigma}_s = 2,56 \text{ kg/cm}^2.$$

- Vérification au deuxième genre :

$$(N' = 83,844 + 11,5 = 95,344 \text{ t} ; M = 24,140 \text{ tm})$$

$$e = \frac{M}{N'} = 25,32 \text{ cm} < \frac{A}{6} = \frac{200}{6} = 33,33 \text{ cm} \Rightarrow \text{tout le pol est comprimé.}$$

$$\bar{\sigma}_s = 1,3 \cdot 2,56 = 3,33 \text{ kg/cm}^2.$$

$$\sigma\left(\frac{A}{4}\right) = \frac{N'}{4A^2} \left[4 + \frac{12e}{A} \right] = \frac{95344}{4 \cdot 200^2} \left[4 + \frac{12 \cdot 25,32}{200} \right] = 3,29 \text{ kg/cm}^2 < \bar{\sigma}_s = 3,33 \text{ kg/cm}^2$$

Vérification du poinçonnement :

$$\text{caquot : } h_t - d \geqslant 1,44 \sqrt{\frac{N}{\bar{\sigma}_{b'}}}$$

$$1,44 \sqrt{\frac{N}{\bar{\sigma}_{b'}}} = 1,44 \sqrt{\frac{61819}{68,5}} = 43,26 \text{ cm} < h_t - d = 50 - 5 = 45 \text{ cm vérifié}$$

ferraillage de la semelle : puisqu'on a une semelle rigide on peut utiliser la méthode des bielles :

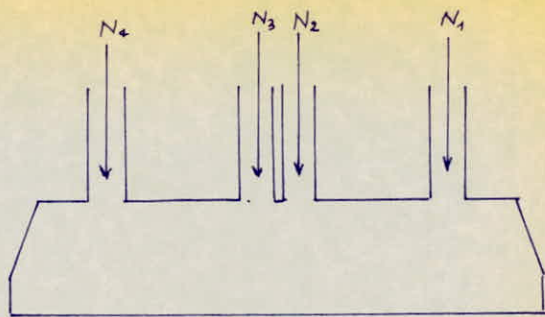
$$\begin{aligned} F_{\max} &= \frac{Q(A-a)}{8h} & Q &= \sigma\left(\frac{A}{4}\right) \times A \times B = 1,93 \cdot 200 \cdot 200 = 77200 \text{ kg} \\ &= \frac{77200(200-50)}{8 \cdot 45} = 32167 \text{ kg.} \end{aligned}$$

$$\Rightarrow A = \frac{F_{\max}}{\bar{\sigma}_a} = \frac{32167}{2800} = 11,45 \text{ cm}^2 \text{ pour 8T14 = } 12,31 \text{ cm}^2.$$

pour l'autre sens on adoptera le même ferraillage car les moments M_y sont du même ordre de grandeur (Légèrement inférieur)

- Semelle continue sous poteaux.

$$\begin{aligned} N_1 &= 137,215 \text{ t} ; M_1 = 0,417 \text{ tm} \\ N_2 &= 55,170 \text{ t} ; M_2 = 1,148 \text{ tm} \\ N_3 &= 57,106 \text{ t} ; M_3 = 0,891 \text{ tm} \\ N_4 &= 129,464 \text{ t} ; M_4 = 1,118 \text{ tm} \end{aligned}$$



$$P, 3,60, 0,55, 3,60, \ell$$

- Réaction du sol ??

Nous voulons que la semelle continue sous poteaux travaille sous des contraintes linéairement réparties, pour cela elle doit être suffisamment rigide pour ne pas se comporter comme une poutre sur sol élastique avec une réaction non linéaire.

en fait le calcul de la longueur élastique nous permet de connaître la loi de répartition des contraintes.

$$l_e = \sqrt{\frac{4EI}{KB}}$$

I est l'inertie de la semelle.

E module d'élasticité du béton = $2,1 \times 10^6 \text{ t/m}^2$.

K coeff de raideur du sol = $0,5 \rightarrow 12 \text{ kg/cm}^3$.

pour un sol moyen $K = 4 \text{ kg/cm}^3 = 4 \times 10^3 \text{ t/m}^3$.

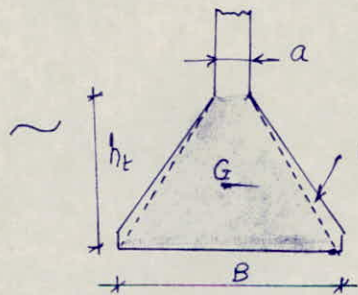
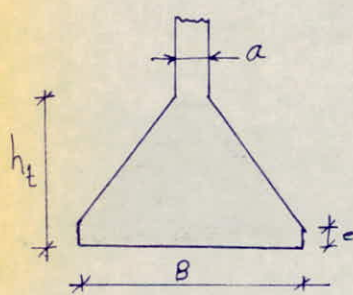
B largeur de la semelle.

soit $P = 3,60$ la longueur de la poutre ou écartement des charges qui la sollicitent

si $P \leq \frac{\pi}{2} l_e \rightarrow$ le calcul se fait avec une répartition linéaire et il n'y a pas lieu de faire des calculs relatifs à la poutre sur sol élastique.

si $P > \frac{\pi}{2} l_e \rightarrow$ la répartition des contraintes n'est plus linéaire et le calcul devra être effectué conformément à la théorie de la poutre sur sol élastique.

que la condition ci-dessus soit satisfait il faut bien choisir B et h_t car ce sont les seuls paramètres qu'on peut toucher.



$$I_{GG'} = \frac{h_t^3}{36(B+a)} (B^2 + 4aB + 3a^2)$$

Condition de non poinçonnement :

$$h_t - d \geq 1,44 \sqrt{\frac{P}{\sigma_{65}}} = 1,44 \sqrt{\frac{137,215 \cdot 10^3}{68,5}} = 64,45 \text{ cm}$$

$$\Rightarrow h = 65 \text{ cm} \text{ et } h_t = 70 \text{ cm.}$$

$$\Rightarrow I_{GG'} = \frac{0,70^3}{36(B+0,5)} (B^2 + 4 \cdot 0,5 B + 3 \cdot 0,5^2) = \frac{0,34 B^2 + 0,69 B + 0,26}{36 B + 18} (\text{m}^4)$$

$$\Rightarrow l_e = \sqrt[4]{\frac{4EI}{KB}} = \sqrt[4]{\frac{4 \cdot 2,1 \cdot 10^6 \cdot (0,34 B^2 + 0,69 B + 0,26)}{4 \cdot 10^3 B (36 B + 18)}} \quad \dots (1)$$

$$l \leq \frac{\pi}{2} l_e \Rightarrow l^4 \leq \left(\frac{\pi}{2}\right)^4 l_e^4 \Rightarrow 3,6^4 \leq \left(\frac{\pi}{2}\right)^4 \cdot 2,1 \cdot 10^3 \cdot \frac{0,34 B^2 + 0,69 B + 0,26}{B (36 B + 18)}$$

$$\Rightarrow 3,6^4 B (36 B + 18) \leq 10^3 (4,35 B^2 + 8,84 B + 3,33)$$

$$\Rightarrow -1696,6 B^2 + 5816,7 B + 3330 \geq 0$$

$$\Rightarrow [-B^2 + 3,42 B + 1,96] \geq 0 \quad \dots (2)$$

Cette inéquation traduit le fait suivant :

Si nous choisissons (B) parmi les solutions de l'inéquation (1) alors il n'y a pas lieu de faire des calculs relatifs à une poutre sur sol élastique.

$$(1) \Rightarrow \Delta = 19,54 \Rightarrow \sqrt{\Delta} = 4,42 \rightarrow B = \frac{-3,42 - 4,42}{2(-1)} = 3,92 \text{ m.}$$

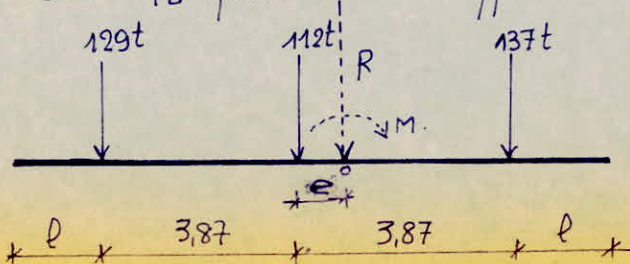
$$(2) \text{ pas faite} \Leftrightarrow B \leq 3,92 \text{ m} \quad \text{on prend } B = 2,00 \text{ m} < 3,92 \text{ m}$$

Vérification :

$$(1) \Rightarrow l_e = \sqrt[4]{\frac{4EI}{KB}} = \sqrt[4]{\frac{4 \cdot 2,1 \cdot 10^6 \cdot (0,34 \cdot 2,0^2 + 0,69 \cdot 2,0 + 0,26)}{4 \cdot 10^3 \cdot 2,0 (36 \cdot 2,0 + 18)}} = 2,59 \text{ m}$$

$$\Rightarrow \frac{\pi}{2} l_e = 4,07 \text{ m} \quad \text{on a bien } l = 3,60 < \frac{\pi}{2} l_e = 4,07 \text{ m}$$

Nous pouvons supposer une réaction linéaire.
car la poutre est suffisamment rigide.



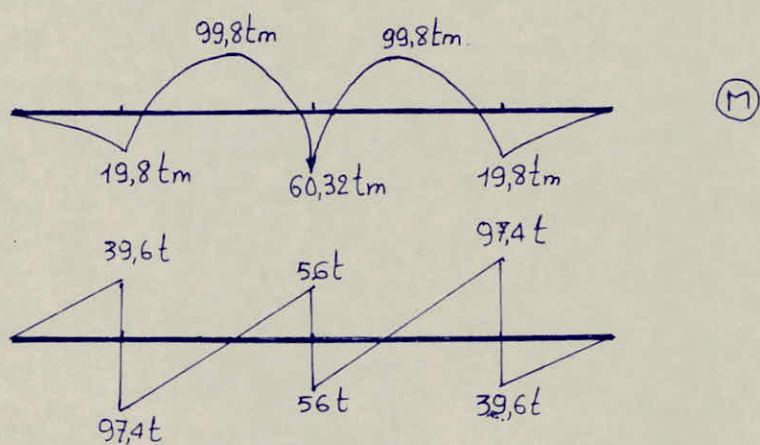
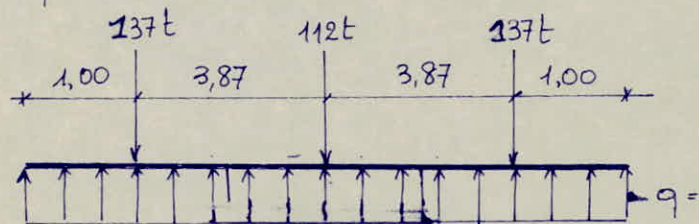
on remarque que l'excentricité de la résultante est faible.

$$e = 0,09 \text{ m.}$$

$$\text{pour } l = 1,00 \text{ m} \Rightarrow L = 9,75 \text{ m} \Rightarrow \sigma = \frac{N_1 + N_2 + N_3 + N_4}{B \times L} = \frac{378955}{200 \cdot 1,95} = 1,9 \text{ kg/cm}^2$$

$$\begin{aligned}\bar{\sigma}_s &= \gamma D + \frac{B}{2} \gamma N_d + \gamma D (N_g - 1) + 1,3 C N_c \\ &= 1,98 \cdot 2 + \frac{2,00/2 \cdot 1,98 \cdot 4,97 + 1,98 \cdot 2 \cdot (6,40 - 1) + 1,3 \cdot 2 \cdot 14,8}{3} \\ &= 3,96 + 23,23 = 27,19 \text{ t/m}^2 = 2,7 \text{ kg/cm}^2 \Rightarrow \sigma = 1,9 \text{ kg/cm}^2.\end{aligned}$$

• Efforts dans la poutre : le schéma statique est le suivant :



Calcul des armatures:

- Sections d'appui:

• Appui 1 et 3: $M = 19,8 \text{ t.m}$; $T = 97,4 \text{ t}$.

$$M_{rb} = \bar{\kappa} \alpha h^2$$

$$\bar{x} = \bar{\alpha} h \rightarrow \bar{\alpha} = \frac{m \bar{\sigma}_b'}{m \bar{\sigma}_b' + \bar{\sigma}_o} = \frac{15 \times 137}{15 \times 137 + 2800} = 0,423.$$

$$\beta = h - \frac{\bar{x}}{3} \rightarrow \bar{\gamma} = 1 - \frac{\bar{\alpha}}{3} = 1 - \frac{0,423}{3} = 0,859$$

$$\begin{aligned} M_{rb} &= \bar{\kappa} \alpha h^2 = \frac{1}{2} \bar{\sigma}_b' \bar{\alpha} \bar{\gamma} h^2 \\ &= \frac{1}{2} \cdot 137 \cdot 0,423 \cdot 0,859 \cdot 50 \cdot 65^2 \\ &= 5258002,7 \text{ kg cm} = 52,6 \text{ t.m.} \end{aligned}$$

$$M_{rb} = 52,6 \text{ t.m} > M_{ext} = 19,8 \text{ t.m} \Rightarrow A' = 0$$

$$\text{Aciers tendus} \rightarrow A = \frac{M}{\bar{\gamma} h \bar{\sigma}_o} = \frac{19,8 \times 10^5}{0,859 \times 65 \times 2800} = 12,66 \text{ cm}^2 \text{. on prend } 8T16 = 16,08 \text{ cm}^2.$$

• Appui 2: $M = 60,3 \text{ t.m}$; $T = 56 \text{ t}$.

$$52,6 = M_{rb} < M = 60,3 \Rightarrow A' \neq 0.$$

$$A' = \frac{\Delta M}{(h-d') \bar{\sigma}_o}, \quad \text{avec } \bar{\sigma}_o' = m \bar{\sigma}_b' \frac{\bar{\alpha}-\bar{\gamma}}{2} \quad \bar{\gamma} = \frac{d'}{h} = \frac{5}{65} = 0,08$$

$$\Rightarrow \bar{\sigma}_o' = 15 \times 137 \times \frac{0,423 - 0,08}{0,423} = 1666 \text{ kg/cm}^2$$

$$\Rightarrow A' = \frac{(60,3 - 52,6) \times 10^5}{(65-5) 1666} = 7,70 \text{ cm}^2 \rightarrow \text{on prend } 4T16 = 8,04 \text{ cm}^2$$

$$A = \frac{M_{rb}}{\bar{\gamma} h \bar{\sigma}_o} + A' \frac{\bar{\sigma}_o'}{\bar{\sigma}_o} = \frac{52,6 \times 10^5}{0,859 \cdot 65 \cdot 2800} + 7,70 \cdot \frac{1666}{2800} = 38 \text{ cm}^2.$$

soit $20T16 = 40,20 \text{ cm}^2$.

- Section en travée:

$$\text{travée (1-2)} = (2-3) \quad M = 99,8 \text{ t.m}$$

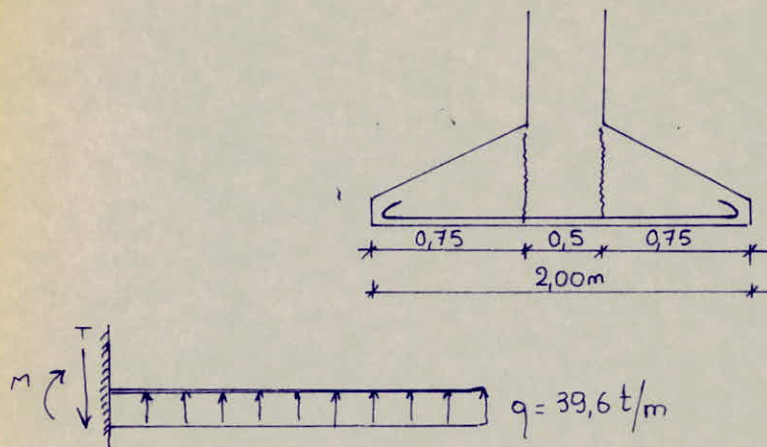
$$M_{rb} = 52,6 \text{ t.m} < M_{ext} = 99,8 \text{ t.m} \Rightarrow A' \neq 0$$

$$A' = \frac{\Delta M}{(h-d') \bar{\sigma}_o'} = \frac{(99,8 - 52,6) \times 10^5}{(65-5) 1666} = 47,2 \text{ cm}^2 \rightarrow 16T20 = 50,25 \text{ cm}^2$$

$$A = \frac{M_{rb}}{\bar{\gamma} h \bar{\sigma}_o} + A' \frac{\bar{\sigma}_o'}{\bar{\sigma}_o} = \frac{52,6 \times 10^5}{0,859 \cdot 65 \cdot 2800} + 47,2 \cdot \frac{1666}{2800} = 61 \text{ cm}^2 \rightarrow$$

$20T20 = 62,8 \text{ cm}^2$

. Armatures perpendiculaires à la poutre de rigidité:



$$M = \frac{q l^2}{2} = \frac{39,6 \times 0,75^2}{2} = 11,14 \text{ t.m.}$$

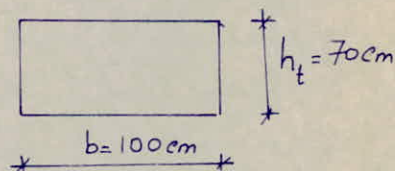
$$T = \frac{q l}{2} = \frac{39,6 \times 0,75}{2} = 14,85 \text{ t.}$$

en prenant une bande de (1m) — $b = 100 \text{ cm}$ $h = 65 \text{ cm.}$; $d = 5 \text{ cm.}$

$$M_{rb} > M_{et} \Rightarrow A' = 0$$

$$A = \frac{M_{et}}{8 h \bar{\sigma}_a} = \frac{11,14 \times 10^5}{0,859 \cdot 65 \cdot 2800}$$

$$= 7,13 \text{ cm}^2/\text{m} \Rightarrow \text{on prendra } 5 \text{ T14/m} \text{ soit } 7,69 \text{ cm}^2/\text{m}.$$



. Contrainte de cisaillement max:

$$\bar{\tau}_b^{max} = \frac{T}{b z} = \frac{14,85 \times 10^3}{100 \cdot \frac{7}{8} \cdot 65} = 2,49 \text{ kg/cm}^2 < \bar{\tau}_b = 3,5 \text{ kg/cm}^2 = 20,65 \text{ kp/cm}^2.$$

Nous utiliserons donc des armatures transversales perpendiculaire à la ligne moyenne.

(Voir feraillage).

LONGRINES

Les longrines sont placées au niveau des semelles qu'elles relient. Leur rôle est la rigidification de l'infrastructure, elles seront calculées pour résister à la traction ou à la compression sous l'action d'une fraction égale à 10% de l'effort normal max.

La longrine a une section 30×45 .
Elle est soumise à $N = \pm 10\% \times 137,215 = \pm 13,722 t$.

- en compression :

$$A' \geq \frac{1}{m} \left(\frac{N}{\sigma_b} - B \right)$$

$$A' = \frac{1}{15} \left(\frac{13,722}{68,5} - 30 \times 45 \right) < 0$$

- en traction :

$$A \geq \frac{N}{\sigma_a} = \frac{13,722 \times 10^3}{2800} = 4,90 \text{ cm}^2$$

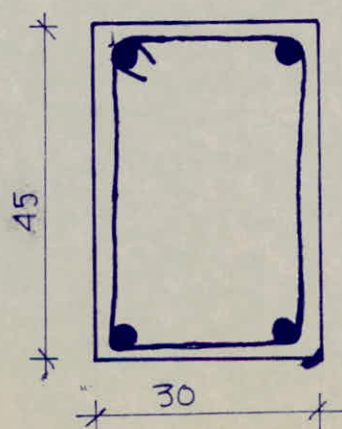
- Vérification de la condition de non fragilité

$$A \geq 0,69 b h \frac{\sigma_b}{\sigma_{en}}$$

$$A = 4,90 \stackrel{?}{>} 0,69 \times 30 \times 40 \times \frac{5,9}{4200} = 1,16 \text{ cm}^2 \text{ vérifiée}$$

on adoptera donc 4T14 ($A = 6,15 \text{ cm}^2$).

Pour les armatures transversales on adoptera un cadre T8 avec un espace de 20cm.



VOILE PERIPHERIQUE

Prescription RPA 81.

Les ossatures au dessous du niveau de base, formées de poteaux courts (notre cas 2,00m) doivent comporter un voile périphérique continu entre le niveau des fondations et le niveau de base en zone (II) et (III). Ce voile qui sert à rigidifier l'infrastructure aura les caractéristiques ci dessous :

- épaisseur $\geq 15\text{ cm}$
- Armatures longitudinales filantes supérieures et inférieures dont la section doit être $\geq 0,2\%$ de la section transversale avec recouvrement $\geq 50\phi$ et une équerre de renforcement aux angles
- Armatures longitudinales de peau de section $\geq 2\text{ cm}^2$ par face et par ml de hauteur

* Ferraillage : $h = 2,00\text{ m.}$; $e = 20\text{ cm.}$

- Armatures longitudinales filantes $A_p \geq \frac{0,2 \times 200 \times 20}{100} = 8\text{ cm}^2$
soit $4T16 = 8,04\text{ cm}^2$.

- Armatures longitudinales de peau $4T12 = 4,52\text{ cm}^2/\text{ml} > 2\text{ cm}^2(\text{min})$

123
123
123